

S.G.C. E78 GROSSETO–FANO

Tratto Siena Bettolle (A1)

Adeguamento a 4 corsie del tratto Siena–Ruffolo (Lotto 0)

PROGETTO DEFINITIVO

COD. FI-81

R.T.I. di PROGETTAZIONE: Mandataria Mandante



PROGETTISTI:

Ing. Riccardo Formichi – Pro Iter srl (Integratore prestazioni specialistiche)
Ordine Ing. di Milano n. 18045

Ing. Riccardo Formichi – Pro Iter srl
Ordine Ing. di Milano n. 18045

IL GEOLOGO

Dott. Geol. Massimo Mezzananza – Pro Iter srl
Albo Geol. Lombardia n. A762

COORDINATORE PER LA SICUREZZA IN FASE DI PROGETTAZIONE

Ing. Enrico Moretti – Erre.vi.a. srl
Ordine Ing. di Milano n. 16237

VISTO: IL RESP. DEL PROCEDIMENTO

Ing. Raffaele Franco Carso



PROTOCOLLO

DATA

01 - PARTE GENERALE

Relazione su rilievi topografici e schede monografiche dei punti a terra
parte 1 di 2

| CODICE PROGETTO | | | NOME FILE | REVISIONE | SCALA |
|-----------------|-------------|----------|-----------------------------|-----------|----------------------|
| PROGETTO | LIV. PROG. | N. PROG. | T00EG00GENRE04A.pdf | | |
| DPFI0081 | D | 20 | CODICE ELAB. T00EG00GENRE04 | A | - |
| D | | | | | |
| C | | | | | |
| B | | | | | |
| A | Emissione | | Ottobre 2020 | VIGANO' | FORMICHI |
| REV. | DESCRIZIONE | | DATA | REDATTO | VERIFICATO APPROVATO |



Accordo Quadro DG 41/16
per Rilievi Topografici e Misurazioni

CONTRATTO APPLICATIVO: Esecuzione di rilievi topografici relativi alla progettazione definitiva dell'intervento E78 Tratto Siena - Bettolle (A1). Adeguamento a 4 corsie del tratto Siena - Ruffolo (Lotto 0)

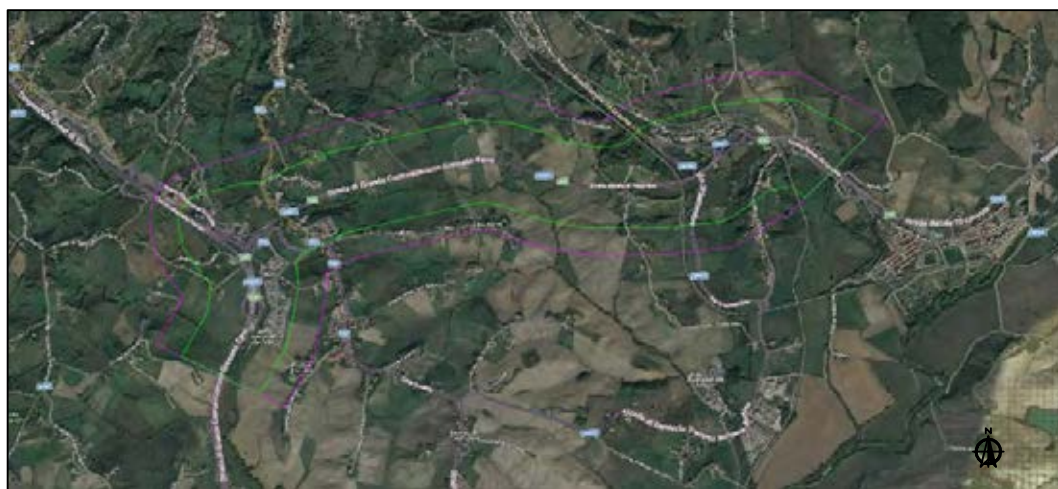
COD. FI 81

Class. Amm. FI_1641_LO_C5

CIG DERIVATO: 7654027EE1

RELAZIONE TECNICA : RILIEVO CATASTALE

INQUADRAMENTO GENERALE



| EM. | DATA | DESCRIZIONE | REDATTO | CONTR. | APPROV. | DATA DEL RILIEVO: |
|---------------------------|------------|-------------|---------------------|-----------|---------|------------------------|
| 0 | 14/03/2019 | Emissione | BOT | MRT | PAL | 12/03/2019 |
| | | | | | | SCALA |
| | | | | | | |
| | | | | | | |
| IDENTIFICAZIONE ELABORATO | | OPERA | RIF. COMMESSA | REVISIONE | TAVOLA | RIF. COMMITTENTE |
| | | S S 2 2 3 | D 2 0 2 S 6 0 8 Y 1 | 0 | 1 Di 1 | Ing. Gianfranco FUSANI |



RTI S.I.N.A. S.p.a. - IMPRESA ROSSI LUIGI S.r.l.

Sede Legale:

Viale Isonzo, 14/1 - 20135 Milano (MI)

C.F. / P.I. : 00847450152



VISTO DELLA COMMITTENTE

RELAZIONE

RILIEVO IN SITO ED ELABORAZIONE DATI

La fase di rilievo sul terreno è stata effettuata con strumentazione GPS, in modalità RTK, utilizzando la rete di posizionamento in tempo reale ITALPOS, che utilizza come sistema di Inquadramento, il SISTEMA WGS84 EUREF89 – ETRFS89 (ellissoide biassiale, geocentrico, gravitazionale ed equipotenziale con origine nel centro di massa convenzionale della Terra.)

Tutti i dati acquisiti in fase di rilievo sono stati trattati con l'utilizzo del software LEICA GEOFFICE8.3, MERIDIANA OFFICE .

Le coordinate rilevate nel datum WGS84, sono state convertite nel sistema ETRF2000 e le quote da ellissoidiche in geoidiche utilizzando i punti di vertice della rete di inquadramento e raffittimento fornita da Anas Spa come punti noti di orientamento.

GEOREFERENZIAZIONE ED INQUADRAMENTO FOGLI CATASTALI

Allo scopo di ottenere la corretta georeferenziazione delle mappe catastali nel sistema cartografico UTM Fuso 32, si è proceduto secondo le indicazioni di cui al par. 9 delle "Norme tecniche per l'esecuzione delle indagini topografiche" di ANAS S.p.A. e specificatamente secondo le seguenti fasi operative:

- individuazione dei fogli di mappa attraversati dal tracciato di progetto;
- acquisizione c/o l'Agenzia delle Entrate (Ex Agenzia del Territorio) dei file vettoriali relativi ai fogli catastali interessati dal tracciato di progetto;
- visualizzazione diretta c/o l'Agenzia del Territorio dei fogli di mappa di impianto;
- individuazione dei fabbricati di impianto presenti sulle mappe catastali;
- individuazione sulle orto foto dei fabbricati di impianto ancora esistenti sui luoghi;
- lettura diretta, sui fogli di mappa di impianto, delle coordinate di tutti gli elementi rilevabili sui luoghi (spigoli di fabbricati, spigoli di elementi in muratura);
- rilievo in campo di tutti gli elementi di impianto individuati e di cui sono state lette le coordinate;

- trasformazione delle coordinate di rilievo dal sistema geografico WGS84 al sistema piano UTM F32;
- rototraslazione delle coordinate catastali (lettura su fogli di impianto) in UTM F32 e valutazione degli scarti;
- applicazione dei parametri ai fogli vettoriali per la trasformazione nel sistema UTM F32.

Per la determinazione dei parametri di trasformazione, sono stati rilevati circa sei punti di riferimento.

Ogni punto elencato rappresenta uno spigolo di un fabbricato perimetrale all'area complessiva di rilievo.

Nel tabulato allegato sono rappresentati gli scarti massimi e medi del calcolo di quale è unico per tutta l'area di intervento.

Il calcolo è stato effettuato adottando la tecnica della rototraslazione rigida dei minimi quadrati degli scarti.

I valori di trasformazione della tabella allegata dovranno essere utilizzati per tutte le implementazioni che dovranno essere effettuate.

Tarquinia lì 02.05.2019

Firma

Il Tecnico



Accordo Quadro DG 41/16
per Rilievi Topografici e Misurazioni



CONTRATTO APPLICATIVO: Esecuzione di rilievi topografici relativi alla progettazione definitiva dell'intervento E78 Tratto Siena - Bettolle (A1). Adeguamento a 4 corsie del tratto Siena - Ruffolo (Lotto 0)

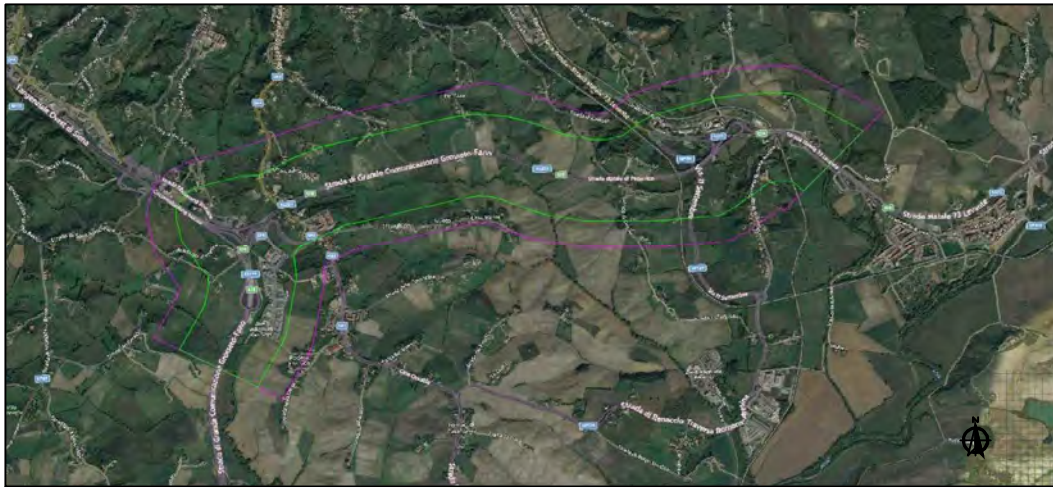
COD. FI 81

Class. Amm. FI_1641_LO_C5

CIG DERIVATO: 7654027EE1

RELAZIONE TECNICA : PIANO DI VOLO

INQUADRAMENTO GENERALE



| EM. | DATA | DESCRIZIONE | REDATTO | CONTR. | APPROV. | DATA DEL RILIEVO: |
|---------------------------|------------|-------------|---------------|-----------|---------|------------------------|
| 0 | 14/03/2019 | Emissione | BOT | MRT | PAL | 12/03/2019 |
| | | | | | | SCALA |
| | | | | | | |
| | | | | | | |
| | | | | | | |
| IDENTIFICAZIONE ELABORATO | | OPERA | RIF. COMMESSA | REVISIONE | TAVOLA | RIF. COMMITTENTE |
| | | SS223 | D202S608Y1 | 0 | 1 DI 1 | Ing. Gianfranco FUSANI |

| | | | |
|--|---|--|-------------------------|
| | RTI S.I.N.A. S.p.a. - IMPRESA ROSSI LUIGI S.r.l. | | VISTO DELLA COMMITTENTE |
| | Sede Legale: Viale Isonzo, 14/1 - 20135 Milano (MI) C.F. / P.I. : 00847450152 | | |

RELAZIONE TECNICA –

VOLO e TA SIENA LOTTO 0

Rilievo aereo con camera ottica per progetto ANAS a scala 1:1000

Volo fotogrammetrico

Il volo fotogrammetrico è stato eseguito 12:00 e le 13:30 ore locali, con la camera **UltraCam Eagle Prime Mark2**, secondo le modalità descritte nel documento *“RELAZIONE TECNICA - PIANI DI VOLO Rilievi aerei con camera ottica per progetti ANAS a scala 1:1000”* e *“RELAZIONE TECNICA – PIANO DI VOLO SIENA parte 1”*.

Rispetto a quanto previsto nella relazione tecnica del piano di volo è stata utilizzata una camera diversa dalla **UltraCam Eagle Prime Mark1** in quanto quest' ultima era indisponibile per manutenzione tecnica .

Essendo la Ultracam Eagle Prime Mark 2 una camera con focale più grande da 100,5 mm ha fatto si che per ottenere la stessa risoluzione dei fotogrammi e per coprire la stessa area di progetto è stata aumentata la quota di volo prevista nella relazione del piano di volo stesso.

Il definitiva il volo che doveva includere 4 strisciate a quota 3.100 piedi circa per un totale di 120 immagini è stato invece incluso 3 strisciate e 90 immagini. Le immagini sono state acquisite in 4 bande (rosso, verde, blu, infrarosso vicino) con risoluzione radiometrica 12 bit.

Durante il volo sono state assicurate le idonee condizioni di configurazione dei satelliti GPS e utilizzate sul terreno la stazione GNSS della rete Leica ItalPOS denominate S1EN (Siena, latitudine 43° 18' 53.79", longitudine 11° 20' 15.85", quota 386.76 m, ricevitore LEICA GMX902GNSS, antenna LEIAS10) e MCIN (Montalcino, latitudine 43° 3' 29.6496", longitudine 11° 29' 20.5002", quota 612.865 ricevitore LEICA GR30, antenna LEIAS10). Ulteriori informazioni sulla rete ItalPOS sono disponibili al sito <http://it.smartnet-eu.com/index.htm>.

Dopo il volo, la traiettoria misurata dal sensore GPS è stata processata con tecnica differenziale (DGPS) mediante il software GrafNav usando i dati RINEX a 1 sec forniti dalle stazioni. I dati GPS e INS sono stati poi integrati con il software AEROoffice della IGI GmbH. I risultati sono riportati in Figura 1 e Figura 2.



Figura 1. Traiettoria del volo di Siena lotto 0 (e altri progetti eseguiti durante lo stesso volo) con posizione dei centri di presa e delle stazioni permanenti S1EN e MCIN.

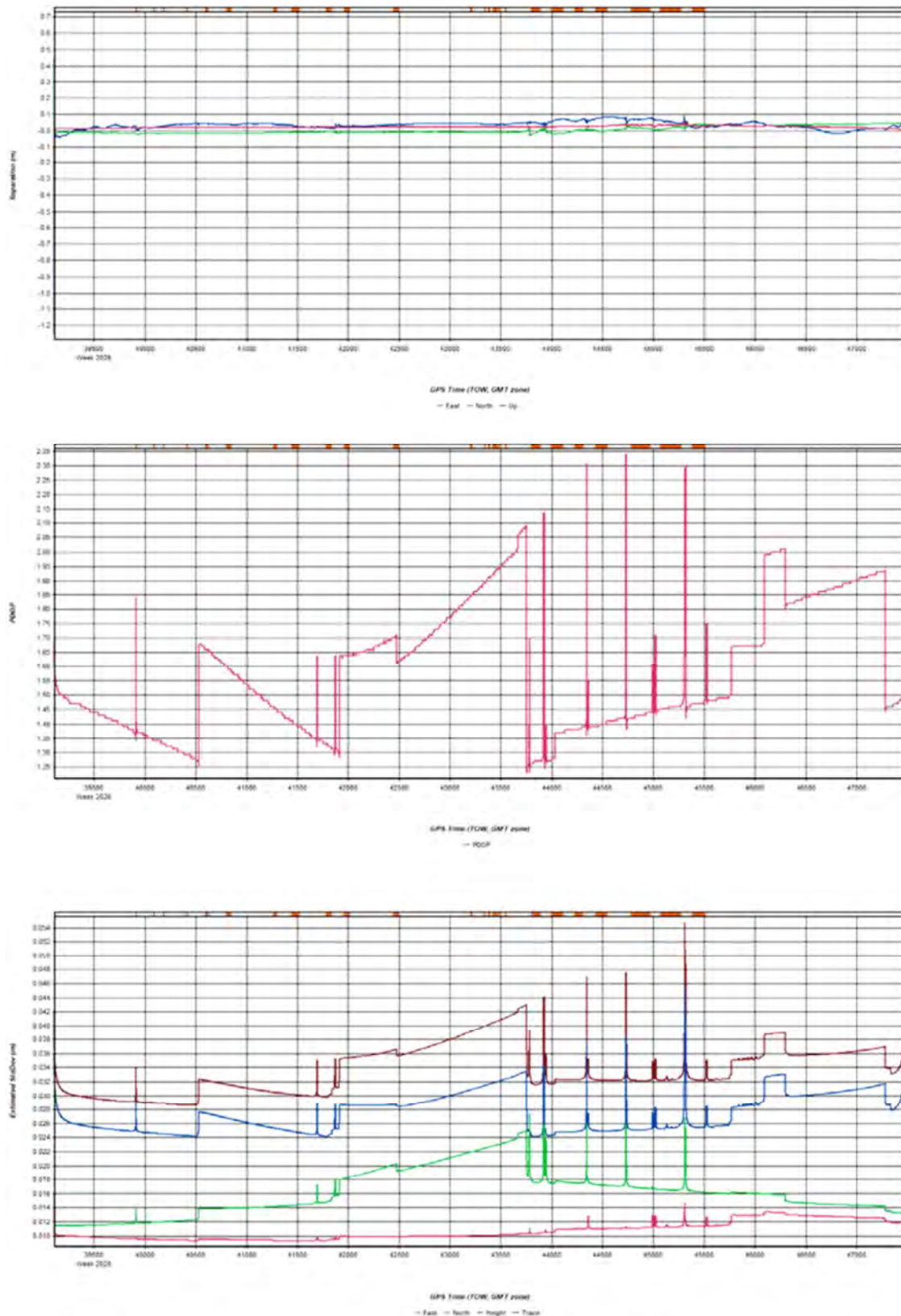


Figura 2. Statistiche del calcolo della traiettoria: forward / reverse separation, DOP, accuratezza.

Triangolazione Aerea

La triangolazione aerea (TA) è stata eseguita con il software Match-AT della Inpho. La descrizione del software e dell'approccio usato per la triangolazione aerea è disponibile nel documento *Inpho_MATCH-AT_english.pdf*. I punti a terra sono stati scelti per garantire una corretta distribuzione nell'area del progetto (Figura 1) e sono stati misurati con tecniche topografiche di precisione dalla società Impresa Rossi Luigi di Firenze. I 14 punti sono stati utilizzati

come punti di appoggio (GCP) planimetrici e altimetrici. La lista dei punti e il loro utilizzo all'interno della TA sono riassunti in Tabella 1.

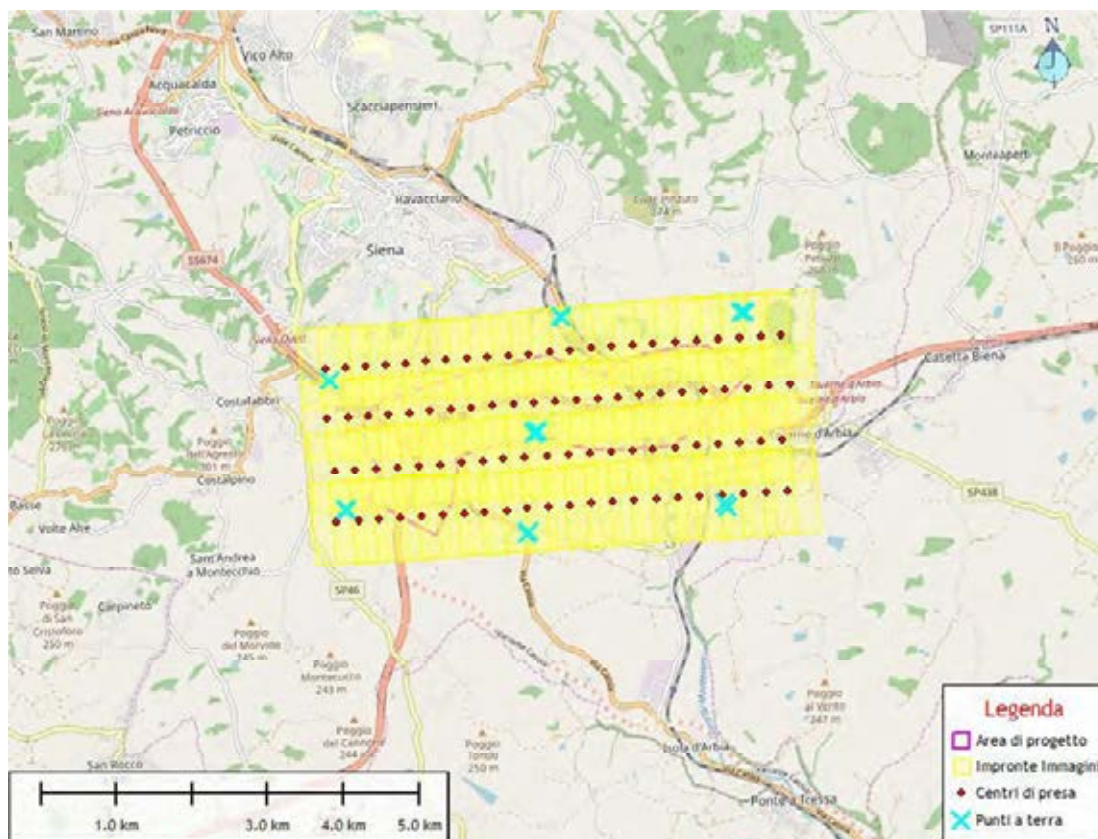


Figura 3. Grafico del volo e TA di Siena Lotto 0 con area di progetto, impronte delle immagini, posizione dei centri di presa e posizione dei punti a terra.

Durante la triangolazione aerea, eseguita sulle 90 immagini, sono stati estratti automaticamente 17142 punti di legame e sono stati stimati le coordinate dei punti a terra e l'orientamento esterno delle immagini. Le statistiche complete sono riportate nel file allegato *aat_Lotto0.html* e riassunte nella seguente tabella.

Tabella 1. Lista dei GCP inseriti nella TA di Siena Lotto 0 e indicazione del loro uso (planimetrico, altimetrico).

| | GCP planimetrico | GCP altimetrico |
|---------|------------------|-----------------|
| PP_0101 | X | X |
| PP_0102 | X | X |
| PP_0201 | X | X |
| PP_0202 | X | X |
| PP_0301 | X | X |
| PP_0302 | X | X |
| PP_0401 | X | X |
| PP_0402 | X | X |

| | | |
|---------|---|---|
| PP_0501 | X | X |
| PP_0502 | X | X |
| PP_0601 | X | X |
| PP_0602 | X | X |
| PP_0701 | X | X |
| PP_0702 | X | X |

Tabella 2. Statistiche principali della TA di Siena Lotto 0.

| | Deviazione standard a-priori | RMSE |
|-------------------------------------|------------------------------|---------------------------------|
| GCP planimetria | 0.030 m (X) / 0.030 m (Y) | 0.020 m (X) / 0.016 m (Y) |
| GCP altimetria | 0.050 m | 0.014 m |
| Punti immagine automatici | 0.003 mm | 0.5 micron (x) / 0.4 micron (y) |
| Punti immagine misurati manualmente | 0.004 mm | 1.6 micron (x) / 1.8 micron (y) |
| GNSS (X/Y/Z) | 0.100 m / 0.100m / 0.150 m | 0.071 m / 0.051 m / 0.021 m |
| INS (omega / phi / kappa) | 0.002° / 0.002° / 0.005° | 0.001° / 0.001° / 0.003° |
| Sigma- naught | 1.0 micron | 0.6 micron |

Il sistema di riferimento dei dati vettoriali e metadati è UTM-WGS84 Zona 32N.

La consegna include:

- Immagini ad alta risoluzione, 16 bit, bande RGBI, formato TIFF
- Immagini a bassa risoluzione, 8 bit, bande RGB, formato JPEG
- Centri di presa in formato SHP file;
- Impronte a terra delle immagini in formato SHP file;
- File RINEX delle stazioni GNSS;
- Risultati Triangolazione Aerea;
- Relazione del volo e TA.



Accordo Quadro DG 41/16
per Rilievi Topografici e Misurazioni

CONTRATTO APPLICATIVO: Esecuzione di rilievi topografici relativi alla progettazione definitiva dell'intervento E78 Tratto Siena - Bettolle (A1). Adeguamento a 4 corsie del tratto Siena - Ruffolo (Lotto 0)

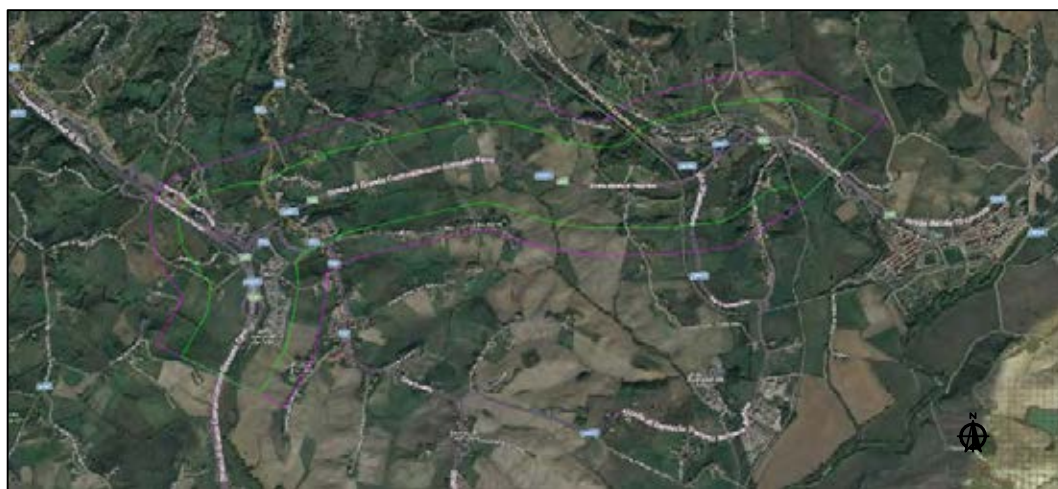
COD. FI 81

Class. Amm. FI_1641_LO_C5

CIG DERIVATO: 7654027EE1

RELAZIONE TECNICA : VOLO

INQUADRAMENTO GENERALE



| EM. | DATA | DESCRIZIONE | REDATTO | CONTR. | APPROV. | DATA DEL RILIEVO: |
|---------------------------|------------|-------------|---------------------|-----------|---------|------------------------|
| 0 | 14/03/2019 | Emissione | BOT | MRT | PAL | 29/03/2019 |
| | | | | | | SCALA |
| | | | | | | |
| | | | | | | |
| IDENTIFICAZIONE ELABORATO | | OPERA | RIF. COMMESSA | REVISIONE | TAVOLA | RIF. COMMITTENTE |
| | | S S 2 2 3 | D 2 0 2 S 6 0 8 Y 1 | 0 | 1 Di 1 | Ing. Gianfranco FUSANI |



RTI S.I.N.A. S.p.a. - IMPRESA ROSSI LUIGI S.r.l.
Sede Legale:
Viale Isonzo, 14/1 - 20135 Milano (MI)
C.F. / P.I. : 00847450152



VISTO DELLA COMMITTENTE

RELAZIONE TECNICA – VOLO e TA SIENA LOTTO 0

Rilievo aereo con camera ottica per progetto ANAS a scala 1:1000

Volo fotogrammetrico

Il volo fotogrammetrico è stato eseguito 12:00 e le 13:30 ore locali, con la camera **UltraCam Eagle Prime Mark2**, secondo le modalità descritte nel documento *“RELAZIONE TECNICA - PIANI DI VOLO Rilievi aerei con camera ottica per progetti ANAS a scala 1:1000”* e *“RELAZIONE TECNICA – PIANO DI VOLO SIENA parte 1”*.

Il volo ha incluso 4 strisciate e 90 immagini. Le immagini sono state acquisite in 4 bande (rosso, verde, blu, infrarosso vicino) con risoluzione radiometrica 12 bit.

Durante il volo sono state assicurate le idonee condizioni di configurazione dei satelliti GPS e utilizzate sul terreno la stazione GNSS della rete Leica ItalPOS denominate S1EN (Siena, latitudine 43° 18' 53.79", longitudine 11° 20' 15.85", quota 386.76 m, ricevitore LEICA GMX902GNSS, antenna LEIAS10) e MCIN (Montalcino, latitudine 43° 3' 29.6496", longitudine 11° 29' 20.5002", quota 612.865 ricevitore LEICA GR30, antenna LEIAS10). Ulteriori informazioni sulla rete ItalPOS sono disponibili al sito <http://it.smartnet-eu.com/index.htm>.

Dopo il volo, la traiettoria misurata dal sensore GPS è stata processata con tecnica differenziale (DGPS) mediante il software GrafNav usando i dati RINEX a 1 sec forniti dalle stazioni. I dati GPS e INS sono stati poi integrati con il software AEROoffice della IGI GmbH. I risultati sono riportati in Figura 1 e Figura 2.

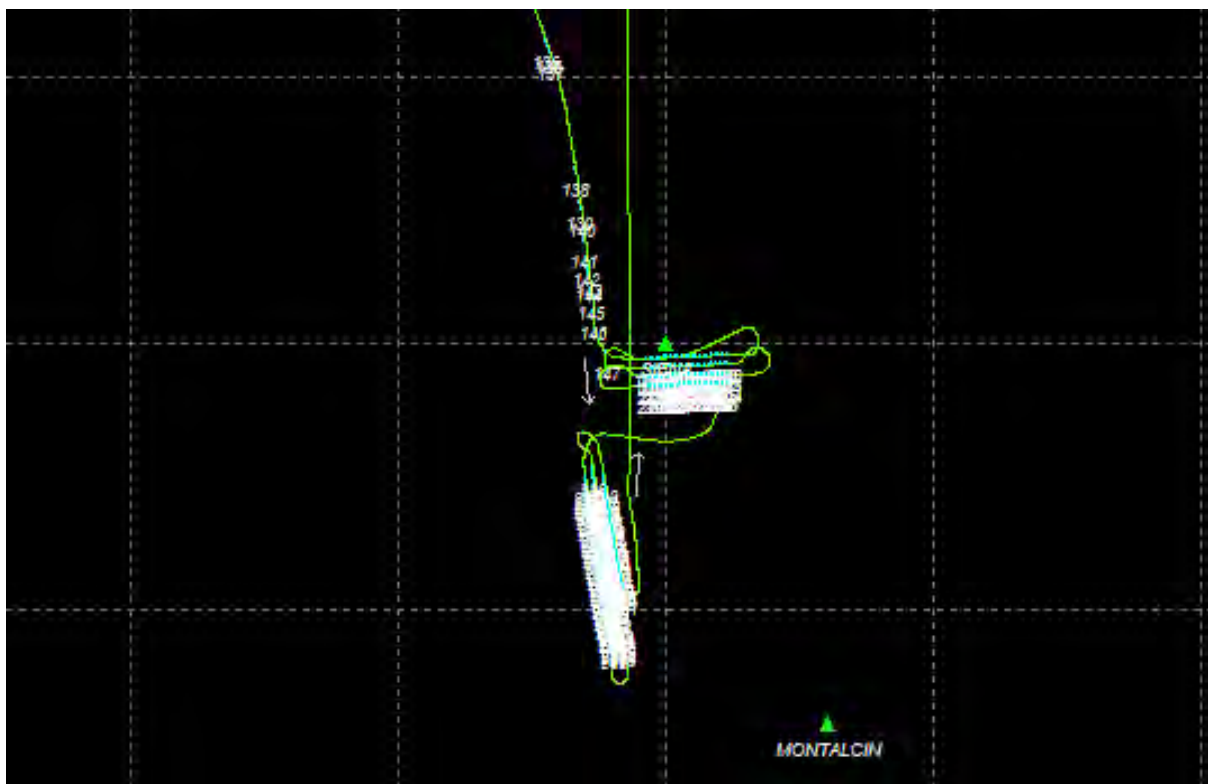


Figura 1. Traiettoria del volo di Siena lotto 0 (e altri progetti eseguiti durante lo stesso volo) con posizione dei centri di presa e delle stazioni permanenti S1EN e MCIN.

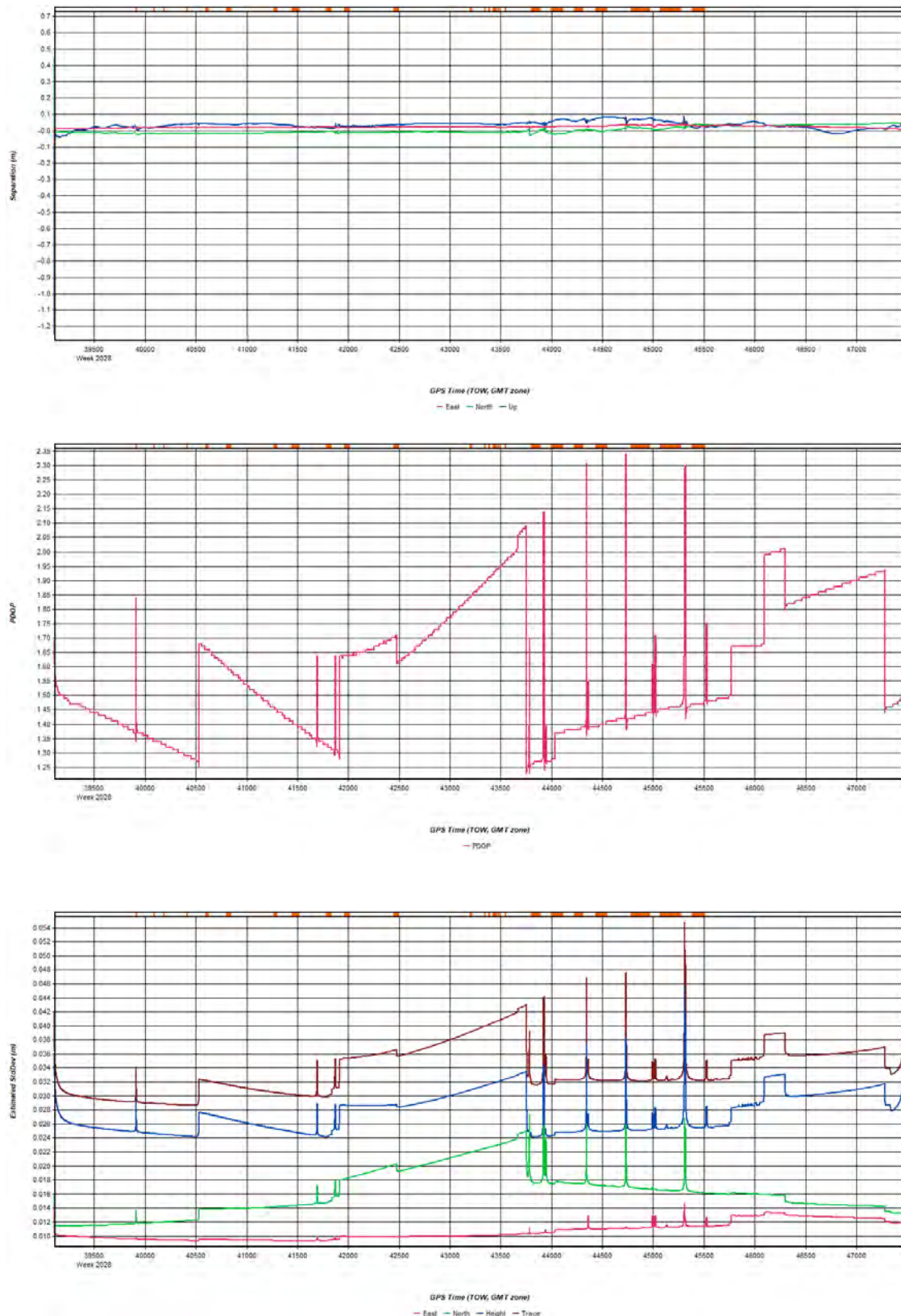


Figura 2. Statistiche del calcolo della traiettoria: forward / reverse separation, DOP, accuratezza.

Triangolazione Aerea

La triangolazione aerea (TA) è stata eseguita con il software Match-AT della Inpho. La descrizione del software e dell'approccio usato per la triangolazione aerea è disponibile nel documento *Inpho_MATCH-AT_english.pdf*. I punti a terra sono stati scelti per garantire una corretta distribuzione nell'area del progetto (Figura 1) e sono stati misurati con tecniche topografiche di precisione dalla società Impresa Rossi Luigi di Firenze. I 14 punti sono stati utilizzati

come punti di appoggio (GCP) planimetrici e altimetrici. La lista dei punti e il loro utilizzo all'interno della TA sono riassunti in Tabella 1.

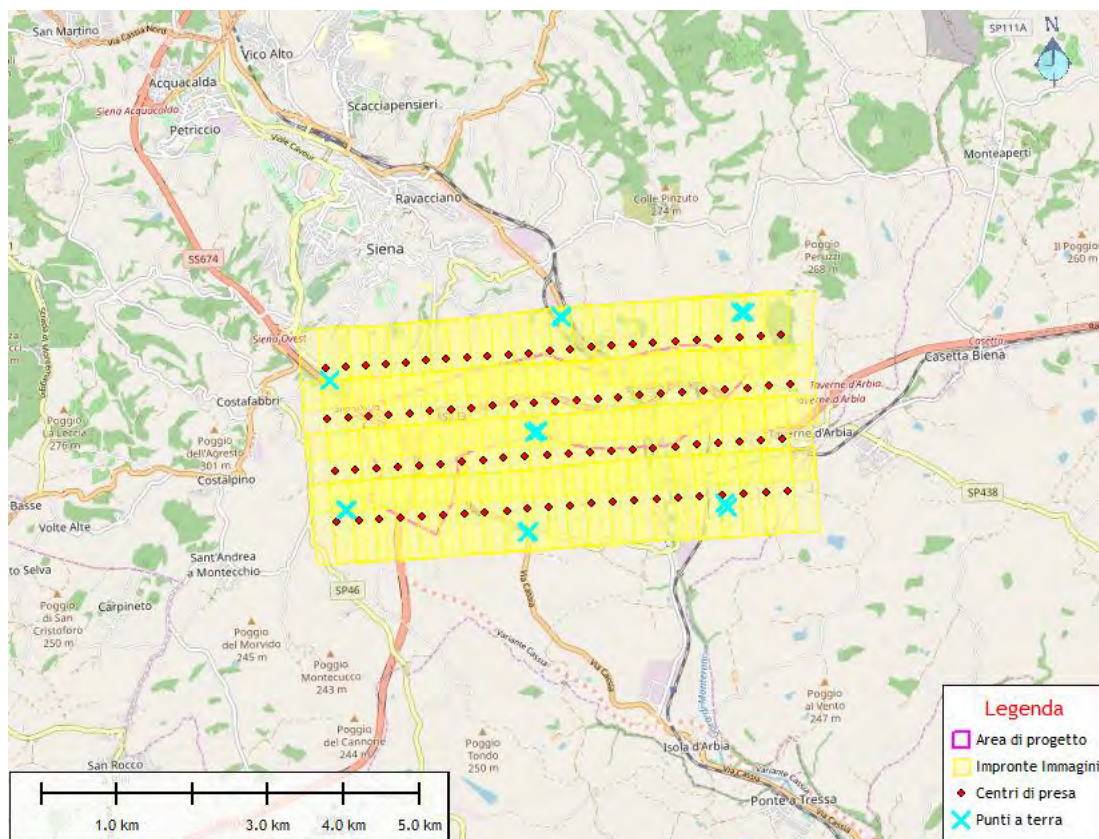


Figura 3. Grafico del volo e TA di Siena Lotto 0 con area di progetto, impronte delle immagini, posizione dei centri di presa e posizione dei punti a terra.

Durante la triangolazione aerea, eseguita sulle 90 immagini, sono stati estratti automaticamente 17142 punti di legame e sono stati stimati le coordinate dei punti a terra e l'orientamento esterno delle immagini. Le statistiche complete sono riportate nel file allegato *aat_Lotto0.html* e riassunte nella seguente tabella.

Tabella 1. Lista dei GCP inseriti nella TA di Siena Lotto 0 e indicazione del loro uso (planimetrico, altimetrico).

| | GCP planimetrico | GCP altimetrico |
|---------|------------------|-----------------|
| PP_0101 | X | X |
| PP_0102 | X | X |
| PP_0201 | X | X |
| PP_0202 | X | X |
| PP_0301 | X | X |
| PP_0302 | X | X |
| PP_0401 | X | X |
| PP_0402 | X | X |

| | | |
|---------|---|---|
| PP_0501 | X | X |
| PP_0502 | X | X |
| PP_0601 | X | X |
| PP_0602 | X | X |
| PP_0701 | X | X |
| PP_0702 | X | X |

Tabella 2. Statistiche principali della TA di Siena Lotto 0.

| | Deviazione standard a-priori | RMSE |
|-------------------------------------|------------------------------|---------------------------------|
| GCP planimetria | 0.030 m (X) / 0.030 m (Y) | 0.020 m (X) / 0.016 m (Y) |
| GCP altimetria | 0.050 m | 0.014 m |
| Punti immagine automatici | 0.003 mm | 0.5 micron (x) / 0.4 micron (y) |
| Punti immagine misurati manualmente | 0.004 mm | 1.6 micron (x) / 1.8 micron (y) |
| GNSS (X/Y/Z) | 0.100 m / 0.100m / 0.150 m | 0.071 m / 0.051 m / 0.021 m |
| INS (omega / phi / kappa) | 0.002° / 0.002° / 0.005° | 0.001° / 0.001° / 0.003° |
| Sigma- naught | 1.0 micron | 0.6 micron |

Il sistema di riferimento dei dati vettoriali e metadati è UTM-WGS84 Zona 32N.

La consegna include:

- Immagini ad alta risoluzione, 16 bit, bande RGBI, formato TIFF
- Immagini a bassa risoluzione, 8 bit, bande RGB, formato JPEG
- Centri di presa in formato SHP file;
- Impronte a terra delle immagini in formato SHP file;
- File RINEX delle stazioni GNSS;
- Risultati Triangolazione Aerea;
- Relazione del volo e TA.



Accordo Quadro DG 41/16
per Rilievi Topografici e Misurazioni

CONTRATTO APPLICATIVO: Esecuzione di rilievi topografici relativi alla progettazione definitiva dell'intervento E78 Tratto Siena - Bettolle (A1). Adeguamento a 4 corsie del tratto Siena - Ruffolo (Lotto 0)

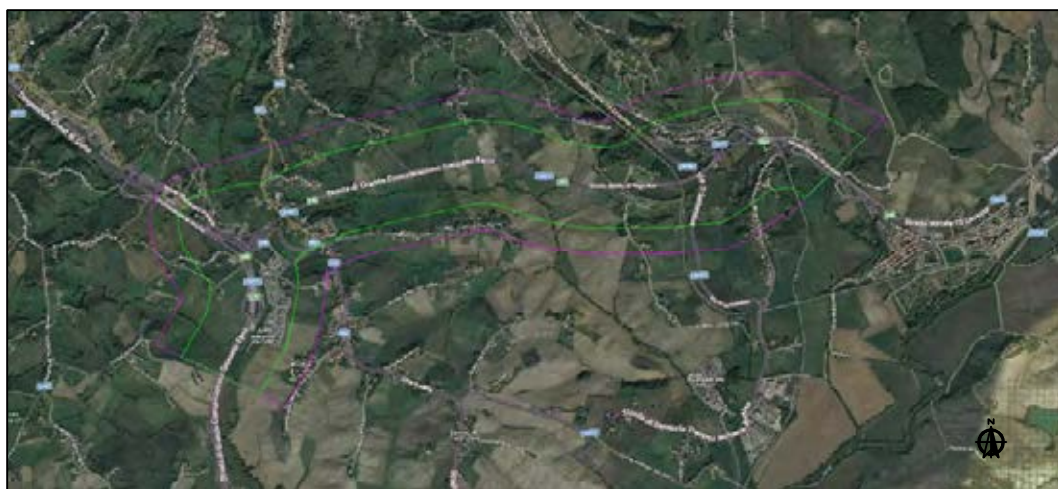
COD. FI 81

Class. Amm. FI_1641_LO_C5

CIG DERIVATO: 7654027EE1

RELAZIONE TECNICA : POLIGONALE DI APPOGGIO

INQUADRAMENTO GENERALE



| EM. | DATA | DESCRIZIONE | REDATTO | CONTR. | APPROV. | DATA DEL RILIEVO: |
|---------------------------|------------|-------------|---------------------|-----------|---------|------------------------|
| 0 | 14/03/2019 | Emissione | BOT | MRT | PAL | 12/03/2019 |
| | | | | | | SCALA |
| | | | | | | |
| | | | | | | |
| IDENTIFICAZIONE ELABORATO | | OPERA | RIF. COMMESSA | REVISIONE | TAVOLA | RIF. COMMITTENTE |
| | | S S 2 2 3 | D 2 0 2 S 6 0 8 Y 1 | 0 | 1 di 1 | Ing. Gianfranco FUSANI |



RTI S.I.N.A. S.p.a. - IMPRESA ROSSI LUIGI S.r.l.
Sede Legale:
Viale Isonzo, 14/1 - 20135 Milano (MI)
C.F. / P.I. : 00847450152



VISTO DELLA COMMITTENTE

INDICE

| | |
|---|-----|
| 1. PREMESSA..... | 2 |
| 2. INQUADRAMENTO CARTOGRAFICO DELL'AREA DI INTERVENTO..... | 3 |
| 3. METODOLOGIE OPERATIVE SULL'ESECUZIONE DEI RILIEVI..... | 5 |
| 4. ATTREZZATURA UTILIZZATA..... | 10 |
| 6. SISTEMA DI COORDINATE RETTILINEE..... | 11 |
| Allegato A: Monografie dei vertici di rete IGM e raffittimento..... | 14 |
| Allegato B: Monografie dei vertici di orientamento..... | 18 |
| Allegato C: Monografie dei vertici di poligonale istituiti..... | 21 |
| Allegato D: Tabulati elaborazione poligonale..... | 176 |
| Allegato E: Scheda tecnica della strumentazione utilizzata..... | 256 |

1. PREMESSA

La presente relazione ha per oggetto la descrizione delle attività svolte per la preparazione e l'esecuzione dei rilievi topografici della poligonale di appoggio e successiva elaborazione della stessa.

In allegato alla presente relazione sono stati redatti per la zona di rilievo i seguenti elaborati:

- Monografie dei vertici di rete IGM e raffittimento (Allegato A);
- Monografie dei vertici di orientamento (Allegato B);
- Monografie dei vertici di poligonale istituiti (Allegato C);
- Tabulati elaborazione poligonale (Allegato D);
- Scheda tecnica strumentazione utilizzata (Allegato E).

Le fasi di attuazione del lavoro si sono articolate come di seguito specificato:

- Reperimento degli elementi geodetici dell'Istituto Geografico Militare;
- Materializzazione di vertici della poligonale tecnica di appoggio;
- Esecuzione delle misure mediante l'utilizzo di stazione totale;
- Compensazione di linea di poligonale.

2. INQUADRAMENTO CARTOGRAFICO DELL'AREA DI INTERVENTO

L'area interessata dal rilievo presenta un'estensione prevalente in direzione Est-Ovest ed è compresa nelle seguenti tavole cartografiche IGM e CTR:

Fogli IGM a scala 1/100.000

- Siena n° 120
- Castelfiorentino n° 113

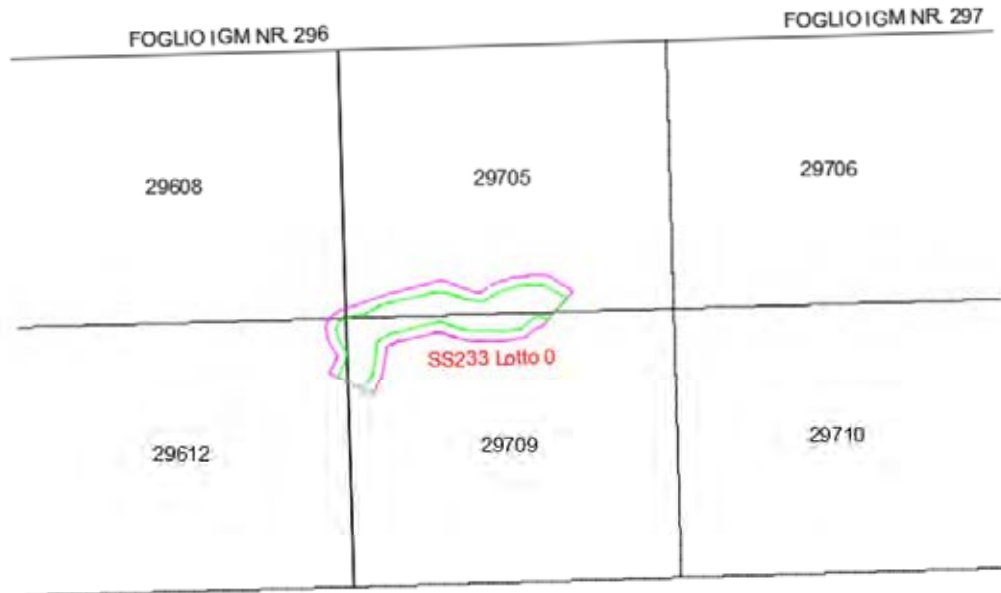
Fogli IGM a scala 1/50.000

- Siena n° 296
- Asciano n° 297

Sezioni CTR a scala 1/10.000

- 296080
- 296120
- 297050
- 297060
- 297090
- 297100

RELAZIONE TECNICA – Poligonale di appoggio topografico



RTI SINA – Impresa ROSSI LUIGI

ANAS Contratto Quadro Topografia DG 41/16

Contratto Applicativo: E78 Tratto Siena - Bettolle (A1). Adeguamento a 4 corsie del Tratto Siena - Ruffolo (Lotto 0) - Esecuzione di rilievi topografici relativi alla progettazione definitiva.

3. METODOLOGIE OPERATIVE SULL'ESECUZIONE DEI RILIEVI

Al fine di adempiere all'incarico conferito si è provveduto alla materializzata a terra di una poligonale tecnica di appoggio, ossia una poligonale orientata su capisaldi, ottenuti precedentemente tramite rilievo statico con appoggio ai caposaldi IGM presenti in zona , in modo da vincolare la poligonale stessa.

Al fine di ottenere una migliore precisione verificando e compensando le lettura di campagna si è provveduto all'esecuzione di un'unica poligonale aperta vincolata, costituita da n° 24 nuovi vertici più il passaggio o lettura di 5 caposaldi di livellazione, per uno sviluppo di 6'082 ml..

Tutti i vertici ubicati sono stati materializzati su manufatti stabili in cls ove presenti o in alternativa infissi sulla pavimentazione stradale con chiodi topografici muniti di apposita rondella numerata e infissi tramite resina bicomponente e risultano pertanto autocentranti sia in planimetria che in quota.



Vertice materializzato

Per ogni vertice materializzato è stata redatta una scheda monografica, che riportiamo in Allegato B, contenente tutte le informazioni utili alla futura individuazione del punto ed al suo utilizzo per rilievi o tracciamenti successivi.

La poligonale, al fine di minimizzare gli errori di misurazione angolare, è stata realizzata mediante sistema a centramento forzato utilizzando due treppiedi e posizionandoli nei vertici precedenti e successivi, montando due prisma Leica con coefficiente 0 e offset + 0.0334 mm monumentati su basette (tricuspidate) girevoli con piombo ottico a vite universale (5/8"x11).



Prisma LEICA

Le distanze fra gli stessi sono state considerate in relazione alla visibilità del luogo non sempre buona a causa della vegetazione e delle condizioni climatiche (presenza di forte irraggiamento causato dalle alte temperature soprattutto nelle ore centrali oltre i 30°C). Si è quindi cercato di evitare lati troppi lunghi e disomogenei (mediamente 250 mt) ove possibile; lo sviluppo complessivo della poligonale è risultato pari a 6'082 ml..

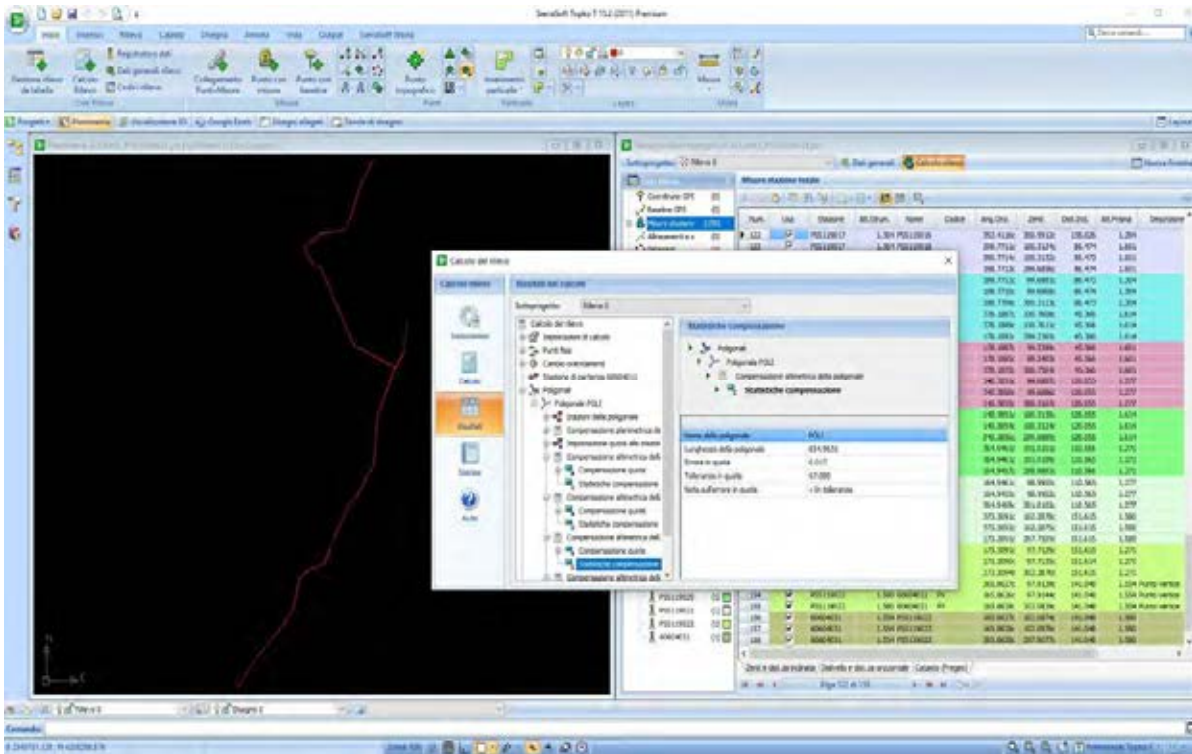
Per la poligonale si è partiti dal vertice della rete GPS di raffittimento 29709031 (con coordinate Gauss - Boaga N: 4794906,295; E: 1689291,794) facente parte anche della poligonale di livellazione con quota 204,545 m. slm; orientato sul caposaldo GSS223003.

Così come la chiusura effettuata sul vertice della rete GPS di raffittimento 29709011 (con coordinate Gauss - Boaga N: 4796675,674; E: 1693736,922) con quota derivata dalla livellazione di 196,027 m. s.l.m. orientato sul caposaldo GSS223004.

Per l'esecuzione dei rilievi si è fatto riferimento alla "Norme Tecniche per l'esecuzione di indagini topografiche" IT.04.01 Rev. 0 del 06/06/2003 emanate dall'A.N.A.S. S.p.A.

Il calcolo della compensazione è stato eseguito automaticamente dal software SierraSoft Topko 2011 con risultati soddisfacenti e scarti inferiori alle tolleranze previste.

RELAZIONE TECNICA – Poligonale di appoggio topografico



Per quanto riguarda la trasformazione delle quote da WGS84 a geoidiche è stata utilizzata la rototraslazione conforme a sette parametri, tramite il programma di calcolo ConveRgo V. 2.04.

RELAZIONE TECNICA – Poligonale di appoggio topografico



Dalle coordinate compensate WGS84, attraverso i grigliati IGM nella versione GK2, si ottengono le coordinate piane nel sistema Gauss - Boaga e le quote ortometriche dei vertici che compongono la poligonale.

Attraverso lo stesso programma si ottengono gli altri tipi di coordinate richieste, come le cartografiche piane UTM 32 - ETRF 2000, le geografiche ETRF 2000.

4. ATTREZZATURA UTILIZZATA

La strumentazione utilizzata per la realizzazione in campo della poligonale è:

- Nr. 1 Leica TPS1203+ Series.

Di seguito si riportano le principali caratteristiche tecniche della strumentazione per la stazione totale Leica TPS1200+ Series, utilizzata in campagna:

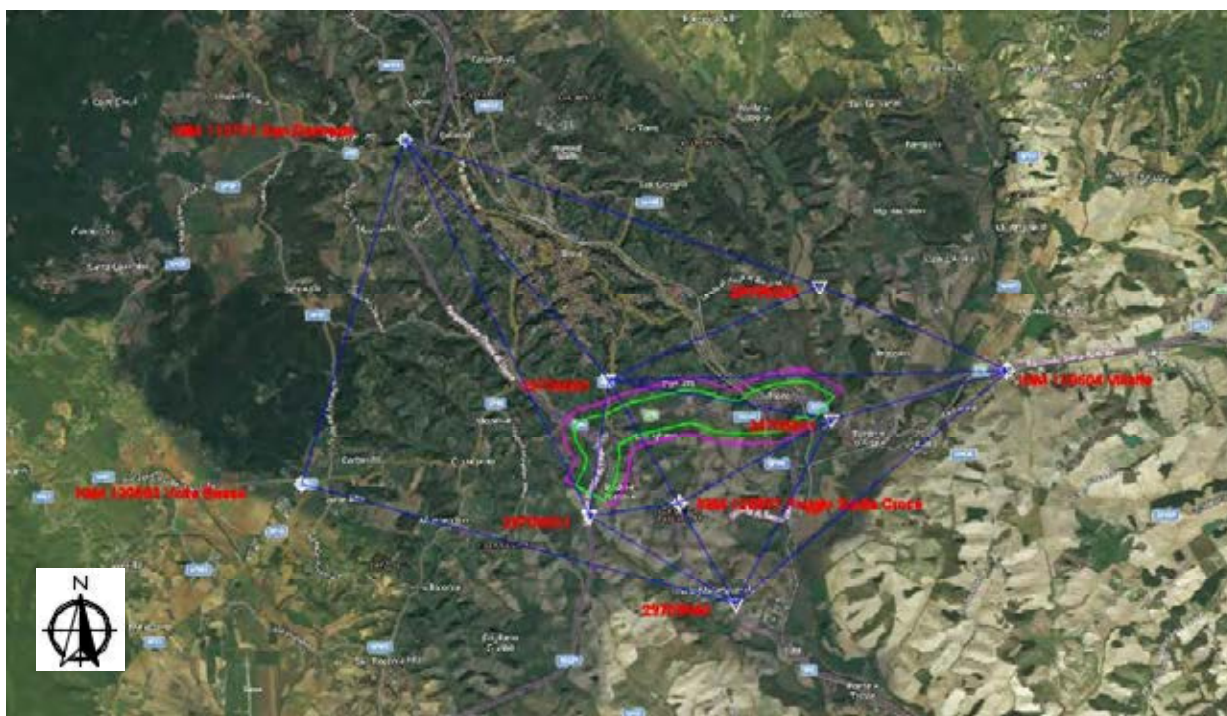
| | | |
|--|---------------------------------------|---|
| Misure | | |
| Angolari | Precisione (dev. std. ISO 17123-3) | 3'' (1 mgon) |
| | Risoluzione display | 0.1'' (0.1 mgon) |
| | Metodo | assoluto, continuo, diametrico |
| | Compensatore | |
| | Campo di funzionamento: | 4' (0.07 gon) |
| | Precisione impostazione: | 1.0'' (0.3 mgon) |
| | Metodo: | compensatore doppio asse centralizzato |
| <hr/> | | |
| Misura di distanza (Modalità IR) | Portata: | |
| | Prisma circolare (GPR1): | 3000 m |
| | Riflettore 360° (GRZ4): | 1500 m |
| | Precisione/Tempo di misura: | |
| | Modo standard | 1 mm + 1.5 ppm / tipica. 2.4s |
| | Modo veloce | 3 mm + 1.5 ppm / tipica. 0.8s |
| | Modo tracciamento | 3mm + 1.5 ppm/tipica. < 0.15 s |
| | Risoluzione display: | 0,1 mm |
| | Portata | |
| <hr/> | | |

| | |
|----------------------------------|---|
| Puntatore R400: | 400 m / 200 m (Scheda Grigio kodak: rifless. 90% / rifless. 18%) |
| Puntatore R1000: | 1000 m / 500 m (Scheda Grigio kodak: rifless. 90% / rifless. 18%) |
| Più piccola distanza misurabile: | 1,5 m |
| Dimensione raggio laser | |
| A 30 m: | ca. 7 mm x 10 mm |
| A 50 m: | ca. 8 mm x 20 mm |
| Metodo | |
| Puntatore R400/R1000: | Sistema analizzatore (coassiale, laser rosso visibile) |

5. SISTEMA DI COORDINATE RETTILINEE

La zona interessata presenta un'estensione prevalente in direzione Est-Ovest, per cui è opportuna la scelta di una rappresentazione UTM, con meridiano centrale posizionato in corrispondenza di un punto scelto in funzione dell'andamento altimetrico della zona stessa.

L'analisi del profilo altimetrico evidenzia una forte asimmetria rispetto al baricentro geometrico con andamento delle quote crescente da Sud a Nord da valori minimi di quota ellissoidica pari a circa 230 m in corrispondenza del fino a valori massimi di circa 322 m.



Poiché il sistema nativo della rete di raffittimento è costituito dall'ellissoide GRS80 con orientamento geocentrico (sistema definito dal GNSS), anche le coordinate rettilinee (isometriche) saranno calcolate nel sistema GRS80.

In considerazione dei valori di latitudine medi della rete di inquadramento, il raggio della sfera locale adottato per la trasformazione sarà pari a 6378137 m.

La quota ellissoidica media da utilizzare nella trasformazione per tenere conto della deformazione d'altezza sarà pari a 192.00 m (come da media dei due CSO).

Il meridiano centrale della rappresentazione sarà posto in posizione asimmetrica per minimizzare le deformazioni totali risultanti dalla combinazione di deformazione cartografica e deformazione d'altezza; i valori selezionati sono:

- latitudine baricentro “pesato”: 43° 13' 47.6481” (sessagesimali);
- longitudine baricentro “pesato”: 11° 20' 54.8333” (sessagesimali);

Per un univoco riconoscimento delle coordinate rettilinee (isometriche) saranno utilizzati i seguenti valori di falsa origine:

Falsa Est: 690500 m

Falsa Nord: 4796700 m

L'ampiezza in gradi della zona di calcolo sarà limitata ai seguenti valori di coordinate geografiche ETRF2000:

Allegato A: Monografie dei vertici di rete IGM



Accordo Quadro DG 41/16 per Rilievi Topografici e Misurazioni

VERTICI RETE DI INQUADRAMENTO RAFFITTIMENTO E POLIGONALI

CONTRATTO APPLICATIVO: Esecuzione di rilievi topografici relativi alla progettazione definitiva dell'intervento E78 Tratto Siena - Bettolle (A1). Adeguamento a 4 corsie del tratto Siena - Ruffolo (Lotto 0)

VERTICE **29709031**

CIG Derivato: 7654027EE1

Data esecuzione

13 marzo 2019

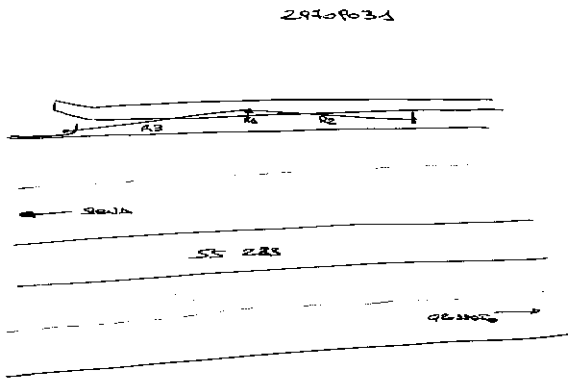
ACCESSO :

Seguire SS233 - E78 in direzione Siena da Grosseto fino al km 67+100

MATERIALIZZAZIONE :

Centrino metallico infisso con apposita borchia su cordolo in calcestruzzo

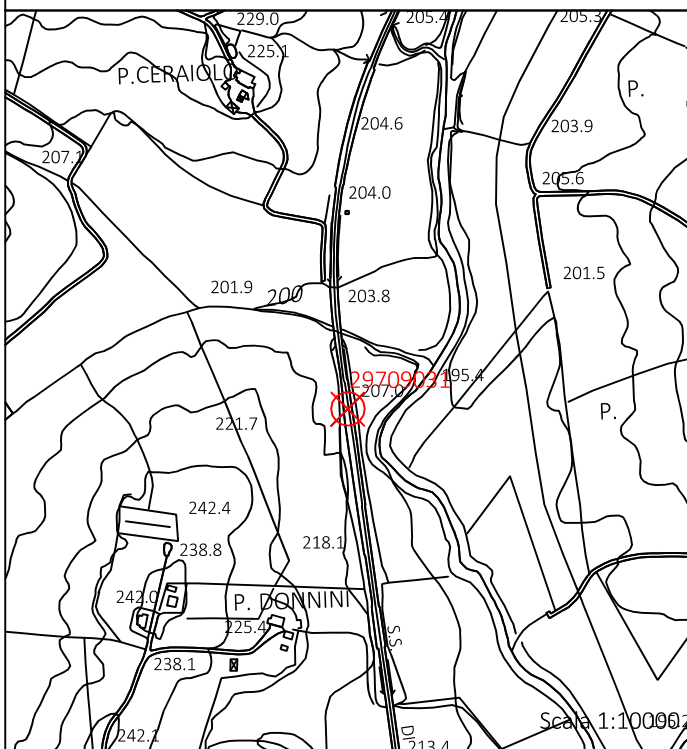
SCHIZZO MONOGRAFICO :



FOTOGRAFIA :



STRALCIO CARTOGRAFIA :



COORDINATE DEL VERTICE :

| | | | |
|-------------------------|-------------|-------------------------|----------------------|
| Piane (Gauss-Boaga) | | Geografiche (ETRF 2000) | |
| N: | 4794906.295 | ϕ : | 43 ° 16 ' 59.03106 " |
| E: | 1689291.794 | λ : | 11 ° 19 ' 57.65906 " |
| Q ort.: | 204.545 | Q ell.: | 252.205 |
| Fuso OVEST | | | |
| Piane (UTM - ETRF 2000) | | Rettilinee Locali | |
| N: | 4794891.552 | N: | 4794927.095 |
| E: | 689261.243 | E: | 689210.894 |
| Q ort.: | 204.545 | | |
| Fuso 32 Nord | | | |

RIFERIMENTI PLANIMETRICI

- R1 : Bordo muro 0.13 .mt
- R2 : Progressiva ettometrica 6.54 .mt
- R3 : Supporto barriera 4.94 .mt

Impresa Esecutrice RTI :

Sina S.p.a. - Impresa Rossi Luigi S.r.l.





Accordo Quadro DG 41/16 per Rilievi Topografici e Misurazioni

VERTICI RETE DI INQUADRAMENTO RAFFITTIMENTO E POLIGONALI

CONTRATTO APPLICATIVO: Esecuzione di rilievi topografici relativi alla progettazione definitiva dell'intervento E78 Tratto Siena - Bettolle (A1). Adeguamento a 4 corsie del tratto Siena - Ruffolo (Lotto 0)

VERTICE **29709011**

CIG Derivato: 7654027EE1

Data esecuzione

13 marzo 2019

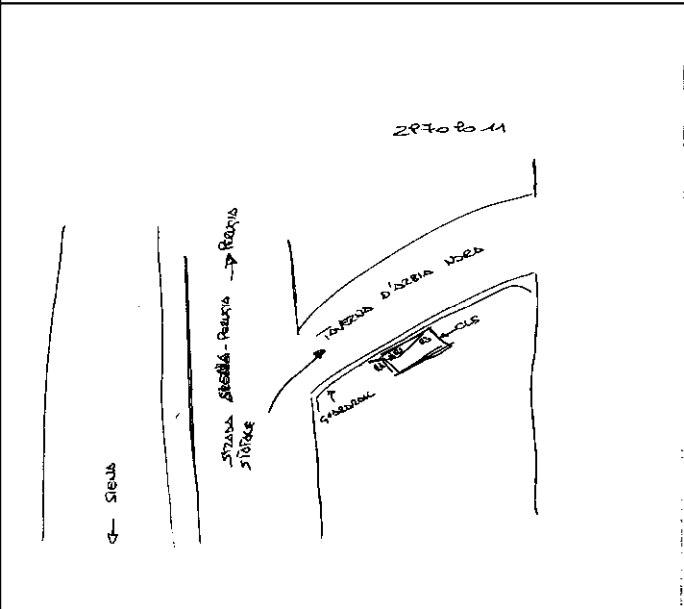
ACCESSO :

Seguire la strada statale 73 direzione Perugia, uscire allo svincolo di Taverna d'Arbia Nord

MATERIALIZZAZIONE :

Centrino metallico infisso con apposita borchia su basamento in CLS

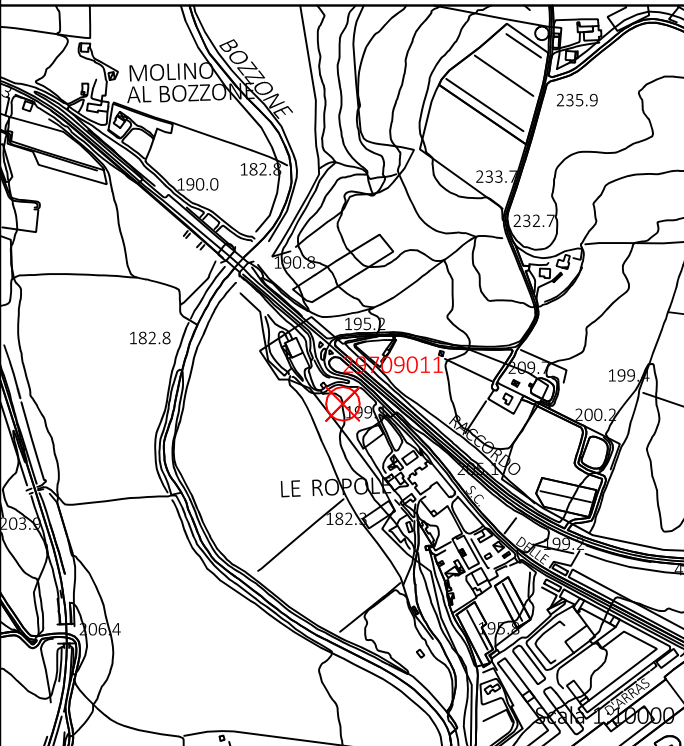
SCHIZZO MONOGRAFICO :



FOTOGRAFIA :



STRALCIO CARTOGRAFIA :



COORDINATE DEL VERTICE :

| | |
|---------------------|----------------------------------|
| Piane (Gauss-Boaga) | Geografiche (ETRF 2000) |
| N: 4796675.674 | ϕ : 43 ° 17 ' 52.26978 " |
| E: 1693736.922 | λ : 11 ° 23 ' 16.96443 " |
| Q ort.: 196.027 | Q ell.: 243.57 |

Fuso OVEST

| | |
|-------------------------|-------------------|
| Piane (UTM - ETRF 2000) | Rettilinee Locali |
| N: 4796660.907 | N: 4796570.781 |
| E: 693706.255 | E: 693703.854 |
| Q ort.: 196.027 | |

Fuso 32 Nord

RIFERIMENTI PLANIMETRICI

R1 : Supporto barriera 0.60 .mt
R2 : Bordo basamento 0.57 .mt
R3 : Bordo basamento 2.45 .mt

Impresa Esecutrice RTI :

Sina S.p.a. - Impresa Rossi Luigi S.r.l.



Allegato B:

**MONOGRAFIA DEI VERTICI DI
ORIENTAMENTO**

Accordo Quadro DG 41/16 per Rilievi Topografici e Misurazioni



VERTICI RETE DI INQUADRAMENTO RAFFITTIMENTO E POLIGONALI

CONTRATTO APPLICATIVO: Esecuzione di rilievi topografici relativi alla progettazione definitiva dell'intervento E78 Tratto Siena - Bettolle (A1). Adeguamento a 4 corsie del tratto Siena - Ruffolo (Lotto 0)

VERTICE

GSS223003

CIG Derivato: 7654027EE1

Data esecuzione

2 aprile 2019

ACCESSO :

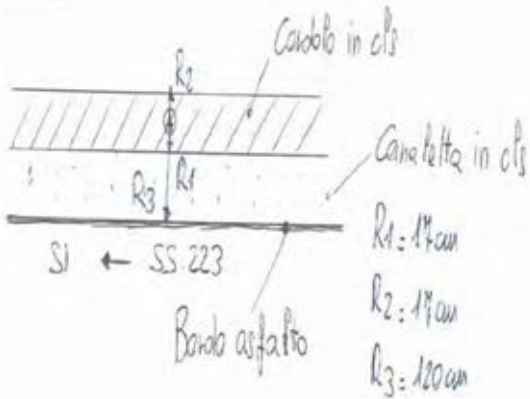
Seguire la strada statale 223 direzione Siena fino alla progressiva 67+250

MATERIALIZZAZIONE :

Centrino metallico infisso con apposita borchia su cunetta in calcestruzzo

SCHIZZO MONOGRAFICO :

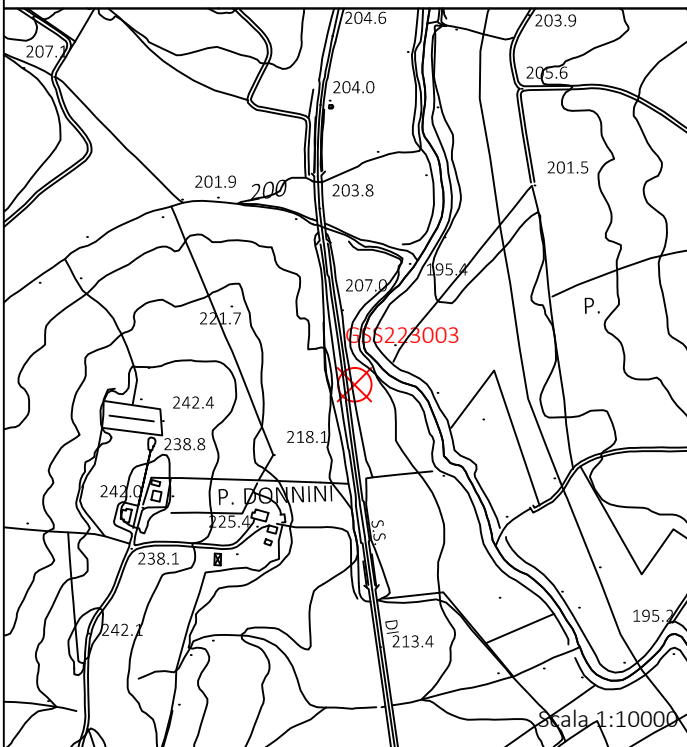
GSS223-003



FOTOGRAFIA :



STRALCIO CARTOGRAFIA :



COORDINATE DEL VERTICE :

| | | | |
|-------------------------|-------------|-------------------------|---------------------|
| Piane (Gauss-Boaga) | | Geografiche (ETRF 2000) | |
| N: | 4794776.852 | ϕ : | 43 ° 16 ' 54.8219 " |
| E: | 1689310.011 | λ : | 11 ° 19 ' 58.3063 " |
| Q ort.: | 206.141 | Q ell.: | 253.804 |
| Fuso OVEST | | | |
| Piane (UTM - ETRF 2000) | | Rettilinee Locali | |
| N: | 4794762.106 | N: | 4794797.188 |
| E: | 689279.456 | E: | 689225.4615 |
| Q ort.: | 206.141 | | |
| Fuso 32 Nord | | | |

RIFERIMENTI PLANIMETRICI

- R1 : Bordo cordolo 0.17 m.
- R2 : Bordo cordolo 0.17 m.
- R3 : Bordo asfalto 1.20 m.

Impresa Esecutrice RTI :

Sina S.p.a. - Impresa Rossi Luigi S.r.l.



Accordo Quadro DG 41/16 per Rilievi Topografici e Misurazioni



VERTICI RETE DI INQUADRAMENTO RAFFITTIMENTO E POLIGONALI

CONTRATTO APPLICATIVO: Esecuzione di rilievi topografici relativi alla progettazione definitiva dell'intervento E78 Tratto Siena - Bettolle (A1). Adeguamento a 4 corsie del tratto Siena - Ruffolo (Lotto 0)

VERTICE **GSS223004**

CIG Derivato: 7654027EE1

Data esecuzione

2 aprile 2019

ACCESSO :

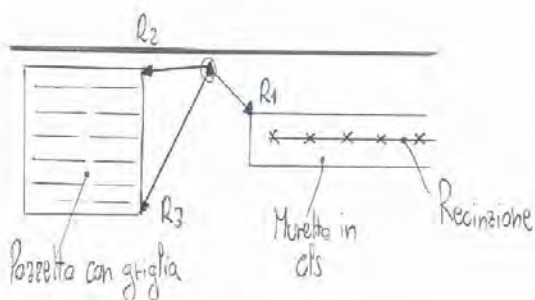
Dalla E78 uscire allo svincolo con la SP348

MATERIALIZZAZIONE :

Centrino metallico infisso con apposita borchia su basamento in calcestruzzo

SCHIZZO MONOGRAFICO :

GSS223-004



$R_1 = 50\text{cm}$

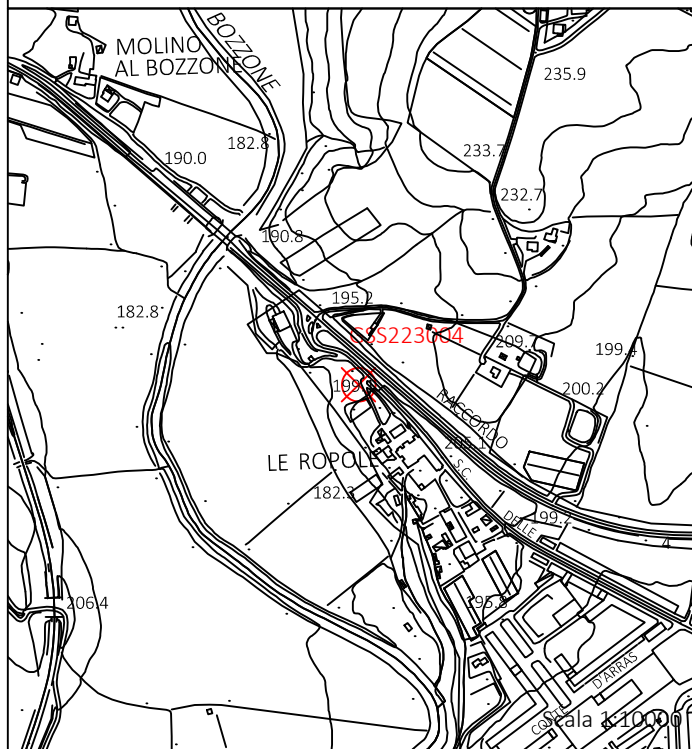
$R_2 = 64\text{cm}$

$R_3 = 142\text{cm}$

FOTOGRAFIA :



STRALCIO CARTOGRAFIA :



COORDINATE DEL VERTICE :

| | |
|---------------------|------------------------------|
| Piane (Gauss-Boaga) | Geografiche (ETRF 2000) |
| N: 4796638.727 | ϕ : 43° 17' 51.0501" |
| E: 1693761.805 | λ : 11° 23' 18.0209" |
| Q ort.: 197.469 | Q ell.: 245.012 |

Fuso OVEST

| | |
|-------------------------|-------------------|
| Piane (UTM - ETRF 2000) | Rettilinee Locali |
| N: 4796623.961 | N: 4796533.151 |
| E: 693731.135 | E: 693727.6852 |
| Q ort.: 197.469 | |

Fuso 32 Nord

RIFERIMENTI PLANIMETRICI

- R1 : Vertice muretto 0.50 m.
- R2 : Vertice pozzetto 0.64 m.
- R3 : Vertice pozzetto 1.42 m.

Impresa Esecutrice RTI :

Sina S.p.a. - Impresa Rossi Luigi S.r.l.



Allegato C: Monografie dei vertici di rete istituiti

Accordo Quadro DG 41/16 per Rilievi Topografici e Misurazioni



VERTICI RETE DI INQUADRAMENTO RAFFITTIMENTO E POLIGONALI

CONTRATTO APPLICATIVO: Esecuzione di rilievi topografici relativi alla progettazione definitiva dell'intervento E78 Tratto Siena - Bettolle (A1). Adeguamento a 4 corsie del tratto Siena - Ruffolo (Lotto 0)

VERTICE **PSS223057**

CIG Derivato: 7654027EE1

Data esecuzione

2 aprile 2019

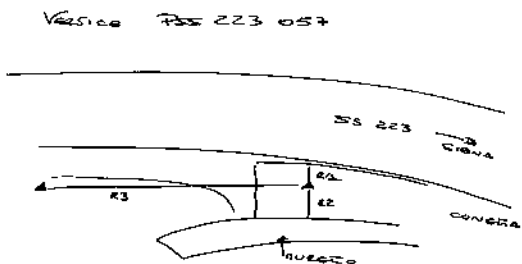
ACCESSO :

Seguire la strada statale 223 direzione Siena fino alla progressiva 67+350

MATERIALIZZAZIONE :

Centrino metallico infisso con apposita borchia su cunetta in calcestruzzo

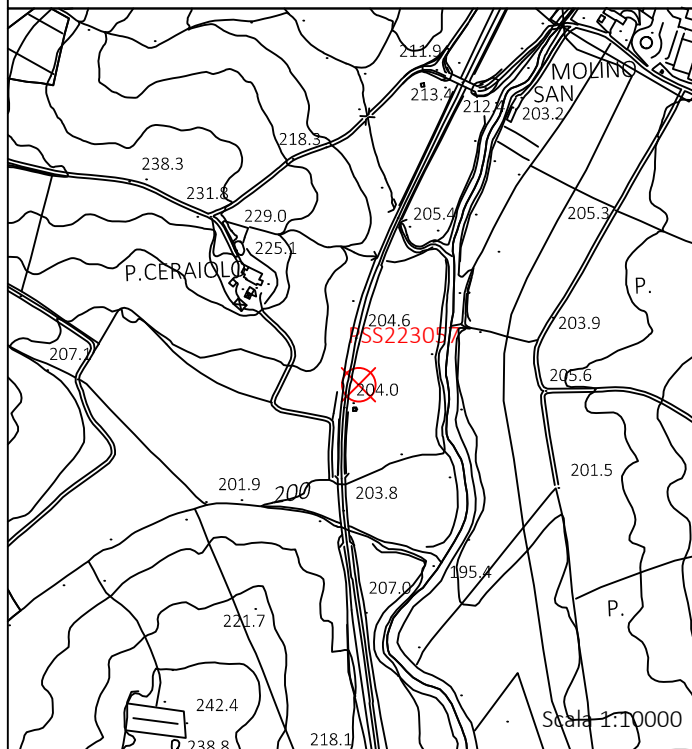
SCHIZZO MONOGRAFICO :



FOTOGRAFIA :



STRALCIO CARTOGRAFIA :



COORDINATE DEL VERTICE :

| | |
|---------------------|---------------------------------|
| Piane (Gauss-Boaga) | Geografiche (ETRF 2000) |
| N: 4795154.799 | ϕ : 43 ° 17 ' 7.0859 " |
| E: 1689285.394 | λ : 11 ° 19 ' 57.6833 " |
| Q ort.: 203.945 | Q ell.: 251.599 |

Fuso OVEST

| | |
|-------------------------|-------------------|
| Piane (UTM - ETRF 2000) | Rettilinee Locali |
| N: 4795140.057 | N: 4795175.682 |
| E: 689254.848 | E: 689211.4866 |
| Q ort.: 203.945 | |

Fuso 32 Nord

RIFERIMENTI PLANIMETRICI

- R1 : Bordo cunetta 0.15 m.
- R2 : Bordo muretto 0.85 m.
- R3 : Supporto catarifrangente 8.48 m.

Impresa Esecutrice RTI :

Sina S.p.a. - Impresa Rossi Luigi S.r.l.



Accordo Quadro DG 41/16 per Rilievi Topografici e Misurazioni



VERTICI RETE DI INQUADRAMENTO RAFFITTIMENTO E POLIGONALI

CONTRATTO APPLICATIVO: Esecuzione di rilievi topografici relativi alla progettazione definitiva dell'intervento E78 Tratto Siena - Bettolle (A1). Adeguamento a 4 corsie del tratto Siena - Ruffolo (Lotto 0)

VERTICE **PSS223058**

CIG Derivato: 7654027EE1

Data esecuzione

2 aprile 2019

ACCESSO :

Seguire la strada statale 223 direzione Siena fino alla progressiva 67+500

MATERIALIZZAZIONE :

Centrino metallico infisso con apposita borchia su muretto in calcestruzzo

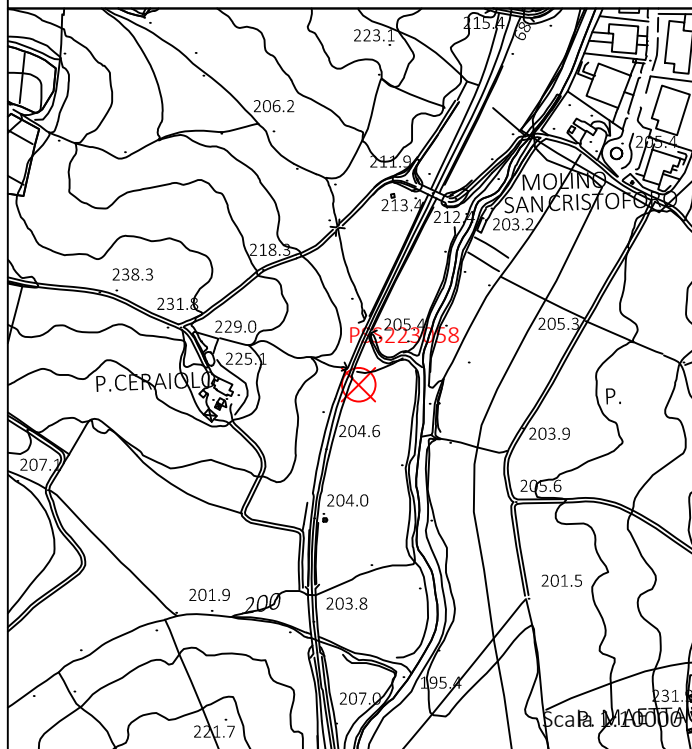
SCHIZZO MONOGRAFICO :



FOTOGRAFIA :



STRALCIO CARTOGRAFIA :



COORDINATE DEL VERTICE :

| | | | |
|-------------------------|-------------|-------------------------|---------------------|
| Piane (Gauss-Boaga) | | Geografiche (ETRF 2000) | |
| N: | 4795293.35 | ϕ : | 43 ° 17 ' 11.5399 " |
| E: | 1689322.592 | λ : | 11 ° 19 ' 59.5042 " |
| Q ort.: | 204.794 | Q ell.: | 252.443 |
| Fuso OVEST | | | |
| Piane (UTM - ETRF 2000) | | Rettilinee Locali | |
| N: | 4795278.609 | N: | 4795313.134 |
| E: | 689292.048 | E: | 689252.5665 |
| Q ort.: | 204.794 | | |
| Fuso 32 Nord | | | |

RIFERIMENTI PLANIMETRICI

- R1 : Bordo cordolo 0.11 m.
- R2 : Bordo cordolo 0.19 m.
- R3 : Supporto progressiva 7.95 m.

Impresa Esecutrice RTI :

Sina S.p.a. - Impresa Rossi Luigi S.r.l.





Accordo Quadro DG 41/16 per Rilievi Topografici e Misurazioni

VERTICI RETE DI INQUADRAMENTO RAFFITTIMENTO E POLIGONALI

CONTRATTO APPLICATIVO: Esecuzione di rilievi topografici relativi alla progettazione definitiva dell'intervento E78 Tratto Siena - Bettolle (A1). Adeguamento a 4 corsie del tratto Siena - Ruffolo (Lotto 0)

VERTICE

PSS223059

CIG Derivato: 7654027EE1

Data esecuzione

2 aprile 2019

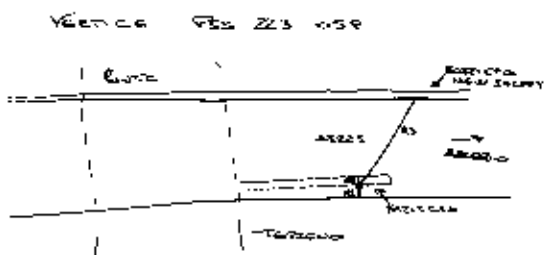
ACCESSO :

Seguire la strada statale 223 direzione Arezzo fino alla progressiva 67+750

MATERIALIZZAZIONE :

Centrino metallico infisso con apposita borchia su pavimentazione stradale

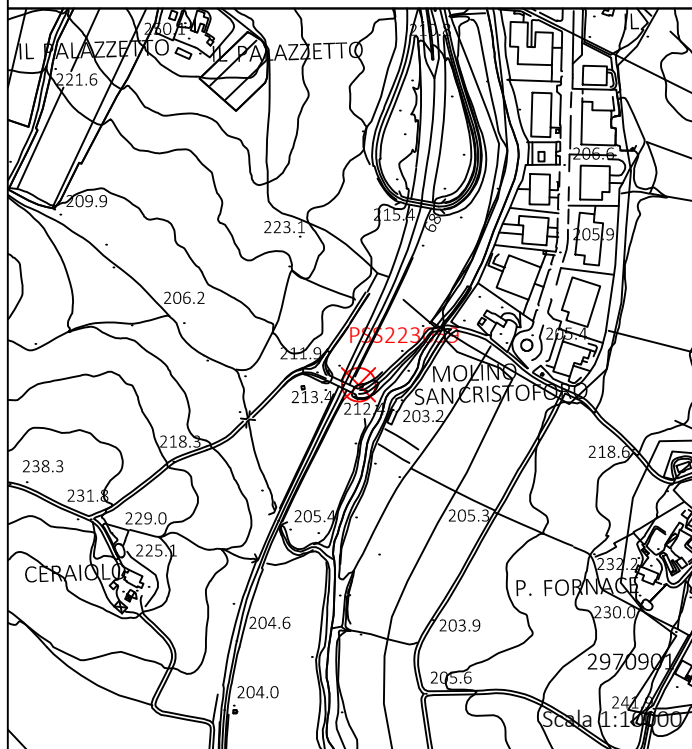
SCHIZZO MONOGRAFICO :



FOTOGRAFIA :



STRALCIO CARTOGRAFIA :



COORDINATE DEL VERTICE :

| | |
|---------------------|----------------------------|
| Piane (Gauss-Boaga) | Geografiche (ETRF 2000) |
| N: 4795533.029 | ϕ : 43° 17' 19.2016" |
| E: 1689434.77 | λ : 11° 20' 4.775" |
| Q ort.: 206.111 | Q ell.: 253.752 |

Fuso OVEST

| | |
|-------------------------|-------------------|
| Piane (UTM - ETRF 2000) | Rettilinee Locali |
| N: 4795518.29 | N: 4795549.568 |
| E: 689404.227 | E: 689371.4389 |
| Q ort.: 206.111 | |

Fuso 32 Nord

RIFERIMENTI PLANIMETRICI

R1 : Bordo striscia 0.25 m.
R2 : Bordo pavimentazione 0.32 m.
R3 : Bordo pavimentazione 7.73 m.

Impresa Esecutrice RTI :

Sina S.p.a. - Impresa Rossi Luigi S.r.l.





Accordo Quadro DG 41/16 per Rilievi Topografici e Misurazioni

VERTICI RETE DI INQUADRAMENTO RAFFITTIMENTO E POLIGONALI

CONTRATTO APPLICATIVO: Esecuzione di rilievi topografici relativi alla progettazione definitiva dell'intervento E78 Tratto Siena - Bettolle (A1). Adeguamento a 4 corsie del tratto Siena - Ruffolo (Lotto 0)

VERTICE

PSS223060

CIG Derivato: 7654027EE1

Data esecuzione

2 aprile 2019

ACCESSO :

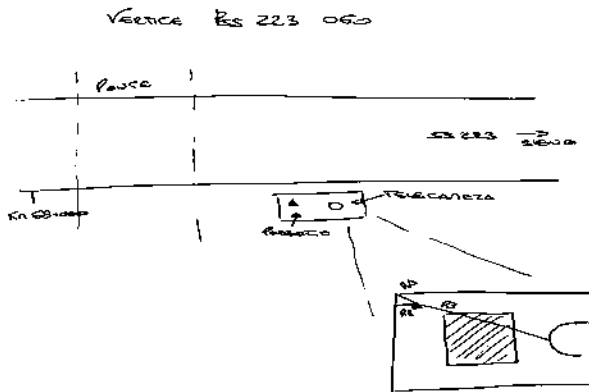
Seguire la strada statale 223 direzione Arezzo fino alla progressiva 68+000

MATERIALIZZAZIONE :

Centrino metallico infisso con apposita borchia su pozzetto in calcestruzzo

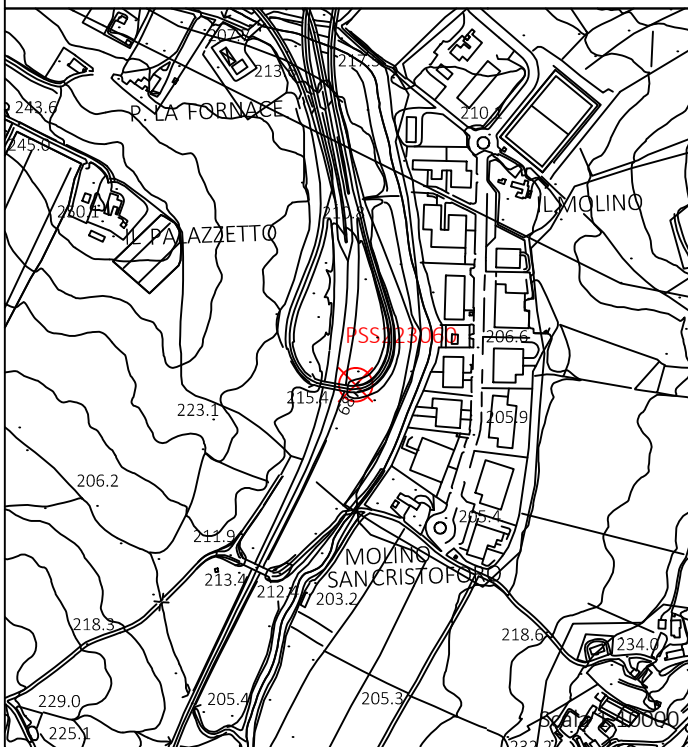
SCHIZZO MONOGRAFICO :

FOTOGRAFIA :



STRALCIO CARTOGRAFIA :

COORDINATE DEL VERTICE :



| | |
|---------------------|--------------------------------|
| Piane (Gauss-Boaga) | Geografiche (ETRF 2000) |
| N: 4795761.371 | ϕ : 43 ° 17 ' 26.5029 " |
| E: 1689539.282 | λ : 11 ° 20 ' 9.6921 " |
| Q ort.: 208.211 | Q ell.: 255.845 |

Fuso OVEST

| | |
|-------------------------|-------------------|
| Piane (UTM - ETRF 2000) | Rettilinee Locali |
| N: 4795746.633 | N: 4795774.883 |
| E: 689508.74 | E: 689482.3298 |
| Q ort.: 208.211 | |

Fuso 32 Nord

RIFERIMENTI PLANIMETRICI

- R1 : Vertice pozzetto 0.25 m.
- R2 : Bordo pozzetto 0.15 m.
- R3 : Supporto telecamera 0.70 m.

Impresa Esecutrice RTI :

Sina S.p.a. - Impresa Rossi Luigi S.r.l.



Accordo Quadro DG 41/16 per Rilievi Topografici e Misurazioni



VERTICI DI LIVELLAZIONE

CONTRATTO APPLICATIVO: Esecuzione di rilievi topografici relativi alla progettazione definitiva dell'intervento E78 Tratto Siena - Bettolle (A1). Adeguamento a 4 corsie del tratto Siena - Ruffolo (Lotto 0)

VERTICE

LSS223013

CIG Derivato: 7654027EE1

Data esecuzione

2 aprile 2019

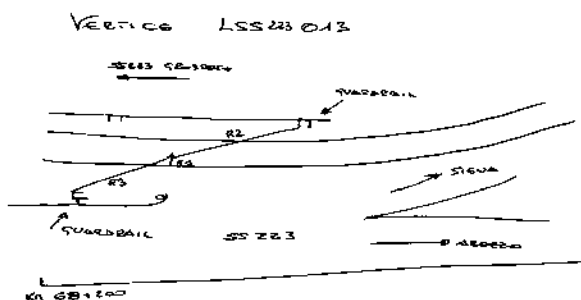
ACCESSO :

Seguire la SS223 in direzione Arezzo fino alla progressiva 68+200

MATERIALIZZAZIONE :

Centrino metallico infisso con apposita borchia su cordolo in calcestruzzo

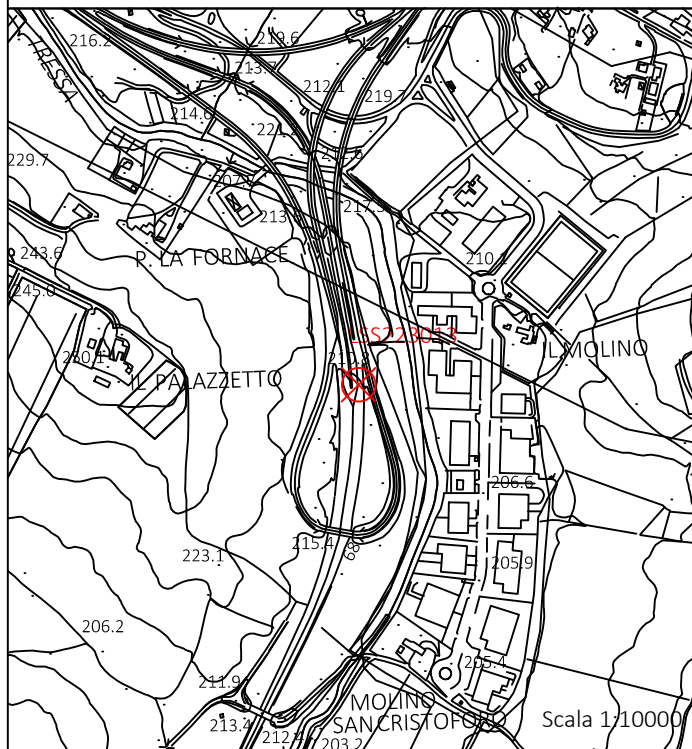
SCHIZZO MONOGRAFICO :



FOTOGRAFIA :



STRALCIO CARTOGRAFIA :



COORDINATE DEL VERTICE :

| | | | |
|-------------------------|-------------|-------------------------|---------------------|
| Piane (Gauss-Boaga) | | Geografiche (ETRF 2000) | |
| N: | 4795943.406 | ϕ : | 43 ° 17 ' 32.4016 " |
| E: | 1689536.477 | λ : | 11 ° 20 ' 9.7937 " |
| Q ort.: | 209.8596 | Q ell.: | 257.489 |
| Fuso OVEST | | | |
| Piane (UTM - ETRF 2000) | | Rettilinee Locali | |
| N: | 4795928.67 | N: | 4795956.927 |
| E: | 689505.939 | E: | 689484.6473 |
| Q ort.: | 209.8596 | | |
| Fuso 32 Nord | | | |

RIFERIMENTI PLANIMETRICI

- R1 : Bordo cordolo 0.12 m.
- R2 : Supporto guardavia 1.87 m.
- R3 : Supporto guardavia 2.70 m.

Quota di livellazione e coordinate planimetriche da poligonale

Impresa Esecutrice RTI :

Sina S.p.a. - Impresa Rossi Luigi S.r.l.



Accordo Quadro DG 41/16 per Rilievi Topografici e Misurazioni



VERTICI RETE DI INQUADRAMENTO RAFFITTIMENTO E POLIGONALI

CONTRATTO APPLICATIVO: Esecuzione di rilievi topografici relativi alla progettazione definitiva dell'intervento E78 Tratto Siena - Bettolle (A1). Adeguamento a 4 corsie del tratto Siena - Ruffolo (Lotto 0)

VERTICE **PSS223061**

CIG Derivato: 7654027EE1

Data esecuzione

2 aprile 2019

ACCESSO :

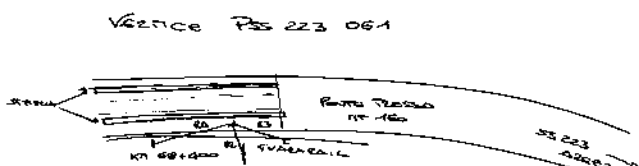
MATERIALIZZAZIONE :

Seguire la strada statale 223 direzione Arezzo alla progressiva 68+400

Centrino metallico infisso con apposita borchia su pavimentazione stradale

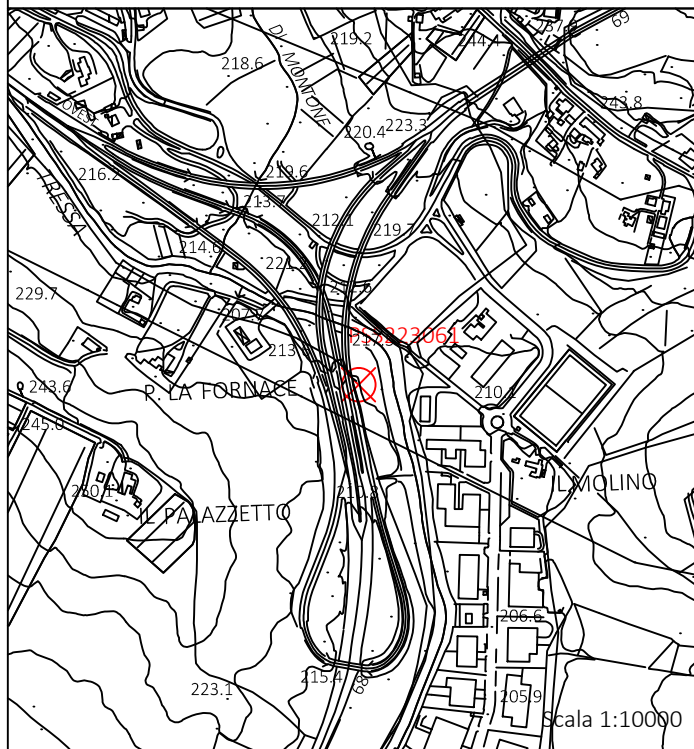
SCHIZZO MONOGRAFICO :

FOTOGRAFIA :



STRALCIO CARTOGRAFIA :

COORDINATE DEL VERTICE :



| | | | |
|-------------------------|----------------|-------------------------|------------------|
| Piane (Gauss-Boaga) | | Geografiche (ETRF 2000) | |
| N: | 4796110.458 | ϕ : | 43° 17' 37.8223" |
| E: | 1689525.534 | λ : | 11° 20' 9.5159" |
| Q ort.: | <u>214.951</u> | Q ell.: | <u>262.576</u> |
| Fuso OVEST | | | |
| Piane (UTM - ETRF 2000) | | Rettilinee Locali | |
| N: | 4796095.724 | N: | 4796124.223 |
| E: | 689495 | E: | 689478.409 |
| Q ort.: | <u>214.951</u> | | |
| Fuso 32 Nord | | | |

RIFERIMENTI PLANIMETRICI

- R1 : Supporto progressiva 1.15 m.
- R2 : Supporto segnaletica 1.40 m.
- R3 : Supporto Guardavia 1.40 m.

Impresa Esecutrice RTI :

Sina S.p.a. - Impresa Rossi Luigi S.r.l.



Accordo Quadro DG 41/16 per Rilievi Topografici e Misurazioni



VERTICI RETE DI INQUADRAMENTO RAFFITTIMENTO E POLIGONALI

CONTRATTO APPLICATIVO: Esecuzione di rilievi topografici relativi alla progettazione definitiva dell'intervento E78 Tratto Siena - Bettolle (A1). Adeguamento a 4 corsie del tratto Siena - Ruffolo (Lotto 0)

VERTICE **PSS223062**

CIG Derivato: 7654027EE1

Data esecuzione

2 aprile 2019

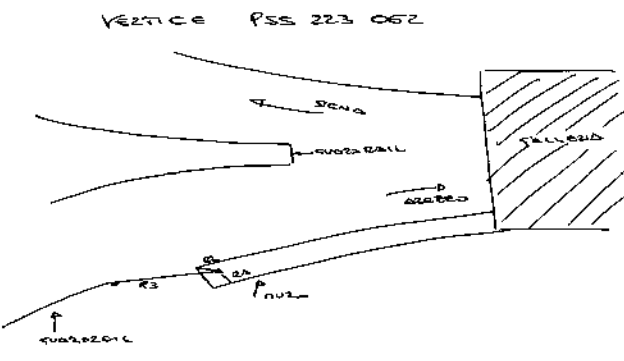
ACCESSO :

Seguire la strada statale 223 direzione Arezzo all'imbocco della galleria ca. km. 68+700

MATERIALIZZAZIONE :

Centrino metallico infisso con apposita borchia su muro in calcestruzzo

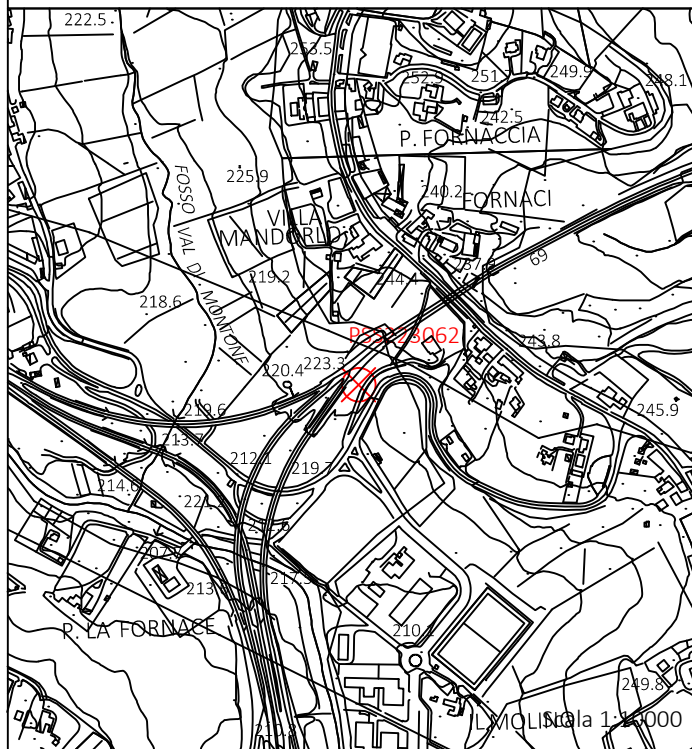
SCHIZZO MONOGRAFICO :



FOTOGRAFIA :



STRALCIO CARTOGRAFIA :



COORDINATE DEL VERTICE :

| | | | |
|-------------------------|-------------|-------------------------|---------------------|
| Piane (Gauss-Boaga) | | Geografiche (ETRF 2000) | |
| N: | 4796408.323 | ϕ : | 43 ° 17 ' 47.3773 " |
| E: | 1689627.887 | λ : | 11 ° 20 ' 14.4243 " |
| Q ort.: | 223.698 | Q ell.: | 271.314 |
| Fuso OVEST | | | |
| Piane (UTM - ETRF 2000) | | Rettilinee Locali | |
| N: | 4796393.591 | N: | 4796419.095 |
| E: | 689597.356 | E: | 689589.0989 |
| Q ort.: | 223.698 | | |
| Fuso 32 Nord | | | |

RIFERIMENTI PLANIMETRICI

- R1 : Bordo muretto 0.40 m.
- R2 : Vertice muretto 0.14 m.
- R3 : Supporto guardavia 3.62 m.

Impresa Esecutrice RTI :

Sina S.p.a. - Impresa Rossi Luigi S.r.l.



Accordo Quadro DG 41/16 per Rilievi Topografici e Misurazioni



VERTICI RETE DI INQUADRAMENTO RAFFITTIMENTO E POLIGONALI

CONTRATTO APPLICATIVO: Esecuzione di rilievi topografici relativi alla progettazione definitiva dell'intervento E78 Tratto Siena - Bettolle (A1). Adeguamento a 4 corsie del tratto Siena - Ruffolo (Lotto 0)

VERTICE **PSS223063**

CIG Derivato: 7654027EE1

Data esecuzione

2 aprile 2019

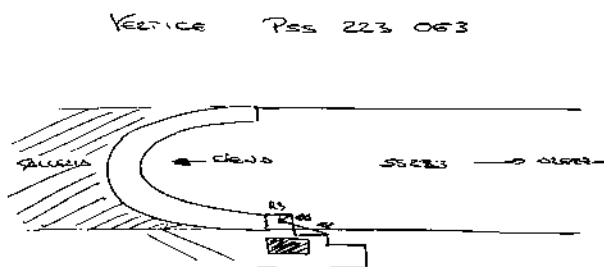
ACCESSO :

Seguire la strada statale 223 direzione Arezzo fino all'uscita dalla galleria ca. km. 69+000

MATERIALIZZAZIONE :

Centrino metallico infisso con apposita borchia su marciapiede in calcestruzzo

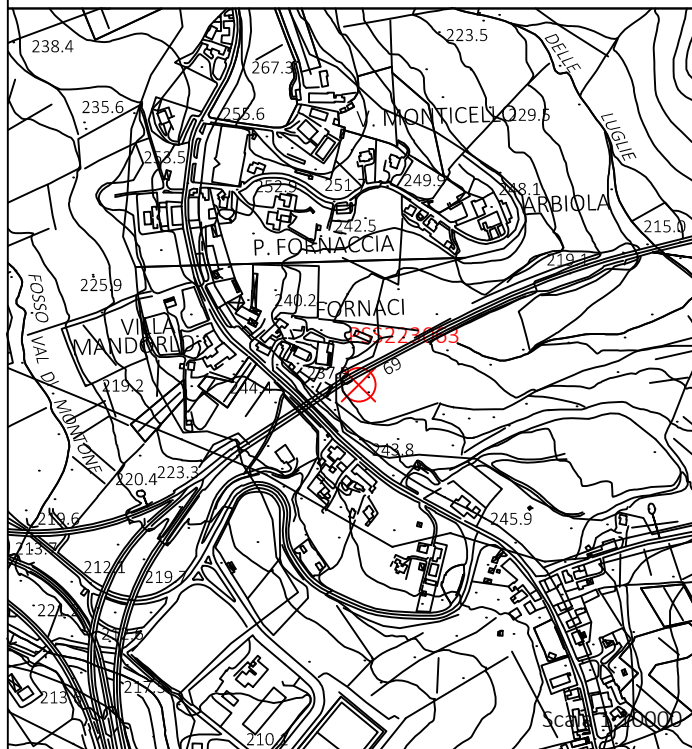
SCHIZZO MONOGRAFICO :



FOTOGRAFIA :



STRALCIO CARTOGRAFIA :



COORDINATE DEL VERTICE :

| | | | |
|-------------------------|-------------|-------------------------|---------------------|
| Piane (Gauss-Boaga) | | Geografiche (ETRF 2000) | |
| N: | 4796544.487 | ϕ : | 43 ° 17 ' 51.6216 " |
| E: | 1689810.891 | λ : | 11 ° 20 ' 22.7084 " |
| Q ort.: | 224.291 | Q ell.: | 271.9 |
| Fuso OVEST | | | |
| Piane (UTM - ETRF 2000) | | Rettilinee Locali | |
| N: | 4796529.755 | N: | 4796550.06 |
| E: | 689780.356 | E: | 689775.8549 |
| Q ort.: | 224.291 | | |
| Fuso 32 Nord | | | |

RIFERIMENTI PLANIMETRICI

- R1 : Vertice marciapiede 0.14 m.
- R2 : Vertice marciapiede 0.85 m.
- R3 : Bordo marciapiede 0.11 m.

Impresa Esecutrice RTI :

Sina S.p.a. - Impresa Rossi Luigi S.r.l.





Accordo Quadro DG 41/16 per Rilievi Topografici e Misurazioni

VERTICI RETE DI INQUADRAMENTO RAFFITTIMENTO E POLIGONALI

CONTRATTO APPLICATIVO: Esecuzione di rilievi topografici relativi alla progettazione definitiva dell'intervento E78 Tratto Siena - Bettolle (A1). Adeguamento a 4 corsie del tratto Siena - Ruffolo (Lotto 0)

VERTICE

PSS223064

CIG Derivato: 7654027EE1

Data esecuzione

2 aprile 2019

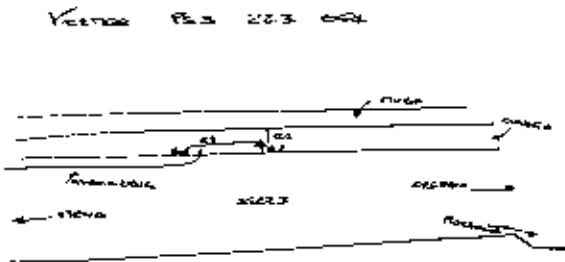
ACCESSO :

Seguire la strada statale 223 direzione Arezzo fino all'uscita dalla galleria, quindi proseguire fino alla prima piazzola ca. km. 69+200

MATERIALIZZAZIONE :

Centrino metallico infisso con apposita borchia su cunetta in calcestruzzo

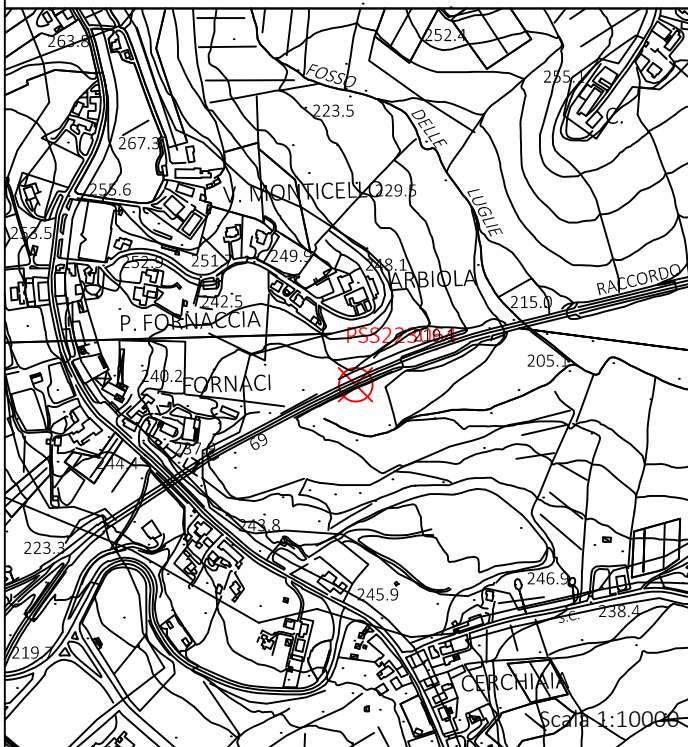
SCHIZZO MONOGRAFICO :



FOTOGRAFIA :



STRALCIO CARTOGRAFIA :



COORDINATE DEL VERTICE :

| | |
|---------------------|---------------------------------|
| Piane (Gauss-Boaga) | Geografiche (ETRF 2000) |
| N: 4796639.09 | ϕ : 43 ° 17 ' 54.5377 " |
| E: 1689974.005 | λ : 11 ° 20 ' 30.0592 " |
| Q ort.: 222.052 | Q ell.: 269.656 |

Fuso OVEST

| | |
|-------------------------|-------------------|
| Piane (UTM - ETRF 2000) | Rettilinee Locali |
| N: 4796624.357 | N: 4796640.039 |
| E: 689943.467 | E: 689941.5612 |
| Q ort.: 222.052 | |

Fuso 32 Nord

RIFERIMENTI PLANIMETRICI

R1 : Bordo muro 0.81 m.
R2 : Bordo cunetta 0.10 m.
R3 : Supporto guardavia 5.88 m.

Impresa Esecutrice RTI :

Sina S.p.a. - Impresa Rossi Luigi S.r.l.



Accordo Quadro DG 41/16 per Rilievi Topografici e Misurazioni



VERTICI DI LIVELLAZIONE

CONTRATTO APPLICATIVO: Esecuzione di rilievi topografici relativi alla progettazione definitiva dell'intervento E78 Tratto Siena - Bettolle (A1). Adeguamento a 4 corsie del tratto Siena - Ruffolo (Lotto 0)

VERTICE

LSS223014

CIG Derivato: 7654027EE1

Data esecuzione

2 aprile 2019

ACCESSO :

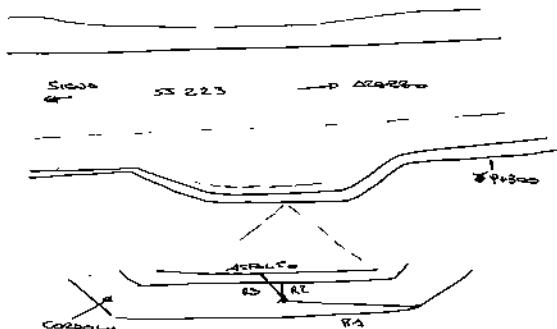
Seguire la SS223 in direzione Arezzo fino alla progressiva 69+300

MATERIALIZZAZIONE :

Centrino metallico infisso con apposita borchia su cordolo in calcestruzzo

SCHIZZO MONOGRAFICO :

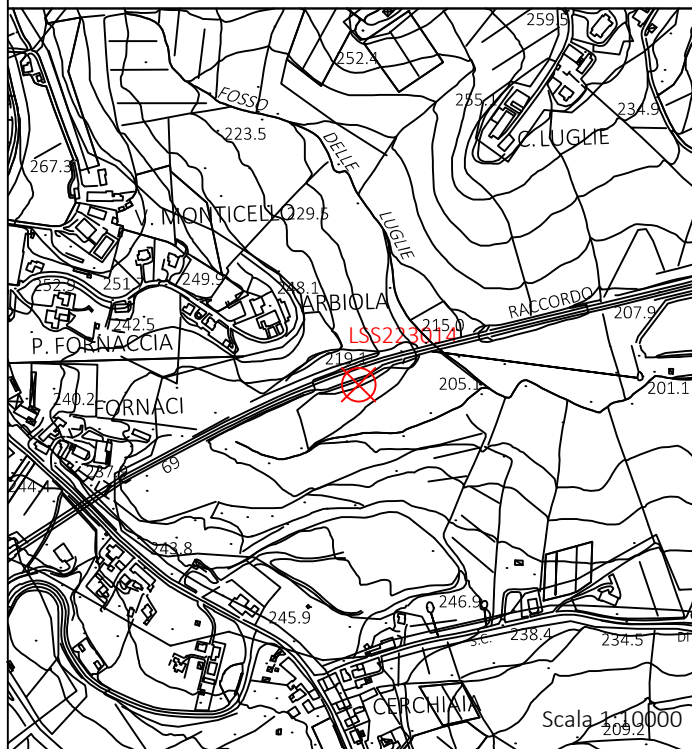
Vertice LSS 223 014



FOTOGRAFIA :



STRALCIO CARTOGRAFIA :



COORDINATE DEL VERTICE :

| | | | |
|-------------------------|-------------|-------------------------|---------------------|
| Piane (Gauss-Boaga) | | Geografiche (ETRF 2000) | |
| N: | 4796667.85 | ϕ : | 43 ° 17 ' 55.3657 " |
| E: | 1690087.879 | λ : | 11 ° 20 ' 35.1447 " |
| Q ort.: | 219.1243 | Q ell.: | 266.726 |
| Fuso OVEST | | | |
| Piane (UTM - ETRF 2000) | | Rettilinee Locali | |
| N: | 4796653.116 | N: | 4796665.585 |
| E: | 690057.337 | E: | 690056.1947 |
| Q ort.: | 219.1243 | | |
| Fuso 32 Nord | | | |

RIFERIMENTI PLANIMETRICI

- R1 : Vertice cordolo 21.10 m.
 - R2 : Bordo cordolo 0.12 m.
 - R3 : Bordo asfalto 1.05 m.
- Quota di livellazione e coordinate planimetriche da poligonale

Impresa Esecutrice RTI :

Sina S.p.a. - Impresa Rossi Luigi S.r.l.



Accordo Quadro DG 41/16 per Rilievi Topografici e Misurazioni



VERTICI RETE DI INQUADRAMENTO RAFFITTIMENTO E POLIGONALI

CONTRATTO APPLICATIVO: Esecuzione di rilievi topografici relativi alla progettazione definitiva dell'intervento E78 Tratto Siena - Bettolle (A1). Adeguamento a 4 corsie del tratto Siena - Ruffolo (Lotto 0)

VERTICE **PSS223065**

CIG Derivato: 7654027EE1

Data esecuzione

2 aprile 2019

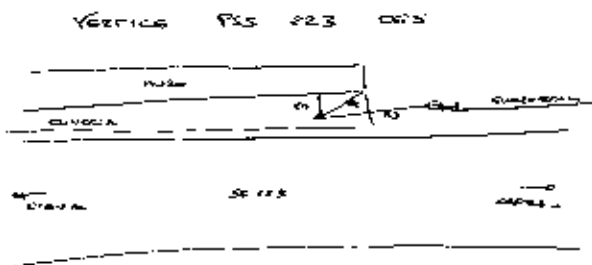
ACCESSO :

Seguire la strada statale 223 direzione Arezzo fino alla progressiva 69+400

MATERIALIZZAZIONE :

Centrino metallico infisso con apposita borchia su cunetta in calcestruzzo

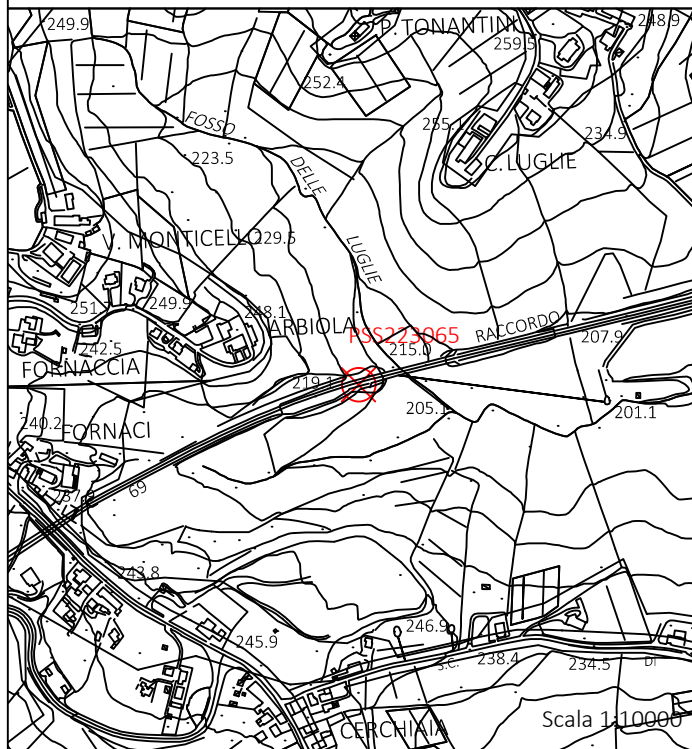
SCHIZZO MONOGRAFICO :



FOTOGRAFIA :



STRALCIO CARTOGRAFIA :



COORDINATE DEL VERTICE :

| | | | |
|-------------------------|-------------|-------------------------|---------------------|
| Piane (Gauss-Boaga) | | Geografiche (ETRF 2000) | |
| N: | 4796698.113 | ϕ : | 43 ° 17 ' 56.3085 " |
| E: | 1690129 | λ : | 11 ° 20 ' 37.0058 " |
| Q ort.: | 218.115 | Q ell.: | 265.715 |
| Fuso OVEST | | | |
| Piane (UTM - ETRF 2000) | | Rettilinee Locali | |
| N: | 4796683.379 | N: | 4796694.68 |
| E: | 690098.457 | E: | 690098.1492 |
| Q ort.: | 218.115 | | |
| Fuso 32 Nord | | | |

RIFERIMENTI PLANIMETRICI

- R1 : Bordo cunetta 0.18 m.
- R2 : Vertice muro 0.25 m.
- R3 : Supporto guardavia 0.60 m.

Impresa Esecutrice RTI :

Sina S.p.a. - Impresa Rossi Luigi S.r.l.





Accordo Quadro DG 41/16 per Rilievi Topografici e Misurazioni

VERTICI RETE DI INQUADRAMENTO RAFFITTIMENTO E POLIGONALI

CONTRATTO APPLICATIVO: Esecuzione di rilievi topografici relativi alla progettazione definitiva dell'intervento E78 Tratto Siena - Bettolle (A1). Adeguamento a 4 corsie del tratto Siena - Ruffolo (Lotto 0)

VERTICE

PSS223066

CIG Derivato: 7654027EE1

Data esecuzione

2 aprile 2019

ACCESSO :

Seguire la strada statale 223 direzione Arezzo fino alla progressiva 69+750

MATERIALIZZAZIONE :

Centrino metallico infisso con apposita borchia su cunetta in calcestruzzo

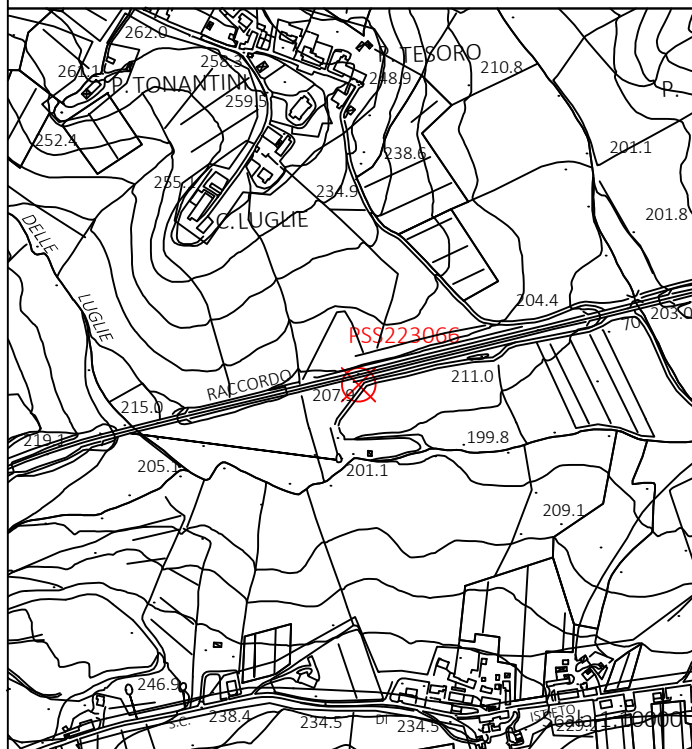
SCHIZZO MONOGRAFICO :



FOTOGRAFIA :



STRALCIO CARTOGRAFIA :



COORDINATE DEL VERTICE :

| | | | |
|-------------------------|-------------|-------------------------|---------------------|
| Piane (Gauss-Boaga) | | Geografiche (ETRF 2000) | |
| N: | 4796770.544 | ϕ : | 43 ° 17 ' 58.3492 " |
| E: | 1690464.426 | λ : | 11 ° 20 ' 51.9704 " |
| Q ort.: | 208.513 | Q ell.: | 256.106 |
| Fuso OVEST | | | |
| Piane (UTM - ETRF 2000) | | Rettilinee Locali | |
| N: | 4796755.807 | N: | 4796757.648 |
| E: | 690433.873 | E: | 690435.4683 |
| Q ort.: | 208.513 | | |
| Fuso 32 Nord | | | |

RIFERIMENTI PLANIMETRICI

- R1 : Bordo muro 0.10 m.
- R2 : Bordo cunetta 1.07 m.
- R3 : Bordo muro 3.83 m.

Impresa Esecutrice RTI :

Sina S.p.a. - Impresa Rossi Luigi S.r.l.





Accordo Quadro DG 41/16 per Rilievi Topografici e Misurazioni

VERTICI RETE DI INQUADRAMENTO RAFFITTIMENTO E POLIGONALI

CONTRATTO APPLICATIVO: Esecuzione di rilievi topografici relativi alla progettazione definitiva dell'intervento E78 Tratto Siena - Bettolle (A1). Adeguamento a 4 corsie del tratto Siena - Ruffolo (Lotto 0)

VERTICE **PSS223067**

CIG Derivato: 7654027EE1

Data esecuzione

2 aprile 2019

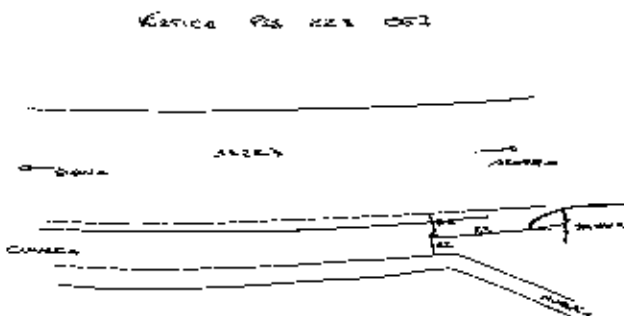
ACCESSO :

Seguire la strada statale 223 direzione Arezzo fino alla progressiva 69+950

MATERIALIZZAZIONE :

Centrino metallico infisso con apposita borchia su cunetta in calcestruzzo

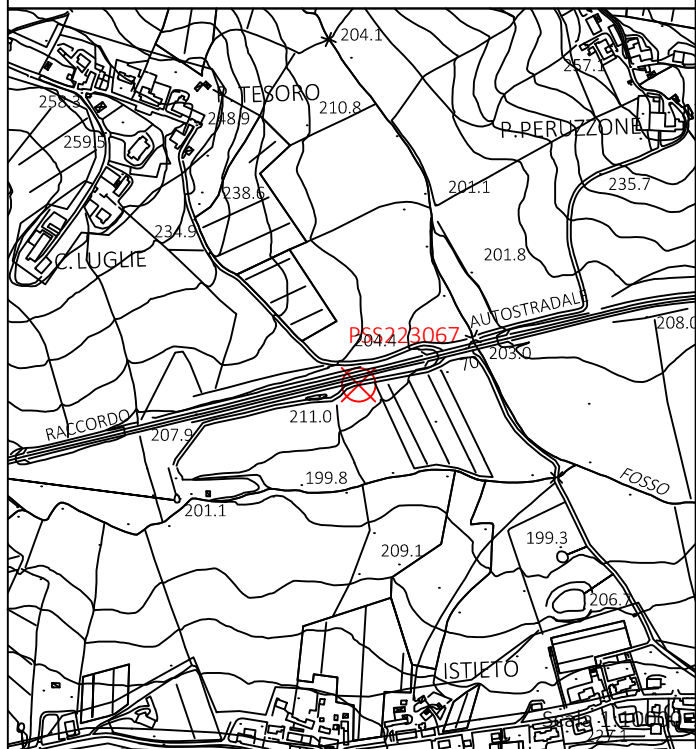
SCHIZZO MONOGRAFICO :



FOTOGRAFIA :



STRALCIO CARTOGRAFIA :



COORDINATE DEL VERTICE :

| | | | |
|-------------------------|-------------|-------------------------|---------------------|
| Piane (Gauss-Boaga) | | Geografiche (ETRF 2000) | |
| N: | 4796820.917 | ϕ : | 43 ° 17 ' 59.7965 " |
| E: | 1690666.646 | λ : | 11 ° 21 ' 1.0007 " |
| Q ort.: | 204.903 | Q ell.: | 252.491 |
| Fuso OVEST | | | |
| Piane (UTM - ETRF 2000) | | Rettilinee Locali | |
| N: | 4796806.179 | N: | 4796802.315 |
| E: | 690636.087 | E: | 690639.018 |
| Q ort.: | 204.903 | | |
| Fuso 32 Nord | | | |

RIFERIMENTI PLANIMETRICI

- R1 : Bordo cunetta 0.16 m.
- R2 : Bordo muretto 0.84 m.
- R3 : Supporto guardavia 1030 m.

Impresa Esecutrice RTI :

Sina S.p.a. - Impresa Rossi Luigi S.r.l.



Accordo Quadro DG 41/16 per Rilievi Topografici e Misurazioni



VERTICI RETE DI INQUADRAMENTO RAFFITTIMENTO E POLIGONALI

CONTRATTO APPLICATIVO: Esecuzione di rilievi topografici relativi alla progettazione definitiva dell'intervento E78 Tratto Siena - Bettolle (A1). Adeguamento a 4 corsie del tratto Siena - Ruffolo (Lotto 0)

VERTICE

PSS223068

CIG Derivato: 7654027EE1

Data esecuzione

2 aprile 2019

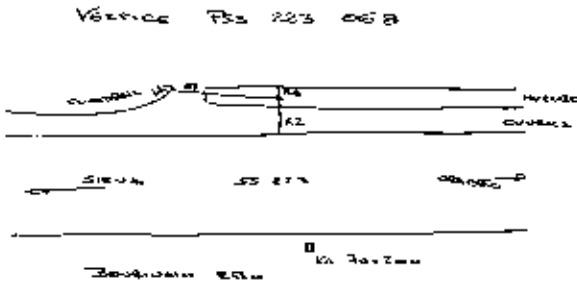
ACCESSO :

Seguire la strada statale 223 direzione Arezzo all'imbocco della galleria ca. km. 70+200

MATERIALIZZAZIONE :

Centrino metallico infisso con apposita borchia su cunetta in calcestruzzo

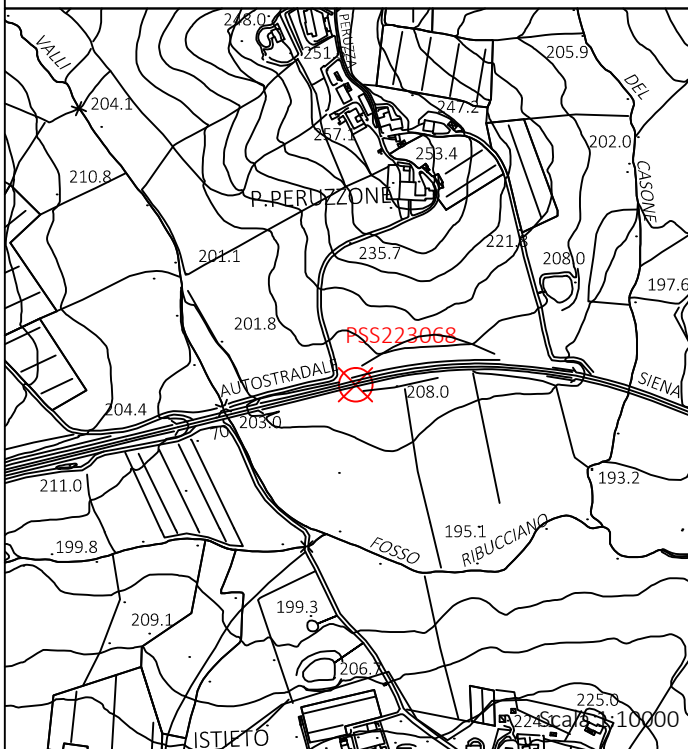
SCHIZZO MONOGRAFICO :



FOTOGRAFIA :



STRALCIO CARTOGRAFIA :



COORDINATE DEL VERTICE :

| | | | |
|-------------------------|-------------|-------------------------|---------------------|
| Piane (Gauss-Boaga) | | Geografiche (ETRF 2000) | |
| N: | 4796907.299 | ϕ : | 43 ° 18 ' 2.3127 " |
| E: | 1690975.17 | λ : | 11 ° 21 ' 14.7902 " |
| Q ort.: | 203.485 | Q ell.: | 251.066 |
| Fuso OVEST | | | |
| Piane (UTM - ETRF 2000) | | Rettilinee Locali | |
| N: | 4796892.558 | N: | 4796879.985 |
| E: | 690944.602 | E: | 690949.8383 |
| Q ort.: | 203.485 | | |
| Fuso 32 Nord | | | |

RIFERIMENTI PLANIMETRICI

- R1 : Bordo muro 0.10 m.
- R2 : Bordo cunetta 1.12 m.
- R3 : Supporto guardavia 7.00 m.

Impresa Esecutrice RTI :

Sina S.p.a. - Impresa Rossi Luigi S.r.l.



Accordo Quadro DG 41/16 per Rilievi Topografici e Misurazioni



VERTICI DI LIVELLAZIONE

CONTRATTO APPLICATIVO: Esecuzione di rilievi topografici relativi alla progettazione definitiva dell'intervento E78 Tratto Siena - Bettolle (A1). Adeguamento a 4 corsie del tratto Siena - Ruffolo (Lotto 0)

VERTICE

LSS223015

CIG Derivato: 7654027EE1

Data esecuzione

2 aprile 2019

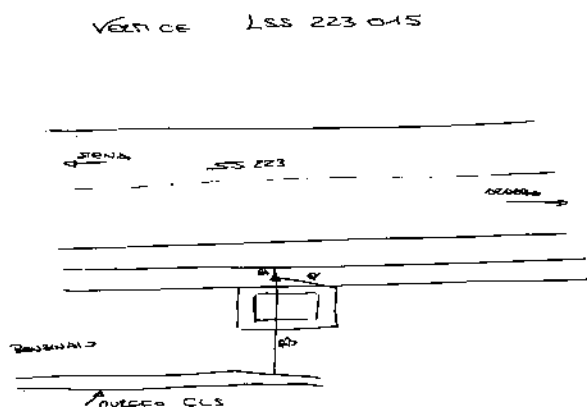
ACCESSO :

Seguire la SS223 in direzione Arezzo fino alla progressiva 70+300

MATERIALIZZAZIONE :

Centrino metallico infisso con apposita borchia su cordolo in calcestruzzo

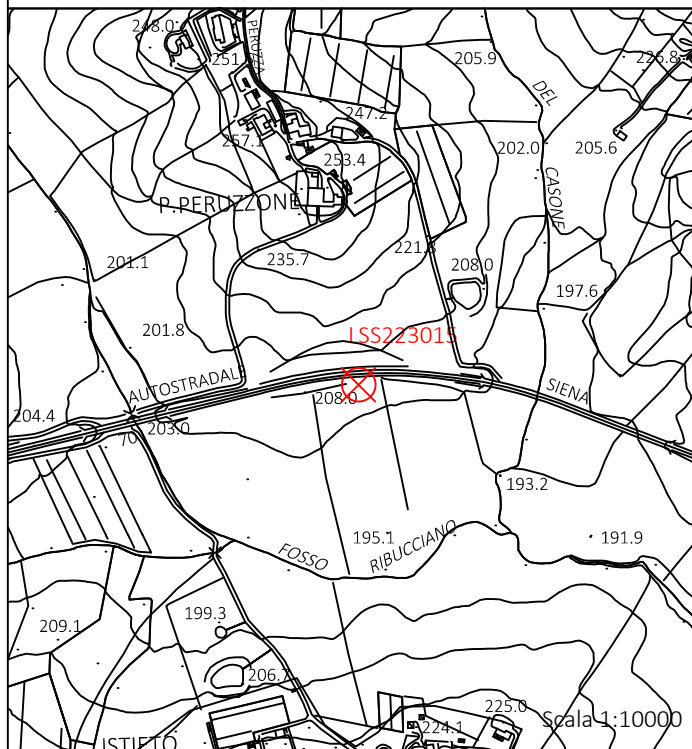
SCHIZZO MONOGRAFICO :



FOTOGRAFIA :



STRALCIO CARTOGRAFIA :



COORDINATE DEL VERTICE :

| | | | |
|-------------------------|-------------|-------------------------|---------------------|
| Piane (Gauss-Boaga) | | Geografiche (ETRF 2000) | |
| N: | 4796915.139 | ϕ : | 43 ° 18 ' 2.4584 " |
| E: | 1691093.61 | λ : | 11 ° 21 ' 20.0522 " |
| Q ort.: | 203.97 | Q ell.: | 251.549 |
| Fuso OVEST | | | |
| Piane (UTM - ETRF 2000) | | Rettilinee Locali | |
| N: | 4796900.397 | N: | 4796884.491 |
| E: | 691063.038 | E: | 691068.4473 |
| Q ort.: | 203.97 | | |
| Fuso 32 Nord | | | |

RIFERIMENTI PLANIMETRICI

- R1 : Bordo cordolo 0.15 m.
- R2 : Vertice pozzetto 0.67 m.
- R3 : Bordo muretto 2.10 m.

Quota di livellazione e coordinate planimetriche da poligonale

Impresa Esecutrice RTI :

Sina S.p.a. - Impresa Rossi Luigi S.r.l.





Accordo Quadro DG 41/16 per Rilievi Topografici e Misurazioni

VERTICI RETE DI INQUADRAMENTO RAFFITTIMENTO E POLIGONALI

CONTRATTO APPLICATIVO: Esecuzione di rilievi topografici relativi alla progettazione definitiva dell'intervento E78 Tratto Siena - Bettolle (A1). Adeguamento a 4 corsie del tratto Siena - Ruffolo (Lotto 0)

VERTICE

PSS223069

CIG Derivato: 7654027EE1

Data esecuzione

2 aprile 2019

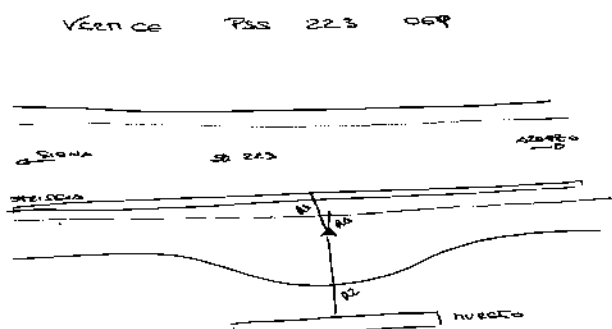
ACCESSO :

Seguire la SS223 in direzione Arezzo fino alla progressiva 70+750

MATERIALIZZAZIONE :

Centrino metallico infisso con apposita borchia su pavimentazione stradale

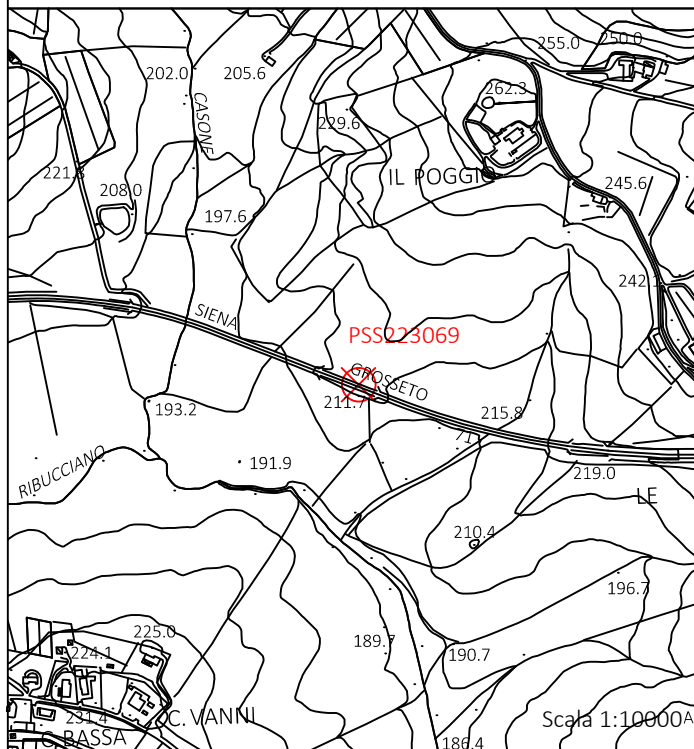
SCHIZZO MONOGRAFICO :



FOTOGRAFIA :



STRALCIO CARTOGRAFIA :



COORDINATE DEL VERTICE :

| | |
|---------------------|---------------------------------|
| Piane (Gauss-Boaga) | Geografiche (ETRF 2000) |
| N: 4796821.985 | ϕ : 43 ° 17 ' 59.0394 " |
| E: 1691532.804 | λ : 11 ° 21 ' 39.4114 " |
| Q ort.: 211.552 | Q ell.: 259.125 |

Fuso OVEST

| | |
|-------------------------|-------------------|
| Piane (UTM - ETRF 2000) | Rettilinee Locali |
| N: 4796807.239 | N: 4796779.022 |
| E: 691502.215 | E: 691504.8284 |
| Q ort.: 211.552 | |

Fuso 32 Nord

RIFERIMENTI PLANIMETRICI

R1 : Bordo pavimentazione 0.10 m.
R2 : Bordo muretto 1.00 m.
R3 : Bordo striscia 1.35 m.

Impresa Esecutrice RTI :

Sina S.p.a. - Impresa Rossi Luigi S.r.l.





Accordo Quadro DG 41/16 per Rilievi Topografici e Misurazioni

VERTICI RETE DI INQUADRAMENTO RAFFITTIMENTO E POLIGONALI

CONTRATTO APPLICATIVO: Esecuzione di rilievi topografici relativi alla progettazione definitiva dell'intervento E78 Tratto Siena - Bettolle (A1). Adeguamento a 4 corsie del tratto Siena - Ruffolo (Lotto 0)

VERTICE **PSS223070**

CIG Derivato: 7654027EE1

Data esecuzione

2 aprile 2019

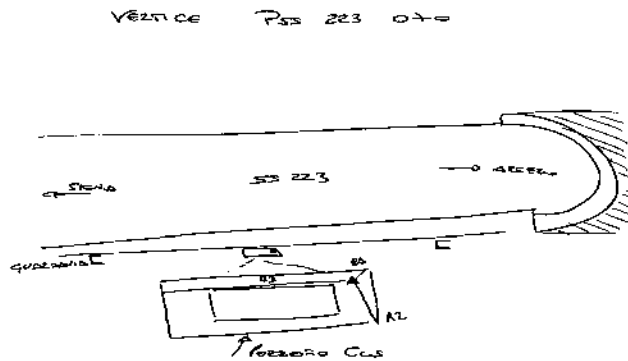
ACCESSO :

Seguire la SS223 in direzione Arezzo fino alla progressiva 71+050

MATERIALIZZAZIONE :

Centrino metallico infisso con apposita borchia su pozzetto in calcestruzzo

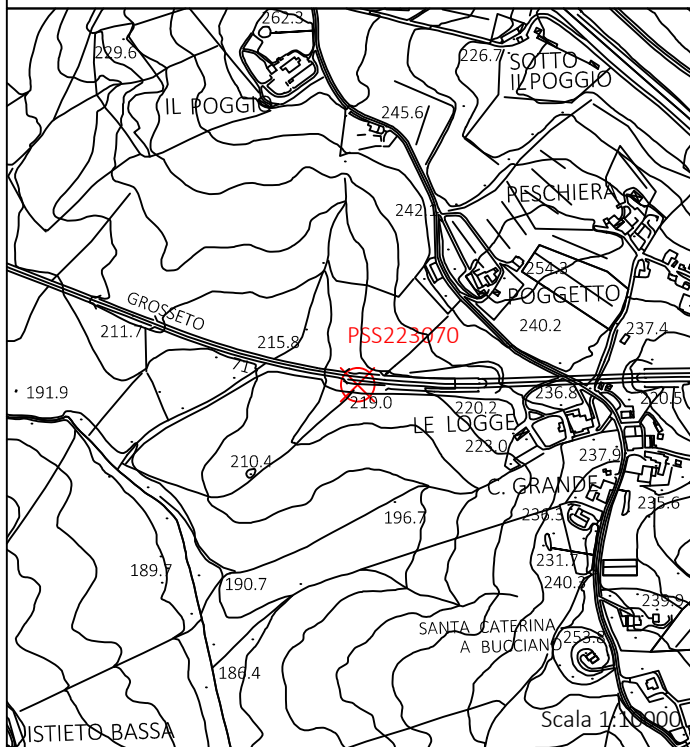
SCHIZZO MONOGRAFICO :



FOTOGRAFIA :



STRALCIO CARTOGRAFIA :



COORDINATE DEL VERTICE :

| | | | |
|-------------------------|-------------|-------------------------|---------------------|
| Piane (Gauss-Boaga) | | Geografiche (ETRF 2000) | |
| N: | 4796733.634 | φ: | 43 ° 17 ' 55.9229 " |
| E: | 1691810.803 | λ: | 11 ° 21 ' 51.628 " |
| Q ort.: | 218.707 | Q ell.: | 266.278 |
| Fuso OVEST | | | |
| Piane (UTM - ETRF 2000) | | Rettilinee Locali | |
| N: | 4796718.885 | N: | 4796682.888 |
| E: | 691780.202 | E: | 691780.219 |
| Q ort.: | 218.707 | | |
| Fuso 32 Nord | | | |

RIFERIMENTI PLANIMETRICI

- R1 : Vertice pozzetto 0.12 m.
- R2 : Vertice pozzetto 0.95 m.
- R3 : Vertice pozzetto 1.76 m.

Impresa Esecutrice RTI :

Sina S.p.a. - Impresa Rossi Luigi S.r.l.





Accordo Quadro DG 41/16 per Rilievi Topografici e Misurazioni

VERTICI RETE DI INQUADRAMENTO RAFFITTIMENTO E POLIGONALI

CONTRATTO APPLICATIVO: Esecuzione di rilievi topografici relativi alla progettazione definitiva dell'intervento E78 Tratto Siena - Bettolle (A1). Adeguamento a 4 corsie del tratto Siena - Ruffolo (Lotto 0)

VERTICE **PSS223071**

CIG Derivato: 7654027EE1

Data esecuzione

2 aprile 2019

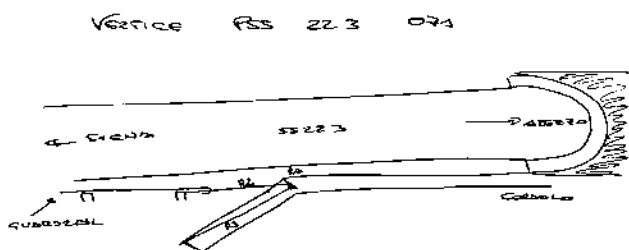
ACCESSO :

Seguire la SS223 in direzione Arezzo fino alla progressiva 71+150

MATERIALIZZAZIONE :

Centrino metallico infisso con apposita borchia su cordolo in calcestruzzo

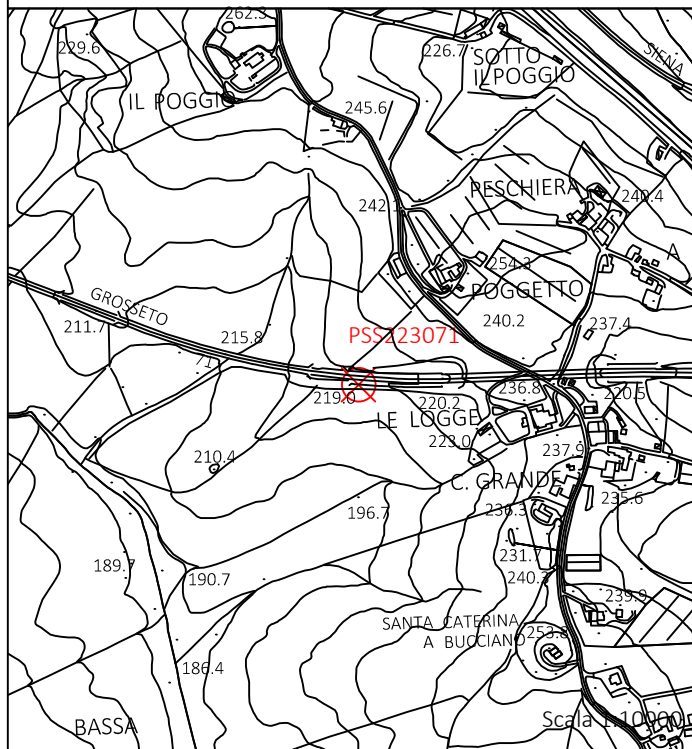
SCHIZZO MONOGRAFICO :



FOTOGRAFIA :



STRALCIO CARTOGRAFIA :



COORDINATE DEL VERTICE :

| | | | |
|-------------------------|-------------|-------------------------|---------------------|
| Piane (Gauss-Boaga) | | Geografiche (ETRF 2000) | |
| N: | 4796727.722 | ϕ : | 43 ° 17 ' 55.6883 " |
| E: | 1691857.812 | λ : | 11 ° 21 ' 53.7052 " |
| Q ort.: | 219.324 | Q ell.: | 266.894 |
| Fuso OVEST | | | |
| Piane (UTM - ETRF 2000) | | Rettilinee Locali | |
| N: | 4796712.972 | N: | 4796675.655 |
| E: | 691827.21 | E: | 691827.0417 |
| Q ort.: | 219.324 | | |
| Fuso 32 Nord | | | |

RIFERIMENTI PLANIMETRICI

- R1 : Vertice cordolo 0.14 m.
- R2 : Supporto guardavia 2.62 m.
- R3 : Vertice cordolo 3.95 m.

Impresa Esecutrice RTI :

Sina S.p.a. - Impresa Rossi Luigi S.r.l.



Accordo Quadro DG 41/16 per Rilievi Topografici e Misurazioni



VERTICI DI LIVELLAZIONE

CONTRATTO APPLICATIVO: Esecuzione di rilievi topografici relativi alla progettazione definitiva dell'intervento E78 Tratto Siena - Bettolle (A1). Adeguamento a 4 corsie del tratto Siena - Ruffolo (Lotto 0)

VERTICE

LSS223016

CIG Derivato: 7654027EE1

Data esecuzione

2 aprile 2019

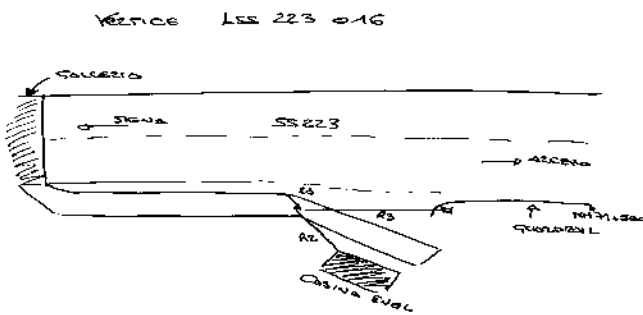
ACCESSO :

Seguire la SS223 in direzione Arezzo fino alla progressiva 71+500

MATERIALIZZAZIONE :

Centrino metallico infisso con apposita borchia su cordolo in calcestruzzo

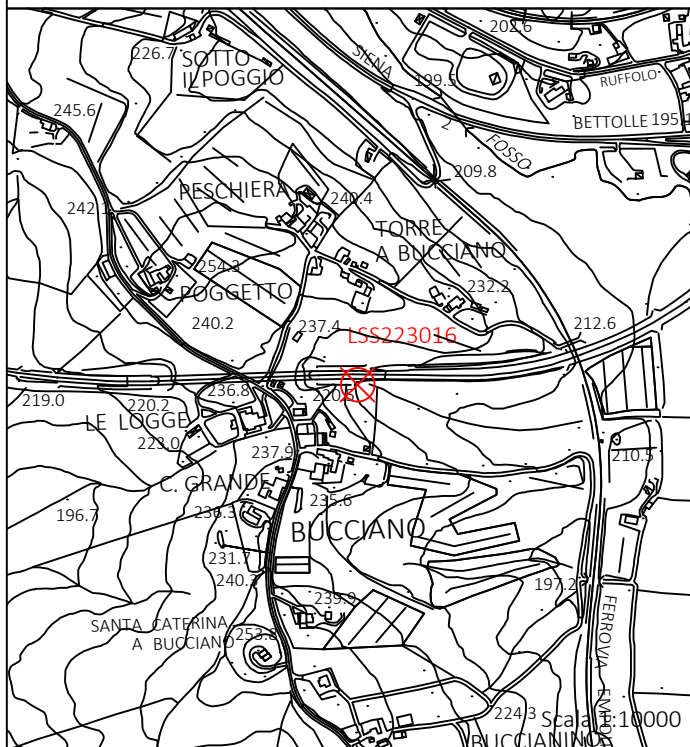
SCHIZZO MONOGRAFICO :



FOTOGRAFIA :



STRALCIO CARTOGRAFIA :



COORDINATE DEL VERTICE :

| Piane (Gauss-Boaga) | | Geografiche (ETRF 2000) | |
|-------------------------|-------------|-------------------------|---------------------|
| N: | 4796730.542 | ϕ : | 43 ° 17 ' 55.4467 " |
| E: | 1692220.294 | λ : | 11 ° 22 ' 9.7824 " |
| Q ort.: | 220.8488 | Q ell.: | 268.413 |
| Fuso OVEST | | | |
| Piane (UTM - ETRF 2000) | | Rettilinee Locali | |
| N: | 4796715.789 | N: | 4796668.28 |
| E: | 692189.679 | E: | 692189.4429 |
| Q ort.: | 220.8488 | | |
| Fuso 32 Nord | | | |

RIFERIMENTI PLANIMETRICI

- R1 : Vertice cordolo 0.44 m.
- R2 : Vertice cabine elettrica 1.78 m.
- R3 : Supporto guardavia 4.59 m.

Quota di livellazione e coordinate planimetriche da poligonale

Impresa Esecutrice RTI :

Sina S.p.a. - Impresa Rossi Luigi S.r.l.



Accordo Quadro DG 41/16 per Rilievi Topografici e Misurazioni



VERTICI RETE DI INQUADRAMENTO RAFFITTIMENTO E POLIGONALI

CONTRATTO APPLICATIVO: Esecuzione di rilievi topografici relativi alla progettazione definitiva dell'intervento E78 Tratto Siena - Bettolle (A1). Adeguamento a 4 corsie del tratto Siena - Ruffolo (Lotto 0)

VERTICE

PSS223072

CIG Derivato: 7654027EE1

Data esecuzione

2 aprile 2019

ACCESSO :

Seguire la strada statale 223 direzione Arezzo all'uscita della galleria ca. km. 71+700

MATERIALIZZAZIONE :

Centrino metallico infisso con apposita borchia su pozzetto in calcestruzzo

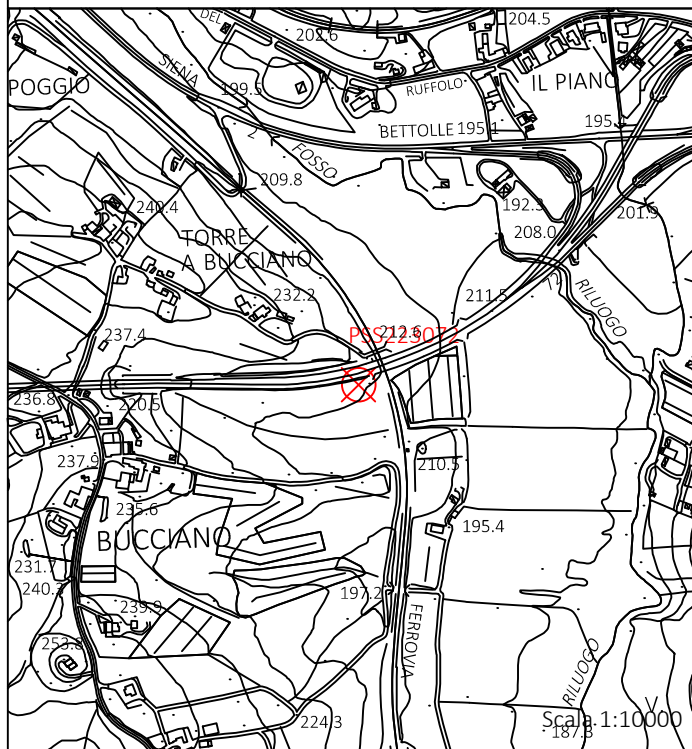
SCHIZZO MONOGRAFICO :



FOTOGRAFIA :



STRALCIO CARTOGRAFIA :



COORDINATE DEL VERTICE :

| | | | |
|-------------------------|-------------|-------------------------|---------------------|
| Piane (Gauss-Boaga) | | Geografiche (ETRF 2000) | |
| N: | 4796741.737 | ϕ : | 43 ° 17 ' 55.5848 " |
| E: | 1692464.31 | λ : | 11 ° 22 ' 20.617 " |
| Q ort.: | 217.507 | Q ell.: | 265.067 |
| Fuso OVEST | | | |
| Piane (UTM - ETRF 2000) | | Rettilinee Locali | |
| N: | 4796726.982 | N: | 4796672.608 |
| E: | 692433.687 | E: | 692433.6663 |
| Q ort.: | 217.507 | | |
| Fuso 32 Nord | | | |

RIFERIMENTI PLANIMETRICI

- R1 : Vertice pozzetto 0.12 m.
- R2 : Vertice pozzetto 0.98 m.
- R3 : Vertice pozzetto 1.76 m.

Impresa Esecutrice RTI :

Sina S.p.a. - Impresa Rossi Luigi S.r.l.





Accordo Quadro DG 41/16 per Rilievi Topografici e Misurazioni

VERTICI RETE DI INQUADRAMENTO RAFFITTIMENTO E POLIGONALI

CONTRATTO APPLICATIVO: Esecuzione di rilievi topografici relativi alla progettazione definitiva dell'intervento E78 Tratto Siena - Bettolle (A1). Adeguamento a 4 corsie del tratto Siena - Ruffolo (Lotto 0)

VERTICE

PSS223073

CIG Derivato: 7654027EE1

Data esecuzione

2 aprile 2019

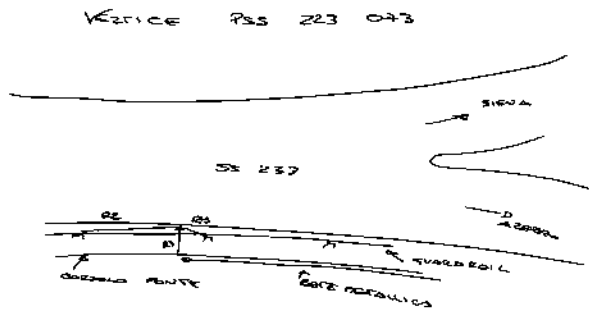
ACCESSO :

Seguire la strada statale 223 direzione Arezzo fino allo svincolo con la tangenziale di Siena

MATERIALIZZAZIONE :

Centrino metallico infisso con apposita borchia su cordolo in calcestruzzo

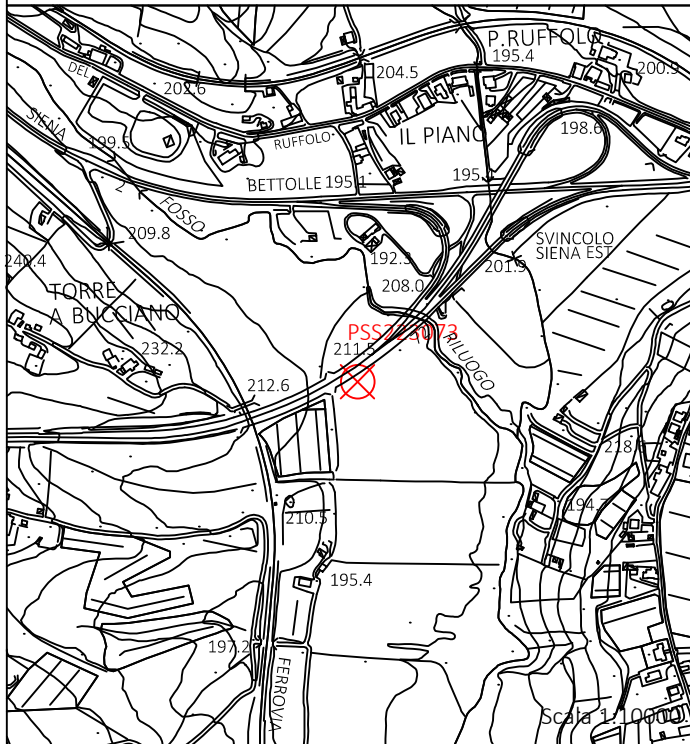
SCHIZZO MONOGRAFICO :



FOTOGRAFIA :



STRALCIO CARTOGRAFIA :



COORDINATE DEL VERTICE :

| | |
|---------------------|------------------------------|
| Piane (Gauss-Boaga) | Geografiche (ETRF 2000) |
| N: 4796812.504 | ϕ : 43° 17' 57.7259" |
| E: 1692628.285 | λ : 11° 22' 27.9774" |
| Q ort.: 212.389 | Q ell.: 259.945 |

Fuso OVEST

| | |
|-------------------------|-------------------|
| Piane (UTM - ETRF 2000) | Rettilinee Locali |
| N: 4796797.748 | N: 4796738.735 |
| E: 692597.657 | E: 692599.5591 |
| Q ort.: 212.389 | |

Fuso 32 Nord

RIFERIMENTI PLANIMETRICI

R1 : Supporto guardavia 1.70 m.
R2 : Supporto guardavia 2.00 m.
R3 : Bordo cordolo 0.70 m.

Impresa Esecutrice RTI :

Sina S.p.a. - Impresa Rossi Luigi S.r.l.





Accordo Quadro DG 41/16 per Rilievi Topografici e Misurazioni

VERTICI RETE DI INQUADRAMENTO RAFFITTIMENTO E POLIGONALI

CONTRATTO APPLICATIVO: Esecuzione di rilievi topografici relativi alla progettazione definitiva dell'intervento E78 Tratto Siena - Bettolle (A1). Adeguamento a 4 corsie del tratto Siena - Ruffolo (Lotto 0)

VERTICE **PSS223074**

CIG Derivato: 7654027EE1

Data esecuzione

2 aprile 2019

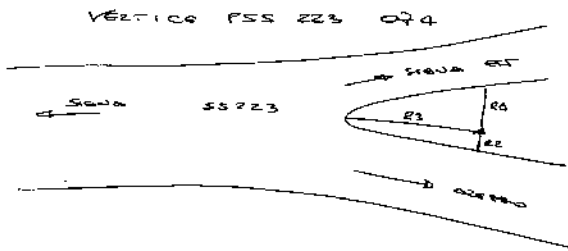
ACCESSO :

Seguire la strada statale 223 direzione Arezzo fino allo svincolo con la tangenziale di Siena

MATERIALIZZAZIONE :

Centrino metallico infisso con apposita borchia su basamento in calcestruzzo

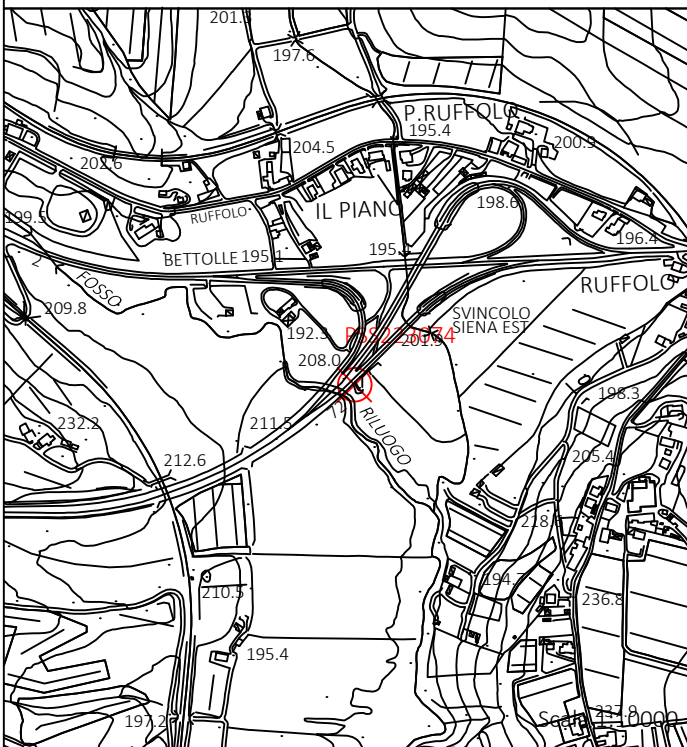
SCHIZZO MONOGRAFICO :



FOTOGRAFIA :



STRALCIO CARTOGRAFIA :



COORDINATE DEL VERTICE :

| | |
|---------------------|-------------------------|
| Piane (Gauss-Boaga) | Geografiche (ETRF 2000) |
| N: 4796901.994 | φ: 43 ° 18 ' 0.5317 " |
| E: 1692728.82 | λ: 11 ° 22 ' 32.5485 " |
| Q ort.: 208.469 | Q ell.: 256.021 |

Fuso OVEST

| | |
|-------------------------|-------------------|
| Piane (UTM - ETRF 2000) | Rettilinee Locali |
| N: 4796887.237 | N: 4796825.361 |
| E: 692698.191 | E: 692702.5681 |
| Q ort.: 208.469 | |

Fuso 32 Nord

RIFERIMENTI PLANIMETRICI

- R1 : Bordo paviementazione 0.78 m.
- R2 : Bordo pavimentazione 0.25 m.
- R3 : Bordo pavimentazione 11.35 m.

Impresa Esecutrice RTI :

Sina S.p.a. - Impresa Rossi Luigi S.r.l.



Accordo Quadro DG 41/16 per Rilievi Topografici e Misurazioni



VERTICI RETE DI INQUADRAMENTO RAFFITTIMENTO E POLIGONALI

CONTRATTO APPLICATIVO: Esecuzione di rilievi topografici relativi alla progettazione definitiva dell'intervento E78 Tratto Siena - Bettolle (A1). Adeguamento a 4 corsie del tratto Siena - Ruffolo (Lotto 0)

VERTICE **PSS223075**

CIG Derivato: 7654027EE1

Data esecuzione

2 aprile 2019

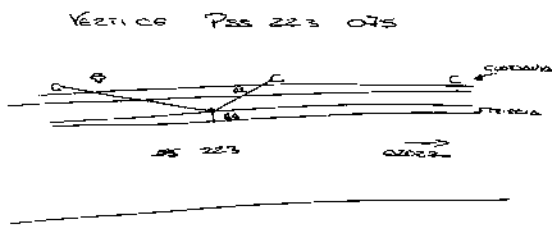
ACCESSO :

Seguire la strada statale 223 direzione Arezzo fino allo svincolo con la tangenziale di Siena

MATERIALIZZAZIONE :

Centrino metallico infisso con apposita borchia su pavimentazione stradale

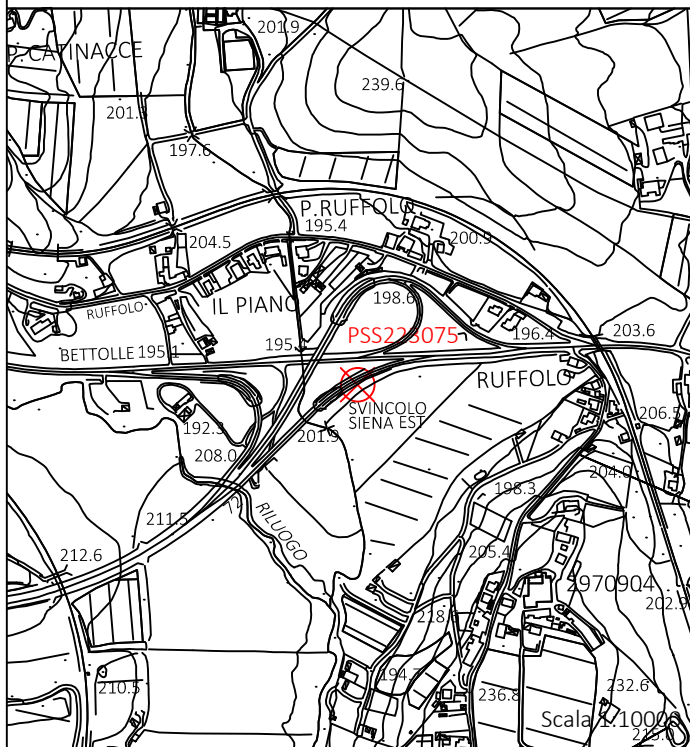
SCHIZZO MONOGRAFICO :



FOTOGRAFIA :



STRALCIO CARTOGRAFIA :



COORDINATE DEL VERTICE :

| | |
|---------------------|-------------------------|
| Piane (Gauss-Boaga) | Geografiche (ETRF 2000) |
| N: 4797021.087 | φ: 43 ° 18 ' 4.2657 " |
| E: 1692862.431 | λ: 11 ° 22 ' 38.6238 " |
| Q ort.: 199.421 | Q ell.: 246.969 |

Fuso OVEST

| | |
|-------------------------|-------------------|
| Piane (UTM - ETRF 2000) | Rettilinee Locali |
| N: 4797006.329 | N: 4796940.647 |
| E: 692831.799 | E: 692839.47 |

Q ort.: 199.421

Fuso 32 Nord

RIFERIMENTI PLANIMETRICI

- R1 : Bordo striscia 0.36 m.
- R2 : Supporto guardavia 0.86 m.
- R3 : Supporto Guardavia 1.93 m.

Impresa Esecutrice RTI :

Sina S.p.a. - Impresa Rossi Luigi S.r.l.



Accordo Quadro DG 41/16 per Rilievi Topografici e Misurazioni



VERTICI RETE DI INQUADRAMENTO RAFFITTIMENTO E POLIGONALI

CONTRATTO APPLICATIVO: Esecuzione di rilievi topografici relativi alla progettazione definitiva dell'intervento E78 Tratto Siena - Bettolle (A1). Adeguamento a 4 corsie del tratto Siena - Ruffolo (Lotto 0)

VERTICE **PSS223076**

CIG Derivato: 7654027EE1

Data esecuzione

2 aprile 2019

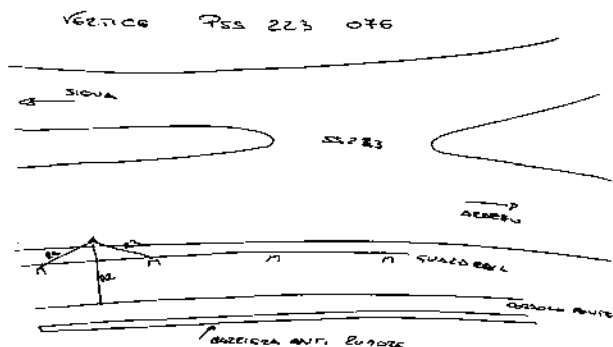
ACCESSO :

Seguire la strada statale 223 direzione Arezzo dallo svincolo con la tangenziale di Siena

MATERIALIZZAZIONE :

Centrino metallico infisso con apposita borchia su pavimentazione stradale

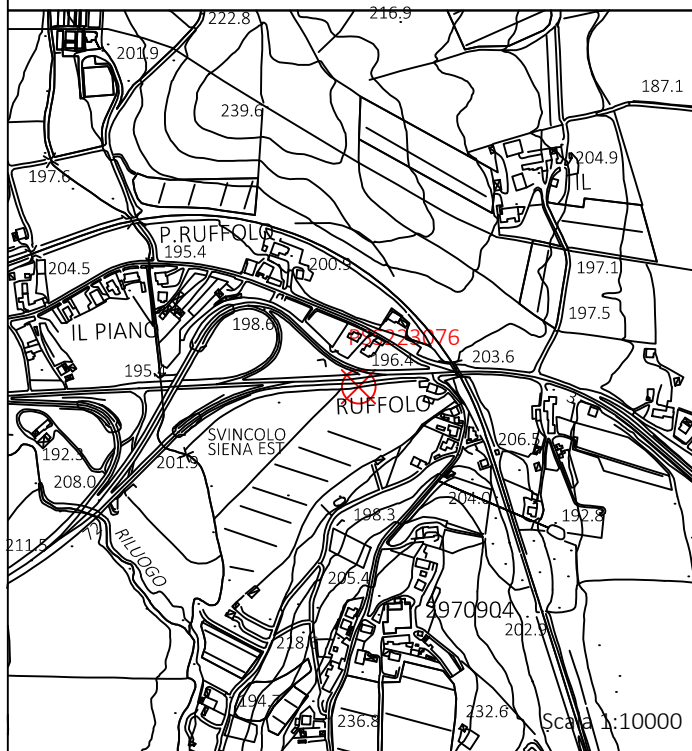
SCHIZZO MONOGRAFICO :



FOTOGRAFIA :



STRALCIO CARTOGRAFIA :



COORDINATE DEL VERTICE :

| | | | |
|-------------------------|-------------|-------------------------|---------------------|
| Piane (Gauss-Boaga) | | Geografiche (ETRF 2000) | |
| N: | 4797051.378 | ϕ : | 43 ° 18 ' 5.0832 " |
| E: | 1693039.66 | λ : | 11 ° 22 ' 46.5213 " |
| Q ort.: | 196.725 | Q ell.: | 244.27 |
| Fuso OVEST | | | |
| Piane (UTM - ETRF 2000) | | Rettilinee Locali | |
| N: | 4797036.618 | N: | 4796965.941 |
| E: | 693009.022 | E: | 693017.472 |
| Q ort.: | 196.725 | | |
| Fuso 32 Nord | | | |

RIFERIMENTI PLANIMETRICI

- R1 : Supporto guardavia 1.40 m.
- R2 : Bordo cordolo 2.64 m.
- R3 : Supporto guardavia 1.44 m.

Impresa Esecutrice RTI :

Sina S.p.a. - Impresa Rossi Luigi S.r.l.



Accordo Quadro DG 41/16 per Rilievi Topografici e Misurazioni



VERTICI DI LIVELLAZIONE

CONTRATTO APPLICATIVO: Esecuzione di rilievi topografici relativi alla progettazione definitiva dell'intervento E78 Tratto Siena - Bettolle (A1).
Adeguamento a 4 corsie del tratto Siena - Ruffolo (Lotto 0)

VERTICE

LSS223017

CIG Derivato: 7654027EE1

Data esecuzione

2 aprile 2019

ACCESSO :

Seguire la strada statale 223 direzione Arezzo dallo svincolo con la tangenziale di Siena

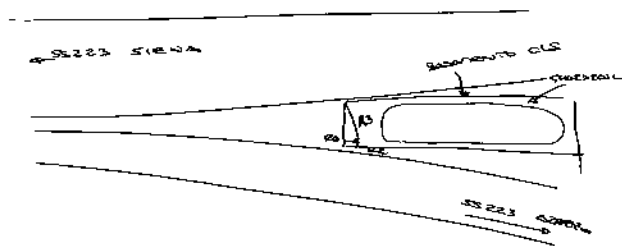
MATERIALIZZAZIONE :

Centrino metallico infisso con apposita borchia su basamento in calcestruzzo

SCHIZZO MONOGRAFICO :

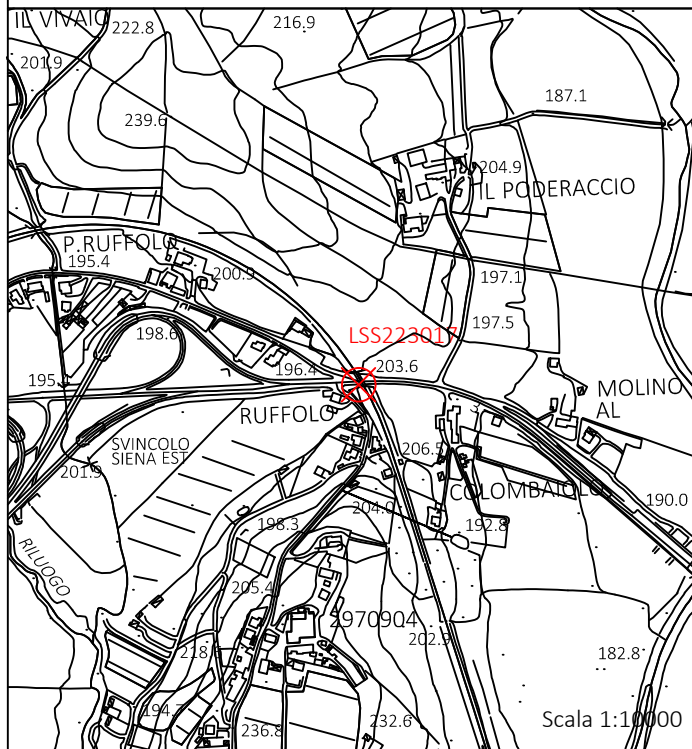
FOTOGRAFIA :

Vertice LSS 223 017



STRALCIO CARTOGRAFIA :

COORDINATE DEL VERTICE :



| Piane (Gauss-Boaga) | | Geografiche (ETRF 2000) | |
|---------------------|-------------|-------------------------|---------------------|
| N: | 4797065.819 | φ: | 43 ° 18 ' 5.4398 " |
| E: | 1693160.036 | λ: | 11 ° 22 ' 51.8776 " |
| Q ort.: | 196.3197 | Q ell.: | 243.862 |

| Piane (UTM - ETRF 2000) | | Rettilinee Locali | |
|-------------------------|-------------|-------------------|-------------|
| N: | 4797051.058 | N: | 4796976.991 |
| E: | 693129.394 | E: | 693138.2006 |
| Q ort.: | 196.3197 | | |

RIFERIMENTI PLANIMETRICI

- R1 : Bordo basamento 0.06 m.
- R2 : Bordo basamento 0.07 m.
- R3 : Vertice basamento 0.92 m.

Quota di livellazione e coordinate planimetriche da poligonale

Impresa Esecutrice RTI :

Sina S.p.a. - Impresa Rossi Luigi S.r.l.





Accordo Quadro DG 41/16 per Rilievi Topografici e Misurazioni

VERTICI RETE DI INQUADRAMENTO RAFFITTIMENTO E POLIGONALI

CONTRATTO APPLICATIVO: Esecuzione di rilievi topografici relativi alla progettazione definitiva dell'intervento E78 Tratto Siena - Bettolle (A1). Adeguamento a 4 corsie del tratto Siena - Ruffolo (Lotto 0)

VERTICE **PSS223077**

CIG Derivato: 7654027EE1

Data esecuzione

2 aprile 2019

ACCESSO :

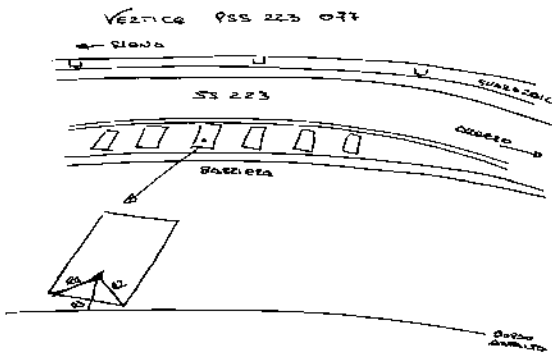
MATERIALIZZAZIONE :

Seguire la strada statale 223 direzione Arezzo dallo svincolo con la tangenziale di Siena

Centrino metallico infisso con apposita borchia su pavimentazione stradale

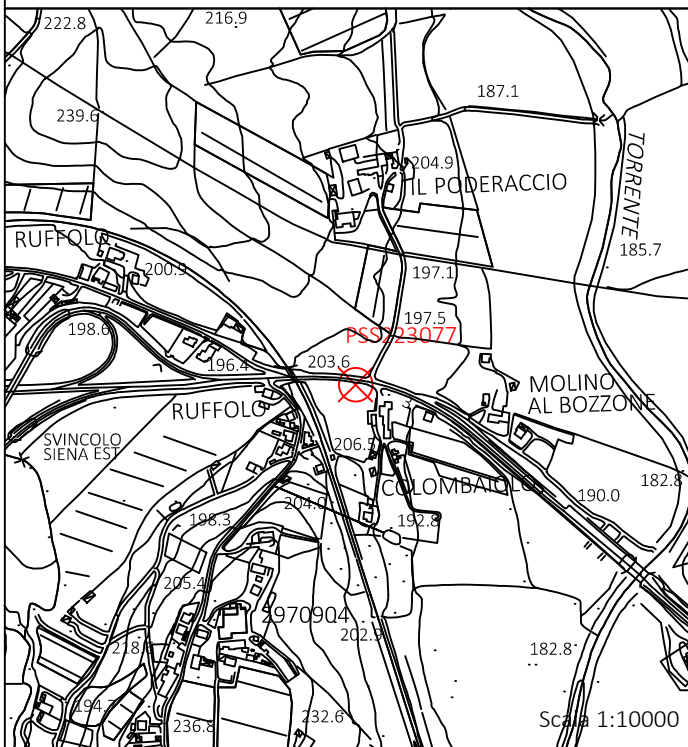
SCHIZZO MONOGRAFICO :

FOTOGRAFIA :



STRALCIO CARTOGRAFIA :

COORDINATE DEL VERTICE :



| | |
|---------------------|---------------------------------|
| Piane (Gauss-Boaga) | Geografiche (ETRF 2000) |
| N: 4797060.242 | ϕ : 43 ° 18 ' 5.1839 " |
| E: 1693241.416 | λ : 11 ° 22 ' 55.4794 " |
| Q ort.: 195.186 | Q ell.: 242.727 |

Fuso OVEST

| | |
|-------------------------|-------------------|
| Piane (UTM - ETRF 2000) | Rettilinee Locali |
| N: 4797045.48 | N: 4796969.127 |
| E: 693210.771 | E: 693219.3873 |
| Q ort.: 195.186 | |

Fuso 32 Nord

RIFERIMENTI PLANIMETRICI

- R1 : Vertice zebratura 0.85 m.
- R2 : Vertice zebratura 0.60 m.
- R3 : Bordo asfalto 0.55 m.

Impresa Esecutrice RTI :

Sina S.p.a. - Impresa Rossi Luigi S.r.l.





Accordo Quadro DG 41/16 per Rilievi Topografici e Misurazioni

VERTICI RETE DI INQUADRAMENTO RAFFITTIMENTO E POLIGONALI

CONTRATTO APPLICATIVO: Esecuzione di rilievi topografici relativi alla progettazione definitiva dell'intervento E78 Tratto Siena - Bettolle (A1). Adeguamento a 4 corsie del tratto Siena - Ruffolo (Lotto 0)

VERTICE

PSS223078

CIG Derivato: 7654027EE1

Data esecuzione

2 aprile 2019

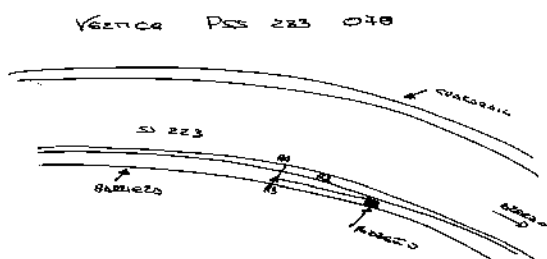
ACCESSO :

Seguire la strada statale 223 direzione Arezzo dallo svincolo con la tangenziale di Siena

MATERIALIZZAZIONE :

Centrino metallico infisso con apposita borchia su pavimentazione stradale

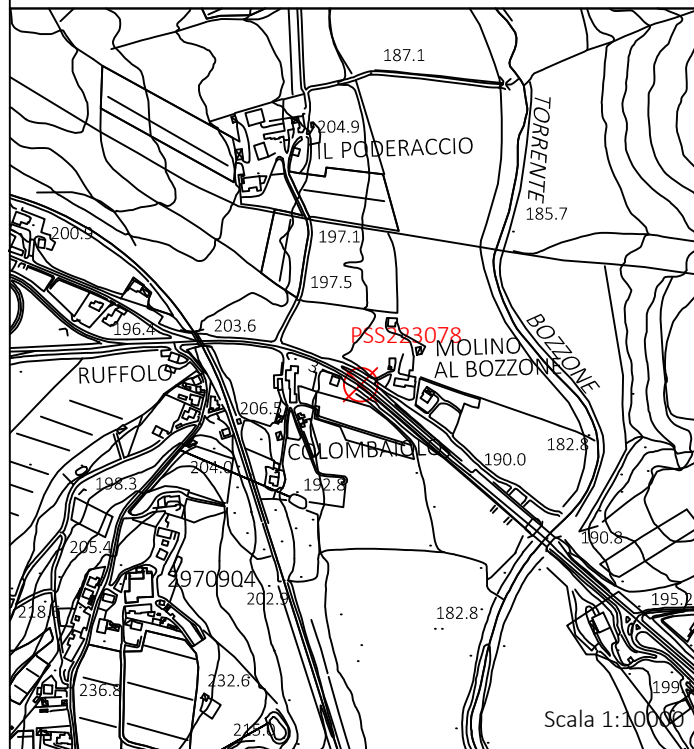
SCHIZZO MONOGRAFICO :



FOTOGRAFIA :



STRALCIO CARTOGRAFIA :



COORDINATE DEL VERTICE :

| | |
|---------------------|--------------------------------|
| Piane (Gauss-Boaga) | Geografiche (ETRF 2000) |
| N: 4797015.372 | ϕ : 43 ° 18 ' 3.6165 " |
| E: 1693364.928 | λ : 11 ° 23 ' 0.8996 " |
| Q ort.: 192.773 | Q ell.: 240.313 |

Fuso OVEST

| | |
|-------------------------|-------------------|
| Piane (UTM - ETRF 2000) | Rettilinee Locali |
| N: 4797000.609 | N: 4796920.802 |
| E: 693334.278 | E: 693341.5818 |
| Q ort.: 192.773 | |

Fuso 32 Nord

RIFERIMENTI PLANIMETRICI

- R1 : Bordo striscia 0.37 m.
- R2 : Vertice pozzetto 5.25 m.
- R3 : Bordo barriera 0.91 m.

Impresa Esecutrice RTI :

Sina S.p.a. - Impresa Rossi Luigi S.r.l.



Accordo Quadro DG 41/16 per Rilievi Topografici e Misurazioni



VERTICI RETE DI INQUADRAMENTO RAFFITTIMENTO E POLIGONALI

CONTRATTO APPLICATIVO: Esecuzione di rilievi topografici relativi alla progettazione definitiva dell'intervento E78 Tratto Siena - Bettolle (A1). Adeguamento a 4 corsie del tratto Siena - Ruffolo (Lotto 0)

VERTICE **PSS223079**

CIG Derivato: 7654027EE1

Data esecuzione

2 aprile 2019

ACCESSO :

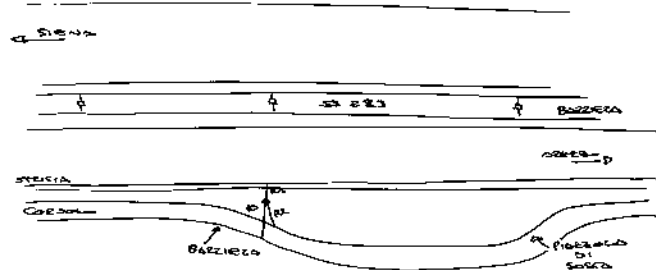
Seguire la strada statale 223 direzione Arezzo dallo svincolo con la tangenziale di Siena

MATERIALIZZAZIONE :

Centrino metallico infisso con apposita borchia su pavimentazione stradale

SCHIZZO MONOGRAFICO :

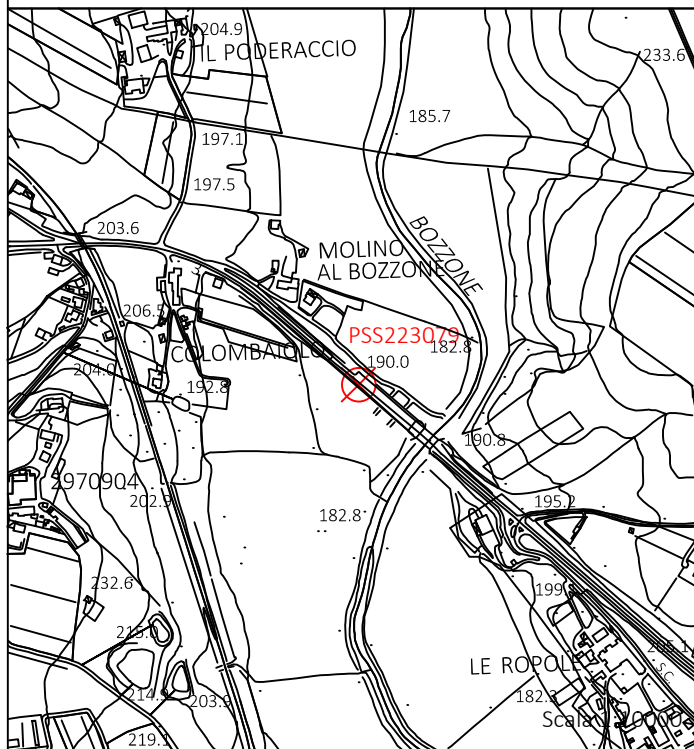
Vertice PSS 223 079



FOTOGRAFIA :



STRALCIO CARTOGRAFIA :



COORDINATE DEL VERTICE :

| | | | |
|-------------------------|-------------|-------------------------|---------------------|
| Piane (Gauss-Boaga) | | Geografiche (ETRF 2000) | |
| N: | 4796893.32 | ϕ : | 43 ° 17 ' 59.5305 " |
| E: | 1693508.605 | λ : | 11 ° 23 ' 7.1162 " |
| Q ort.: | 189.638 | Q ell.: | 237.179 |
| Fuso OVEST | | | |
| Piane (UTM - ETRF 2000) | | Rettilinee Locali | |
| N: | 4796878.556 | N: | 4796794.759 |
| E: | 693477.948 | E: | 693481.7609 |
| Q ort.: | 189.638 | | |
| Fuso 32 Nord | | | |

RIFERIMENTI PLANIMETRICI

- R1 : Bordo striscia 1.10 m.
- R2 : Bordo cordolo 0.32 m.
- R3 : Bordo barriera 0.50 m.

Impresa Esecutrice RTI :

Sina S.p.a. - Impresa Rossi Luigi S.r.l.



Accordo Quadro DG 41/16 per Rilievi Topografici e Misurazioni



VERTICI RETE DI INQUADRAMENTO RAFFITTIMENTO E POLIGONALI

CONTRATTO APPLICATIVO: Esecuzione di rilievi topografici relativi alla progettazione definitiva dell'intervento E78 Tratto Siena - Bettolle (A1). Adeguamento a 4 corsie del tratto Siena - Ruffolo (Lotto 0)

VERTICE **PSS223080**

CIG Derivato: 7654027EE1

Data esecuzione

2 aprile 2019

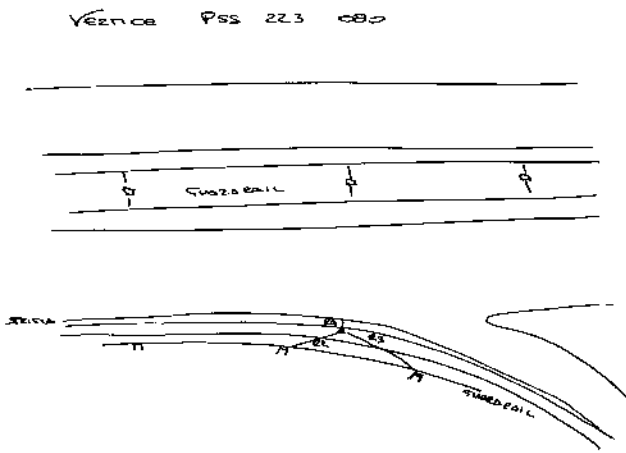
ACCESSO :

Seguire la E78 in direzione Perugia fino a 100 mt dallo svincolo con la SP348

MATERIALIZZAZIONE :

Centrino metallico infisso con apposita borchia su pavimentazione stradale

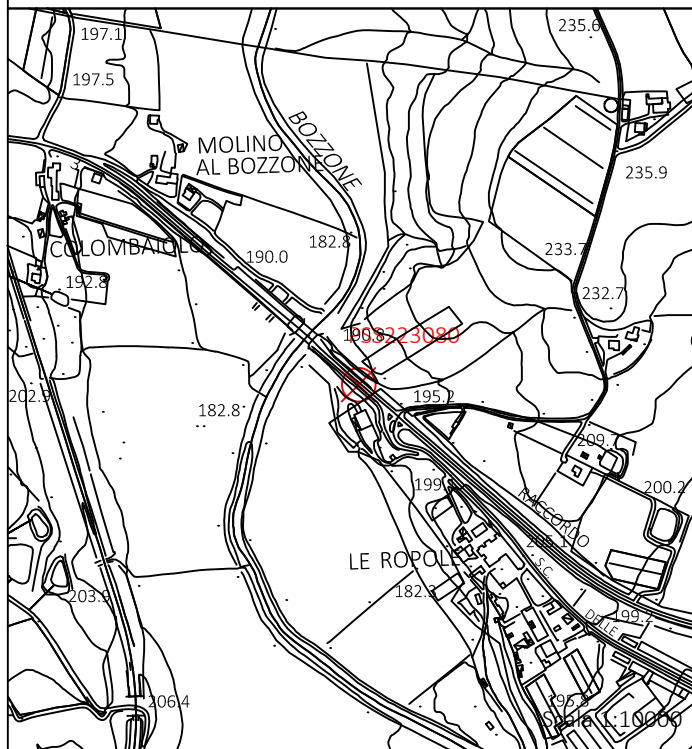
SCHIZZO MONOGRAFICO :



FOTOGRAFIA :



STRALCIO CARTOGRAFIA :



COORDINATE DEL VERTICE :

| | | | |
|-------------------------|-------------|-------------------------|---------------------|
| Piane (Gauss-Boaga) | | Geografiche (ETRF 2000) | |
| N: | 4796762.053 | ϕ : | 43 ° 17 ' 55.1388 " |
| E: | 1693659.883 | λ : | 11 ° 23 ' 13.6579 " |
| Q ort.: | 192.205 | Q ell.: | 239.747 |
| Fuso OVEST | | | |
| Piane (UTM - ETRF 2000) | | Rettilinee Locali | |
| N: | 4796747.287 | N: | 4796659.291 |
| E: | 693629.219 | E: | 693629.2787 |
| Q ort.: | 192.205 | | |
| Fuso 32 Nord | | | |

RIFERIMENTI PLANIMETRICI

- R1 : Bordo striscia 0.28 m.
- R2 : Supporto guardavia 2.38 m.
- R3 : Supporto guardavia 2.54 m.

Impresa Esecutrice RTI :

Sina S.p.a. - Impresa Rossi Luigi S.r.l.



Allegato D:

TABULATI ELABORAZIONE DELLA

POLIGONALE

| LIBRETTO DELLE MISURE | | | | | | | | | | Pagina Nr. | 1 |
|-----------------------|-----------|-------------|-----------|--------|-----------|-----------|----------|---------|-------------|-------------|---|
| No. | Stazione | Alt. Strum. | Punto | Codice | Ang.Oriz. | Zenit | DISTANZA | | Alt. Prisma | Descrizione | |
| | | | | | | | Misur. | Ridot. | | | |
| 1 | 29709031 | 1.487 | GSS223003 | | 0.0000c | 99.2188c | 130.731 | 130.721 | 1.498 | | |
| 2 | 29709031 | 1.487 | GSS223003 | | 199.9999c | 300.7834c | 130.731 | 130.721 | 1.498 | | |
| 3 | 29709031 | 1.487 | CS014 | | 199.9046c | 100.3787c | 101.042 | 101.040 | 1.552 | | |
| 4 | 29709031 | 1.487 | CS014 | | 399.9046c | 299.6244c | 101.042 | 101.040 | 1.552 | | |
| 5 | CS014 | 1.552 | 29709031 | | 399.9046c | 99.6253c | 101.042 | 101.040 | 1.487 | | |
| 6 | CS014 | 1.552 | 29709031 | | 199.9046c | 300.3764c | 101.042 | 101.040 | 1.487 | | |
| 7 | CS014 | 1.552 | CS015 | | 208.1886c | 100.0993c | 79.150 | 79.150 | 1.569 | | |
| 8 | CS014 | 1.552 | CS015 | | 8.1886c | 299.9041c | 79.150 | 79.150 | 1.569 | | |
| 9 | CS015 | 1.569 | CS014 | | 8.1886c | 99.9067c | 79.150 | 79.150 | 1.552 | | |
| 10 | CS015 | 1.569 | CS014 | | 208.1886c | 300.0948c | 79.150 | 79.150 | 1.552 | | |
| 11 | CS015 | 1.569 | PSS223057 | | 216.8567c | 99.8618c | 69.870 | 69.870 | 1.525 | | |
| 12 | CS015 | 1.569 | PSS223057 | | 16.8567c | 300.1397c | 69.870 | 69.870 | 1.525 | | |
| 13 | PSS223057 | 1.525 | CS015 | | 16.8567c | 100.1421c | 69.870 | 69.870 | 1.569 | | |
| 14 | PSS223057 | 1.525 | CS015 | | 216.8567c | 299.8582c | 69.870 | 69.870 | 1.569 | | |
| 15 | PSS223057 | 1.525 | PSS223058 | | 225.5966c | 99.6123c | 143.461 | 143.458 | 1.561 | | |
| 16 | PSS223057 | 1.525 | PSS223058 | | 25.5967c | 300.3911c | 143.461 | 143.458 | 1.561 | | |
| 17 | PSS223058 | 1.561 | PSS223057 | | 25.5966c | 100.3975c | 143.461 | 143.458 | 1.525 | | |
| 18 | PSS223058 | 1.561 | PSS223057 | | 225.5967c | 299.6051c | 143.461 | 143.458 | 1.525 | | |
| 19 | PSS223058 | 1.561 | CS016 | | 231.2044c | 99.8186c | 65.334 | 65.334 | 1.554 | | |
| 20 | PSS223058 | 1.561 | CS016 | | 31.2044c | 300.1866c | 65.335 | 65.335 | 1.554 | | |
| 21 | CS016 | 1.554 | PSS223058 | | 31.2044c | 100.1869c | 65.334 | 65.334 | 1.561 | | |
| 22 | CS016 | 1.554 | PSS223058 | | 231.2044c | 299.8164c | 65.334 | 65.334 | 1.561 | | |
| 23 | CS016 | 1.554 | PSS223059 | | 238.5847c | 99.6539c | 199.631 | 199.628 | 1.530 | | |
| 24 | CS016 | 1.554 | PSS223059 | | 38.5835c | 300.3479c | 199.631 | 199.628 | 1.530 | | |
| 25 | PSS223059 | 1.530 | CS016 | | 38.5851c | 100.3529c | 199.631 | 199.628 | 1.554 | | |
| 26 | PSS223059 | 1.530 | CS016 | | 238.5841c | 299.6475c | 199.631 | 199.628 | 1.554 | | |
| 27 | PSS223059 | 1.530 | PSS223060 | | 236.2243c | 99.4906c | 251.130 | 251.122 | 1.461 | | |
| 28 | PSS223059 | 1.530 | PSS223060 | | 36.2250c | 300.5118c | 251.130 | 251.122 | 1.461 | | |
| 29 | PSS223060 | 1.461 | PSS223059 | | 36.2249c | 100.5200c | 251.130 | 251.122 | 1.530 | | |
| 30 | PSS223060 | 1.461 | PSS223059 | | 236.2243c | 299.4818c | 251.130 | 251.122 | 1.530 | | |
| 31 | PSS223060 | 1.461 | CS017 | | 215.3304c | 99.5462c | 99.823 | 99.820 | 1.507 | | |
| 32 | PSS223060 | 1.461 | CS017 | | 15.3282c | 300.4549c | 99.822 | 99.819 | 1.507 | | |
| 33 | CS017 | 1.507 | PSS223060 | | 15.3310c | 100.4566c | 99.822 | 99.819 | 1.461 | | |
| 34 | CS017 | 1.507 | PSS223060 | | 215.3293c | 299.5442c | 99.822 | 99.819 | 1.461 | | |
| 35 | CS017 | 1.507 | LSS223013 | | 199.0749c | 99.2243c | 83.726 | 83.720 | 1.536 | | |
| 36 | CS017 | 1.507 | LSS223013 | | 399.0753c | 300.7771c | 83.726 | 83.720 | 1.536 | | |
| 37 | LSS223013 | 1.536 | CS017 | | 399.0747c | 100.7791c | 83.726 | 83.720 | 1.507 | | |
| 38 | LSS223013 | 1.536 | CS017 | | 199.0747c | 299.2229c | 83.726 | 83.720 | 1.507 | | |
| 39 | LSS223013 | 1.536 | PSS223061 | | 204.7363c | 98.0548c | 167.488 | 167.410 | 1.544 | | |
| 40 | LSS223013 | 1.536 | PSS223061 | | 4.7355c | 301.9462c | 167.488 | 167.410 | 1.544 | | |
| 41 | PSS223061 | 1.544 | LSS223013 | | 4.7366c | 101.9229c | 167.488 | 167.412 | 1.536 | | |
| 42 | PSS223061 | 1.544 | LSS223013 | | 204.7362c | 298.0789c | 167.488 | 167.412 | 1.536 | | |
| 43 | PSS223061 | 1.544 | CS018 | | 199.7171c | 97.3237c | 70.750 | 70.687 | 1.581 | | |
| 44 | PSS223061 | 1.544 | CS018 | | 399.7169c | 302.6778c | 70.750 | 70.687 | 1.581 | | |
| 45 | CS018 | 1.581 | PSS223061 | | 399.7175c | 102.6805c | 70.750 | 70.687 | 1.544 | | |
| 46 | CS018 | 1.581 | PSS223061 | | 199.7170c | 297.3225c | 70.750 | 70.687 | 1.544 | | |
| 47 | CS018 | 1.581 | CS019 | | 233.4865c | 98.4542c | 187.760 | 187.705 | 1.583 | | |
| 48 | CS018 | 1.581 | CS019 | | 33.4864c | 301.5496c | 187.760 | 187.704 | 1.583 | | |
| 49 | CS019 | 1.583 | CS018 | | 33.4870c | 101.5514c | 187.760 | 187.704 | 1.581 | | |
| 50 | CS019 | 1.583 | CS018 | | 233.4870c | 298.4507c | 187.760 | 187.704 | 1.581 | | |
| 51 | CS019 | 1.583 | PSS223062 | | 250.8251c | 99.3899c | 68.323 | 68.320 | 0.998 | | |
| 52 | CS019 | 1.583 | PSS223062 | | 50.8259c | 300.6122c | 68.323 | 68.320 | 0.998 | | |
| 53 | PSS223062 | 0.998 | CS019 | | 50.8255c | 100.6140c | 68.323 | 68.320 | 1.583 | | |
| 54 | PSS223062 | 0.998 | CS019 | | 250.8234c | 299.3874c | 68.323 | 68.320 | 1.583 | | |
| 55 | PSS223062 | 0.998 | CS020 | | 253.2459c | 99.1312c | 82.217 | 82.209 | 1.518 | | |
| 56 | PSS223062 | 0.998 | CS020 | | 53.2458c | 300.8693c | 82.217 | 82.209 | 1.518 | | |
| 57 | CS020 | 1.518 | PSS223062 | | 53.2464c | 100.8740c | 82.217 | 82.209 | 0.998 | | |
| 58 | CS020 | 1.518 | PSS223062 | | 253.2465c | 299.1282c | 82.217 | 82.209 | 0.998 | | |
| 59 | CS020 | 1.518 | PSS223063 | | 276.3412c | 100.0753c | 149.364 | 149.364 | 1.356 | | |
| 60 | CS020 | 1.518 | PSS223063 | | 76.3391c | 299.9252c | 149.364 | 149.364 | 1.356 | | |
| 61 | PSS223063 | 1.356 | CS020 | | 76.3417c | 99.9272c | 149.364 | 149.364 | 1.518 | | |
| 62 | PSS223063 | 1.356 | CS020 | | 276.3413c | 300.0739c | 149.364 | 149.364 | 1.518 | | |

| No. | Stazione | Alt. Strum. | Punto | Codice | Ang.Oriz. | Zenit | DISTANZA | | Alt. Prisma | Descrizione |
|-----|-----------|-------------|-----------|--------|-----------|-----------|----------|---------|-------------|-------------|
| | | | | | | | Misur. | Ridot. | | |
| 63 | PSS223063 | 1.356 | PSS223064 | | 275.4420c | 100.6982c | 188.569 | 188.558 | 1.535 | |
| 64 | PSS223063 | 1.356 | PSS223064 | | 75.4433c | 299.3045c | 188.569 | 188.558 | 1.535 | |
| 65 | PSS223064 | 1.535 | PSS223063 | | 75.4427c | 99.3062c | 188.569 | 188.558 | 1.356 | |
| 66 | PSS223064 | 1.535 | PSS223063 | | 275.4411c | 300.6940c | 188.569 | 188.558 | 1.356 | |
| 67 | PSS223064 | 1.535 | LSS223014 | | 293.1524c | 101.5794c | 117.480 | 117.444 | 1.490 | |
| 68 | PSS223064 | 1.535 | LSS223014 | | 93.1513c | 298.4193c | 117.480 | 117.444 | 1.490 | |
| 69 | LSS223014 | 1.490 | PSS223064 | | 93.1529c | 98.4225c | 117.480 | 117.444 | 1.535 | |
| 70 | LSS223014 | 1.490 | PSS223064 | | 293.1507c | 301.5767c | 117.480 | 117.444 | 1.535 | |
| 71 | LSS223014 | 1.490 | PSS223065 | | 268.5087c | 101.2533c | 51.064 | 51.054 | 1.555 | |
| 72 | LSS223014 | 1.490 | PSS223065 | | 68.5096c | 298.7483c | 51.064 | 51.054 | 1.555 | |
| 73 | PSS223065 | 1.555 | LSS223014 | | 68.5090c | 98.7511c | 51.065 | 51.055 | 1.490 | |
| 74 | PSS223065 | 1.555 | LSS223014 | | 268.5090c | 301.2511c | 51.065 | 51.055 | 1.490 | |
| 75 | PSS223065 | 1.555 | PSS223066 | | 295.3612c | 101.7987c | 343.278 | 343.141 | 1.492 | |
| 76 | PSS223065 | 1.555 | PSS223066 | | 95.3627c | 298.2042c | 343.278 | 343.141 | 1.492 | |
| 77 | PSS223066 | 1.492 | PSS223065 | | 95.3615c | 98.2127c | 343.278 | 343.143 | 1.555 | |
| 78 | PSS223066 | 1.492 | PSS223065 | | 295.3610c | 301.7890c | 343.278 | 343.142 | 1.555 | |
| 79 | PSS223066 | 1.492 | PSS223067 | | 293.3566c | 101.0997c | 208.422 | 208.391 | 1.511 | |
| 80 | PSS223066 | 1.492 | PSS223067 | | 93.3591c | 298.9014c | 208.422 | 208.391 | 1.511 | |
| 81 | PSS223067 | 1.511 | PSS223066 | | 93.3566c | 98.9063c | 208.422 | 208.391 | 1.492 | |
| 82 | PSS223067 | 1.511 | PSS223066 | | 293.3558c | 301.0954c | 208.422 | 208.391 | 1.492 | |
| 83 | PSS223067 | 1.511 | PSS223068 | | 291.5191c | 100.2849c | 320.377 | 320.374 | 1.524 | |
| 84 | PSS223067 | 1.511 | PSS223068 | | 91.5195c | 299.7176c | 320.377 | 320.374 | 1.524 | |
| 85 | PSS223068 | 1.524 | PSS223067 | | 91.5191c | 99.7262c | 320.377 | 320.374 | 1.511 | |
| 86 | PSS223068 | 1.524 | PSS223067 | | 291.5205c | 300.2761c | 320.377 | 320.374 | 1.511 | |
| 87 | PSS223068 | 1.524 | LSS223015 | | 304.6912c | 99.6853c | 118.695 | 118.694 | 1.552 | |
| 88 | PSS223068 | 1.524 | LSS223015 | | 104.6918c | 300.3171c | 118.695 | 118.694 | 1.552 | |
| 89 | LSS223015 | 1.310 | PSS223068 | | 104.6915c | 100.2410c | 118.695 | 118.694 | 1.400 | |
| 90 | LSS223015 | 1.310 | PSS223068 | | 304.6915c | 299.7325c | 118.695 | 118.694 | 1.400 | |
| 91 | LSS223015 | 1.310 | PA001 | | 314.0260c | 99.1620c | 212.369 | 212.351 | 1.675 | |
| 92 | LSS223015 | 1.310 | PA001 | | 114.0260c | 300.8120c | 212.369 | 212.352 | 1.675 | |
| 93 | PA001 | 1.675 | LSS223015 | | 114.0260c | 100.8165c | 212.369 | 212.352 | 1.310 | |
| 94 | PA001 | 1.675 | LSS223015 | | 314.0260c | 299.1535c | 212.369 | 212.350 | 1.310 | |
| 95 | PA001 | 1.675 | PSS223069 | | 329.4425c | 98.6710c | 239.943 | 239.891 | 1.550 | |
| 96 | PA001 | 1.675 | PSS223069 | | 129.4425c | 301.3050c | 239.943 | 239.893 | 1.550 | |
| 97 | PSS223069 | 1.550 | PA001 | | 129.4425c | 101.3125c | 239.943 | 239.892 | 1.675 | |
| 98 | PSS223069 | 1.550 | PA001 | | 329.4425c | 298.6585c | 239.943 | 239.890 | 1.675 | |
| 99 | PSS223069 | 1.550 | PA004 | | 335.1385c | 98.2920c | 127.132 | 127.086 | 1.595 | |
| 100 | PSS223069 | 1.550 | PA004 | | 135.1415c | 301.6775c | 127.132 | 127.088 | 1.595 | |
| 101 | PA004 | 1.595 | PSS223069 | | 135.1390c | 101.6785c | 127.132 | 127.088 | 1.550 | |
| 102 | PA004 | 1.595 | PSS223069 | | 335.1370c | 298.2910c | 127.132 | 127.086 | 1.550 | |
| 103 | PA004 | 1.595 | PSS223070 | | 323.3955c | 98.6970c | 165.857 | 165.822 | 1.150 | |
| 104 | PA004 | 1.595 | PSS223070 | | 123.3975c | 301.2805c | 165.857 | 165.823 | 1.150 | |
| 105 | PSS223070 | 1.150 | PA004 | | 123.3960c | 101.2850c | 165.857 | 165.823 | 1.595 | |
| 106 | PSS223070 | 1.150 | PA004 | | 323.3980c | 298.6885c | 165.857 | 165.822 | 1.595 | |
| 107 | PSS223070 | 1.150 | PSS223071 | | 316.8630c | 98.8365c | 47.385 | 47.377 | 1.390 | |
| 108 | PSS223070 | 1.150 | PSS223071 | | 116.8655c | 301.1370c | 47.385 | 47.377 | 1.390 | |
| 109 | PSS223071 | 1.390 | PSS223070 | | 116.8630c | 101.1355c | 47.386 | 47.378 | 1.150 | |
| 110 | PSS223071 | 1.390 | PSS223070 | | 316.8595c | 298.8315c | 47.386 | 47.378 | 1.150 | |
| 111 | PSS223071 | 1.390 | PA005 | | 308.2460c | 99.4535c | 220.065 | 220.057 | 1.635 | |
| 112 | PSS223071 | 1.390 | PA005 | | 108.2485c | 300.5215c | 220.065 | 220.058 | 1.635 | |
| 113 | PA005 | 1.635 | PSS223071 | | 108.2460c | 100.5250c | 220.065 | 220.058 | 1.390 | |
| 114 | PA005 | 1.635 | PSS223071 | | 308.2480c | 299.4505c | 220.065 | 220.057 | 1.390 | |
| 115 | PA005 | 1.635 | PA006 | | 306.8615c | 100.1030c | 102.956 | 102.956 | 1.570 | |
| 116 | PA005 | 1.635 | PA006 | | 106.8655c | 299.8710c | 102.956 | 102.956 | 1.570 | |
| 117 | PA006 | 1.570 | PA005 | | 106.8615c | 99.8725c | 102.956 | 102.956 | 1.635 | |
| 118 | PA006 | 1.570 | PA005 | | 306.8625c | 300.1010c | 102.956 | 102.956 | 1.635 | |
| 119 | PA006 | 1.570 | LSS223016 | | 313.2430c | 100.1090c | 39.607 | 39.607 | 1.370 | |
| 120 | PA006 | 1.570 | LSS223016 | | 113.2450c | 299.8635c | 39.607 | 39.607 | 1.370 | |
| 121 | LSS223016 | 1.370 | PA006 | | 113.2430c | 99.8620c | 39.607 | 39.607 | 1.570 | |
| 122 | LSS223016 | 1.370 | PA006 | | 313.2450c | 300.1070c | 39.607 | 39.607 | 1.570 | |
| 123 | LSS223016 | 1.370 | PSS223072 | | 305.9735c | 100.8640c | 244.285 | 244.263 | 1.435 | |
| 124 | LSS223016 | 1.370 | PSS223072 | | 105.9755c | 299.1060c | 244.285 | 244.261 | 1.435 | |

| LIBRETTO DELLE MISURE | | | | | | | | | | Pagina Nr. | 3 |
|-----------------------|-----------|-------------|-----------|--------|-----------|-----------|----------|---------|-------------|-------------|---|
| No. | Stazione | Alt. Strum. | Punto | Codice | Ang.Oriz. | Zenit | DISTANZA | | Alt. Prisma | Descrizione | |
| | | | | | | | Misur. | Ridot. | | | |
| 125 | PSS223072 | 1.435 | LSS223016 | | 105.9735c | 99.1125c | 244.285 | 244.261 | 1.370 | | |
| 126 | PSS223072 | 1.435 | LSS223016 | | 305.9740c | 300.8585c | 244.285 | 244.263 | 1.370 | | |
| 127 | PSS223072 | 1.435 | PSS223073 | | 282.9535c | 101.7835c | 178.657 | 178.587 | 1.515 | | |
| 128 | PSS223072 | 1.435 | PSS223073 | | 82.9550c | 298.1885c | 178.657 | 178.585 | 1.515 | | |
| 129 | PSS223073 | 1.515 | PSS223072 | | 82.9525c | 98.1940c | 178.657 | 178.585 | 1.435 | | |
| 130 | PSS223073 | 1.515 | PSS223072 | | 282.9540c | 301.7805c | 178.657 | 178.587 | 1.435 | | |
| 131 | PSS223073 | 1.515 | PSS223074 | | 262.5855c | 101.8755c | 134.651 | 134.593 | 1.445 | | |
| 132 | PSS223073 | 1.515 | PSS223074 | | 62.5875c | 298.0955c | 134.651 | 134.591 | 1.445 | | |
| 133 | PSS223074 | 1.445 | PSS223073 | | 62.5860c | 98.1030c | 134.650 | 134.590 | 1.515 | | |
| 134 | PSS223074 | 1.445 | PSS223073 | | 262.5865c | 301.8700c | 134.650 | 134.592 | 1.515 | | |
| 135 | PSS223074 | 1.445 | PSS223075 | | 262.5425c | 103.1670c | 179.201 | 178.979 | 1.550 | | |
| 136 | PSS223074 | 1.445 | PSS223075 | | 62.5440c | 296.8070c | 179.201 | 178.976 | 1.550 | | |
| 137 | PSS223075 | 1.550 | PSS223074 | | 62.5425c | 96.8110c | 179.201 | 178.976 | 1.445 | | |
| 138 | PSS223075 | 1.550 | PSS223074 | | 262.5430c | 303.1635c | 179.201 | 178.980 | 1.445 | | |
| 139 | PSS223075 | 1.550 | PA007 | | 285.2450c | 102.7710c | 72.738 | 72.669 | 1.530 | | |
| 140 | PSS223075 | 1.550 | PA007 | | 85.2470c | 297.2010c | 72.738 | 72.668 | 1.530 | | |
| 141 | PA007 | 1.530 | PSS223075 | | 85.2450c | 97.2035c | 72.739 | 72.669 | 1.550 | | |
| 142 | PA007 | 1.530 | PSS223075 | | 285.2460c | 302.7680c | 72.739 | 72.670 | 1.550 | | |
| 143 | PA007 | 1.530 | PSS223076 | | 306.6130c | 99.7240c | 109.577 | 109.576 | 1.520 | | |
| 144 | PA007 | 1.530 | PSS223076 | | 106.6155c | 300.2485c | 109.577 | 109.576 | 1.520 | | |
| 145 | PSS223076 | 1.493 | PA007 | | 106.6130c | 100.1970c | 109.577 | 109.576 | 1.590 | | |
| 146 | PSS223076 | 1.493 | PA007 | | 306.6150c | 299.7705c | 109.577 | 109.576 | 1.590 | | |
| 147 | PSS223076 | 1.493 | LSS223017 | | 301.2890c | 100.1290c | 121.234 | 121.234 | 1.525 | | |
| 148 | PSS223076 | 1.493 | LSS223017 | | 101.2895c | 299.8425c | 121.234 | 121.234 | 1.525 | | |
| 149 | LSS223017 | 1.525 | PSS223076 | | 101.2895c | 99.8470c | 121.234 | 121.234 | 1.493 | | |
| 150 | LSS223017 | 1.525 | PSS223076 | | 301.2890c | 300.1265c | 121.234 | 121.234 | 1.493 | | |
| 151 | LSS223017 | 1.525 | PSS223077 | | 313.2450c | 100.9685c | 81.576 | 81.567 | 1.510 | | |
| 152 | LSS223017 | 1.525 | PSS223077 | | 113.2475c | 299.0090c | 81.576 | 81.566 | 1.510 | | |
| 153 | PSS223077 | 1.510 | LSS223017 | | 113.2455c | 99.0105c | 81.576 | 81.566 | 1.525 | | |
| 154 | PSS223077 | 1.510 | LSS223017 | | 313.2470c | 300.9615c | 81.576 | 81.567 | 1.525 | | |
| 155 | PSS223077 | 1.510 | PA008 | | 320.9435c | 101.0575c | 48.209 | 48.202 | 1.545 | | |
| 156 | PSS223077 | 1.510 | PA008 | | 120.9445c | 298.9140c | 48.209 | 48.202 | 1.545 | | |
| 157 | PA008 | 1.545 | PSS223077 | | 120.9440c | 98.9105c | 48.209 | 48.202 | 1.510 | | |
| 158 | PA008 | 1.545 | PSS223077 | | 320.9465c | 301.0540c | 48.209 | 48.202 | 1.510 | | |
| 159 | PA008 | 1.545 | PA009 | | 330.9495c | 101.2565c | 35.642 | 35.635 | 1.485 | | |
| 160 | PA008 | 1.545 | PA009 | | 130.9500c | 298.7150c | 35.642 | 35.635 | 1.485 | | |
| 161 | PA009 | 1.485 | PA008 | | 130.9500c | 98.7150c | 35.642 | 35.635 | 1.545 | | |
| 162 | PA009 | 1.485 | PA008 | | 330.9515c | 301.2505c | 35.642 | 35.635 | 1.545 | | |
| 163 | PA009 | 1.485 | PSS223078 | | 341.1780c | 101.1200c | 48.797 | 48.789 | 1.530 | | |
| 164 | PA009 | 1.485 | PSS223078 | | 141.1795c | 298.8495c | 48.797 | 48.789 | 1.530 | | |
| 165 | PSS223078 | 1.530 | PA009 | | 141.1785c | 98.8475c | 48.797 | 48.789 | 1.485 | | |
| 166 | PSS223078 | 1.530 | PA009 | | 341.1810c | 301.1185c | 48.797 | 48.789 | 1.485 | | |
| 167 | PSS223078 | 1.530 | PA010 | | 349.8075c | 101.0575c | 32.640 | 32.635 | 1.510 | | |
| 168 | PSS223078 | 1.530 | PA010 | | 149.8085c | 298.9155c | 32.640 | 32.635 | 1.510 | | |
| 169 | PA010 | 1.510 | PSS223078 | | 149.8085c | 98.9135c | 32.640 | 32.635 | 1.530 | | |
| 170 | PA010 | 1.510 | PSS223078 | | 349.8090c | 301.0535c | 32.640 | 32.636 | 1.530 | | |
| 171 | PA010 | 1.510 | PSS223079 | | 354.5455c | 101.0680c | 155.976 | 155.954 | 1.465 | | |
| 172 | PA010 | 1.510 | PSS223079 | | 154.5465c | 298.9035c | 155.976 | 155.953 | 1.465 | | |
| 173 | PSS223079 | 1.465 | PA010 | | 154.5455c | 98.9005c | 155.976 | 155.953 | 1.510 | | |
| 174 | PSS223079 | 1.465 | PA010 | | 354.5460c | 301.0655c | 155.976 | 155.954 | 1.510 | | |
| 175 | PSS223079 | 1.465 | PSS223080 | | 354.3940c | 99.1645c | 200.301 | 200.284 | 1.485 | | |
| 176 | PSS223079 | 1.465 | PSS223080 | | 154.3950c | 300.8065c | 200.301 | 200.285 | 1.485 | | |
| 177 | PSS223080 | 1.485 | PSS223079 | | 154.3940c | 100.8080c | 200.301 | 200.285 | 1.465 | | |
| 178 | PSS223080 | 1.485 | PSS223079 | | 354.3950c | 299.1600c | 200.301 | 200.284 | 1.465 | | |
| 179 | PSS223080 | 1.485 | PA011 | | 356.0055c | 97.5240c | 89.216 | 89.149 | 1.500 | | |
| 180 | PSS223080 | 1.485 | PA011 | | 156.0060c | 302.4445c | 89.216 | 89.150 | 1.500 | | |
| 181 | PA011 | 1.500 | PSS223080 | | 156.0060c | 102.4455c | 89.216 | 89.150 | 1.485 | | |
| 182 | PA011 | 1.500 | PSS223080 | | 356.0055c | 297.5210c | 89.216 | 89.148 | 1.485 | | |
| 183 | PA011 | 1.500 | 29709011 | | 383.2255c | 98.9325c | 28.559 | 28.555 | 1.480 | | |
| 184 | PA011 | 1.500 | 29709011 | | 183.2260c | 301.0360c | 28.559 | 28.555 | 1.480 | | |
| 185 | 29709011 | 1.480 | PA011 | | 183.2250c | 101.0365c | 28.559 | 28.555 | 1.500 | | |
| 186 | 29709011 | 1.480 | PA011 | | 383.2260c | 298.9305c | 28.559 | 28.555 | 1.500 | | |

| No. | Stazione | Alt. Strum. | Punto | Codice | Ang.Oriz. | Zenit | DISTANZA | | Alt. Prisma | Descrizione |
|-----|----------|----------------|-----------|--------|-----------|-----------|----------|--------|----------------|-------------|
| | | | | | | | Misur. | Ridot. | | |
| 187 | 29709011 | 1.480 | GSS223004 | | 371.1620c | 97.9250c | 44.566 | 44.542 | 1.480 | |
| 188 | 29709011 | 1.480 | GSS223004 | | 171.1635c | 302.0455c | 44.566 | 44.543 | 1.480 | |

| Stazione | Alt.Stazione | Punto | Angolo orizzontale Azimut Corr.Angolare | Distanza | Dislivello | Coordinate E N Q |
|----------|--------------|-------|---|----------|------------|--|
| 29709031 | 1.487 | CS014 | 199.90460c 199.90460c 0.00000c | 101.0402 | -0.662 | 689261.3944 4794790.5119 203.883 |

Misure in andata

| Angolo | Dev.Standard Angolo | Distanza | Dev.Standard Distanza | Dislivello | Dev.Standard Dislivello |
|------------|---------------------|----------|-----------------------|------------|-------------------------|
| 199.90460c | 0.00000c | 101.0402 | 0.0000 | -0.664 | 0.000 |

Strati in andata

| Layer | Prism. Height | Angolo orizzontale | | Distanza | | Angolo verticale Dislivello | |
|-------|------------------|--------------------------|------------------------|----------------------|-----------------------|--|--|
| | | Diritto Rovescio | Medio Dev.Standard | Diritto Rovescio | Medio Dev.Standard | Diritto Rovescio | Medio Dev.Standard |
| 1 | 1.552 | 199.90460c 199.90460c | 199.90460c 0.00000c | 101.0402 101.0402 | 101.0402 0.0000 | 100.37870c 100.37560c -0.666 -0.661 | 100.37715c -0.00155c -0.664 0.005 |

Misure in ritorno

| Angolo | Dev.Standard Angolo | Distanza | Dev.Standard Distanza | Dislivello | Dev.Standard Dislivello |
|--------|---------------------|----------|-----------------------|------------|-------------------------|
| | | 101.0402 | 0.0000 | 0.661 | 0.000 |

Strati in ritorno

| Layer | Prism. Height | Angolo orizzontale | | Distanza | | Angolo verticale Dislivello | |
|-------|------------------|---------------------|-----------------------|----------------------|-----------------------|--|--|
| | | Diritto Rovescio | Medio Dev.Standard | Diritto Rovescio | Medio Dev.Standard | Diritto Rovescio | Medio Dev.Standard |
| 1 | 1.487 | | | 101.0402 101.0402 | 101.0402 0.0000 | 99.62530c 99.62360c 0.660 0.662 | 99.62445c -0.00085c 0.661 0.003 |

| Stazione | Alt.Stazione | Punto | Angolo orizzontale Azimut Corr.Angolare | Distanza | Dislivello | Coordinate E N Q |
|----------|--------------|-------|---|----------|------------|--|
| CS014 | 1.552 | CS015 | 208.18860c 208.18860c 0.00000c | 79.1499 | -0.136 | 689251.2417 4794712.0158 203.747 |

Misure in andata

| Angolo | Dev.Standard Angolo | Distanza | Dev.Standard Distanza | Dislivello | Dev.Standard Dislivello |
|------------|---------------------|----------|-----------------------|------------|-------------------------|
| 208.18860c | 0.00000c | 79.1499 | 0.0000 | -0.138 | 0.000 |

Strati in andata

| Layer | Prism. Height | Angolo orizzontale | | Distanza | | Angolo verticale Dislivello | |
|-------|------------------|--------------------------|------------------------|---------------------|-----------------------|--|--|
| | | Diritto Rovescio | Medio Dev.Standard | Diritto Rovescio | Medio Dev.Standard | Diritto Rovescio | Medio Dev.Standard |
| 1 | 1.569 | 208.18860c 208.18860c | 208.18860c 0.00000c | 79.1499 79.1499 | 79.1499 0.0000 | 100.09930c 100.09590c -0.140 -0.136 | 100.09760c -0.00170c -0.138 0.004 |

Misure in ritorno

| Angolo | Dev.Standard Angolo | Distanza | Dev.Standard Distanza | Dislivello | Dev.Standard Dislivello |
|--------|---------------------|----------|-----------------------|------------|-------------------------|
| | | 79.1499 | 0.0000 | 0.134 | 0.000 |

Strati in ritorno

| Layer | Prism. Height | Angolo orizzontale | | Distanza | | Angolo verticale Dislivello | |
|-------|------------------|---------------------|-----------------------|---------------------|-----------------------|--|--|
| | | Diritto Rovescio | Medio Dev.Standard | Diritto Rovescio | Medio Dev.Standard | Diritto Rovescio | Medio Dev.Standard |
| 1 | 1.552 | | | 79.1499 79.1499 | 79.1499 0.0000 | 99.90670c 99.90520c 0.133 0.135 | 99.90595c -0.00075c 0.134 0.002 |

| Stazione | Alt.Stazione | Punto | Angolo orizzontale Azimut Corr.Angolare | Distanza | Dislivello | Coordinate E N Q |
|----------|--------------|-----------|---|----------|------------|--|
| CS015 | 1.569 | PSS223057 | 216.85670c 216.85670c 0.00000c | 69.8698 | 0.198 | 689232.9567 4794644.5810 203.945 |

Misure in andata

| Angolo | Dev.Standard Angolo | Distanza | Dev.Standard Distanza | Dislivello | Dev.Standard Dislivello |
|------------|---------------------|----------|-----------------------|------------|-------------------------|
| 216.85670c | 0.00000c | 69.8698 | 0.0000 | 0.196 | 0.000 |

Strati in andata

| | | Angolo orizzontale | | Distanza | | Angolo verticale Dislivello | |
|-------|------------------|--------------------------|------------------------|---------------------|-----------------------|--|--|
| Layer | Prism. Height | Diritto Rovescio | Medio Dev.Standard | Diritto Rovescio | Medio Dev.Standard | Diritto Rovescio | Medio Dev.Standard |
| 1 | 1.525 | 216.85670c 216.85670c | 216.85670c 0.00000c | 69.8698 69.8698 | 69.8698 0.0000 | 99.86180c 99.86030c 0.196 0.197 | 99.86105c -0.00075c 0.196 0.002 |

Misure in ritorno

| Angolo | Dev.Standard Angolo | Distanza | Dev.Standard Distanza | Dislivello | Dev.Standard Dislivello |
|--------|---------------------|----------|-----------------------|------------|-------------------------|
| | | 69.8698 | 0.0000 | -0.200 | 0.000 |

Strati in ritorno

| | | Angolo orizzontale | | Distanza | | Angolo verticale Dislivello | |
|-------|------------------|---------------------|-----------------------|---------------------|-----------------------|--|--|
| Layer | Prism. Height | Diritto Rovescio | Medio Dev.Standard | Diritto Rovescio | Medio Dev.Standard | Diritto Rovescio | Medio Dev.Standard |
| 1 | 1.569 | | | 69.8698 69.8698 | 69.8698 0.0000 | 100.14210c 100.14180c -0.200 -0.200 | 100.14195c -0.00015c -0.200 0.000 |

| Stazione | Alt.Stazione | Punto | Angolo orizzontale Azimut Corr.Angolare | Distanza | Dislivello | Coordinate E N Q |
|-----------|--------------|-----------|---|----------|------------|--|
| PSS223057 | 1.525 | PSS223058 | 225.59665c 225.59665c 0.00000c | 143.4583 | 0.849 | 689176.8178 4794512.5632 204.794 |

Misure in andata

| Angolo | Dev.Standard Angolo | Distanza | Dev.Standard Distanza | Dislivello | Dev.Standard Dislivello |
|------------|---------------------|----------|-----------------------|------------|-------------------------|
| 225.59665c | 0.00000c | 143.4583 | 0.0000 | 0.841 | 0.000 |

Strati in andata

| Layer | Prism. Height | Angolo orizzontale | | Distanza | | Angolo verticale Dislivello | |
|-------|------------------|--------------------------|------------------------|----------------------|-----------------------|--|--|
| | | Diritto Rovescio | Medio Dev.Standard | Diritto Rovescio | Medio Dev.Standard | Diritto Rovescio | Medio Dev.Standard |
| 1 | 1.561 | 225.59660c 225.59670c | 225.59665c 0.00005c | 143.4583 143.4583 | 143.4583 0.0000 | 99.61230c 99.60890c 0.838 0.845 | 99.61060c -0.00170c 0.841 0.008 |

Misure in ritorno

| Angolo | Dev.Standard Angolo | Distanza | Dev.Standard Distanza | Dislivello | Dev.Standard Dislivello |
|--------|---------------------|----------|-----------------------|------------|-------------------------|
| | | 143.4582 | 0.0000 | -0.857 | 0.000 |

Strati in ritorno

| Layer | Prism. Height | Angolo orizzontale | | Distanza | | Angolo verticale Dislivello | |
|-------|------------------|---------------------|-----------------------|----------------------|-----------------------|--|--|
| | | Diritto Rovescio | Medio Dev.Standard | Diritto Rovescio | Medio Dev.Standard | Diritto Rovescio | Medio Dev.Standard |
| 1 | 1.525 | | | 143.4582 143.4582 | 143.4582 0.0000 | 100.39750c 100.39490c -0.860 -0.854 | 100.39620c -0.00130c -0.857 0.006 |

| Stazione | Alt.Stazione | Punto | Angolo orizzontale Azimut Corr.Angolare | Distanza | Dislivello | Coordinate E N Q |
|-----------|--------------|-------|---|----------|------------|--|
| PSS223058 | 1.561 | CS016 | 231.20440c 231.20440c 0.00000c | 65.3340 | 0.196 | 689146.0609 4794454.9217 204.990 |

Misure in andata

| Angolo | Dev.Standard Angolo | Distanza | Dev.Standard Distanza | Dislivello | Dev.Standard Dislivello |
|------------|---------------------|----------|-----------------------|------------|-------------------------|
| 231.20440c | 0.00000c | 65.3342 | 0.0000 | 0.196 | 0.000 |

Strati in andata

| Layer | Prism. Height | Angolo orizzontale | | Distanza | | Angolo verticale Dislivello | |
|-------|------------------|--------------------------|------------------------|---------------------|-----------------------|--|--|
| | | Diritto Rovescio | Medio Dev.Standard | Diritto Rovescio | Medio Dev.Standard | Diritto Rovescio | Medio Dev.Standard |
| 1 | 1.554 | 231.20440c 231.20440c | 231.20440c 0.00000c | 65.3337 65.3347 | 65.3342 0.0005 | 99.81860c 99.81340c 0.193 0.199 | 99.81600c -0.00260c 0.196 0.005 |

Misure in ritorno

| Angolo | Dev.Standard Angolo | Distanza | Dev.Standard Distanza | Dislivello | Dev.Standard Dislivello |
|--------|---------------------|----------|-----------------------|------------|-------------------------|
| | | 65.3337 | 0.0000 | -0.197 | 0.000 |

Strati in ritorno

| Layer | Prism. Height | Angolo orizzontale | | Distanza | | Angolo verticale Dislivello | |
|-------|------------------|---------------------|-----------------------|---------------------|-----------------------|--|--|
| | | Diritto Rovescio | Medio Dev.Standard | Diritto Rovescio | Medio Dev.Standard | Diritto Rovescio | Medio Dev.Standard |
| 1 | 1.561 | | | 65.3337 65.3337 | 65.3337 0.0000 | 100.18690c 100.18360c -0.199 -0.195 | 100.18525c -0.00165c -0.197 0.003 |

| Stazione | Alt.Stazione | Punto | Angolo orizzontale Azimut Corr.Angolare | Distanza | Dislivello | Coordinate E N Q |
|----------|--------------|-----------|---|----------|------------|--|
| CS016 | 1.554 | PSS223059 | 238.58410c 238.58410c 0.00000c | 199.6280 | 1.121 | 689032.3432 4794290.8498 206.111 |

Misure in andata

| Angolo | Dev.Standard Angolo | Distanza | Dev.Standard Distanza | Dislivello | Dev.Standard Dislivello |
|------------|---------------------|----------|-----------------------|------------|-------------------------|
| 238.58410c | 0.00000c | 199.6280 | 0.0000 | 1.112 | 0.000 |

Strati in andata

| Layer | Prism. Height | Angolo orizzontale | | Distanza | | Angolo verticale Dislivello | |
|-------|------------------|--------------------------|-------------------------|----------------------|-----------------------|--|--|
| | | Diritto Rovescio | Medio Dev.Standard | Diritto Rovescio | Medio Dev.Standard | Diritto Rovescio | Medio Dev.Standard |
| 1 | 1.530 | 238.58470c 238.58350c | 238.58410c -0.00060c | 199.6280 199.6280 | 199.6280 0.0000 | 99.65390c 99.65210c 1.109 1.115 | 99.65300c -0.00090c 1.112 0.006 |

Misure in ritorno

| Angolo | Dev.Standard Angolo | Distanza | Dev.Standard Distanza | Dislivello | Dev.Standard Dislivello |
|--------|---------------------|----------|-----------------------|------------|-------------------------|
| | | 199.6279 | 0.0000 | -1.130 | 0.000 |

Strati in ritorno

| Layer | Prism. Height | Angolo orizzontale | | Distanza | | Angolo verticale Dislivello | |
|-------|------------------|---------------------|-----------------------|----------------------|-----------------------|--|--|
| | | Diritto Rovescio | Medio Dev.Standard | Diritto Rovescio | Medio Dev.Standard | Diritto Rovescio | Medio Dev.Standard |
| 1 | 1.554 | | | 199.6279 199.6279 | 199.6279 0.0000 | 100.35290c 100.35250c -1.131 -1.129 | 100.35270c -0.00020c -1.130 0.001 |

| Stazione | Alt.Stazione | Punto | Angolo orizzontale Azimut Corr.Angolare | Distanza | Dislivello | Coordinate E N Q |
|-----------|--------------|-----------|---|----------|------------|--|
| PSS223059 | 1.530 | PSS223060 | 236.22465c 236.22415c 399.99950c | 251.1218 | 2.100 | 688897.0397 4794079.2957 208.211 |

Misure in andata

| Angolo | Dev.Standard Angolo | Distanza | Dev.Standard Distanza | Dislivello | Dev.Standard Dislivello |
|------------|---------------------|----------|-----------------------|------------|-------------------------|
| 236.22465c | 0.00000c | 251.1219 | 0.0000 | 2.083 | 0.000 |

Strati in andata

| Layer | Prism. Height | Angolo orizzontale | | Distanza | | Angolo verticale Dislivello | |
|-------|------------------|--------------------------|------------------------|----------------------|-----------------------|--|--|
| | | Diritto Rovescio | Medio Dev.Standard | Diritto Rovescio | Medio Dev.Standard | Diritto Rovescio | Medio Dev.Standard |
| 1 | 1.461 | 236.22430c 236.22500c | 236.22465c 0.00035c | 251.1220 251.1219 | 251.1219 0.0000 | 99.49060c 99.48820c 2.078 2.088 | 99.48940c -0.00120c 2.083 0.009 |

Misure in ritorno

| Angolo | Dev.Standard Angolo | Distanza | Dev.Standard Distanza | Dislivello | Dev.Standard Dislivello |
|--------|---------------------|----------|-----------------------|------------|-------------------------|
| | | 251.1217 | 0.0000 | -2.117 | 0.000 |

Strati in ritorno

| Layer | Prism. Height | Angolo orizzontale | | Distanza | | Angolo verticale Dislivello | |
|-------|------------------|---------------------|-----------------------|----------------------|-----------------------|--|--|
| | | Diritto Rovescio | Medio Dev.Standard | Diritto Rovescio | Medio Dev.Standard | Diritto Rovescio | Medio Dev.Standard |
| 1 | 1.530 | | | 251.1216 251.1217 | 251.1217 0.0000 | 100.52000c 100.51820c -2.120 -2.113 | 100.51910c -0.00090c -2.117 0.007 |

| Stazione | Alt.Stazione | Punto | Angolo orizzontale Azimut Corr.Angolare | Distanza | Dislivello | Coordinate E N Q |
|-----------|--------------|-------|---|----------|------------|--|
| PSS223060 | 1.461 | CS017 | 215.32930c 215.32885c 399.99955c | 99.8197 | 0.668 | 688873.2362 4793982.3557 208.879 |

Misure in andata

| Angolo | Dev.Standard Angolo | Distanza | Dev.Standard Distanza | Dislivello | Dev.Standard Dislivello |
|------------|---------------------|----------|-----------------------|------------|-------------------------|
| 215.32930c | 0.00000c | 99.8200 | 0.0000 | 0.666 | 0.000 |

Strati in andata

| Layer | Prism. Height | Angolo orizzontale | | Distanza | | Angolo verticale Dislivello | |
|-------|------------------|--------------------------|-------------------------|---------------------|-----------------------|--|--|
| | | Diritto Rovescio | Medio Dev.Standard | Diritto Rovescio | Medio Dev.Standard | Diritto Rovescio | Medio Dev.Standard |
| 1 | 1.507 | 215.33040c 215.32820c | 215.32930c -0.00110c | 99.8205 99.8195 | 99.8200 -0.0005 | 99.54620c 99.54510c 0.666 0.667 | 99.54565c -0.00055c 0.666 0.002 |

Misure in ritorno

| Angolo | Dev.Standard Angolo | Distanza | Dev.Standard Distanza | Dislivello | Dev.Standard Dislivello |
|--------|---------------------|----------|-----------------------|------------|-------------------------|
| | | 99.8194 | 0.0000 | -0.669 | 0.000 |

Strati in ritorno

| Layer | Prism. Height | Angolo orizzontale | | Distanza | | Angolo verticale Dislivello | |
|-------|------------------|---------------------|-----------------------|---------------------|-----------------------|--|--|
| | | Diritto Rovescio | Medio Dev.Standard | Diritto Rovescio | Medio Dev.Standard | Diritto Rovescio | Medio Dev.Standard |
| 1 | 1.461 | | | 99.8194 99.8194 | 99.8194 0.0000 | 100.45660c 100.45580c -0.670 -0.669 | 100.45620c -0.00040c -0.669 0.001 |

| Stazione | Alt.Stazione | Punto | Angolo orizzontale Azimut Corr.Angolare | Distanza | Dislivello | Coordinate E N Q |
|----------|--------------|-----------|---|----------|------------|--|
| CS017 | 1.507 | LSS223013 | 199.07510c 199.07380c 399.99870c | 83.7198 | 0.993 | 688874.4542 4793898.6448 209.872 |

Misure in andata

| Angolo | Dev.Standard Angolo | Distanza | Dev.Standard Distanza | Dislivello | Dev.Standard Dislivello |
|------------|---------------------|----------|-----------------------|------------|-------------------------|
| 199.07510c | 0.00000c | 83.7198 | 0.0000 | 0.992 | 0.000 |

Strati in andata

| Layer | Prism. Height | Angolo orizzontale | | Distanza | | Angolo verticale Dislivello | |
|-------|------------------|--------------------------|------------------------|---------------------|-----------------------|--|--|
| | | Diritto Rovescio | Medio Dev.Standard | Diritto Rovescio | Medio Dev.Standard | Diritto Rovescio | Medio Dev.Standard |
| 1 | 1.536 | 199.07490c 199.07530c | 199.07510c 0.00020c | 83.7198 83.7198 | 83.7198 0.0000 | 99.22430c 99.22290c 0.991 0.993 | 99.22360c -0.00070c 0.992 0.002 |

Misure in ritorno

| Angolo | Dev.Standard Angolo | Distanza | Dev.Standard Distanza | Dislivello | Dev.Standard Dislivello |
|--------|---------------------|----------|-----------------------|------------|-------------------------|
| | | 83.7197 | 0.0000 | -0.994 | 0.000 |

Strati in ritorno

| Layer | Prism. Height | Angolo orizzontale | | Distanza | | Angolo verticale Dislivello | |
|-------|------------------|---------------------|-----------------------|---------------------|-----------------------|--|--|
| | | Diritto Rovescio | Medio Dev.Standard | Diritto Rovescio | Medio Dev.Standard | Diritto Rovescio | Medio Dev.Standard |
| 1 | 1.507 | | | 83.7197 83.7198 | 83.7197 0.0000 | 100.77910c 100.77710c -0.996 -0.993 | 100.77810c -0.00100c -0.994 0.003 |

| Stazione | Alt.Stazione | Punto | Angolo orizzontale Azimut Corr.Angolare | Distanza | Dislivello | Coordinate E N Q |
|-----------|--------------|-----------|---|----------|------------|--|
| LSS223013 | 1.536 | PSS223061 | 204.73590c 204.73500c 399.99910c | 167.4107 | 5.079 | 688862.0141 4793731.6969 214.951 |

Misure in andata

| Angolo | Dev.Standard Angolo | Distanza | Dev.Standard Distanza | Dislivello | Dev.Standard Dislivello |
|------------|---------------------|----------|-----------------------|------------|-------------------------|
| 204.73590c | 0.00000c | 167.4098 | 0.0000 | 5.110 | 0.000 |

Strati in andata

| Layer | Prism. Height | Angolo orizzontale | | Distanza | | Angolo verticale Dislivello | |
|-------|------------------|--------------------------|-------------------------|----------------------|-----------------------|--|--|
| | | Diritto Rovescio | Medio Dev.Standard | Diritto Rovescio | Medio Dev.Standard | Diritto Rovescio | Medio Dev.Standard |
| 1 | 1.544 | 204.73630c 204.73550c | 204.73590c -0.00040c | 167.4098 167.4097 | 167.4098 0.0000 | 98.05480c 98.05380c 5.109 5.111 | 98.05430c -0.00050c 5.110 0.003 |

Misure in ritorno

| Angolo | Dev.Standard Angolo | Distanza | Dev.Standard Distanza | Dislivello | Dev.Standard Dislivello |
|--------|---------------------|----------|-----------------------|------------|-------------------------|
| | | 167.4117 | 0.0000 | -5.048 | 0.000 |

Strati in ritorno

| Layer | Prism. Height | Angolo orizzontale | | Distanza | | Angolo verticale Dislivello | |
|-------|------------------|---------------------|-----------------------|----------------------|-----------------------|--|--|
| | | Diritto Rovescio | Medio Dev.Standard | Diritto Rovescio | Medio Dev.Standard | Diritto Rovescio | Medio Dev.Standard |
| 1 | 1.536 | | | 167.4116 167.4117 | 167.4117 0.0001 | 101.92290c 101.92110c -5.050 -5.045 | 101.92200c -0.00090c -5.048 0.005 |

| Stazione | Alt.Stazione | Punto | Angolo orizzontale Azimut Corr.Angolare | Distanza | Dislivello | Coordinate E N Q |
|-----------|--------------|-------|---|----------|------------|--|
| PSS223061 | 1.544 | CS018 | 199.71700c 199.71560c 399.99860c | 70.6874 | 2.938 | 688862.3299 4793661.0102 217.890 |

Misure in andata

| Angolo | Dev.Standard Angolo | Distanza | Dev.Standard Distanza | Dislivello | Dev.Standard Dislivello |
|------------|---------------------|----------|-----------------------|------------|-------------------------|
| 199.71700c | 0.00000c | 70.6875 | 0.0000 | 2.937 | 0.000 |

Strati in andata

| Layer | Prism. Height | Angolo orizzontale | | Distanza | | Angolo verticale Dislivello | |
|-------|------------------|--------------------------|-------------------------|---------------------|-----------------------|--|--|
| | | Diritto Rovescio | Medio Dev.Standard | Diritto Rovescio | Medio Dev.Standard | Diritto Rovescio | Medio Dev.Standard |
| 1 | 1.581 | 199.71710c 199.71690c | 199.71700c -0.00010c | 70.6875 70.6874 | 70.6875 0.0000 | 97.32370c 97.32220c 2.936 2.938 | 97.32295c -0.00075c 2.937 0.002 |

Misure in ritorno

| Angolo | Dev.Standard Angolo | Distanza | Dev.Standard Distanza | Dislivello | Dev.Standard Dislivello |
|--------|---------------------|----------|-----------------------|------------|-------------------------|
| | | 70.6874 | 0.0000 | -2.939 | 0.000 |

Strati in ritorno

| Layer | Prism. Height | Angolo orizzontale | | Distanza | | Angolo verticale Dislivello | |
|-------|------------------|---------------------|-----------------------|---------------------|-----------------------|--|--|
| | | Diritto Rovescio | Medio Dev.Standard | Diritto Rovescio | Medio Dev.Standard | Diritto Rovescio | Medio Dev.Standard |
| 1 | 1.544 | | | 70.6873 70.6874 | 70.6874 0.0001 | 102.68050c 102.67750c -2.941 -2.938 | 102.67900c -0.00150c -2.939 0.003 |

| Stazione | Alt.Stazione | Punto | Angolo orizzontale Azimut Corr.Angolare | Distanza | Dislivello | Coordinate E N Q |
|----------|--------------|-------|---|----------|------------|--|
| CS018 | 1.581 | CS019 | 233.48645c 233.48480c 399.99835c | 187.7044 | 4.566 | 688768.0912 4793498.6772 222.456 |

Misure in andata

| Angolo | Dev.Standard Angolo | Distanza | Dev.Standard Distanza | Dislivello | Dev.Standard Dislivello |
|------------|---------------------|----------|-----------------------|------------|-------------------------|
| 233.48645c | 0.00000c | 187.7045 | 0.0000 | 4.562 | 0.000 |

Strati in andata

| Layer | Prism. Height | Angolo orizzontale | | Distanza | | Angolo verticale Dislivello | |
|-------|------------------|--------------------------|-------------------------|----------------------|-----------------------|--|--|
| | | Diritto Rovescio | Medio Dev.Standard | Diritto Rovescio | Medio Dev.Standard | Diritto Rovescio | Medio Dev.Standard |
| 1 | 1.583 | 233.48650c 233.48640c | 233.48645c -0.00005c | 187.7047 187.7044 | 187.7045 -0.0001 | 98.45420c 98.45040c 4.557 4.568 | 98.45230c -0.00190c 4.562 0.011 |

Misure in ritorno

| Angolo | Dev.Standard Angolo | Distanza | Dev.Standard Distanza | Dislivello | Dev.Standard Dislivello |
|--------|---------------------|----------|-----------------------|------------|-------------------------|
| | | 187.7043 | 0.0000 | -4.570 | 0.000 |

Strati in ritorno

| Layer | Prism. Height | Angolo orizzontale | | Distanza | | Angolo verticale Dislivello | |
|-------|------------------|---------------------|-----------------------|----------------------|-----------------------|--|--|
| | | Diritto Rovescio | Medio Dev.Standard | Diritto Rovescio | Medio Dev.Standard | Diritto Rovescio | Medio Dev.Standard |
| 1 | 1.581 | | | 187.7043 187.7044 | 187.7043 0.0001 | 101.55140c 101.54930c -4.573 -4.567 | 101.55035c -0.00105c -4.570 0.006 |

CALCOLO STAZIONI

Pagina nr. 13

| Stazione | Alt.Stazione | Punto | Angolo orizzontale Azimut Corr.Angolare | Distanza | Dislivello | Coordinate E N Q |
|----------|--------------|-----------|---|----------|------------|--|
| CS019 | 1.583 | PSS223062 | 250.82550c 250.82330c 399.99780c | 68.3198 | 1.242 | 688719.1611 4793450.9965 223.698 |

Misure in andata

| Angolo | Dev.Standard Angolo | Distanza | Dev.Standard Distanza | Dislivello | Dev.Standard Dislivello |
|------------|---------------------|----------|-----------------------|------------|-------------------------|
| 250.82550c | 0.00000c | 68.3199 | 0.0000 | 1.241 | 0.000 |

Strati in andata

| Layer | Prism. Height | Angolo orizzontale | | Distanza | | Angolo verticale Dislivello | |
|-------|------------------|--------------------------|------------------------|---------------------|-----------------------|--|--|
| | | Diritto Rovescio | Medio Dev.Standard | Diritto Rovescio | Medio Dev.Standard | Diritto Rovescio | Medio Dev.Standard |
| 1 | 0.998 | 250.82510c 250.82590c | 250.82550c 0.00040c | 68.3199 68.3198 | 68.3199 0.0000 | 99.38990c 99.38780c 1.240 1.242 | 99.38885c -0.00105c 1.241 0.002 |

Misure in ritorno

| Angolo | Dev.Standard Angolo | Distanza | Dev.Standard Distanza | Dislivello | Dev.Standard Dislivello |
|--------|---------------------|----------|-----------------------|------------|-------------------------|
| | | 68.3198 | 0.0000 | -1.243 | 0.000 |

Strati in ritorno

| Layer | Prism. Height | Angolo orizzontale | | Distanza | | Angolo verticale Dislivello | |
|-------|------------------|---------------------|-----------------------|---------------------|-----------------------|--|--|
| | | Diritto Rovescio | Medio Dev.Standard | Diritto Rovescio | Medio Dev.Standard | Diritto Rovescio | Medio Dev.Standard |
| 1 | 1.583 | | | 68.3198 68.3198 | 68.3198 0.0000 | 100.61400c 100.61260c -1.244 -1.242 | 100.61330c -0.00070c -1.243 0.002 |

| Stazione | Alt.Stazione | Punto | Angolo orizzontale Azimut Corr.Angolare | Distanza | Dislivello | Coordinate E N Q |
|-----------|--------------|-------|---|----------|------------|--|
| PSS223062 | 0.998 | CS020 | 253.24585c 253.24470c 399.99885c | 82.2093 | 0.605 | 688658.1443 4793395.9027 224.303 |

Misure in andata

| Angolo | Dev.Standard Angolo | Distanza | Dev.Standard Distanza | Dislivello | Dev.Standard Dislivello |
|------------|---------------------|----------|-----------------------|------------|-------------------------|
| 253.24585c | 0.00000c | 82.2093 | 0.0000 | 0.602 | 0.000 |

Strati in andata

| Layer | Prism. Height | Angolo orizzontale | | Distanza | | Angolo verticale Dislivello | |
|-------|------------------|--------------------------|-------------------------|---------------------|-----------------------|--|--|
| | | Diritto Rovescio | Medio Dev.Standard | Diritto Rovescio | Medio Dev.Standard | Diritto Rovescio | Medio Dev.Standard |
| 1 | 1.518 | 253.24590c 253.24580c | 253.24585c -0.00005c | 82.2093 82.2093 | 82.2093 0.0000 | 99.13120c 99.13070c 0.602 0.603 | 99.13095c -0.00025c 0.602 0.001 |

Misure in ritorno

| Angolo | Dev.Standard Angolo | Distanza | Dev.Standard Distanza | Dislivello | Dev.Standard Dislivello |
|--------|---------------------|----------|-----------------------|------------|-------------------------|
| | | 82.2093 | 0.0000 | -0.607 | 0.000 |

Strati in ritorno

| Layer | Prism. Height | Angolo orizzontale | | Distanza | | Angolo verticale Dislivello | |
|-------|------------------|---------------------|-----------------------|---------------------|-----------------------|--|--|
| | | Diritto Rovescio | Medio Dev.Standard | Diritto Rovescio | Medio Dev.Standard | Diritto Rovescio | Medio Dev.Standard |
| 1 | 0.998 | | | 82.2093 82.2093 | 82.2093 0.0000 | 100.87400c 100.87180c -0.609 -0.606 | 100.87290c -0.00110c -0.607 0.003 |

| Stazione | Alt.Stazione | Punto | Angolo orizzontale Azimut Corr.Angolare | Distanza | Dislivello | Coordinate E N Q |
|----------|--------------|-----------|---|----------|------------|--|
| CS020 | 1.518 | PSS223063 | 276.34015c 276.33840c 399.99825c | 149.3639 | -0.012 | 688518.9789 4793341.6572 224.291 |

Misure in andata

| Angolo | Dev.Standard Angolo | Distanza | Dev.Standard Distanza | Dislivello | Dev.Standard Dislivello |
|------------|---------------------|----------|-----------------------|------------|-------------------------|
| 276.34015c | 0.00000c | 149.3639 | 0.0000 | -0.014 | 0.000 |

Strati in andata

| Layer | Prism. Height | Angolo orizzontale | | Distanza | | Angolo verticale Dislivello | |
|-------|------------------|--------------------------|-------------------------|----------------------|-----------------------|--|--|
| | | Diritto Rovescio | Medio Dev.Standard | Diritto Rovescio | Medio Dev.Standard | Diritto Rovescio | Medio Dev.Standard |
| 1 | 1.356 | 276.34120c 276.33910c | 276.34015c -0.00105c | 149.3639 149.3639 | 149.3639 0.0000 | 100.07530c 100.07480c -0.015 -0.013 | 100.07505c -0.00025c -0.014 0.001 |

Misure in ritorno

| Angolo | Dev.Standard Angolo | Distanza | Dev.Standard Distanza | Dislivello | Dev.Standard Dislivello |
|--------|---------------------|----------|-----------------------|------------|-------------------------|
| | | 149.3639 | 0.0000 | 0.010 | 0.000 |

Strati in ritorno

| Layer | Prism. Height | Angolo orizzontale | | Distanza | | Angolo verticale Dislivello | |
|-------|------------------|---------------------|-----------------------|----------------------|-----------------------|--|--|
| | | Diritto Rovescio | Medio Dev.Standard | Diritto Rovescio | Medio Dev.Standard | Diritto Rovescio | Medio Dev.Standard |
| 1 | 1.518 | | | 149.3639 149.3639 | 149.3639 0.0000 | 99.92720c 99.92610c 0.009 0.011 | 99.92665c -0.00055c 0.010 0.003 |

| Stazione | Alt.Stazione | Punto | Angolo orizzontale Azimut Corr.Angolare | Distanza | Dislivello | Coordinate E N Q |
|-----------|--------------|-----------|---|----------|------------|--|
| PSS223063 | 1.356 | PSS223064 | 275.44265c 275.43955c 399.99690c | 188.5578 | -2.239 | 688344.2802 4793270.7038 222.052 |

Misure in andata

| Angolo | Dev.Standard Angolo | Distanza | Dev.Standard Distanza | Dislivello | Dev.Standard Dislivello |
|------------|---------------------|----------|-----------------------|------------|-------------------------|
| 275.44265c | 0.00000c | 188.5577 | 0.0000 | -2.243 | 0.000 |

Strati in andata

| Layer | Prism. Height | Angolo orizzontale | | Distanza | | Angolo verticale Dislivello | |
|-------|------------------|--------------------------|------------------------|----------------------|-----------------------|--|--|
| | | Diritto Rovescio | Medio Dev.Standard | Diritto Rovescio | Medio Dev.Standard | Diritto Rovescio | Medio Dev.Standard |
| 1 | 1.535 | 275.44200c 275.44330c | 275.44265c 0.00065c | 188.5577 188.5577 | 188.5577 0.0000 | 100.69820c 100.69550c -2.247 -2.239 | 100.69685c -0.00135c -2.243 0.008 |

Misure in ritorno

| Angolo | Dev.Standard Angolo | Distanza | Dev.Standard Distanza | Dislivello | Dev.Standard Dislivello |
|--------|---------------------|----------|-----------------------|------------|-------------------------|
| | | 188.5578 | 0.0000 | 2.234 | 0.000 |

Strati in ritorno

| Layer | Prism. Height | Angolo orizzontale | | Distanza | | Angolo verticale Dislivello | |
|-------|------------------|---------------------|-----------------------|----------------------|-----------------------|--|--|
| | | Diritto Rovescio | Medio Dev.Standard | Diritto Rovescio | Medio Dev.Standard | Diritto Rovescio | Medio Dev.Standard |
| 1 | 1.356 | | | 188.5578 188.5578 | 188.5578 0.0000 | 99.30620c 99.30600c 2.234 2.235 | 99.30610c -0.00010c 2.234 0.001 |

CALCOLO STAZIONI

Pagina nr. 17

| Stazione | Alt.Stazione | Punto | Angolo orizzontale Azimut Corr.Angolare | Distanza | Dislivello | Coordinate E N Q |
|-----------|--------------|-----------|---|----------|------------|--|
| PSS223064 | 1.535 | LSS223014 | 293.15185c 293.14950c 399.99765c | 117.4439 | -2.868 | 688227.5157 4793258.0903 219.184 |

Misure in andata

| Angolo | Dev.Standard Angolo | Distanza | Dev.Standard Distanza | Dislivello | Dev.Standard Dislivello |
|------------|---------------------|----------|-----------------------|------------|-------------------------|
| 293.15185c | 0.00000c | 117.4438 | 0.0000 | -2.870 | 0.000 |

Strati in andata

| Layer | Prism. Height | Angolo orizzontale | | Distanza | | Angolo verticale Dislivello | |
|-------|------------------|--------------------------|-------------------------|----------------------|-----------------------|--|--|
| | | Dritto Rovescio | Medio Dev.Standard | Dritto Rovescio | Medio Dev.Standard | Dritto Rovescio | Medio Dev.Standard |
| 1 | 1.490 | 293.15240c 293.15130c | 293.15185c -0.00055c | 117.4438 117.4438 | 117.4438 0.0000 | 101.57940c 101.58070c -2.869 -2.872 | 101.58005c 0.00065c -2.870 -0.002 |

Misure in ritorno

| Angolo | Dev.Standard Angolo | Distanza | Dev.Standard Distanza | Dislivello | Dev.Standard Dislivello |
|--------|---------------------|----------|-----------------------|------------|-------------------------|
| | | 117.4440 | 0.0000 | 2.865 | 0.000 |

Strati in ritorno

| Layer | Prism. Height | Angolo orizzontale | | Distanza | | Angolo verticale Dislivello | |
|-------|------------------|--------------------|-----------------------|----------------------|-----------------------|--|--|
| | | Dritto Rovescio | Medio Dev.Standard | Dritto Rovescio | Medio Dev.Standard | Dritto Rovescio | Medio Dev.Standard |
| 1 | 1.535 | | | 117.4439 117.4440 | 117.4440 0.0000 | 98.42250c 98.42330c 2.866 2.864 | 98.42290c 0.00040c 2.865 -0.001 |

| Stazione | Alt.Stazione | Punto | Angolo orizzontale Azimut Corr.Angolare | Distanza | Dislivello | Coordinate E N Q |
|-----------|--------------|-----------|---|----------|------------|--|
| LSS223014 | 1.490 | PSS223065 | 268.50915c 268.50685c 399.99770c | 51.0546 | -1.069 | 688182.5817 4793233.8515 218.115 |

Misure in andata

| Angolo | Dev.Standard Angolo | Distanza | Dev.Standard Distanza | Dislivello | Dev.Standard Dislivello |
|------------|---------------------|----------|-----------------------|------------|-------------------------|
| 268.50915c | 0.00000c | 51.0541 | 0.0000 | -1.070 | 0.000 |

Strati in andata

| Layer | Prism. Height | Angolo orizzontale | | Distanza | | Angolo verticale Dislivello | |
|-------|------------------|--------------------------|------------------------|---------------------|-----------------------|--|--|
| | | Diritto Rovescio | Medio Dev.Standard | Diritto Rovescio | Medio Dev.Standard | Diritto Rovescio | Medio Dev.Standard |
| 1 | 1.555 | 268.50870c 268.50960c | 268.50915c 0.00045c | 51.0541 51.0541 | 51.0541 0.0000 | 101.25330c 101.25170c -1.070 -1.069 | 101.25250c -0.00080c -1.070 0.001 |

Misure in ritorno

| Angolo | Dev.Standard Angolo | Distanza | Dev.Standard Distanza | Dislivello | Dev.Standard Dislivello |
|--------|---------------------|----------|-----------------------|------------|-------------------------|
| | | 51.0552 | 0.0000 | 1.068 | 0.000 |

Strati in ritorno

| Layer | Prism. Height | Angolo orizzontale | | Distanza | | Angolo verticale Dislivello | |
|-------|------------------|---------------------|-----------------------|---------------------|-----------------------|--|--|
| | | Diritto Rovescio | Medio Dev.Standard | Diritto Rovescio | Medio Dev.Standard | Diritto Rovescio | Medio Dev.Standard |
| 1 | 1.490 | | | 51.0552 51.0551 | 51.0552 0.0000 | 98.75110c 98.74890c 1.067 1.068 | 98.75000c -0.00110c 1.068 0.002 |

| Stazione | Alt.Stazione | Punto | Angolo orizzontale Azimut Corr.Angolare | Distanza | Dislivello | Coordinate E N Q |
|-----------|--------------|-----------|---|----------|------------|--|
| PSS223065 | 1.555 | PSS223066 | 295.36195c 295.35980c 399.99785c | 343.1419 | -9.602 | 687840.3509 4793208.8627 208.513 |

Misure in andata

| Angolo | Dev.Standard Angolo | Distanza | Dev.Standard Distanza | Dislivello | Dev.Standard Dislivello |
|------------|---------------------|----------|-----------------------|------------|-------------------------|
| 295.36195c | 0.00000c | 343.1412 | 0.0000 | -9.627 | 0.000 |

Strati in andata

| Layer | Prism. Height | Angolo orizzontale | | Distanza | | Angolo verticale Dislivello | |
|-------|------------------|--------------------------|------------------------|----------------------|-----------------------|--|--|
| | | Diritto Rovescio | Medio Dev.Standard | Diritto Rovescio | Medio Dev.Standard | Diritto Rovescio | Medio Dev.Standard |
| 1 | 1.492 | 295.36120c 295.36270c | 295.36195c 0.00075c | 343.1410 343.1414 | 343.1412 0.0002 | 101.79870c 101.79580c -9.635 -9.619 | 101.79725c -0.00145c -9.627 0.016 |

Misure in ritorno

| Angolo | Dev.Standard Angolo | Distanza | Dev.Standard Distanza | Dislivello | Dev.Standard Dislivello |
|--------|---------------------|----------|-----------------------|------------|-------------------------|
| | | 343.1426 | 0.0000 | 9.578 | 0.000 |

Strati in ritorno

| Layer | Prism. Height | Angolo orizzontale | | Distanza | | Angolo verticale Dislivello | |
|-------|------------------|---------------------|-----------------------|----------------------|-----------------------|--|--|
| | | Diritto Rovescio | Medio Dev.Standard | Diritto Rovescio | Medio Dev.Standard | Diritto Rovescio | Medio Dev.Standard |
| 1 | 1.555 | | | 343.1427 343.1425 | 343.1426 -0.0001 | 98.21270c 98.21100c 9.573 9.582 | 98.21185c -0.00085c 9.578 0.009 |

| Stazione | Alt.Stazione | Punto | Angolo orizzontale Azimut Corr.Angolare | Distanza | Dislivello | Coordinate E N Q |
|-----------|--------------|-----------|---|----------|------------|--|
| PSS223066 | 1.492 | PSS223067 | 293.35785c 293.35640c 399.99855c | 208.3911 | -3.610 | 687633.0936 4793187.1550 204.903 |

Misure in andata

| Angolo | Dev.Standard Angolo | Distanza | Dev.Standard Distanza | Dislivello | Dev.Standard Dislivello |
|------------|---------------------|----------|-----------------------|------------|-------------------------|
| 293.35785c | 0.00000c | 208.3909 | 0.0000 | -3.617 | 0.000 |

Strati in andata

| Layer | Prism. Height | Angolo orizzontale | | Distanza | | Angolo verticale Dislivello | |
|-------|------------------|--------------------------|------------------------|----------------------|-----------------------|--|--|
| | | Diritto Rovescio | Medio Dev.Standard | Diritto Rovescio | Medio Dev.Standard | Diritto Rovescio | Medio Dev.Standard |
| 1 | 1.511 | 293.35660c 293.35910c | 293.35785c 0.00125c | 208.3909 208.3910 | 208.3909 0.0000 | 101.09970c 101.09860c -3.619 -3.616 | 101.09915c -0.00055c -3.617 0.004 |

Misure in ritorno

| Angolo | Dev.Standard Angolo | Distanza | Dev.Standard Distanza | Dislivello | Dev.Standard Dislivello |
|--------|---------------------|----------|-----------------------|------------|-------------------------|
| | | 208.3912 | 0.0000 | 3.602 | 0.000 |

Strati in ritorno

| Layer | Prism. Height | Angolo orizzontale | | Distanza | | Angolo verticale Dislivello | |
|-------|------------------|---------------------|-----------------------|----------------------|-----------------------|--|--|
| | | Diritto Rovescio | Medio Dev.Standard | Diritto Rovescio | Medio Dev.Standard | Diritto Rovescio | Medio Dev.Standard |
| 1 | 1.492 | | | 208.3912 208.3911 | 208.3912 0.0000 | 98.90630c 98.90460c 3.599 3.605 | 98.90545c -0.00085c 3.602 0.006 |

| Stazione | Alt.Stazione | Punto | Angolo orizzontale Azimut Corr.Angolare | Distanza | Dislivello | Coordinate E N Q |
|-----------|--------------|-----------|---|----------|------------|--|
| PSS223067 | 1.511 | PSS223068 | 291.51930c 291.51950c 0.00020c | 320.3739 | -1.419 | 687315.5580 4793144.6037 203.485 |

Misure in andata

| Angolo | Dev.Standard Angolo | Distanza | Dev.Standard Distanza | Dislivello | Dev.Standard Dislivello |
|------------|---------------------|----------|-----------------------|------------|-------------------------|
| 291.51930c | 0.00000c | 320.3738 | 0.0000 | -1.440 | 0.000 |

Strati in andata

| Layer | Prism. Height | Angolo orizzontale | | Distanza | | Angolo verticale Dislivello | |
|-------|------------------|--------------------------|------------------------|----------------------|-----------------------|--|--|
| | | Diritto Rovescio | Medio Dev.Standard | Diritto Rovescio | Medio Dev.Standard | Diritto Rovescio | Medio Dev.Standard |
| 1 | 1.524 | 291.51910c 291.51950c | 291.51930c 0.00020c | 320.3738 320.3738 | 320.3738 0.0000 | 100.28490c 100.28240c -1.447 -1.434 | 100.28365c -0.00125c -1.440 0.013 |

Misure in ritorno

| Angolo | Dev.Standard Angolo | Distanza | Dev.Standard Distanza | Dislivello | Dev.Standard Dislivello |
|--------|---------------------|----------|-----------------------|------------|-------------------------|
| | | 320.3740 | 0.0000 | 1.397 | 0.000 |

Strati in ritorno

| Layer | Prism. Height | Angolo orizzontale | | Distanza | | Angolo verticale Dislivello | |
|-------|------------------|---------------------|-----------------------|----------------------|-----------------------|--|--|
| | | Diritto Rovescio | Medio Dev.Standard | Diritto Rovescio | Medio Dev.Standard | Diritto Rovescio | Medio Dev.Standard |
| 1 | 1.511 | | | 320.3740 320.3740 | 320.3740 0.0000 | 99.72620c 99.72390c 1.391 1.402 | 99.72505c -0.00115c 1.397 0.012 |

| Stazione | Alt.Stazione | Punto | Angolo orizzontale Azimut Corr.Angolare | Distanza | Dislivello | Coordinate E N Q |
|-----------|--------------|-----------|---|----------|------------|--|
| PSS223068 | 1.524 | LSS223015 | 304.69150c 304.69120c 399.99970c | 118.6938 | 0.563 | 687197.1863 4793153.3422 204.047 |

Misure in andata

| Angolo | Dev.Standard Angolo | Distanza | Dev.Standard Distanza | Dislivello | Dev.Standard Dislivello |
|------------|---------------------|----------|-----------------------|------------|-------------------------|
| 304.69150c | 0.00000c | 118.6935 | 0.0000 | 0.561 | 0.000 |

Strati in andata

| Layer | Prism. Height | Angolo orizzontale | | Distanza | | Angolo verticale Dislivello | |
|-------|------------------|--------------------------|------------------------|----------------------|-----------------------|--|--|
| | | Diritto Rovescio | Medio Dev.Standard | Diritto Rovescio | Medio Dev.Standard | Diritto Rovescio | Medio Dev.Standard |
| 1 | 1.552 | 304.69120c 304.69180c | 304.69150c 0.00030c | 118.6935 118.6935 | 118.6935 0.0000 | 99.68530c 99.68290c 0.559 0.563 | 99.68410c -0.00120c 0.561 0.004 |

Misure in ritorno

| Angolo | Dev.Standard Angolo | Distanza | Dev.Standard Distanza | Dislivello | Dev.Standard Dislivello |
|--------|---------------------|----------|-----------------------|------------|-------------------------|
| | | 118.6941 | 0.0000 | -0.564 | 0.000 |

Strati in ritorno

| Layer | Prism. Height | Angolo orizzontale | | Distanza | | Angolo verticale Dislivello | |
|-------|------------------|---------------------|-----------------------|----------------------|-----------------------|--|--|
| | | Diritto Rovescio | Medio Dev.Standard | Diritto Rovescio | Medio Dev.Standard | Diritto Rovescio | Medio Dev.Standard |
| 1 | 1.400 | | | 118.6941 118.6940 | 118.6941 -0.0001 | 100.24100c 100.26750c -0.539 -0.589 | 100.25425c 0.01325c -0.564 -0.049 |

| Stazione | Alt.Stazione | Punto | Angolo orizzontale Azimut Corr.Angolare | Distanza | Dislivello | Coordinate E N Q |
|-----------|--------------|-------|---|----------|------------|--|
| LSS223015 | 1.310 | PA001 | 314.02600c 314.02570c 399.99970c | 212.3510 | 2.398 | 686989.9681 4793199.7488 206.445 |

Misure in andata

| Angolo | Dev.Standard Angolo | Distanza | Dev.Standard Distanza | Dislivello | Dev.Standard Dislivello |
|------------|---------------------|----------|-----------------------|------------|-------------------------|
| 314.02600c | 0.00000c | 212.3512 | 0.0000 | 2.387 | 0.000 |

Strati in andata

| Layer | Prism. Height | Angolo orizzontale | | Distanza | | Angolo verticale Dislivello | |
|-------|------------------|--------------------------|------------------------|----------------------|-----------------------|--|--|
| | | Diritto Rovescio | Medio Dev.Standard | Diritto Rovescio | Medio Dev.Standard | Diritto Rovescio | Medio Dev.Standard |
| 1 | 1.675 | 314.02600c 314.02600c | 314.02600c 0.00000c | 212.3506 212.3517 | 212.3512 0.0006 | 99.16200c 99.18800c 2.430 2.344 | 99.17500c 0.01300c 2.387 -0.087 |

Misure in ritorno

| Angolo | Dev.Standard Angolo | Distanza | Dev.Standard Distanza | Dislivello | Dev.Standard Dislivello |
|--------|---------------------|----------|-----------------------|------------|-------------------------|
| | | 212.3509 | 0.0000 | -2.409 | 0.000 |

Strati in ritorno

| Layer | Prism. Height | Angolo orizzontale | | Distanza | | Angolo verticale Dislivello | |
|-------|------------------|---------------------|-----------------------|----------------------|-----------------------|--|--|
| | | Diritto Rovescio | Medio Dev.Standard | Diritto Rovescio | Medio Dev.Standard | Diritto Rovescio | Medio Dev.Standard |
| 1 | 1.310 | | | 212.3515 212.3502 | 212.3509 -0.0007 | 100.81650c 100.84650c -2.359 -2.459 | 100.83150c 0.01500c -2.409 -0.100 |

| Stazione | Alt.Stazione | Punto | Angolo orizzontale Azimut Corr.Angolare | Distanza | Dislivello | Coordinate E N Q |
|----------|--------------|-----------|---|----------|------------|--|
| PA001 | 1.675 | PSS223069 | 329.44250c 329.44220c 399.99970c | 239.8913 | 5.107 | 686775.2774 4793306.7802 211.552 |

Misure in andata

| Angolo | Dev.Standard Angolo | Distanza | Dev.Standard Distanza | Dislivello | Dev.Standard Dislivello |
|------------|---------------------|----------|-----------------------|------------|-------------------------|
| 329.44250c | 0.00000c | 239.8917 | 0.0000 | 5.088 | 0.000 |

Strati in andata

| Layer | Prism. Height | Angolo orizzontale | | Distanza | | Angolo verticale Dislivello | |
|-------|------------------|--------------------------|------------------------|----------------------|-----------------------|--|--|
| | | Diritto Rovescio | Medio Dev.Standard | Diritto Rovescio | Medio Dev.Standard | Diritto Rovescio | Medio Dev.Standard |
| 1 | 1.550 | 329.44250c 329.44250c | 329.44250c 0.00000c | 239.8907 239.8926 | 239.8917 0.0009 | 98.67100c 98.69500c 5.134 5.043 | 98.68300c 0.01200c 5.088 -0.090 |

Misure in ritorno

| Angolo | Dev.Standard Angolo | Distanza | Dev.Standard Distanza | Dislivello | Dev.Standard Dislivello |
|--------|---------------------|----------|-----------------------|------------|-------------------------|
| | | 239.8909 | 0.0000 | -5.126 | 0.000 |

Strati in ritorno

| Layer | Prism. Height | Angolo orizzontale | | Distanza | | Angolo verticale Dislivello | |
|-------|------------------|---------------------|-----------------------|----------------------|-----------------------|--|--|
| | | Diritto Rovescio | Medio Dev.Standard | Diritto Rovescio | Medio Dev.Standard | Diritto Rovescio | Medio Dev.Standard |
| 1 | 1.675 | | | 239.8920 239.8897 | 239.8909 -0.0011 | 101.31250c 101.34150c -5.071 -5.181 | 101.32700c 0.01450c -5.126 -0.109 |

| Stazione | Alt.Stazione | Punto | Angolo orizzontale Azimut Corr.Angolare | Distanza | Dislivello | Coordinate E N Q |
|-----------|--------------|-------|---|----------|------------|--|
| PSS223069 | 1.550 | PA004 | 335.14000c 335.13970c 399.99970c | 127.0870 | 3.336 | 686667.0639 4793373.4206 214.888 |

Misure in andata

| Angolo | Dev.Standard Angolo | Distanza | Dev.Standard Distanza | Dislivello | Dev.Standard Dislivello |
|------------|---------------------|----------|-----------------------|------------|-------------------------|
| 335.14000c | 0.00000c | 127.0871 | 0.0000 | 3.335 | 0.000 |

Strati in andata

| Layer | Prism. Height | Angolo orizzontale | | Distanza | | Angolo verticale Dislivello | |
|-------|------------------|--------------------------|------------------------|----------------------|-----------------------|--|--|
| | | Diritto Rovescio | Medio Dev.Standard | Diritto Rovescio | Medio Dev.Standard | Diritto Rovescio | Medio Dev.Standard |
| 1 | 1.595 | 335.13850c 335.14150c | 335.14000c 0.00150c | 127.0862 127.0879 | 127.0871 0.0008 | 98.29200c 98.32250c 3.365 3.305 | 98.30725c 0.01525c 3.335 -0.061 |

Misure in ritorno

| Angolo | Dev.Standard Angolo | Distanza | Dev.Standard Distanza | Dislivello | Dev.Standard Dislivello |
|--------|---------------------|----------|-----------------------|------------|-------------------------|
| | | 127.0870 | 0.0000 | -3.337 | 0.000 |

Strati in ritorno

| Layer | Prism. Height | Angolo orizzontale | | Distanza | | Angolo verticale Dislivello | |
|-------|------------------|---------------------|-----------------------|----------------------|-----------------------|--|--|
| | | Diritto Rovescio | Medio Dev.Standard | Diritto Rovescio | Medio Dev.Standard | Diritto Rovescio | Medio Dev.Standard |
| 1 | 1.550 | | | 127.0878 127.0862 | 127.0870 -0.0008 | 101.67850c 101.70900c -3.307 -3.367 | 101.69375c 0.01525c -3.337 -0.061 |

| Stazione | Alt.Stazione | Punto | Angolo orizzontale Azimut Corr.Angolare | Distanza | Dislivello | Coordinate E N Q |
|----------|--------------|-----------|---|----------|------------|--|
| PA004 | 1.595 | PSS223070 | 323.39650c 323.39820c 0.00170c | 165.8227 | 3.819 | 686512.3157 4793433.0038 218.707 |

Misure in andata

| Angolo | Dev.Standard Angolo | Distanza | Dev.Standard Distanza | Dislivello | Dev.Standard Dislivello |
|------------|---------------------|----------|-----------------------|------------|-------------------------|
| 323.39650c | 0.00000c | 165.8229 | 0.0000 | 3.810 | 0.000 |

Strati in andata

| Layer | Prism. Height | Angolo orizzontale | | Distanza | | Angolo verticale Dislivello | |
|-------|------------------|--------------------------|------------------------|----------------------|-----------------------|--|--|
| | | Diritto Rovescio | Medio Dev.Standard | Diritto Rovescio | Medio Dev.Standard | Diritto Rovescio | Medio Dev.Standard |
| 1 | 1.150 | 323.39550c 323.39750c | 323.39650c 0.00100c | 165.8223 165.8235 | 165.8229 0.0006 | 98.69700c 98.71950c 3.839 3.781 | 98.70825c 0.01125c 3.810 -0.059 |

Misure in ritorno

| Angolo | Dev.Standard Angolo | Distanza | Dev.Standard Distanza | Dislivello | Dev.Standard Dislivello |
|--------|---------------------|----------|-----------------------|------------|-------------------------|
| | | 165.8225 | 0.0000 | -3.827 | 0.000 |

Strati in ritorno

| Layer | Prism. Height | Angolo orizzontale | | Distanza | | Angolo verticale Dislivello | |
|-------|------------------|---------------------|-----------------------|----------------------|-----------------------|--|--|
| | | Diritto Rovescio | Medio Dev.Standard | Diritto Rovescio | Medio Dev.Standard | Diritto Rovescio | Medio Dev.Standard |
| 1 | 1.595 | | | 165.8232 165.8218 | 165.8225 -0.0007 | 101.28500c 101.31150c -3.793 -3.862 | 101.29825c 0.01325c -3.827 -0.069 |

CALCOLO STAZIONI

Pagina nr. 27

| Stazione | Alt.Stazione | Punto | Angolo orizzontale Azimut Corr.Angolare | Distanza | Dislivello | Coordinate E N Q |
|-----------|--------------|-----------|---|----------|------------|--|
| PSS223070 | 1.150 | PSS223071 | 316.86425c 316.86545c 0.00120c | 47.3778 | 0.617 | 686466.5908 4793445.4089 219.324 |

Misure in andata

| Angolo | Dev.Standard Angolo | Distanza | Dev.Standard Distanza | Dislivello | Dev.Standard Dislivello |
|------------|---------------------|----------|-----------------------|------------|-------------------------|
| 316.86425c | 0.00000c | 47.3773 | 0.0000 | 0.616 | 0.000 |

Strati in andata

| Layer | Prism. Height | Angolo orizzontale | | Distanza | | Angolo verticale Dislivello | |
|-------|------------------|--------------------------|------------------------|---------------------|-----------------------|--|--|
| | | Diritto Rovescio | Medio Dev.Standard | Diritto Rovescio | Medio Dev.Standard | Diritto Rovescio | Medio Dev.Standard |
| 1 | 1.390 | 316.86300c 316.86550c | 316.86425c 0.00125c | 47.3771 47.3774 | 47.3773 0.0002 | 98.83650c 98.86300c 0.626 0.606 | 98.84975c 0.01325c 0.616 -0.020 |

Misure in ritorno

| Angolo | Dev.Standard Angolo | Distanza | Dev.Standard Distanza | Dislivello | Dev.Standard Dislivello |
|--------|---------------------|----------|-----------------------|------------|-------------------------|
| | | 47.3782 | 0.0000 | -0.617 | 0.000 |

Strati in ritorno

| Layer | Prism. Height | Angolo orizzontale | | Distanza | | Angolo verticale Dislivello | |
|-------|------------------|---------------------|-----------------------|---------------------|-----------------------|--|--|
| | | Diritto Rovescio | Medio Dev.Standard | Diritto Rovescio | Medio Dev.Standard | Diritto Rovescio | Medio Dev.Standard |
| 1 | 1.150 | | | 47.3785 47.3780 | 47.3782 -0.0002 | 101.13550c 101.16850c -0.605 -0.630 | 101.15200c 0.01650c -0.617 -0.025 |

| Stazione | Alt.Stazione | Punto | Angolo orizzontale Azimut Corr.Angolare | Distanza | Dislivello | Coordinate E N Q |
|-----------|--------------|-------|---|----------|------------|--|
| PSS223071 | 1.390 | PA005 | 308.24725c 308.25145c 0.00420c | 220.0572 | 1.607 | 686248.3795 4793473.8515 220.930 |

Misure in andata

| Angolo | Dev.Standard Angolo | Distanza | Dev.Standard Distanza | Dislivello | Dev.Standard Dislivello |
|------------|---------------------|----------|-----------------------|------------|-------------------------|
| 308.24725c | 0.00000c | 220.0573 | 0.0000 | 1.601 | 0.000 |

Strati in andata

| Layer | Prism. Height | Angolo orizzontale | | Distanza | | Angolo verticale Dislivello | |
|-------|------------------|--------------------------|------------------------|----------------------|-----------------------|--|--|
| | | Diritto Rovescio | Medio Dev.Standard | Diritto Rovescio | Medio Dev.Standard | Diritto Rovescio | Medio Dev.Standard |
| 1 | 1.635 | 308.24600c 308.24850c | 308.24725c 0.00125c | 220.0569 220.0576 | 220.0573 0.0004 | 99.45350c 99.47850c 1.644 1.558 | 99.46600c 0.01250c 1.601 -0.086 |

Misure in ritorno

| Angolo | Dev.Standard Angolo | Distanza | Dev.Standard Distanza | Dislivello | Dev.Standard Dislivello |
|--------|---------------------|----------|-----------------------|------------|-------------------------|
| | | 220.0572 | 0.0000 | -1.612 | 0.000 |

Strati in ritorno

| Layer | Prism. Height | Angolo orizzontale | | Distanza | | Angolo verticale Dislivello | |
|-------|------------------|---------------------|-----------------------|----------------------|-----------------------|--|--|
| | | Diritto Rovescio | Medio Dev.Standard | Diritto Rovescio | Medio Dev.Standard | Diritto Rovescio | Medio Dev.Standard |
| 1 | 1.390 | | | 220.0575 220.0568 | 220.0572 -0.0004 | 100.52500c 100.54950c -1.570 -1.654 | 100.53725c 0.01225c -1.612 -0.085 |

| Stazione | Alt.Stazione | Punto | Angolo orizzontale Azimut Corr.Angolare | Distanza | Dislivello | Coordinate E N Q |
|----------|--------------|-------|---|----------|------------|--|
| PA005 | 1.635 | PA006 | 306.86350c 306.86795c 0.00445c | 102.9558 | -0.121 | 686146.0222 4793484.9370 220.809 |

Misure in andata

| Angolo | Dev.Standard Angolo | Distanza | Dev.Standard Distanza | Dislivello | Dev.Standard Dislivello |
|------------|---------------------|----------|-----------------------|------------|-------------------------|
| 306.86350c | 0.00000c | 102.9558 | 0.0000 | -0.123 | 0.000 |

Strati in andata

| Layer | Prism. Height | Angolo orizzontale | | Distanza | | Angolo verticale Dislivello | |
|-------|------------------|--------------------------|------------------------|----------------------|-----------------------|--|--|
| | | Diritto Rovescio | Medio Dev.Standard | Diritto Rovescio | Medio Dev.Standard | Diritto Rovescio | Medio Dev.Standard |
| 1 | 1.570 | 306.86150c 306.86550c | 306.86350c 0.00200c | 102.9559 102.9558 | 102.9558 0.0000 | 100.10300c 100.12900c -0.102 -0.144 | 100.11600c 0.01300c -0.123 -0.042 |

Misure in ritorno

| Angolo | Dev.Standard Angolo | Distanza | Dev.Standard Distanza | Dislivello | Dev.Standard Dislivello |
|--------|---------------------|----------|-----------------------|------------|-------------------------|
| | | 102.9558 | 0.0000 | 0.120 | 0.000 |

Strati in ritorno

| Layer | Prism. Height | Angolo orizzontale | | Distanza | | Angolo verticale Dislivello | |
|-------|------------------|---------------------|-----------------------|----------------------|-----------------------|--|--|
| | | Diritto Rovescio | Medio Dev.Standard | Diritto Rovescio | Medio Dev.Standard | Diritto Rovescio | Medio Dev.Standard |
| 1 | 1.635 | | | 102.9558 102.9559 | 102.9558 0.0000 | 99.87250c 99.89900c 0.141 0.098 | 99.88575c 0.01325c 0.120 -0.043 |

| Stazione | Alt.Stazione | Punto | Angolo orizzontale Azimut Corr.Angolare | Distanza | Dislivello | Coordinate E N Q |
|----------|--------------|-----------|---|----------|------------|--|
| PA006 | 1.570 | LSS223016 | 313.24400c 313.24995c 0.00595c | 39.6069 | 0.124 | 686107.2700 4793493.1210 220.933 |

Misure in andata

| Angolo | Dev.Standard Angolo | Distanza | Dev.Standard Distanza | Dislivello | Dev.Standard Dislivello |
|------------|---------------------|----------|-----------------------|------------|-------------------------|
| 313.24400c | 0.00000c | 39.6069 | 0.0000 | 0.124 | 0.000 |

Strati in andata

| Layer | Prism. Height | Angolo orizzontale | | Distanza | | Angolo verticale Dislivello | |
|-------|------------------|--------------------------|------------------------|---------------------|-----------------------|--|---|
| | | Diritto Rovescio | Medio Dev.Standard | Diritto Rovescio | Medio Dev.Standard | Diritto Rovescio | Medio Dev.Standard |
| 1 | 1.370 | 313.24300c 313.24500c | 313.24400c 0.00100c | 39.6069 39.6069 | 39.6069 0.0000 | 100.10900c 100.13650c 0.132 0.115 | 100.12275c 0.01375c 0.124 -0.017 |

Misure in ritorno

| Angolo | Dev.Standard Angolo | Distanza | Dev.Standard Distanza | Dislivello | Dev.Standard Dislivello |
|--------|---------------------|----------|-----------------------|------------|-------------------------|
| | | 39.6069 | 0.0000 | -0.124 | 0.000 |

Strati in ritorno

| Layer | Prism. Height | Angolo orizzontale | | Distanza | | Angolo verticale Dislivello | |
|-------|------------------|---------------------|-----------------------|---------------------|-----------------------|--|---|
| | | Diritto Rovescio | Medio Dev.Standard | Diritto Rovescio | Medio Dev.Standard | Diritto Rovescio | Medio Dev.Standard |
| 1 | 1.570 | | | 39.6069 39.6069 | 39.6069 0.0000 | 99.86200c 99.89300c -0.114 -0.133 | 99.87750c 0.01550c -0.124 -0.019 |

| Stazione | Alt.Stazione | Punto | Angolo orizzontale Azimut Corr.Angolare | Distanza | Dislivello | Coordinate E N Q |
|-----------|--------------|-----------|---|----------|------------|--|
| LSS223016 | 1.370 | PSS223072 | 305.97450c 305.98045c 0.00595c | 244.2619 | -3.426 | 685864.0852 4793516.0334 217.507 |

Misure in andata

| Angolo | Dev.Standard Angolo | Distanza | Dev.Standard Distanza | Dislivello | Dev.Standard Dislivello |
|------------|---------------------|----------|-----------------------|------------|-------------------------|
| 305.97450c | 0.00000c | 244.2617 | 0.0000 | -3.438 | 0.000 |

Strati in andata

| Layer | Prism. Height | Angolo orizzontale | | Distanza | | Angolo verticale Dislivello | |
|-------|------------------|--------------------------|------------------------|----------------------|-----------------------|--|--|
| | | Diritto Rovescio | Medio Dev.Standard | Diritto Rovescio | Medio Dev.Standard | Diritto Rovescio | Medio Dev.Standard |
| 1 | 1.435 | 305.97350c 305.97550c | 305.97450c 0.00100c | 244.2625 244.2609 | 244.2617 -0.0008 | 100.86400c 100.89400c -3.380 -3.495 | 100.87900c 0.01500c -3.438 -0.115 |

Misure in ritorno

| Angolo | Dev.Standard Angolo | Distanza | Dev.Standard Distanza | Dislivello | Dev.Standard Dislivello |
|--------|---------------------|----------|-----------------------|------------|-------------------------|
| | | 244.2620 | 0.0000 | 3.415 | 0.000 |

Strati in ritorno

| Layer | Prism. Height | Angolo orizzontale | | Distanza | | Angolo verticale Dislivello | |
|-------|------------------|---------------------|-----------------------|----------------------|-----------------------|--|--|
| | | Diritto Rovescio | Medio Dev.Standard | Diritto Rovescio | Medio Dev.Standard | Diritto Rovescio | Medio Dev.Standard |
| 1 | 1.370 | | | 244.2613 244.2628 | 244.2620 0.0008 | 99.11250c 99.14150c 3.470 3.359 | 99.12700c 0.01450c 3.415 -0.111 |

| Stazione | Alt.Stazione | Punto | Angolo orizzontale Azimut Corr.Angolare | Distanza | Dislivello | Coordinate E N Q |
|-----------|--------------|-----------|---|----------|------------|--|
| PSS223072 | 1.435 | PSS223073 | 282.95425c 282.96095c 0.00670c | 178.5860 | -5.118 | 685691.8577 4793468.8037 212.389 |

Misure in andata

| Angolo | Dev.Standard Angolo | Distanza | Dev.Standard Distanza | Dislivello | Dev.Standard Dislivello |
|------------|---------------------|----------|-----------------------|------------|-------------------------|
| 282.95425c | 0.00000c | 178.5858 | 0.0000 | -5.124 | 0.000 |

Strati in andata

| Layer | Prism. Height | Angolo orizzontale | | Distanza | | Angolo verticale Dislivello | |
|-------|------------------|--------------------------|------------------------|----------------------|-----------------------|--|--|
| | | Diritto Rovescio | Medio Dev.Standard | Diritto Rovescio | Medio Dev.Standard | Diritto Rovescio | Medio Dev.Standard |
| 1 | 1.515 | 282.95350c 282.95500c | 282.95425c 0.00075c | 178.5869 178.5847 | 178.5858 -0.0011 | 101.78350c 101.81150c -5.084 -5.163 | 101.79750c 0.01400c -5.124 -0.079 |

Misure in ritorno

| Angolo | Dev.Standard Angolo | Distanza | Dev.Standard Distanza | Dislivello | Dev.Standard Dislivello |
|--------|---------------------|----------|-----------------------|------------|-------------------------|
| | | 178.5861 | 0.0000 | 5.112 | 0.000 |

Strati in ritorno

| Layer | Prism. Height | Angolo orizzontale | | Distanza | | Angolo verticale Dislivello | |
|-------|------------------|---------------------|-----------------------|----------------------|-----------------------|--|--|
| | | Diritto Rovescio | Medio Dev.Standard | Diritto Rovescio | Medio Dev.Standard | Diritto Rovescio | Medio Dev.Standard |
| 1 | 1.435 | | | 178.5851 178.5871 | 178.5861 0.0010 | 98.19400c 98.21950c 5.148 5.076 | 98.20675c 0.01275c 5.112 -0.072 |

| Stazione | Alt.Stazione | Punto | Angolo orizzontale Azimut Corr.Angolare | Distanza | Dislivello | Coordinate E N Q |
|-----------|--------------|-----------|---|----------|------------|--|
| PSS223073 | 1.515 | PSS223074 | 262.58650c 262.59420c 0.00770c | 134.5914 | -3.920 | 685579.8385 4793394.1945 208.469 |

Misure in andata

| Angolo | Dev.Standard Angolo | Distanza | Dev.Standard Distanza | Dislivello | Dev.Standard Dislivello |
|------------|---------------------|----------|-----------------------|------------|-------------------------|
| 262.58650c | 0.00000c | 134.5917 | 0.0000 | -3.927 | 0.000 |

Strati in andata

| Layer | Prism. Height | Angolo orizzontale | | Distanza | | Angolo verticale Dislivello | |
|-------|------------------|--------------------------|------------------------|----------------------|-----------------------|--|--|
| | | Diritto Rovescio | Medio Dev.Standard | Diritto Rovescio | Medio Dev.Standard | Diritto Rovescio | Medio Dev.Standard |
| 1 | 1.445 | 262.58550c 262.58750c | 262.58650c 0.00100c | 134.5926 134.5908 | 134.5917 -0.0009 | 101.87550c 101.90450c -3.896 -3.958 | 101.89000c 0.01450c -3.927 -0.061 |

Misure in ritorno

| Angolo | Dev.Standard Angolo | Distanza | Dev.Standard Distanza | Dislivello | Dev.Standard Dislivello |
|--------|---------------------|----------|-----------------------|------------|-------------------------|
| | | 134.5911 | 0.0000 | 3.913 | 0.000 |

Strati in ritorno

| Layer | Prism. Height | Angolo orizzontale | | Distanza | | Angolo verticale Dislivello | |
|-------|------------------|---------------------|-----------------------|----------------------|-----------------------|--|--|
| | | Diritto Rovescio | Medio Dev.Standard | Diritto Rovescio | Medio Dev.Standard | Diritto Rovescio | Medio Dev.Standard |
| 1 | 1.515 | | | 134.5902 134.5919 | 134.5911 0.0008 | 98.10300c 98.13000c 3.942 3.885 | 98.11650c 0.01350c 3.913 -0.057 |

| Stazione | Alt.Stazione | Punto | Angolo orizzontale Azimut Corr.Angolare | Distanza | Dislivello | Coordinate E N Q |
|-----------|--------------|-----------|---|----------|------------|--|
| PSS223074 | 1.445 | PSS223075 | 262.54325c 262.55120c 0.00795c | 178.9777 | -9.047 | 685430.9441 4793294.8795 199.421 |

Misure in andata

| Angolo | Dev.Standard Angolo | Distanza | Dev.Standard Distanza | Dislivello | Dev.Standard Dislivello |
|------------|---------------------|----------|-----------------------|------------|-------------------------|
| 262.54325c | 0.00000c | 178.9775 | 0.0000 | -9.053 | 0.000 |

Strati in andata

| Layer | Prism. Height | Angolo orizzontale | | Distanza | | Angolo verticale Dislivello | |
|-------|------------------|--------------------------|------------------------|----------------------|-----------------------|--|--|
| | | Diritto Rovescio | Medio Dev.Standard | Diritto Rovescio | Medio Dev.Standard | Diritto Rovescio | Medio Dev.Standard |
| 1 | 1.550 | 262.54250c 262.54400c | 262.54325c 0.00075c | 178.9793 178.9757 | 178.9775 -0.0018 | 103.16700c 103.19300c -9.016 -9.089 | 103.18000c 0.01300c -9.053 -0.073 |

Misure in ritorno

| Angolo | Dev.Standard Angolo | Distanza | Dev.Standard Distanza | Dislivello | Dev.Standard Dislivello |
|--------|---------------------|----------|-----------------------|------------|-------------------------|
| | | 178.9780 | 0.0000 | 9.042 | 0.000 |

Strati in ritorno

| Layer | Prism. Height | Angolo orizzontale | | Distanza | | Angolo verticale Dislivello | |
|-------|------------------|---------------------|-----------------------|----------------------|-----------------------|--|--|
| | | Diritto Rovescio | Medio Dev.Standard | Diritto Rovescio | Medio Dev.Standard | Diritto Rovescio | Medio Dev.Standard |
| 1 | 1.445 | | | 178.9762 178.9798 | 178.9780 0.0018 | 96.81100c 96.83650c 9.078 9.006 | 96.82375c 0.01275c 9.042 -0.072 |

| Stazione | Alt.Stazione | Punto | Angolo orizzontale Azimut Corr.Angolare | Distanza | Dislivello | Coordinate E N Q |
|-----------|--------------|-------|---|----------|------------|--|
| PSS223075 | 1.550 | PA007 | 285.24600c 285.25445c 0.00845c | 72.6690 | -3.159 | 685360.2157 4793278.1978 196.262 |

Misure in andata

| Angolo | Dev.Standard Angolo | Distanza | Dev.Standard Distanza | Dislivello | Dev.Standard Dislivello |
|------------|---------------------|----------|-----------------------|------------|-------------------------|
| 285.24600c | 0.00000c | 72.6684 | 0.0000 | -3.161 | 0.000 |

Strati in andata

| Layer | Prism. Height | Angolo orizzontale | | Distanza | | Angolo verticale Dislivello | |
|-------|------------------|--------------------------|------------------------|---------------------|-----------------------|--|--|
| | | Diritto Rovescio | Medio Dev.Standard | Diritto Rovescio | Medio Dev.Standard | Diritto Rovescio | Medio Dev.Standard |
| 1 | 1.530 | 285.24500c 285.24700c | 285.24600c 0.00100c | 72.6691 72.6677 | 72.6684 -0.0007 | 102.77100c 102.79900c -3.145 -3.177 | 102.78500c 0.01400c -3.161 -0.032 |

Misure in ritorno

| Angolo | Dev.Standard Angolo | Distanza | Dev.Standard Distanza | Dislivello | Dev.Standard Dislivello |
|--------|---------------------|----------|-----------------------|------------|-------------------------|
| | | 72.6695 | 0.0000 | 3.158 | 0.000 |

Strati in ritorno

| Layer | Prism. Height | Angolo orizzontale | | Distanza | | Angolo verticale Dislivello | |
|-------|------------------|---------------------|-----------------------|---------------------|-----------------------|--|--|
| | | Diritto Rovescio | Medio Dev.Standard | Diritto Rovescio | Medio Dev.Standard | Diritto Rovescio | Medio Dev.Standard |
| 1 | 1.550 | | | 72.6688 72.6703 | 72.6695 0.0007 | 97.20350c 97.23200c 3.174 3.142 | 97.21775c 0.01425c 3.158 -0.033 |

| Stazione | Alt.Stazione | Punto | Angolo orizzontale Azimut Corr.Angolare | Distanza | Dislivello | Coordinate E N Q |
|----------|--------------|-----------|---|----------|------------|--|
| PA007 | 1.530 | PSS223076 | 306.61425c 306.62320c 0.00895c | 109.5762 | 0.463 | 685251.2319 4793289.5772 196.725 |

Misure in andata

| Angolo | Dev.Standard Angolo | Distanza | Dev.Standard Distanza | Dislivello | Dev.Standard Dislivello |
|------------|---------------------|----------|-----------------------|------------|-------------------------|
| 306.61425c | 0.00000c | 109.5761 | 0.0000 | 0.461 | 0.000 |

Strati in andata

| Layer | Prism. Height | Angolo orizzontale | | Distanza | | Angolo verticale Dislivello | |
|-------|------------------|--------------------------|------------------------|----------------------|-----------------------|--|--|
| | | Diritto Rovescio | Medio Dev.Standard | Diritto Rovescio | Medio Dev.Standard | Diritto Rovescio | Medio Dev.Standard |
| 1 | 1.520 | 306.61300c 306.61550c | 306.61425c 0.00125c | 109.5760 109.5762 | 109.5761 0.0001 | 99.72400c 99.75150c 0.485 0.438 | 99.73775c 0.01375c 0.461 -0.047 |

Misure in ritorno

| Angolo | Dev.Standard Angolo | Distanza | Dev.Standard Distanza | Dislivello | Dev.Standard Dislivello |
|--------|---------------------|----------|-----------------------|------------|-------------------------|
| | | 109.5764 | 0.0000 | -0.464 | 0.000 |

Strati in ritorno

| Layer | Prism. Height | Angolo orizzontale | | Distanza | | Angolo verticale Dislivello | |
|-------|------------------|---------------------|-----------------------|----------------------|-----------------------|--|--|
| | | Diritto Rovescio | Medio Dev.Standard | Diritto Rovescio | Medio Dev.Standard | Diritto Rovescio | Medio Dev.Standard |
| 1 | 1.590 | | | 109.5765 109.5763 | 109.5764 -0.0001 | 100.19700c 100.22950c -0.436 -0.492 | 100.21325c 0.01625c -0.464 -0.056 |

| Stazione | Alt.Stazione | Punto | Angolo orizzontale Azimut Corr.Angolare | Distanza | Dislivello | Coordinate E N Q |
|-----------|--------------|-----------|---|----------|------------|--|
| PSS223076 | 1.493 | LSS223017 | 301.28925c 301.29845c 0.00920c | 121.2337 | -0.301 | 685130.0235 4793292.0497 196.423 |

Misure in andata

| Angolo | Dev.Standard Angolo | Distanza | Dev.Standard Distanza | Dislivello | Dev.Standard Dislivello |
|------------|---------------------|----------|-----------------------|------------|-------------------------|
| 301.28925c | 0.00000c | 121.2337 | 0.0000 | -0.305 | 0.000 |

Strati in andata

| Layer | Prism. Height | Angolo orizzontale | | Distanza | | Angolo verticale Dislivello | |
|-------|------------------|--------------------------|------------------------|----------------------|-----------------------|--|--|
| | | Diritto Rovescio | Medio Dev.Standard | Diritto Rovescio | Medio Dev.Standard | Diritto Rovescio | Medio Dev.Standard |
| 1 | 1.525 | 301.28900c 301.28950c | 301.28925c 0.00025c | 121.2338 121.2336 | 121.2337 -0.0001 | 100.12900c 100.15750c -0.278 -0.332 | 100.14325c 0.01425c -0.305 -0.054 |

Misure in ritorno

| Angolo | Dev.Standard Angolo | Distanza | Dev.Standard Distanza | Dislivello | Dev.Standard Dislivello |
|--------|---------------------|----------|-----------------------|------------|-------------------------|
| | | 121.2337 | 0.0000 | 0.298 | 0.000 |

Strati in ritorno

| Layer | Prism. Height | Angolo orizzontale | | Distanza | | Angolo verticale Dislivello | |
|-------|------------------|---------------------|-----------------------|----------------------|-----------------------|--|--|
| | | Diritto Rovescio | Medio Dev.Standard | Diritto Rovescio | Medio Dev.Standard | Diritto Rovescio | Medio Dev.Standard |
| 1 | 1.493 | | | 121.2336 121.2338 | 121.2337 0.0001 | 99.84700c 99.87350c 0.323 0.273 | 99.86025c 0.01325c 0.298 -0.050 |

| Stazione | Alt.Stazione | Punto | Angolo orizzontale Azimut Corr.Angolare | Distanza | Dislivello | Coordinate E N Q |
|-----------|--------------|-----------|---|----------|------------|--|
| LSS223017 | 1.525 | PSS223077 | 313.24625c 313.25545c 0.00920c | 81.5664 | -1.238 | 685050.2188 4793308.9107 195.186 |

Misure in andata

| Angolo | Dev.Standard Angolo | Distanza | Dev.Standard Distanza | Dislivello | Dev.Standard Dislivello |
|------------|---------------------|----------|-----------------------|------------|-------------------------|
| 313.24625c | 0.00000c | 81.5663 | 0.0000 | -1.240 | 0.000 |

Strati in andata

| Layer | Prism. Height | Angolo orizzontale | | Distanza | | Angolo verticale Dislivello | |
|-------|------------------|--------------------------|------------------------|---------------------|-----------------------|--|--|
| | | Diritto Rovescio | Medio Dev.Standard | Diritto Rovescio | Medio Dev.Standard | Diritto Rovescio | Medio Dev.Standard |
| 1 | 1.510 | 313.24500c 313.24750c | 313.24625c 0.00125c | 81.5666 81.5661 | 81.5663 -0.0002 | 100.96850c 100.99100c -1.226 -1.255 | 100.97975c 0.01125c -1.240 -0.029 |

Misure in ritorno

| Angolo | Dev.Standard Angolo | Distanza | Dev.Standard Distanza | Dislivello | Dev.Standard Dislivello |
|--------|---------------------|----------|-----------------------|------------|-------------------------|
| | | 81.5664 | 0.0000 | 1.235 | 0.000 |

Strati in ritorno

| Layer | Prism. Height | Angolo orizzontale | | Distanza | | Angolo verticale Dislivello | |
|-------|------------------|---------------------|-----------------------|---------------------|-----------------------|--|--|
| | | Diritto Rovescio | Medio Dev.Standard | Diritto Rovescio | Medio Dev.Standard | Diritto Rovescio | Medio Dev.Standard |
| 1 | 1.525 | | | 81.5661 81.5667 | 81.5664 0.0003 | 99.01050c 99.03850c 1.253 1.217 | 99.02450c 0.01400c 1.235 -0.036 |

| Stazione | Alt.Stazione | Punto | Angolo orizzontale Azimut Corr.Angolare | Distanza | Dislivello | Coordinate E N Q |
|-----------|--------------|-------|---|----------|------------|--|
| PSS223077 | 1.510 | PA008 | 320.94400c 320.95320c 0.00920c | 48.2022 | -0.847 | 685004.6040 4793324.4907 194.339 |

Misure in andata

| Angolo | Dev.Standard Angolo | Distanza | Dev.Standard Distanza | Dislivello | Dev.Standard Dislivello |
|------------|---------------------|----------|-----------------------|------------|-------------------------|
| 320.94400c | 0.00000c | 48.2022 | 0.0000 | -0.847 | 0.000 |

Strati in andata

| Layer | Prism. Height | Angolo orizzontale | | Distanza | | Angolo verticale Dislivello | |
|-------|------------------|--------------------------|------------------------|---------------------|-----------------------|--|--|
| | | Diritto Rovescio | Medio Dev.Standard | Diritto Rovescio | Medio Dev.Standard | Diritto Rovescio | Medio Dev.Standard |
| 1 | 1.545 | 320.94350c 320.94450c | 320.94400c 0.00050c | 48.2023 48.2020 | 48.2022 -0.0002 | 101.05750c 101.08600c -0.836 -0.857 | 101.07175c 0.01425c -0.847 -0.022 |

Misure in ritorno

| Angolo | Dev.Standard Angolo | Distanza | Dev.Standard Distanza | Dislivello | Dev.Standard Dislivello |
|--------|---------------------|----------|-----------------------|------------|-------------------------|
| | | 48.2022 | 0.0000 | 0.847 | 0.000 |

Strati in ritorno

| Layer | Prism. Height | Angolo orizzontale | | Distanza | | Angolo verticale Dislivello | |
|-------|------------------|---------------------|-----------------------|---------------------|-----------------------|--|--|
| | | Diritto Rovescio | Medio Dev.Standard | Diritto Rovescio | Medio Dev.Standard | Diritto Rovescio | Medio Dev.Standard |
| 1 | 1.510 | | | 48.2019 48.2024 | 48.2022 0.0002 | 98.91050c 98.94600c 0.860 0.833 | 98.92825c 0.01775c 0.847 -0.027 |

| Stazione | Alt.Stazione | Punto | Angolo orizzontale Azimut Corr.Angolare | Distanza | Dislivello | Coordinate E N Q |
|----------|--------------|-------|---|----------|------------|--|
| PA008 | 1.545 | PA009 | 330.94975c 330.95770c 0.00795c | 35.6349 | -0.651 | 684973.1000 4793341.1444 193.688 |

Misure in andata

| Angolo | Dev.Standard Angolo | Distanza | Dev.Standard Distanza | Dislivello | Dev.Standard Dislivello |
|------------|---------------------|----------|-----------------------|------------|-------------------------|
| 330.94975c | 0.00000c | 35.6349 | 0.0000 | -0.651 | 0.000 |

Strati in andata

| Layer | Prism. Height | Angolo orizzontale | | Distanza | | Angolo verticale Dislivello | |
|-------|------------------|--------------------------|------------------------|---------------------|-----------------------|--|--|
| | | Diritto Rovescio | Medio Dev.Standard | Diritto Rovescio | Medio Dev.Standard | Diritto Rovescio | Medio Dev.Standard |
| 1 | 1.485 | 330.94950c 330.95000c | 330.94975c 0.00025c | 35.6351 35.6347 | 35.6349 -0.0002 | 101.25650c 101.28500c -0.643 -0.659 | 101.27075c 0.01425c -0.651 -0.016 |

Misure in ritorno

| Angolo | Dev.Standard Angolo | Distanza | Dev.Standard Distanza | Dislivello | Dev.Standard Dislivello |
|--------|---------------------|----------|-----------------------|------------|-------------------------|
| | | 35.6349 | 0.0000 | 0.650 | 0.000 |

Strati in ritorno

| Layer | Prism. Height | Angolo orizzontale | | Distanza | | Angolo verticale Dislivello | |
|-------|------------------|---------------------|-----------------------|---------------------|-----------------------|--|--|
| | | Diritto Rovescio | Medio Dev.Standard | Diritto Rovescio | Medio Dev.Standard | Diritto Rovescio | Medio Dev.Standard |
| 1 | 1.545 | | | 35.6347 35.6351 | 35.6349 0.0002 | 98.71500c 98.74950c 0.659 0.640 | 98.73225c 0.01725c 0.650 -0.019 |

| Stazione | Alt.Stazione | Punto | Angolo orizzontale Azimut Corr.Angolare | Distanza | Dislivello | Coordinate E N Q |
|----------|--------------|-----------|---|----------|------------|--|
| PA009 | 1.485 | PSS223078 | 341.17875c 341.18570c 0.00695c | 48.7892 | -0.915 | 684934.1696 4793370.5521 192.773 |

Misure in andata

| Angolo | Dev.Standard Angolo | Distanza | Dev.Standard Distanza | Dislivello | Dev.Standard Dislivello |
|------------|---------------------|----------|-----------------------|------------|-------------------------|
| 341.17875c | 0.00000c | 48.7892 | 0.0000 | -0.915 | 0.000 |

Strati in andata

| Layer | Prism. Height | Angolo orizzontale | | Distanza | | Angolo verticale Dislivello | |
|-------|------------------|--------------------------|------------------------|---------------------|-----------------------|--|--|
| | | Diritto Rovescio | Medio Dev.Standard | Diritto Rovescio | Medio Dev.Standard | Diritto Rovescio | Medio Dev.Standard |
| 1 | 1.530 | 341.17800c 341.17950c | 341.17875c 0.00075c | 48.7894 48.7890 | 48.7892 -0.0002 | 101.12000c 101.15050c -0.903 -0.927 | 101.13525c 0.01525c -0.915 -0.023 |

Misure in ritorno

| Angolo | Dev.Standard Angolo | Distanza | Dev.Standard Distanza | Dislivello | Dev.Standard Dislivello |
|--------|---------------------|----------|-----------------------|------------|-------------------------|
| | | 48.7892 | 0.0000 | 0.915 | 0.000 |

Strati in ritorno

| Layer | Prism. Height | Angolo orizzontale | | Distanza | | Angolo verticale Dislivello | |
|-------|------------------|---------------------|-----------------------|---------------------|-----------------------|--|--|
| | | Diritto Rovescio | Medio Dev.Standard | Diritto Rovescio | Medio Dev.Standard | Diritto Rovescio | Medio Dev.Standard |
| 1 | 1.485 | | | 48.7890 48.7895 | 48.7892 0.0002 | 98.84750c 98.88150c 0.928 0.902 | 98.86450c 0.01700c 0.915 -0.026 |

| Stazione | Alt.Stazione | Punto | Angolo orizzontale Azimut Corr.Angolare | Distanza | Dislivello | Coordinate E N Q |
|-----------|--------------|-------|---|----------|------------|--|
| PSS223078 | 1.530 | PA010 | 349.80800c 349.81395c 0.00595c | 32.6354 | -0.529 | 684911.0256 4793393.5613 192.244 |

Misure in andata

| Angolo | Dev.Standard Angolo | Distanza | Dev.Standard Distanza | Dislivello | Dev.Standard Dislivello |
|------------|---------------------|----------|-----------------------|------------|-------------------------|
| 349.80800c | 0.00000c | 32.6354 | 0.0000 | -0.529 | 0.000 |

Strati in andata

| Layer | Prism. Height | Angolo orizzontale | | Distanza | | Angolo verticale Dislivello | |
|-------|------------------|--------------------------|------------------------|---------------------|-----------------------|--|--|
| | | Diritto Rovescio | Medio Dev.Standard | Diritto Rovescio | Medio Dev.Standard | Diritto Rovescio | Medio Dev.Standard |
| 1 | 1.510 | 349.80750c 349.80850c | 349.80800c 0.00050c | 32.6355 32.6353 | 32.6354 -0.0001 | 101.05750c 101.08450c -0.522 -0.536 | 101.07100c 0.01350c -0.529 -0.014 |

Misure in ritorno

| Angolo | Dev.Standard Angolo | Distanza | Dev.Standard Distanza | Dislivello | Dev.Standard Dislivello |
|--------|---------------------|----------|-----------------------|------------|-------------------------|
| | | 32.6354 | 0.0000 | 0.529 | 0.000 |

Strati in ritorno

| Layer | Prism. Height | Angolo orizzontale | | Distanza | | Angolo verticale Dislivello | |
|-------|------------------|---------------------|-----------------------|---------------------|-----------------------|--|--|
| | | Diritto Rovescio | Medio Dev.Standard | Diritto Rovescio | Medio Dev.Standard | Diritto Rovescio | Medio Dev.Standard |
| 1 | 1.530 | | | 32.6352 32.6355 | 32.6354 0.0001 | 98.91350c 98.94650c 0.537 0.520 | 98.93000c 0.01650c 0.529 -0.017 |

| Stazione | Alt.Stazione | Punto | Angolo orizzontale Azimut Corr.Angolare | Distanza | Dislivello | Coordinate E N Q |
|----------|--------------|-----------|---|----------|------------|--|
| PA010 | 1.510 | PSS223079 | 354.54600c 354.55120c 0.00520c | 155.9535 | -2.607 | 684808.9084 4793511.4323 189.638 |

Misure in andata

| Angolo | Dev.Standard Angolo | Distanza | Dev.Standard Distanza | Dislivello | Dev.Standard Dislivello |
|------------|---------------------|----------|-----------------------|------------|-------------------------|
| 354.54600c | 0.00000c | 155.9535 | 0.0000 | -2.606 | 0.000 |

Strati in andata

| Layer | Prism. Height | Angolo orizzontale | | Distanza | | Angolo verticale Dislivello | |
|-------|------------------|--------------------------|------------------------|----------------------|-----------------------|--|--|
| | | Diritto Rovescio | Medio Dev.Standard | Diritto Rovescio | Medio Dev.Standard | Diritto Rovescio | Medio Dev.Standard |
| 1 | 1.465 | 354.54550c 354.54650c | 354.54600c 0.00050c | 155.9541 155.9529 | 155.9535 -0.0006 | 101.06800c 101.09650c -2.572 -2.641 | 101.08225c 0.01425c -2.606 -0.070 |

Misure in ritorno

| Angolo | Dev.Standard Angolo | Distanza | Dev.Standard Distanza | Dislivello | Dev.Standard Dislivello |
|--------|---------------------|----------|-----------------------|------------|-------------------------|
| | | 155.9534 | 0.0000 | 2.607 | 0.000 |

Strati in ritorno

| Layer | Prism. Height | Angolo orizzontale | | Distanza | | Angolo verticale Dislivello | |
|-------|------------------|---------------------|-----------------------|----------------------|-----------------------|--|--|
| | | Diritto Rovescio | Medio Dev.Standard | Diritto Rovescio | Medio Dev.Standard | Diritto Rovescio | Medio Dev.Standard |
| 1 | 1.510 | | | 155.9527 155.9542 | 155.9534 0.0007 | 98.90050c 98.93450c 2.649 2.565 | 98.91750c 0.01700c 2.607 -0.083 |

| Stazione | Alt.Stazione | Punto | Angolo orizzontale Azimut Corr.Angolare | Distanza | Dislivello | Coordinate E N Q |
|-----------|--------------|-----------|---|----------|------------|--|
| PSS223079 | 1.465 | PSS223080 | 354.39450c 354.39995c 0.00545c | 200.2843 | 2.568 | 684677.4045 4793662.4969 192.205 |

Misure in andata

| Angolo | Dev.Standard Angolo | Distanza | Dev.Standard Distanza | Dislivello | Dev.Standard Dislivello |
|------------|---------------------|----------|-----------------------|------------|-------------------------|
| 354.39450c | 0.00000c | 200.2843 | 0.0000 | 2.563 | 0.000 |

Strati in andata

| Layer | Prism. Height | Angolo orizzontale | | Distanza | | Angolo verticale Dislivello | |
|-------|------------------|--------------------------|------------------------|----------------------|-----------------------|--|--|
| | | Diritto Rovescio | Medio Dev.Standard | Diritto Rovescio | Medio Dev.Standard | Diritto Rovescio | Medio Dev.Standard |
| 1 | 1.485 | 354.39400c 354.39500c | 354.39450c 0.00050c | 200.2838 200.2849 | 200.2843 0.0006 | 99.16450c 99.19350c 2.609 2.517 | 99.17900c 0.01450c 2.563 -0.091 |

Misure in ritorno

| Angolo | Dev.Standard Angolo | Distanza | Dev.Standard Distanza | Dislivello | Dev.Standard Dislivello |
|--------|---------------------|----------|-----------------------|------------|-------------------------|
| | | 200.2842 | 0.0000 | -2.572 | 0.000 |

Strati in ritorno

| Layer | Prism. Height | Angolo orizzontale | | Distanza | | Angolo verticale Dislivello | |
|-------|------------------|---------------------|-----------------------|----------------------|-----------------------|--|--|
| | | Diritto Rovescio | Medio Dev.Standard | Diritto Rovescio | Medio Dev.Standard | Diritto Rovescio | Medio Dev.Standard |
| 1 | 1.465 | | | 200.2849 200.2836 | 200.2842 -0.0007 | 100.80800c 100.84000c -2.522 -2.623 | 100.82400c 0.01600c -2.572 -0.101 |

| Stazione | Alt.Stazione | Punto | Angolo orizzontale Azimut Corr.Angolare | Distanza | Dislivello | Coordinate E N Q |
|-----------|--------------|-------|---|----------|------------|--|
| PSS223080 | 1.485 | PA011 | 356.00575c 356.01120c 0.00545c | 89.1493 | 3.433 | 684620.5907 4793731.1976 195.639 |

Misure in andata

| Angolo | Dev.Standard Angolo | Distanza | Dev.Standard Distanza | Dislivello | Dev.Standard Dislivello |
|------------|---------------------|----------|-----------------------|------------|-------------------------|
| 356.00575c | 0.00000c | 89.1494 | 0.0000 | 3.432 | 0.000 |

Strati in andata

| Layer | Prism. Height | Angolo orizzontale | | Distanza | | Angolo verticale Dislivello | |
|-------|------------------|--------------------------|------------------------|---------------------|-----------------------|--|--|
| | | Diritto Rovescio | Medio Dev.Standard | Diritto Rovescio | Medio Dev.Standard | Diritto Rovescio | Medio Dev.Standard |
| 1 | 1.500 | 356.00550c 356.00600c | 356.00575c 0.00025c | 89.1485 89.1502 | 89.1494 0.0009 | 97.52400c 97.55550c 3.454 3.410 | 97.53975c 0.01575c 3.432 -0.044 |

Misure in ritorno

| Angolo | Dev.Standard Angolo | Distanza | Dev.Standard Distanza | Dislivello | Dev.Standard Dislivello |
|--------|---------------------|----------|-----------------------|------------|-------------------------|
| | | 89.1493 | 0.0000 | -3.435 | 0.000 |

Strati in ritorno

| Layer | Prism. Height | Angolo orizzontale | | Distanza | | Angolo verticale Dislivello | |
|-------|------------------|---------------------|-----------------------|---------------------|-----------------------|--|--|
| | | Diritto Rovescio | Medio Dev.Standard | Diritto Rovescio | Medio Dev.Standard | Diritto Rovescio | Medio Dev.Standard |
| 1 | 1.485 | | | 89.1502 89.1484 | 89.1493 -0.0009 | 102.44550c 102.47900c -3.411 -3.458 | 102.46225c 0.01675c -3.435 -0.047 |

| Stazione | Alt.Stazione | Punto | Angolo orizzontale Azimut Corr.Angolare | Distanza | Dislivello | Coordinate E N Q |
|----------|--------------|----------|---|----------|------------|--|
| PA011 | 1.500 | 29709011 | 383.22575c 383.23120c 0.00545c | 28.5551 | 0.492 | 684613.1558 4793758.7678 196.131 |

Misure in andata

| Angolo | Dev.Standard Angolo | Distanza | Dev.Standard Distanza | Dislivello | Dev.Standard Dislivello |
|------------|---------------------|----------|-----------------------|------------|-------------------------|
| 383.22575c | 0.00000c | 28.5551 | 0.0000 | 0.492 | 0.000 |

Strati in andata

| Layer | Prism. Height | Angolo orizzontale | | Distanza | | Angolo verticale Dislivello | |
|-------|------------------|--------------------------|------------------------|---------------------|-----------------------|--|--|
| | | Diritto Rovescio | Medio Dev.Standard | Diritto Rovescio | Medio Dev.Standard | Diritto Rovescio | Medio Dev.Standard |
| 1 | 1.480 | 383.22550c 383.22600c | 383.22575c 0.00025c | 28.5550 28.5552 | 28.5551 0.0001 | 98.93250c 98.96400c 0.499 0.485 | 98.94825c 0.01575c 0.492 -0.014 |

Misure in ritorno

| Angolo | Dev.Standard Angolo | Distanza | Dev.Standard Distanza | Dislivello | Dev.Standard Dislivello |
|--------|---------------------|----------|-----------------------|------------|-------------------------|
| | | 28.5551 | 0.0000 | -0.492 | 0.000 |

Strati in ritorno

| Layer | Prism. Height | Angolo orizzontale | | Distanza | | Angolo verticale Dislivello | |
|-------|------------------|---------------------|-----------------------|---------------------|-----------------------|--|--|
| | | Diritto Rovescio | Medio Dev.Standard | Diritto Rovescio | Medio Dev.Standard | Diritto Rovescio | Medio Dev.Standard |
| 1 | 1.500 | | | 28.5552 28.5550 | 28.5551 -0.0001 | 101.03650c 101.06950c -0.485 -0.500 | 101.05300c 0.01650c -0.492 -0.015 |

| COMPENSAZIONE ANGOLARE POLIGONALE | | | | | | Pagina nr. 1 |
|-----------------------------------|--------------------|------------|------------|-------------------|-------------------|--------------|
| Nome poligonale | | Siena_0 | | | | |
| Lunghezza | 6082.3098 | Err.Lin. E | 0.0810 | Err.Lin. Q | | Toll.Lin. |
| Err.Lin. | 0.0872 | Err.Lin. N | 0.0322 | Err.Ang. | 0.00000c | Toll.Ang. |
| Stazione | Angolo orizzontale | Correzione | Azimut | Correzione azimut | Azimut compensato | |
| 29709031 | 199.90460c | 0.00000c | 199.90460c | -208.89854c | 391.00606c | |
| CS014 | 208.18860c | 0.00000c | 208.18860c | -208.89854c | 399.29006c | |
| CS015 | 216.85670c | 0.00000c | 216.85670c | -208.89854c | 7.95816c | |
| PSS223057 | 225.59665c | 0.00000c | 225.59665c | -208.89854c | 16.69811c | |
| PSS223058 | 231.20440c | 0.00000c | 231.20440c | -208.89854c | 22.30586c | |
| CS016 | 238.58410c | 0.00000c | 238.58410c | -208.89854c | 29.68556c | |
| PSS223059 | 236.22465c | 399.99950c | 236.22415c | -208.89854c | 27.32561c | |
| PSS223060 | 215.32930c | 399.99955c | 215.32885c | -208.89854c | 6.43031c | |
| CS017 | 199.07510c | 399.99870c | 199.07380c | -208.89854c | 390.17526c | |
| LSS223013 | 204.73590c | 399.99910c | 204.73500c | -208.89854c | 395.83646c | |
| PSS223061 | 199.71700c | 399.99860c | 199.71560c | -208.89854c | 390.81706c | |
| CS018 | 233.48645c | 399.99835c | 233.48480c | -208.89854c | 24.58626c | |
| CS019 | 250.82550c | 399.99780c | 250.82330c | -208.89854c | 41.92476c | |
| PSS223062 | 253.24585c | 399.99885c | 253.24470c | -208.89854c | 44.34616c | |
| CS020 | 276.34015c | 399.99825c | 276.33840c | -208.89854c | 67.43986c | |
| PSS223063 | 275.44265c | 399.99690c | 275.43955c | -208.89854c | 66.54101c | |
| PSS223064 | 293.15185c | 399.99765c | 293.14950c | -208.89854c | 84.25096c | |
| LSS223014 | 268.50915c | 399.99770c | 268.50685c | -208.89854c | 59.60831c | |
| PSS223065 | 295.36195c | 399.99785c | 295.35980c | -208.89854c | 86.46126c | |
| PSS223066 | 293.35785c | 399.99855c | 293.35640c | -208.89854c | 84.45786c | |
| PSS223067 | 291.51930c | 0.00020c | 291.51950c | -208.89854c | 82.62096c | |
| PSS223068 | 304.69150c | 399.99970c | 304.69120c | -208.89854c | 95.79266c | |
| LSS223015 | 314.02600c | 399.99970c | 314.02570c | -208.89854c | 105.12716c | |
| PA001 | 329.44250c | 399.99970c | 329.44220c | -208.89854c | 120.54366c | |
| PSS223069 | 335.14000c | 399.99970c | 335.13970c | -208.89854c | 126.24116c | |
| PA004 | 323.39650c | 0.00170c | 323.39820c | -208.89854c | 114.49966c | |
| PSS223070 | 316.86425c | 0.00120c | 316.86545c | -208.89854c | 107.96691c | |
| PSS223071 | 308.24725c | 0.00420c | 308.25145c | -208.89854c | 99.35291c | |
| PA005 | 306.86350c | 0.00445c | 306.86795c | -208.89854c | 97.96941c | |
| PA006 | 313.24400c | 0.00595c | 313.24995c | -208.89854c | 104.35141c | |
| LSS223016 | 305.97450c | 0.00595c | 305.98045c | -208.89854c | 97.08191c | |
| PSS223072 | 282.95425c | 0.00670c | 282.96095c | -208.89854c | 74.06241c | |
| PSS223073 | 262.58650c | 0.00770c | 262.59420c | -208.89854c | 53.69566c | |
| PSS223074 | 262.54325c | 0.00795c | 262.55120c | -208.89854c | 53.65266c | |
| PSS223075 | 285.24600c | 0.00845c | 285.25445c | -208.89854c | 76.35591c | |
| PA007 | 306.61425c | 0.00895c | 306.62320c | -208.89854c | 97.72466c | |
| PSS223076 | 301.28925c | 0.00920c | 301.29845c | -208.89854c | 92.39991c | |
| LSS223017 | 313.24625c | 0.00920c | 313.25545c | -208.89854c | 104.35691c | |
| PSS223077 | 320.94400c | 0.00920c | 320.95320c | -208.89854c | 112.05466c | |
| PA008 | 330.94975c | 0.00795c | 330.95770c | -208.89854c | 122.05916c | |
| PA009 | 341.17875c | 0.00695c | 341.18570c | -208.89854c | 132.28716c | |
| PSS223078 | 349.80800c | 0.00595c | 349.81395c | -208.89854c | 140.91541c | |
| PA010 | 354.54600c | 0.00520c | 354.55120c | -208.89854c | 145.65266c | |
| PSS223079 | 354.39450c | 0.00545c | 354.39995c | -208.89854c | 145.50141c | |
| PSS223080 | 356.00575c | 0.00545c | 356.01120c | -208.89854c | 147.11266c | |
| PA011 | 383.22575c | 0.00545c | 383.23120c | -208.89854c | 174.33266c | |
| 29709011 | | 0.00570c | | -208.89854c | | |

| COMPENSAZIONE LINEARE POLIGONALE | | | | | | Pagina nr. | 1 |
|----------------------------------|---------------------------|----------|--|---|----------|------------|-----------|
| Nome poligonale | | Siena_0 | | | | | |
| Lunghezza | 6082.3098 | Err.Lin. | E | 0.0810 | Err.Lin. | Q | Toll.Lin. |
| Err.Lin. | 0.0872 | Err.Lin. | N | 0.0322 | Err.Ang. | 0.00000c | Toll.Ang. |
| Stazione | Correzione Azimut | Distanza | E dE dEe | N dN dNe | | | |
| 29709031 | -208.89854c 391.00606c | 101.0402 | 689261.2430 -14.2272 0.0013 | 4794891.5520 100.0336 0.0005 | | | |
| CS014 | 191.10146c 399.29006c | 79.1499 | 689247.0172 -0.8826 0.0011 | 4794991.5861 79.1450 0.0004 | | | |
| CS015 | 191.10146c 7.95816c | 69.8698 | 689246.1356 8.7114 0.0009 | 4795070.7315 69.3246 0.0004 | | | |
| PSS223057 | 191.10146c 16.69811c | 143.4583 | 689254.8480 37.1982 0.0019 | 4795140.0565 138.5517 0.0008 | | | |
| PSS223058 | 191.10146c 22.30586c | 65.3340 | 689292.0480 22.4262 0.0009 | 4795278.6090 61.3644 0.0003 | | | |
| CS016 | 191.10146c 29.68556c | 199.6280 | 689314.4751 89.7496 0.0027 | 4795339.9738 178.3153 0.0011 | | | |
| PSS223059 | 191.10096c 27.32561c | 251.1218 | 689404.2273 104.5095 0.0033 | 4795518.2901 228.3417 0.0013 | | | |
| PSS223060 | 191.10101c 6.43031c | 99.8197 | 689508.7401 10.0654 0.0013 | 4795746.6331 99.3109 0.0005 | | | |
| CS017 | 191.10016c 390.17526c | 83.7198 | 689518.8068 -12.8690 0.0011 | 4795845.9446 82.7248 0.0004 | | | |
| LSS223013 | 191.10056c 395.83646c | 167.4107 | 689505.9389 -10.9410 0.0022 | 4795928.6698 167.0528 0.0009 | | | |
| PSS223061 | 191.10006c 390.81706c | 70.6874 | 689495.0002 -10.1610 0.0009 | 4796095.7235 69.9533 0.0004 | | | |
| CS018 | 191.09981c 24.58626c | 187.7044 | 689484.8401 70.7028 0.0025 | 4796165.6772 173.8794 0.0010 | | | |
| CS019 | 191.09926c 41.92476c | 68.3198 | 689555.5454 41.8099 0.0009 | 4796339.5576 54.0327 0.0004 | | | |
| PSS223062 | 191.10031c 44.34616c | 82.2093 | 689597.3562 52.7458 0.0011 | 4796393.5907 63.0575 0.0004 | | | |
| CS020 | 191.09971c 67.43986c | 149.3639 | 689650.1032 130.2504 0.0020 | 4796456.6486 73.1055 0.0008 | | | |
| PSS223063 | 191.09836c 66.54101c | 188.5578 | 689780.3555 163.1094 0.0025 | 4796529.7549 94.6010 0.0010 | | | |
| PSS223064 | 191.09911c 84.25096c | 117.4439 | 689943.4675 113.8684 0.0016 | 4796624.3569 28.7585 0.0006 | | | |
| LSS223014 | 191.09916c 59.60831c | 51.0546 | 690057.3374 41.1187 0.0007 | 4796653.1160 30.2627 0.0003 | | | |
| PSS223065 | 191.09931c 86.46126c | 343.1419 | 690098.4568 335.4115 0.0046 | 4796683.3790 72.4258 0.0018 | | | |

| COMPENSAZIONE LINEARE POLIGONALE | | | | | | Pagina nr. 2 |
|----------------------------------|----------------------|------------|----------|--------------------|---------------------|----------------|
| Nome poligonale | | | | | | Siena_0 |
| Lunghezza | 6082.3098 | Err.Lin. E | 0.0810 | Err.Lin. Q | Toll.Lin. | |
| Err.Lin. | 0.0872 | Err.Lin. N | 0.0322 | Err.Ang. | 0.00000c | Toll.Ang. |
| Stazione | Correzione Azimut | | Distanza | E dE dEe | | N dN dNe |
| PSS223066 | 191.10001c | | 208.3911 | 690433.8728 | 4796755.8066 | |
| | 84.45786c | | | 202.2116 | 50.3718 | |
| | | | | 0.0028 | 0.0011 | |
| PSS223067 | 191.10166c | | 320.3739 | 690636.0872 | 4796806.1795 | |
| | 82.62096c | | | 308.5102 | 86.3764 | |
| | | | | 0.0043 | 0.0017 | |
| PSS223068 | 191.10116c | | 118.6938 | 690944.6017 | 4796892.5576 | |
| | 95.79266c | | | 118.4347 | 7.8386 | |
| | | | | 0.0016 | 0.0006 | |
| LSS223015 | 191.10116c | | 212.3510 | 691063.0379 | 4796900.3969 | |
| | 105.12716c | | | 211.6627 | -17.0837 | |
| | | | | 0.0028 | 0.0011 | |
| PA001 | 191.10116c | | 239.8913 | 691274.7035 | 4796883.3143 | |
| | 120.54366c | | | 227.5088 | -76.0761 | |
| | | | | 0.0032 | 0.0013 | |
| PSS223069 | 191.10116c | | 127.0870 | 691502.2154 | 4796807.2395 | |
| | 126.24116c | | | 116.4427 | -50.9138 | |
| | | | | 0.0017 | 0.0007 | |
| PA004 | 191.10316c | | 165.8227 | 691618.6598 | 4796756.3263 | |
| | 114.49966c | | | 161.5402 | -37.4421 | |
| | | | | 0.0022 | 0.0009 | |
| PSS223070 | 191.10266c | | 47.3778 | 691780.2023 | 4796718.8851 | |
| | 107.96691c | | | 47.0072 | -5.9136 | |
| | | | | 0.0006 | 0.0003 | |
| PSS223071 | 191.10566c | | 220.0572 | 691827.2102 | 4796712.9718 | |
| | 99.35291c | | | 220.0458 | 2.2367 | |
| | | | | 0.0029 | 0.0012 | |
| PA005 | 191.10591c | | 102.9558 | 692047.2589 | 4796715.2097 | |
| | 97.96941c | | | 102.9035 | 3.2834 | |
| | | | | 0.0014 | 0.0005 | |
| PA006 | 191.10741c | | 39.6069 | 692150.1638 | 4796718.4936 | |
| | 104.35141c | | | 39.5144 | -2.7051 | |
| | | | | 0.0005 | 0.0002 | |
| LSS223016 | 191.10741c | | 244.2619 | 692189.6787 | 4796715.7887 | |
| | 97.08191c | | | 244.0053 | 11.1924 | |
| | | | | 0.0033 | 0.0013 | |
| PSS223072 | 191.10816c | | 178.5860 | 692433.6873 | 4796726.9824 | |
| | 74.06241c | | | 163.9675 | 70.7643 | |
| | | | | 0.0024 | 0.0009 | |
| PSS223073 | 191.10916c | | 134.5914 | 692597.6572 | 4796797.7477 | |
| | 53.69566c | | | 100.5318 | 89.4885 | |
| | | | | 0.0018 | 0.0007 | |
| PSS223074 | 191.10941c | | 178.9777 | 692698.1908 | 4796887.2369 | |
| | 53.65266c | | | 133.6054 | 119.0908 | |
| | | | | 0.0024 | 0.0009 | |
| PSS223075 | 191.10991c | | 72.6690 | 692831.7986 | 4797006.3287 | |
| | 76.35591c | | | 67.7144 | 26.3731 | |
| | | | | 0.0010 | 0.0004 | |
| PA007 | 191.11041c | | 109.5762 | 692899.5140 | 4797032.7021 | |
| | 97.72466c | | | 109.5062 | 3.9155 | |
| | | | | 0.0015 | 0.0006 | |
| PSS223076 | 191.11066c | | 121.2337 | 693009.0217 | 4797036.6183 | |
| | 92.39991c | | | 120.3708 | 14.4388 | |
| | | | | 0.0016 | 0.0006 | |
| LSS223017 | 191.11066c | | 81.5664 | 693129.3941 | 4797051.0577 | |
| | 104.35691c | | | 81.3754 | -5.5779 | |
| | | | | 0.0011 | 0.0004 | |

Nome poligonale Siena_0

| | | | | | |
|-----------|-----------|------------|--------|------------|-----------|
| Lunghezza | 6082.3098 | Err.Lin. E | 0.0810 | Err.Lin. Q | Toll.Lin. |
| Err.Lin. | 0.0872 | Err.Lin. N | 0.0322 | Err.Ang. | 0.00000c |
| | | | | | Toll.Ang. |

| Stazione | Correzione Azimut | Distanza | E dE dEe | N dN dNe |
|-----------|----------------------|----------|--------------------|---------------------|
| PSS223077 | 191.11066c | 48.2022 | 693210.7706 | 4797045.4802 |
| | 112.05466c | | 47.3406 | -9.0728 |
| PA008 | 191.10941c | 35.6349 | 693258.1119 | 4797036.4076 |
| | 122.05916c | | 33.5170 | -12.1020 |
| PA009 | 191.10841c | 48.7892 | 693291.6293 | 4797024.3058 |
| | 132.28716c | | 42.6479 | -23.6970 |
| PSS223078 | 191.10741c | 32.6354 | 693334.2778 | 4797000.6090 |
| | 140.91541c | | 26.1240 | -19.5602 |
| PA010 | 191.10666c | 155.9535 | 693360.4023 | 4796981.0489 |
| | 145.65266c | | 117.5434 | -102.4941 |
| PSS223079 | 191.10691c | 200.2843 | 693477.9478 | 4796878.5557 |
| | 145.50141c | | 151.2682 | -131.2697 |
| PSS223080 | 191.10691c | 89.1493 | 693629.2186 | 4796747.2871 |
| | 147.11266c | | 65.8313 | -60.1152 |
| PA011 | 191.10691c | 28.5551 | 693695.0511 | 4796687.1723 |
| | 174.33266c | | 11.2035 | -26.2655 |
| 29709011 | | | 693706.2550 | 4796660.9070 |

| Angolo | Scala | | | Stand.Dev. | 0.0000 | Stand.Dev. Q | 0.0000 | | |
|----------|----------------------|-------------|---------|-----------------|-------------|--------------|--------|-------|-------|
| Punto | Punto di riferimento | | | Punto calcolato | | | Errore | | |
| | E | N | Q | E | N | Q | E | N | Q |
| 29709031 | 689261.243 | 4794891.552 | 204.545 | 689261.243 | 4794891.552 | 204.545 | 0.000 | 0.000 | 0.000 |
| 29709011 | 693706.255 | 4796660.907 | 196.027 | 693706.255 | 4796660.907 | 196.027 | 0.000 | 0.000 | 0.000 |

Calcolo del rilievo

Impostazioni di calcolo

Stazione di partenza

.....* Manca la quota della Stazione di partenza.

Calcolo del rilievo

| | |
|---|-----------|
| Calcolo punti GPS | Disattivo |
| Calcolo stazioni | Attivo |
| Compensazione poligonali | Attivo |
| Compensazione rigorosa | Disattivo |
| Calcolo punti | Attivo |
| Calcolo allineamenti e squadre | Disattivo |
| Utilizzo tabella caposaldi | Attivo |
| Calcolo quote da caposaldi | Attivo |
| Rototraslazione automatica su caposaldi | Attivo |
| Calcolo trilaterazione | Disattivo |
| Calcolo Snellius | Disattivo |
| Calcolo apertura a terra | Disattivo |
| Calcolo intersezione in avanti | Disattivo |
| Rototraslazione stazione singola | Disattivo |
| Riconoscimento automatico cambio orientamento | Attivo |
| Calcolo misure con azimuth reale | Disattivo |

Poligonale

| | |
|--------------------------------------|--------------|
| Tolleranza angolare | Non definito |
| Tolleranza sull'errore lineare | Non definito |
| Tolleranza in quota | Non definito |
| Calcolo tolleranze da formule | Disattivo |

Punti fissi

Punto fisso

| | |
|----------------------|--------------|
| Nome del punto | 29709011 |
| E | 693706.2550 |
| N | 4796660.9070 |
| Quota | 196.027 |
| Note | » Caposaldi |

Punto fisso

| | |
|----------------------|--------------|
| Nome del punto | 29709031 |
| E | 689261.2430 |
| N | 4794891.5520 |
| Quota | 204.545 |
| Note | » Caposaldi |

Stazione di partenza

| | |
|----------------------------|--------------|
| Nome della stazione | 29709031 |
| E | 689261.2430 |
| N | 4794891.5520 |
| Quota | 204.545 |
| Angolo di correzione | 0.00000c |

Poligonali

Poligonale

| | |
|-----------------------------|---------|
| Nome della poligonale | Siena_0 |
|-----------------------------|---------|

Stazioni della poligonale

Stazione

| | |
|----------------------------|-------------------------------|
| Nome della stazione | 29709031 |
| E | 689261.2430 |
| N | 4794891.5520 |
| Quota | 204.545 |
| Angolo di correzione | 0.00000c |
| Note | » Stazione di coordinate note |

Stazione

| | |
|----------------------------|--------------|
| Nome della stazione | CS014 |
| E | 689261.3944 |
| N | 4794790.5119 |
| Quota | 203.883 |
| Angolo di correzione | 0.00000c |

Dati utilizzati per la posizione

Misura tacheometrica

| | |
|---|------------|
| Nome della stazione | 29709031 |
| Nome del punto osservato | CS014 |
| Distanza orizzontale | 101.0402 |
| Distanza orizzontale avanti | 101.0402 |
| Distanza orizzontale indietro | 101.0402 |
| Errore sulla distanza orizzontale | 0.0000 |
| Azimut | 199.90460c |
| Angolo orizzontale | 199.90460c |

| | |
|---|--------------|
| Angolo di correzione | 0.00000c |
| E | 689261.3944 |
| N | 4794790.5119 |
| E precedente | 689261.2430 |
| N precedente | 4794891.5520 |
| dE | 0.1514 |
| dN | -101.0401 |
| Misure in avanti | |
| Nome della stazione | 29709031 |
| Nome del punto osservato | CS014 |
| Angolo orizzontale | 199.90460c |
| Deviazione sull'angolo orizzontale | 0.00000c |
| Errore sull'angolo orizzontale | 0.00000c |
| Distanza orizzontale | 101.0402 |
| Deviazione sulla distanza orizzontale | 0.0000 |
| Errore sulla distanza orizzontale | 0.0000 |
| Misura | |
| Strato | 1 |
| Angolo orizzontale | 199.90460c |
| Distanza orizzontale | 101.0402 |
| Angolo orizzontale 1 | 199.90460c |
| Distanza orizzontale 1 | 101.0402 |
| Angolo orizzontale 2 | 199.90460c |
| Distanza orizzontale 2 | 101.0402 |
| Deviazione sull'angolo orizzontale | 0.00000c |
| Deviazione sulla distanza orizzontale | 0.0000 |
| Misure indietro | |
| Nome della stazione | CS014 |
| Nome del punto osservato | 29709031 |
| Distanza orizzontale | 101.0402 |
| Deviazione sulla distanza orizzontale | 0.0000 |
| Errore sulla distanza orizzontale | 0.0000 |
| Misura | |
| Strato | 1 |
| Distanza orizzontale | 101.0402 |
| Distanza orizzontale 1 | 101.0402 |
| Distanza orizzontale 2 | 101.0402 |
| Deviazione sulla distanza orizzontale | 0.0000 |
| Dati utilizzati per la quota | |
| Misura per quota | |
| Nome della stazione | 29709031 |
| Nome del punto osservato | CS014 |
| Altezza strumento | 1.487 |
| Dislivello | -0.662 |
| Dislivello in avanti | -0.664 |
| Dislivello indietro | 0.661 |
| Errore sul dislivello | 0.003 |
| Quota | 203.883 |
| Quota precedente | 204.545 |
| Misure in avanti | |
| Nome della stazione | 29709031 |
| Nome del punto osservato | CS014 |
| Dislivello | -0.664 |
| Deviazione sul dislivello | 0.000 |
| Errore sul dislivello | 0.000 |
| Misura | |
| Strato | 1 |
| Altezza prisma | 1.552 |
| Angolo verticale | 100.37715c |
| Angolo verticale 1 | 100.37870c |
| Angolo verticale 2 | 100.37560c |
| Deviazione sull'angolo verticale | -0.00155c |
| Dislivello | -0.664 |
| Dislivello 1 | -0.666 |
| Dislivello 2 | -0.661 |
| Deviazione sul dislivello | 0.005 |
| Misure indietro | |
| Nome della stazione | CS014 |
| Nome del punto osservato | 29709031 |
| Dislivello | 0.661 |
| Deviazione sul dislivello | 0.000 |
| Errore sul dislivello | 0.000 |

Misura

| | |
|--|-----------|
| Strato | 1 |
| Altezza prisma | 1.487 |
| Angolo verticale | 99.62445c |
| Angolo verticale 1 | 99.62530c |
| Angolo verticale 2 | 99.62360c |
| Deviazione sull'angolo verticale | -0.00085c |
| Dislivello | 0.661 |
| Dislivello 1 | 0.660 |
| Dislivello 2 | 0.662 |
| Deviazione sul dislivello | 0.003 |

Dati utilizzati per l'orientamento

Orientamento

| | |
|--------------------------------|------------|
| Nome della stazione | CS014 |
| Nome del punto osservato | 29709031 |
| Azimut | 399.90460c |
| Angolo orizzontale | 399.90460c |
| Angolo di correzione | 0.00000c |

Misure

| | |
|---|------------|
| Nome della stazione | CS014 |
| Nome del punto osservato | 29709031 |
| Angolo orizzontale | 399.90460c |
| Deviazione sull'angolo orizzontale | 0.00000c |
| Errore sull'angolo orizzontale | 0.00000c |
| Distanza orizzontale | 101.0402 |
| Deviazione sulla distanza orizzontale | 0.0000 |
| Errore sulla distanza orizzontale | 0.0000 |

Misura

| | |
|---|------------|
| Strato | 1 |
| Angolo orizzontale | 399.90460c |
| Distanza orizzontale | 101.0402 |
| Angolo orizzontale 1 | 399.90460c |
| Distanza orizzontale 1 | 101.0402 |
| Angolo orizzontale 2 | 399.90460c |
| Distanza orizzontale 2 | 101.0402 |
| Deviazione sull'angolo orizzontale | 0.00000c |
| Deviazione sulla distanza orizzontale | 0.0000 |

Stazione

| | |
|----------------------------|--------------|
| Nome della stazione | CS015 |
| E | 689251.2417 |
| N | 4794712.0158 |
| Quota | 203.747 |
| Angolo di correzione | 0.00000c |

Dati utilizzati per la posizione

Misura tacheometrica

| | |
|---|--------------|
| Nome della stazione | CS014 |
| Nome del punto osservato | CS015 |
| Distanza orizzontale | 79.1499 |
| Distanza orizzontale avanti | 79.1499 |
| Distanza orizzontale indietro | 79.1499 |
| Errore sulla distanza orizzontale | 0.0000 |
| Azimut | 208.18860c |
| Angolo orizzontale | 208.18860c |
| Angolo di correzione | 0.00000c |
| E | 689251.2417 |
| N | 4794712.0158 |
| E precedente | 689261.3944 |
| N precedente | 4794790.5119 |
| dE | -10.1527 |
| dN | -78.4961 |

Misure in avanti

| | |
|---|------------|
| Nome della stazione | CS014 |
| Nome del punto osservato | CS015 |
| Angolo orizzontale | 208.18860c |
| Deviazione sull'angolo orizzontale | 0.00000c |
| Errore sull'angolo orizzontale | 0.00000c |
| Distanza orizzontale | 79.1499 |
| Deviazione sulla distanza orizzontale | 0.0000 |
| Errore sulla distanza orizzontale | 0.0000 |

Misura

| | |
|----------------------------|------------|
| Strato | 1 |
| Angolo orizzontale | 208.18860c |
| Distanza orizzontale | 79.1499 |

| | |
|---|------------|
| Angolo orizzontale 1 | 208.18860c |
| Distanza orizzontale 1 | 79.1499 |
| Angolo orizzontale 2 | 208.18860c |
| Distanza orizzontale 2 | 79.1499 |
| Deviazione sull'angolo orizzontale | 0.00000c |
| Deviazione sulla distanza orizzontale | 0.0000 |

Misure indietro

| | |
|---|---------|
| Nome della stazione | CS015 |
| Nome del punto osservato | CS014 |
| Distanza orizzontale | 79.1499 |
| Deviazione sulla distanza orizzontale | 0.0000 |
| Errore sulla distanza orizzontale | 0.0000 |

Misura

| | |
|---|---------|
| Strato | 1 |
| Distanza orizzontale | 79.1499 |
| Distanza orizzontale 1 | 79.1499 |
| Distanza orizzontale 2 | 79.1499 |
| Deviazione sulla distanza orizzontale | 0.0000 |

Dati utilizzati per la quota

Misura per quota

| | |
|--------------------------------|---------|
| Nome della stazione | CS014 |
| Nome del punto osservato | CS015 |
| Altezza strumento | 1.552 |
| Dislivello | -0.136 |
| Dislivello in avanti | -0.138 |
| Dislivello indietro | 0.134 |
| Errore sul dislivello | 0.004 |
| Quota | 203.747 |
| Quota precedente | 203.883 |

Misure in avanti

| | |
|---------------------------------|--------|
| Nome della stazione | CS014 |
| Nome del punto osservato | CS015 |
| Dislivello | -0.138 |
| Deviazione sul dislivello | 0.000 |
| Errore sul dislivello | 0.000 |

Misura

| | |
|--|------------|
| Strato | 1 |
| Altezza prisma | 1.569 |
| Angolo verticale | 100.09760c |
| Angolo verticale 1 | 100.09930c |
| Angolo verticale 2 | 100.09590c |
| Deviazione sull'angolo verticale | -0.00170c |
| Dislivello | -0.138 |
| Dislivello 1 | -0.140 |
| Dislivello 2 | -0.136 |
| Deviazione sul dislivello | 0.004 |

Misure indietro

| | |
|---------------------------------|-------|
| Nome della stazione | CS015 |
| Nome del punto osservato | CS014 |
| Dislivello | 0.134 |
| Deviazione sul dislivello | 0.000 |
| Errore sul dislivello | 0.000 |

Misura

| | |
|--|-----------|
| Strato | 1 |
| Altezza prisma | 1.552 |
| Angolo verticale | 99.90595c |
| Angolo verticale 1 | 99.90670c |
| Angolo verticale 2 | 99.90520c |
| Deviazione sull'angolo verticale | -0.00075c |
| Dislivello | 0.134 |
| Dislivello 1 | 0.133 |
| Dislivello 2 | 0.135 |
| Deviazione sul dislivello | 0.002 |

Dati utilizzati per l'orientamento

Orientamento

| | |
|--------------------------------|----------|
| Nome della stazione | CS015 |
| Nome del punto osservato | CS014 |
| Azimut | 8.18860c |
| Angolo orizzontale | 8.18860c |
| Angolo di correzione | 0.00000c |

Misure

| | |
|---|----------|
| Nome della stazione | CS015 |
| Nome del punto osservato | CS014 |
| Angolo orizzontale | 8.18860c |
| Deviazione sull'angolo orizzontale | 0.00000c |
| Errore sull'angolo orizzontale | 0.00000c |
| Distanza orizzontale | 79.1499 |
| Deviazione sulla distanza orizzontale | 0.0000 |
| Errore sulla distanza orizzontale | 0.0000 |

Misura

| | |
|---|----------|
| Strato | 1 |
| Angolo orizzontale | 8.18860c |
| Distanza orizzontale | 79.1499 |
| Angolo orizzontale 1 | 8.18860c |
| Distanza orizzontale 1 | 79.1499 |
| Angolo orizzontale 2 | 8.18860c |
| Distanza orizzontale 2 | 79.1499 |
| Deviazione sull'angolo orizzontale | 0.00000c |
| Deviazione sulla distanza orizzontale | 0.0000 |

Stazione

| | |
|----------------------------|--------------|
| Nome della stazione | PSS223057 |
| E | 689232.9567 |
| N | 4794644.5810 |
| Quota | 203.945 |
| Angolo di correzione | 0.00000c |

Dati utilizzati per la posizione

Misura tacheometrica

| | |
|---|--------------|
| Nome della stazione | CS015 |
| Nome del punto osservato | PSS223057 |
| Distanza orizzontale | 69.8698 |
| Distanza orizzontale avanti | 69.8698 |
| Distanza orizzontale indietro | 69.8698 |
| Errore sulla distanza orizzontale | 0.0000 |
| Azimut | 216.85670c |
| Angolo orizzontale | 216.85670c |
| Angolo di correzione | 0.00000c |
| E | 689232.9567 |
| N | 4794644.5810 |
| E precedente | 689251.2417 |
| N precedente | 4794712.0158 |
| dE | -18.2850 |
| dN | -67.4348 |

Misure in avanti

| | |
|---|------------|
| Nome della stazione | CS015 |
| Nome del punto osservato | PSS223057 |
| Angolo orizzontale | 216.85670c |
| Deviazione sull'angolo orizzontale | 0.00000c |
| Errore sull'angolo orizzontale | 0.00000c |
| Distanza orizzontale | 69.8698 |
| Deviazione sulla distanza orizzontale | 0.0000 |
| Errore sulla distanza orizzontale | 0.0000 |

Misura

| | |
|---|------------|
| Strato | 1 |
| Angolo orizzontale | 216.85670c |
| Distanza orizzontale | 69.8698 |
| Angolo orizzontale 1 | 216.85670c |
| Distanza orizzontale 1 | 69.8698 |
| Angolo orizzontale 2 | 216.85670c |
| Distanza orizzontale 2 | 69.8698 |
| Deviazione sull'angolo orizzontale | 0.00000c |
| Deviazione sulla distanza orizzontale | 0.0000 |

Misure indietro

| | |
|---|-----------|
| Nome della stazione | PSS223057 |
| Nome del punto osservato | CS015 |
| Distanza orizzontale | 69.8698 |
| Deviazione sulla distanza orizzontale | 0.0000 |
| Errore sulla distanza orizzontale | 0.0000 |

Misura

| | |
|---|---------|
| Strato | 1 |
| Distanza orizzontale | 69.8698 |
| Distanza orizzontale 1 | 69.8698 |
| Distanza orizzontale 2 | 69.8698 |
| Deviazione sulla distanza orizzontale | 0.0000 |

Dati utilizzati per la quota

Misura per quota

| | |
|--------------------------------|-----------|
| Nome della stazione | CS015 |
| Nome del punto osservato | PSS223057 |
| Altezza strumento | 1.569 |
| Dislivello | 0.198 |
| Dislivello in avanti | 0.196 |
| Dislivello indietro | -0.200 |
| Errore sul dislivello | 0.003 |
| Quota | 203.945 |
| Quota precedente | 203.747 |

Misure in avanti

| | |
|---------------------------------|-----------|
| Nome della stazione | CS015 |
| Nome del punto osservato | PSS223057 |
| Dislivello | 0.196 |
| Deviazione sul dislivello | 0.000 |
| Errore sul dislivello | 0.000 |

Misura

| | |
|--|-----------|
| Strato | 1 |
| Altezza prisma | 1.525 |
| Angolo verticale | 99.86105c |
| Angolo verticale 1 | 99.86180c |
| Angolo verticale 2 | 99.86030c |
| Deviazione sull'angolo verticale | -0.00075c |
| Dislivello | 0.196 |
| Dislivello 1 | 0.196 |
| Dislivello 2 | 0.197 |
| Deviazione sul dislivello | 0.002 |

Misure indietro

| | |
|---------------------------------|-----------|
| Nome della stazione | PSS223057 |
| Nome del punto osservato | CS015 |
| Dislivello | -0.200 |
| Deviazione sul dislivello | 0.000 |
| Errore sul dislivello | 0.000 |

Misura

| | |
|--|------------|
| Strato | 1 |
| Altezza prisma | 1.569 |
| Angolo verticale | 100.14195c |
| Angolo verticale 1 | 100.14210c |
| Angolo verticale 2 | 100.14180c |
| Deviazione sull'angolo verticale | -0.00015c |
| Dislivello | -0.200 |
| Dislivello 1 | -0.200 |
| Dislivello 2 | -0.200 |
| Deviazione sul dislivello | 0.000 |

Dati utilizzati per l'orientamento

Orientamento

| | |
|--------------------------------|-----------|
| Nome della stazione | PSS223057 |
| Nome del punto osservato | CS015 |
| Azimut | 16.85670c |
| Angolo orizzontale | 16.85670c |
| Angolo di correzione | 0.00000c |

Misure

| | |
|---|-----------|
| Nome della stazione | PSS223057 |
| Nome del punto osservato | CS015 |
| Angolo orizzontale | 16.85670c |
| Deviazione sull'angolo orizzontale | 0.00000c |
| Errore sull'angolo orizzontale | 0.00000c |
| Distanza orizzontale | 69.8698 |
| Deviazione sulla distanza orizzontale | 0.0000 |
| Errore sulla distanza orizzontale | 0.0000 |

Misura

| | |
|---|-----------|
| Strato | 1 |
| Angolo orizzontale | 16.85670c |
| Distanza orizzontale | 69.8698 |
| Angolo orizzontale 1 | 16.85670c |
| Distanza orizzontale 1 | 69.8698 |
| Angolo orizzontale 2 | 16.85670c |
| Distanza orizzontale 2 | 69.8698 |
| Deviazione sull'angolo orizzontale | 0.00000c |
| Deviazione sulla distanza orizzontale | 0.0000 |

| | |
|----------------------------|--------------|
| Nome della stazione | PSS223058 |
| E | 689176.8178 |
| N | 4794512.5632 |
| Quota | 204.794 |
| Angolo di correzione | 0.00000c |

Dati utilizzati per la posizione

Misura tacheometrica

| | |
|---|--------------|
| Nome della stazione | PSS223057 |
| Nome del punto osservato | PSS223058 |
| Distanza orizzontale | 143.4583 |
| Distanza orizzontale avanti | 143.4583 |
| Distanza orizzontale indietro | 143.4582 |
| Errore sulla distanza orizzontale | 0.0001 |
| Azimut | 225.59665c |
| Angolo orizzontale | 225.59665c |
| Angolo di correzione | 0.00000c |
| E | 689176.8178 |
| N | 4794512.5632 |
| E precedente | 689232.9567 |
| N precedente | 4794644.5810 |
| dE | -56.1388 |
| dN | -132.0178 |

Misure in avanti

| | |
|---|------------|
| Nome della stazione | PSS223057 |
| Nome del punto osservato | PSS223058 |
| Angolo orizzontale | 225.59665c |
| Deviazione sull'angolo orizzontale | 0.00000c |
| Errore sull'angolo orizzontale | 0.00000c |
| Distanza orizzontale | 143.4583 |
| Deviazione sulla distanza orizzontale | 0.0000 |
| Errore sulla distanza orizzontale | 0.0000 |

Misura

| | |
|---|------------|
| Strato | 1 |
| Angolo orizzontale | 225.59665c |
| Distanza orizzontale | 143.4583 |
| Angolo orizzontale 1 | 225.59660c |
| Distanza orizzontale 1 | 143.4583 |
| Angolo orizzontale 2 | 225.59670c |
| Distanza orizzontale 2 | 143.4583 |
| Deviazione sull'angolo orizzontale | 0.00005c |
| Deviazione sulla distanza orizzontale | 0.0000 |

Misure indietro

| | |
|---|-----------|
| Nome della stazione | PSS223058 |
| Nome del punto osservato | PSS223057 |
| Distanza orizzontale | 143.4582 |
| Deviazione sulla distanza orizzontale | 0.0000 |
| Errore sulla distanza orizzontale | 0.0000 |

Misura

| | |
|---|----------|
| Strato | 1 |
| Distanza orizzontale | 143.4582 |
| Distanza orizzontale 1 | 143.4582 |
| Distanza orizzontale 2 | 143.4582 |
| Deviazione sulla distanza orizzontale | 0.0000 |

Dati utilizzati per la quota

Misura per quota

| | |
|--------------------------------|-----------|
| Nome della stazione | PSS223057 |
| Nome del punto osservato | PSS223058 |
| Altezza strumento | 1.525 |
| Dislivello | 0.849 |
| Dislivello in avanti | 0.841 |
| Dislivello indietro | -0.857 |
| Errore sul dislivello | 0.015 |
| Quota | 204.794 |
| Quota precedente | 203.945 |

Misure in avanti

| | |
|---------------------------------|-----------|
| Nome della stazione | PSS223057 |
| Nome del punto osservato | PSS223058 |
| Dislivello | 0.841 |
| Deviazione sul dislivello | 0.000 |
| Errore sul dislivello | 0.000 |

Misura

| | |
|----------------------|-------|
| Strato | 1 |
| Altezza prisma | 1.561 |

| | |
|--|-----------|
| Angolo verticale | 99.61060c |
| Angolo verticale 1 | 99.61230c |
| Angolo verticale 2 | 99.60890c |
| Deviazione sull'angolo verticale | -0.00170c |
| Dislivello | 0.841 |
| Dislivello 1 | 0.838 |
| Dislivello 2 | 0.845 |
| Deviazione sul dislivello | 0.008 |

Misure indietro

| | |
|---------------------------------|-----------|
| Nome della stazione | PSS223058 |
| Nome del punto osservato | PSS223057 |
| Dislivello | -0.857 |
| Deviazione sul dislivello | 0.000 |
| Errore sul dislivello | 0.000 |

Misura

| | |
|--|------------|
| Strato | 1 |
| Altezza prisma | 1.525 |
| Angolo verticale | 100.39620c |
| Angolo verticale 1 | 100.39750c |
| Angolo verticale 2 | 100.39490c |
| Deviazione sull'angolo verticale | -0.00130c |
| Dislivello | -0.857 |
| Dislivello 1 | -0.860 |
| Dislivello 2 | -0.854 |
| Deviazione sul dislivello | 0.006 |

Dati utilizzati per l'orientamento

Orientamento

| | |
|--------------------------------|-----------|
| Nome della stazione | PSS223058 |
| Nome del punto osservato | PSS223057 |
| Azimut | 25.59665c |
| Angolo orizzontale | 25.59665c |
| Angolo di correzione | 0.00000c |

Misure

| | |
|---|-----------|
| Nome della stazione | PSS223058 |
| Nome del punto osservato | PSS223057 |
| Angolo orizzontale | 25.59665c |
| Deviazione sull'angolo orizzontale | 0.00000c |
| Errore sull'angolo orizzontale | 0.00000c |
| Distanza orizzontale | 143.4582 |
| Deviazione sulla distanza orizzontale | 0.0000 |
| Errore sulla distanza orizzontale | 0.0000 |

Misura

| | |
|---|-----------|
| Strato | 1 |
| Angolo orizzontale | 25.59665c |
| Distanza orizzontale | 143.4582 |
| Angolo orizzontale 1 | 25.59660c |
| Distanza orizzontale 1 | 143.4582 |
| Angolo orizzontale 2 | 25.59670c |
| Distanza orizzontale 2 | 143.4582 |
| Deviazione sull'angolo orizzontale | 0.00005c |
| Deviazione sulla distanza orizzontale | 0.0000 |

Stazione

| | |
|----------------------------|--------------|
| Nome della stazione | CS016 |
| E | 689146.0609 |
| N | 4794454.9217 |
| Quota | 204.990 |
| Angolo di correzione | 0.00000c |

Dati utilizzati per la posizione

Misura tacheometrica

| | |
|---|--------------|
| Nome della stazione | PSS223058 |
| Nome del punto osservato | CS016 |
| Distanza orizzontale | 65.3340 |
| Distanza orizzontale avanti | 65.3342 |
| Distanza orizzontale indietro | 65.3337 |
| Errore sulla distanza orizzontale | 0.0005 |
| Azimut | 231.20440c |
| Angolo orizzontale | 231.20440c |
| Angolo di correzione | 0.00000c |
| E | 689146.0609 |
| N | 4794454.9217 |
| E precedente | 689176.8178 |
| N precedente | 4794512.5632 |

| | |
|---|------------|
| dE | -30.7569 |
| dN | -57.6415 |
| Misure in avanti | |
| Nome della stazione | PSS223058 |
| Nome del punto osservato | CS016 |
| Angolo orizzontale | 231.20440c |
| Deviazione sull'angolo orizzontale | 0.00000c |
| Errore sull'angolo orizzontale | 0.00000c |
| Distanza orizzontale | 65.3342 |
| Deviazione sulla distanza orizzontale | 0.0000 |
| Errore sulla distanza orizzontale | 0.0000 |
| Misura | |
| Strato | 1 |
| Angolo orizzontale | 231.20440c |
| Distanza orizzontale | 65.3342 |
| Angolo orizzontale 1 | 231.20440c |
| Distanza orizzontale 1 | 65.3337 |
| Angolo orizzontale 2 | 231.20440c |
| Distanza orizzontale 2 | 65.3347 |
| Deviazione sull'angolo orizzontale | 0.00000c |
| Deviazione sulla distanza orizzontale | 0.0005 |
| Misure indietro | |
| Nome della stazione | CS016 |
| Nome del punto osservato | PSS223058 |
| Distanza orizzontale | 65.3337 |
| Deviazione sulla distanza orizzontale | 0.0000 |
| Errore sulla distanza orizzontale | 0.0000 |
| Misura | |
| Strato | 1 |
| Distanza orizzontale | 65.3337 |
| Distanza orizzontale 1 | 65.3337 |
| Distanza orizzontale 2 | 65.3337 |
| Deviazione sulla distanza orizzontale | 0.0000 |
| Dati utilizzati per la quota | |
| Misura per quota | |
| Nome della stazione | PSS223058 |
| Nome del punto osservato | CS016 |
| Altezza strumento | 1.561 |
| Dislivello | 0.196 |
| Dislivello in avanti | 0.196 |
| Dislivello indietro | -0.197 |
| Errore sul dislivello | 0.001 |
| Quota | 204.990 |
| Quota precedente | 204.794 |
| Misure in avanti | |
| Nome della stazione | PSS223058 |
| Nome del punto osservato | CS016 |
| Dislivello | 0.196 |
| Deviazione sul dislivello | 0.000 |
| Errore sul dislivello | 0.000 |
| Misura | |
| Strato | 1 |
| Altezza prisma | 1.554 |
| Angolo verticale | 99.81600c |
| Angolo verticale 1 | 99.81860c |
| Angolo verticale 2 | 99.81340c |
| Deviazione sull'angolo verticale | -0.00260c |
| Dislivello | 0.196 |
| Dislivello 1 | 0.193 |
| Dislivello 2 | 0.199 |
| Deviazione sul dislivello | 0.005 |
| Misure indietro | |
| Nome della stazione | CS016 |
| Nome del punto osservato | PSS223058 |
| Dislivello | -0.197 |
| Deviazione sul dislivello | 0.000 |
| Errore sul dislivello | 0.000 |
| Misura | |
| Strato | 1 |
| Altezza prisma | 1.561 |
| Angolo verticale | 100.18525c |
| Angolo verticale 1 | 100.18690c |

| | |
|--|------------|
| Angolo verticale 2 | 100.18360c |
| Deviazione sull'angolo verticale | -0.00165c |
| Dislivello | -0.197 |
| Dislivello 1 | -0.199 |
| Dislivello 2 | -0.195 |
| Deviazione sul dislivello | 0.003 |

Dati utilizzati per l'orientamento

Orientamento

| | |
|--------------------------------|-----------|
| Nome della stazione | CS016 |
| Nome del punto osservato | PSS223058 |
| Azimut | 31.20440c |
| Angolo orizzontale | 31.20440c |
| Angolo di correzione | 0.00000c |

Misure

| | |
|---|-----------|
| Nome della stazione | CS016 |
| Nome del punto osservato | PSS223058 |
| Angolo orizzontale | 31.20440c |
| Deviazione sull'angolo orizzontale | 0.00000c |
| Errore sull'angolo orizzontale | 0.00000c |
| Distanza orizzontale | 65.3337 |
| Deviazione sulla distanza orizzontale | 0.0000 |
| Errore sulla distanza orizzontale | 0.0000 |

Misura

| | |
|---|-----------|
| Strato | 1 |
| Angolo orizzontale | 31.20440c |
| Distanza orizzontale | 65.3337 |
| Angolo orizzontale 1 | 31.20440c |
| Distanza orizzontale 1 | 65.3337 |
| Angolo orizzontale 2 | 31.20440c |
| Distanza orizzontale 2 | 65.3337 |
| Deviazione sull'angolo orizzontale | 0.00000c |
| Deviazione sulla distanza orizzontale | 0.0000 |

Stazione

| | |
|----------------------------|--------------|
| Nome della stazione | PSS223059 |
| E | 689032.3432 |
| N | 4794290.8498 |
| Quota | 206.111 |
| Angolo di correzione | 399.99950c |

Dati utilizzati per la posizione

Misura tacheometrica

| | |
|---|--------------|
| Nome della stazione | CS016 |
| Nome del punto osservato | PSS223059 |
| Distanza orizzontale | 199.6280 |
| Distanza orizzontale avanti | 199.6280 |
| Distanza orizzontale indietro | 199.6279 |
| Errore sulla distanza orizzontale | 0.0001 |
| Azimut | 238.58410c |
| Angolo orizzontale | 238.58410c |
| Angolo di correzione | 0.00000c |
| E | 689032.3432 |
| N | 4794290.8498 |
| E precedente | 689146.0609 |
| N precedente | 4794454.9217 |
| dE | -113.7177 |
| dN | -164.0720 |

Misure in avanti

| | |
|---|------------|
| Nome della stazione | CS016 |
| Nome del punto osservato | PSS223059 |
| Angolo orizzontale | 238.58410c |
| Deviazione sull'angolo orizzontale | 0.00000c |
| Errore sull'angolo orizzontale | 0.00000c |
| Distanza orizzontale | 199.6280 |
| Deviazione sulla distanza orizzontale | 0.0000 |
| Errore sulla distanza orizzontale | 0.0000 |

Misura

| | |
|--|------------|
| Strato | 1 |
| Angolo orizzontale | 238.58410c |
| Distanza orizzontale | 199.6280 |
| Angolo orizzontale 1 | 238.58470c |
| Distanza orizzontale 1 | 199.6280 |
| Angolo orizzontale 2 | 238.58350c |
| Distanza orizzontale 2 | 199.6280 |
| Deviazione sull'angolo orizzontale | -0.00060c |

..... Deviazione sulla distanza orizzontale 0.0000

Misure indietro

..... Nome della stazione PSS223059
 Nome del punto osservato CS016
 Distanza orizzontale 199.6279
 Deviazione sulla distanza orizzontale 0.0000
 Errore sulla distanza orizzontale 0.0000

Misura

..... Strato 1
 Distanza orizzontale 199.6279
 Distanza orizzontale 1 199.6279
 Distanza orizzontale 2 199.6279
 Deviazione sulla distanza orizzontale 0.0000

Dati utilizzati per la quota

Misura per quota

..... Nome della stazione CS016
 Nome del punto osservato PSS223059
 Altezza strumento 1.554
 Dislivello 1.121
 Dislivello in avanti 1.112
 Dislivello indietro -1.130
 Errore sul dislivello 0.018
 Quota 206.111
 Quota precedente 204.990

Misure in avanti

..... Nome della stazione CS016
 Nome del punto osservato PSS223059
 Dislivello 1.112
 Deviazione sul dislivello 0.000
 Errore sul dislivello 0.000

Misura

..... Strato 1
 Altezza prisma 1.530
 Angolo verticale 99.65300c
 Angolo verticale 1 99.65390c
 Angolo verticale 2 99.65210c
 Deviazione sull'angolo verticale -0.00090c
 Dislivello 1.112
 Dislivello 1 1.109
 Dislivello 2 1.115
 Deviazione sul dislivello 0.006

Misure indietro

..... Nome della stazione PSS223059
 Nome del punto osservato CS016
 Dislivello -1.130
 Deviazione sul dislivello 0.000
 Errore sul dislivello 0.000

Misura

..... Strato 1
 Altezza prisma 1.554
 Angolo verticale 100.35270c
 Angolo verticale 1 100.35290c
 Angolo verticale 2 100.35250c
 Deviazione sull'angolo verticale -0.00020c
 Dislivello -1.130
 Dislivello 1 -1.131
 Dislivello 2 -1.129
 Deviazione sul dislivello 0.001

Dati utilizzati per l'orientamento

Orientamento

..... Nome della stazione PSS223059
 Nome del punto osservato CS016
 Azimut 38.58410c
 Angolo orizzontale 38.58460c
 Angolo di correzione 399.99950c

Misure

..... Nome della stazione PSS223059
 Nome del punto osservato CS016
 Angolo orizzontale 38.58460c
 Deviazione sull'angolo orizzontale 0.00000c
 Errore sull'angolo orizzontale 0.00000c

| | |
|---|-----------|
| Distanza orizzontale | 199.6279 |
| Deviazione sulla distanza orizzontale | 0.0000 |
| Errore sulla distanza orizzontale | 0.0000 |
| Misura | |
| Strato | 1 |
| Angolo orizzontale | 38.58460c |
| Distanza orizzontale | 199.6279 |
| Angolo orizzontale 1 | 38.58510c |
| Distanza orizzontale 1 | 199.6279 |
| Angolo orizzontale 2 | 38.58410c |
| Distanza orizzontale 2 | 199.6279 |
| Deviazione sull'angolo orizzontale | -0.00050c |
| Deviazione sulla distanza orizzontale | 0.0000 |

Stazione

| | |
|----------------------------|--------------|
| Nome della stazione | PSS223060 |
| E | 688897.0397 |
| N | 4794079.2957 |
| Quota | 208.211 |
| Angolo di correzione | 399.99955c |

Dati utilizzati per la posizione

Misura tacheometrica

| | |
|---|--------------|
| Nome della stazione | PSS223059 |
| Nome del punto osservato | PSS223060 |
| Distanza orizzontale | 251.1218 |
| Distanza orizzontale avanti | 251.1219 |
| Distanza orizzontale indietro | 251.1217 |
| Errore sulla distanza orizzontale | 0.0003 |
| Azimut | 236.22415c |
| Angolo orizzontale | 236.22465c |
| Angolo di correzione | 399.99950c |
| E | 688897.0397 |
| N | 4794079.2957 |
| E precedente | 689032.3432 |
| N precedente | 4794290.8498 |
| dE | -135.3035 |
| dN | -211.5541 |

Misure in avanti

| | |
|---|------------|
| Nome della stazione | PSS223059 |
| Nome del punto osservato | PSS223060 |
| Angolo orizzontale | 236.22465c |
| Deviazione sull'angolo orizzontale | 0.00000c |
| Errore sull'angolo orizzontale | 0.00000c |
| Distanza orizzontale | 251.1219 |
| Deviazione sulla distanza orizzontale | 0.0000 |
| Errore sulla distanza orizzontale | 0.0000 |

Misura

| | |
|---|------------|
| Strato | 1 |
| Angolo orizzontale | 236.22465c |
| Distanza orizzontale | 251.1219 |
| Angolo orizzontale 1 | 236.22430c |
| Distanza orizzontale 1 | 251.1220 |
| Angolo orizzontale 2 | 236.22500c |
| Distanza orizzontale 2 | 251.1219 |
| Deviazione sull'angolo orizzontale | 0.00035c |
| Deviazione sulla distanza orizzontale | 0.0000 |

Misure indietro

| | |
|---|-----------|
| Nome della stazione | PSS223060 |
| Nome del punto osservato | PSS223059 |
| Distanza orizzontale | 251.1217 |
| Deviazione sulla distanza orizzontale | 0.0000 |
| Errore sulla distanza orizzontale | 0.0000 |

Misura

| | |
|---|----------|
| Strato | 1 |
| Distanza orizzontale | 251.1217 |
| Distanza orizzontale 1 | 251.1216 |
| Distanza orizzontale 2 | 251.1217 |
| Deviazione sulla distanza orizzontale | 0.0000 |

Dati utilizzati per la quota

Misura per quota

| | |
|--------------------------------|-----------|
| Nome della stazione | PSS223059 |
| Nome del punto osservato | PSS223060 |
| Altezza strumento | 1.530 |

| | |
|-----------------------------|---------|
| Dislivello | 2.100 |
| Dislivello in avanti | 2.083 |
| Dislivello indietro | -2.117 |
| Errore sul dislivello | 0.034 |
| Quota | 208.211 |
| Quota precedente | 206.111 |

Misure in avanti

| | |
|---------------------------------|-----------|
| Nome della stazione | PSS223059 |
| Nome del punto osservato | PSS223060 |
| Dislivello | 2.083 |
| Deviazione sul dislivello | 0.000 |
| Errore sul dislivello | 0.000 |

Misura

| | |
|--|-----------|
| Strato | 1 |
| Altezza prisma | 1.461 |
| Angolo verticale | 99.48940c |
| Angolo verticale 1 | 99.49060c |
| Angolo verticale 2 | 99.48820c |
| Deviazione sull'angolo verticale | -0.00120c |
| Dislivello | 2.083 |
| Dislivello 1 | 2.078 |
| Dislivello 2 | 2.088 |
| Deviazione sul dislivello | 0.009 |

Misure indietro

| | |
|---------------------------------|-----------|
| Nome della stazione | PSS223060 |
| Nome del punto osservato | PSS223059 |
| Dislivello | -2.117 |
| Deviazione sul dislivello | 0.000 |
| Errore sul dislivello | 0.000 |

Misura

| | |
|--|------------|
| Strato | 1 |
| Altezza prisma | 1.530 |
| Angolo verticale | 100.51910c |
| Angolo verticale 1 | 100.52000c |
| Angolo verticale 2 | 100.51820c |
| Deviazione sull'angolo verticale | -0.00090c |
| Dislivello | -2.117 |
| Dislivello 1 | -2.120 |
| Dislivello 2 | -2.113 |
| Deviazione sul dislivello | 0.007 |

Dati utilizzati per l'orientamento

Orientamento

| | |
|--------------------------------|------------|
| Nome della stazione | PSS223060 |
| Nome del punto osservato | PSS223059 |
| Azimut | 36.22415c |
| Angolo orizzontale | 36.22460c |
| Angolo di correzione | 399.99955c |

Misure

| | |
|---|-----------|
| Nome della stazione | PSS223060 |
| Nome del punto osservato | PSS223059 |
| Angolo orizzontale | 36.22460c |
| Deviazione sull'angolo orizzontale | 0.00000c |
| Errore sull'angolo orizzontale | 0.00000c |
| Distanza orizzontale | 251.1217 |
| Deviazione sulla distanza orizzontale | 0.0000 |
| Errore sulla distanza orizzontale | 0.0000 |

Misura

| | |
|---|-----------|
| Strato | 1 |
| Angolo orizzontale | 36.22460c |
| Distanza orizzontale | 251.1217 |
| Angolo orizzontale 1 | 36.22490c |
| Distanza orizzontale 1 | 251.1216 |
| Angolo orizzontale 2 | 36.22430c |
| Distanza orizzontale 2 | 251.1217 |
| Deviazione sull'angolo orizzontale | -0.00030c |
| Deviazione sulla distanza orizzontale | 0.0000 |

Stazione

| | |
|----------------------------|--------------|
| Nome della stazione | CS017 |
| E | 688873.2362 |
| N | 4793982.3557 |
| Quota | 208.879 |
| Angolo di correzione | 399.99870c |

Dati utilizzati per la posizione

Misura tacheometrica

| | |
|---|--------------|
| Nome della stazione | PSS223060 |
| Nome del punto osservato | CS017 |
| Distanza orizzontale | 99.8197 |
| Distanza orizzontale avanti | 99.8200 |
| Distanza orizzontale indietro | 99.8194 |
| Errore sulla distanza orizzontale | 0.0005 |
| Azimut | 215.32885c |
| Angolo orizzontale | 215.32930c |
| Angolo di correzione | 399.99955c |
| E | 688873.2362 |
| N | 4793982.3557 |
| E precedente | 688897.0397 |
| N precedente | 4794079.2957 |
| dE | -23.8035 |
| dN | -96.9400 |

Misure in avanti

| | |
|---|------------|
| Nome della stazione | PSS223060 |
| Nome del punto osservato | CS017 |
| Angolo orizzontale | 215.32930c |
| Deviazione sull'angolo orizzontale | 0.00000c |
| Errore sull'angolo orizzontale | 0.00000c |
| Distanza orizzontale | 99.8200 |
| Deviazione sulla distanza orizzontale | 0.0000 |
| Errore sulla distanza orizzontale | 0.0000 |

Misura

| | |
|---|------------|
| Strato | 1 |
| Angolo orizzontale | 215.32930c |
| Distanza orizzontale | 99.8200 |
| Angolo orizzontale 1 | 215.33040c |
| Distanza orizzontale 1 | 99.8205 |
| Angolo orizzontale 2 | 215.32820c |
| Distanza orizzontale 2 | 99.8195 |
| Deviazione sull'angolo orizzontale | -0.00110c |
| Deviazione sulla distanza orizzontale | -0.0005 |

Misure indietro

| | |
|---|-----------|
| Nome della stazione | CS017 |
| Nome del punto osservato | PSS223060 |
| Distanza orizzontale | 99.8194 |
| Deviazione sulla distanza orizzontale | 0.0000 |
| Errore sulla distanza orizzontale | 0.0000 |

Misura

| | |
|---|---------|
| Strato | 1 |
| Distanza orizzontale | 99.8194 |
| Distanza orizzontale 1 | 99.8194 |
| Distanza orizzontale 2 | 99.8194 |
| Deviazione sulla distanza orizzontale | 0.0000 |

Dati utilizzati per la quota

Misura per quota

| | |
|--------------------------------|-----------|
| Nome della stazione | PSS223060 |
| Nome del punto osservato | CS017 |
| Altezza strumento | 1.461 |
| Dislivello | 0.668 |
| Dislivello in avanti | 0.666 |
| Dislivello indietro | -0.669 |
| Errore sul dislivello | 0.003 |
| Quota | 208.879 |
| Quota precedente | 208.211 |

Misure in avanti

| | |
|---------------------------------|-----------|
| Nome della stazione | PSS223060 |
| Nome del punto osservato | CS017 |
| Dislivello | 0.666 |
| Deviazione sul dislivello | 0.000 |
| Errore sul dislivello | 0.000 |

Misura

| | |
|--|-----------|
| Strato | 1 |
| Altezza prisma | 1.507 |
| Angolo verticale | 99.54565c |
| Angolo verticale 1 | 99.54620c |
| Angolo verticale 2 | 99.54510c |
| Deviazione sull'angolo verticale | -0.00055c |
| Dislivello | 0.666 |

| | |
|---------------------------------|-------|
| Dislivello 1 | 0.666 |
| Dislivello 2 | 0.667 |
| Deviazione sul dislivello | 0.002 |

Misure indietro

| | |
|---------------------------------|-----------|
| Nome della stazione | CS017 |
| Nome del punto osservato | PSS223060 |
| Dislivello | -0.669 |
| Deviazione sul dislivello | 0.000 |
| Errore sul dislivello | 0.000 |

Misura

| | |
|--|------------|
| Strato | 1 |
| Altezza prisma | 1.461 |
| Angolo verticale | 100.45620c |
| Angolo verticale 1 | 100.45660c |
| Angolo verticale 2 | 100.45580c |
| Deviazione sull'angolo verticale | -0.00040c |
| Dislivello | -0.669 |
| Dislivello 1 | -0.670 |
| Dislivello 2 | -0.669 |
| Deviazione sul dislivello | 0.001 |

Dati utilizzati per l'orientamento

Orientamento

| | |
|--------------------------------|------------|
| Nome della stazione | CS017 |
| Nome del punto osservato | PSS223060 |
| Azimut | 15.32885c |
| Angolo orizzontale | 15.33015c |
| Angolo di correzione | 399.99870c |

Misure

| | |
|---|-----------|
| Nome della stazione | CS017 |
| Nome del punto osservato | PSS223060 |
| Angolo orizzontale | 15.33015c |
| Deviazione sull'angolo orizzontale | 0.00000c |
| Errore sull'angolo orizzontale | 0.00000c |
| Distanza orizzontale | 99.8194 |
| Deviazione sulla distanza orizzontale | 0.0000 |
| Errore sulla distanza orizzontale | 0.0000 |

Misura

| | |
|---|-----------|
| Strato | 1 |
| Angolo orizzontale | 15.33015c |
| Distanza orizzontale | 99.8194 |
| Angolo orizzontale 1 | 15.33100c |
| Distanza orizzontale 1 | 99.8194 |
| Angolo orizzontale 2 | 15.32930c |
| Distanza orizzontale 2 | 99.8194 |
| Deviazione sull'angolo orizzontale | -0.00085c |
| Deviazione sulla distanza orizzontale | 0.0000 |

Stazione

| | |
|----------------------------|--------------|
| Nome della stazione | LSS223013 |
| E | 688874.4542 |
| N | 4793898.6448 |
| Quota | 209.872 |
| Angolo di correzione | 399.99910c |

Dati utilizzati per la posizione

Misura tacheometrica

| | |
|---|--------------|
| Nome della stazione | CS017 |
| Nome del punto osservato | LSS223013 |
| Distanza orizzontale | 83.7198 |
| Distanza orizzontale avanti | 83.7198 |
| Distanza orizzontale indietro | 83.7197 |
| Errore sulla distanza orizzontale | 0.0000 |
| Azimut | 199.07380c |
| Angolo orizzontale | 199.07510c |
| Angolo di correzione | 399.99870c |
| E | 688874.4542 |
| N | 4793898.6448 |
| E precedente | 688873.2362 |
| N precedente | 4793982.3557 |
| dE | 1.2180 |
| dN | -83.7109 |

Misure in avanti

| | |
|--------------------------------|-----------|
| Nome della stazione | CS017 |
| Nome del punto osservato | LSS223013 |

| | |
|---|------------|
| Angolo orizzontale | 199.07510c |
| Deviazione sull'angolo orizzontale | 0.00000c |
| Errore sull'angolo orizzontale | 0.00000c |
| Distanza orizzontale | 83.7198 |
| Deviazione sulla distanza orizzontale | 0.0000 |
| Errore sulla distanza orizzontale | 0.0000 |

Misura

| | |
|---|------------|
| Strato | 1 |
| Angolo orizzontale | 199.07510c |
| Distanza orizzontale | 83.7198 |
| Angolo orizzontale 1 | 199.07490c |
| Distanza orizzontale 1 | 83.7198 |
| Angolo orizzontale 2 | 199.07530c |
| Distanza orizzontale 2 | 83.7198 |
| Deviazione sull'angolo orizzontale | 0.00020c |
| Deviazione sulla distanza orizzontale | 0.0000 |

Misure indietro

| | |
|---|-----------|
| Nome della stazione | LSS223013 |
| Nome del punto osservato | CS017 |
| Distanza orizzontale | 83.7197 |
| Deviazione sulla distanza orizzontale | 0.0000 |
| Errore sulla distanza orizzontale | 0.0000 |

Misura

| | |
|---|---------|
| Strato | 1 |
| Distanza orizzontale | 83.7197 |
| Distanza orizzontale 1 | 83.7197 |
| Distanza orizzontale 2 | 83.7198 |
| Deviazione sulla distanza orizzontale | 0.0000 |

Dati utilizzati per la quota

Misura per quota

| | |
|--------------------------------|-----------|
| Nome della stazione | CS017 |
| Nome del punto osservato | LSS223013 |
| Altezza strumento | 1.507 |
| Dislivello | 0.993 |
| Dislivello in avanti | 0.992 |
| Dislivello indietro | -0.994 |
| Errore sul dislivello | 0.002 |
| Quota | 209.872 |
| Quota precedente | 208.879 |

Misure in avanti

| | |
|---------------------------------|-----------|
| Nome della stazione | CS017 |
| Nome del punto osservato | LSS223013 |
| Dislivello | 0.992 |
| Deviazione sul dislivello | 0.000 |
| Errore sul dislivello | 0.000 |

Misura

| | |
|--|-----------|
| Strato | 1 |
| Altezza prisma | 1.536 |
| Angolo verticale | 99.22360c |
| Angolo verticale 1 | 99.22430c |
| Angolo verticale 2 | 99.22290c |
| Deviazione sull'angolo verticale | -0.00070c |
| Dislivello | 0.992 |
| Dislivello 1 | 0.991 |
| Dislivello 2 | 0.993 |
| Deviazione sul dislivello | 0.002 |

Misure indietro

| | |
|---------------------------------|-----------|
| Nome della stazione | LSS223013 |
| Nome del punto osservato | CS017 |
| Dislivello | -0.994 |
| Deviazione sul dislivello | 0.000 |
| Errore sul dislivello | 0.000 |

Misura

| | |
|--|------------|
| Strato | 1 |
| Altezza prisma | 1.507 |
| Angolo verticale | 100.77810c |
| Angolo verticale 1 | 100.77910c |
| Angolo verticale 2 | 100.77710c |
| Deviazione sull'angolo verticale | -0.00100c |
| Dislivello | -0.994 |
| Dislivello 1 | -0.996 |
| Dislivello 2 | -0.993 |

..... Deviazione sul dislivello 0.003

Dati utilizzati per l'orientamento

Orientamento

..... Nome della stazione LSS223013
 Nome del punto osservato CS017
 Azimut 399.07380c
 Angolo orizzontale 399.07470c
 Angolo di correzione 399.99910c

Misure

..... Nome della stazione LSS223013
 Nome del punto osservato CS017
 Angolo orizzontale 399.07470c
 Deviazione sull'angolo orizzontale 0.00000c
 Errore sull'angolo orizzontale 0.00000c
 Distanza orizzontale 83.7197
 Deviazione sulla distanza orizzontale 0.0000
 Errore sulla distanza orizzontale 0.0000

Misura

..... Strato 1
 Angolo orizzontale 399.07470c
 Distanza orizzontale 83.7197
 Angolo orizzontale 1 399.07470c
 Distanza orizzontale 1 83.7197
 Angolo orizzontale 2 399.07470c
 Distanza orizzontale 2 83.7198
 Deviazione sull'angolo orizzontale 0.00000c
 Deviazione sulla distanza orizzontale 0.0000

Stazione

..... Nome della stazione PSS223061
 E 688862.0141
 N 4793731.6969
 Quota 214.951
 Angolo di correzione 399.99860c

Dati utilizzati per la posizione

Misura tacheometrica

..... Nome della stazione LSS223013
 Nome del punto osservato PSS223061
 Distanza orizzontale 167.4107
 Distanza orizzontale avanti 167.4098
 Distanza orizzontale indietro 167.4117
 Errore sulla distanza orizzontale 0.0019
 Azimut 204.73500c
 Angolo orizzontale 204.73590c
 Angolo di correzione 399.99910c
 E 688862.0141
 N 4793731.6969
 E precedente 688874.4542
 N precedente 4793898.6448
 dE -12.4401
 dN -166.9479

Misure in avanti

..... Nome della stazione LSS223013
 Nome del punto osservato PSS223061
 Angolo orizzontale 204.73590c
 Deviazione sull'angolo orizzontale 0.00000c
 Errore sull'angolo orizzontale 0.00000c
 Distanza orizzontale 167.4098
 Deviazione sulla distanza orizzontale 0.0000
 Errore sulla distanza orizzontale 0.0000

Misura

..... Strato 1
 Angolo orizzontale 204.73590c
 Distanza orizzontale 167.4098
 Angolo orizzontale 1 204.73630c
 Distanza orizzontale 1 167.4098
 Angolo orizzontale 2 204.73550c
 Distanza orizzontale 2 167.4097
 Deviazione sull'angolo orizzontale -0.00040c
 Deviazione sulla distanza orizzontale 0.0000

Misure indietro

..... Nome della stazione PSS223061
 Nome del punto osservato LSS223013

| | |
|---|----------|
| Distanza orizzontale | 167.4117 |
| Deviazione sulla distanza orizzontale | 0.0000 |
| Errore sulla distanza orizzontale | 0.0000 |
| Misura | |
| Strato | 1 |
| Distanza orizzontale | 167.4117 |
| Distanza orizzontale 1 | 167.4116 |
| Distanza orizzontale 2 | 167.4117 |
| Deviazione sulla distanza orizzontale | 0.0001 |

Dati utilizzati per la quota

Misura per quota

| | |
|--------------------------------|-----------|
| Nome della stazione | LSS223013 |
| Nome del punto osservato | PSS223061 |
| Altezza strumento | 1.536 |
| Dislivello | 5.079 |
| Dislivello in avanti | 5.110 |
| Dislivello indietro | -5.048 |
| Errore sul dislivello | 0.062 |
| Quota | 214.951 |
| Quota precedente | 209.872 |

Misure in avanti

| | |
|---------------------------------|-----------|
| Nome della stazione | LSS223013 |
| Nome del punto osservato | PSS223061 |
| Dislivello | 5.110 |
| Deviazione sul dislivello | 0.000 |
| Errore sul dislivello | 0.000 |

Misura

| | |
|--|-----------|
| Strato | 1 |
| Altezza prisma | 1.544 |
| Angolo verticale | 98.05430c |
| Angolo verticale 1 | 98.05480c |
| Angolo verticale 2 | 98.05380c |
| Deviazione sull'angolo verticale | -0.00050c |
| Dislivello | 5.110 |
| Dislivello 1 | 5.109 |
| Dislivello 2 | 5.111 |
| Deviazione sul dislivello | 0.003 |

Misure indietro

| | |
|---------------------------------|-----------|
| Nome della stazione | PSS223061 |
| Nome del punto osservato | LSS223013 |
| Dislivello | -5.048 |
| Deviazione sul dislivello | 0.000 |
| Errore sul dislivello | 0.000 |

Misura

| | |
|--|------------|
| Strato | 1 |
| Altezza prisma | 1.536 |
| Angolo verticale | 101.92200c |
| Angolo verticale 1 | 101.92290c |
| Angolo verticale 2 | 101.92110c |
| Deviazione sull'angolo verticale | -0.00090c |
| Dislivello | -5.048 |
| Dislivello 1 | -5.050 |
| Dislivello 2 | -5.045 |
| Deviazione sul dislivello | 0.005 |

Dati utilizzati per l'orientamento

Orientamento

| | |
|--------------------------------|------------|
| Nome della stazione | PSS223061 |
| Nome del punto osservato | LSS223013 |
| Azimut | 4.73500c |
| Angolo orizzontale | 4.73640c |
| Angolo di correzione | 399.99860c |

Misure

| | |
|---|-----------|
| Nome della stazione | PSS223061 |
| Nome del punto osservato | LSS223013 |
| Angolo orizzontale | 4.73640c |
| Deviazione sull'angolo orizzontale | 0.00000c |
| Errore sull'angolo orizzontale | 0.00000c |
| Distanza orizzontale | 167.4117 |
| Deviazione sulla distanza orizzontale | 0.0000 |
| Errore sulla distanza orizzontale | 0.0000 |

Misura

| | |
|--------------|---|
| Strato | 1 |
|--------------|---|

| | |
|---|-----------|
| Angolo orizzontale | 4.73640c |
| Distanza orizzontale | 167.4117 |
| Angolo orizzontale 1 | 4.73660c |
| Distanza orizzontale 1 | 167.4116 |
| Angolo orizzontale 2 | 4.73620c |
| Distanza orizzontale 2 | 167.4117 |
| Deviazione sull'angolo orizzontale | -0.00020c |
| Deviazione sulla distanza orizzontale | 0.0001 |

Stazione

| | |
|----------------------------|--------------|
| Nome della stazione | CS018 |
| E | 688862.3299 |
| N | 4793661.0102 |
| Quota | 217.890 |
| Angolo di correzione | 399.99835c |

Dati utilizzati per la posizione

Misura tacheometrica

| | |
|---|--------------|
| Nome della stazione | PSS223061 |
| Nome del punto osservato | CS018 |
| Distanza orizzontale | 70.6874 |
| Distanza orizzontale avanti | 70.6875 |
| Distanza orizzontale indietro | 70.6874 |
| Errore sulla distanza orizzontale | 0.0001 |
| Azimut | 199.71560c |
| Angolo orizzontale | 199.71700c |
| Angolo di correzione | 399.99860c |
| E | 688862.3299 |
| N | 4793661.0102 |
| E precedente | 688862.0141 |
| N precedente | 4793731.6969 |
| dE | 0.3158 |
| dN | -70.6867 |

Misure in avanti

| | |
|---|------------|
| Nome della stazione | PSS223061 |
| Nome del punto osservato | CS018 |
| Angolo orizzontale | 199.71700c |
| Deviazione sull'angolo orizzontale | 0.00000c |
| Errore sull'angolo orizzontale | 0.00000c |
| Distanza orizzontale | 70.6875 |
| Deviazione sulla distanza orizzontale | 0.0000 |
| Errore sulla distanza orizzontale | 0.0000 |

Misura

| | |
|---|------------|
| Strato | 1 |
| Angolo orizzontale | 199.71700c |
| Distanza orizzontale | 70.6875 |
| Angolo orizzontale 1 | 199.71710c |
| Distanza orizzontale 1 | 70.6875 |
| Angolo orizzontale 2 | 199.71690c |
| Distanza orizzontale 2 | 70.6874 |
| Deviazione sull'angolo orizzontale | -0.00010c |
| Deviazione sulla distanza orizzontale | 0.0000 |

Misure indietro

| | |
|---|-----------|
| Nome della stazione | CS018 |
| Nome del punto osservato | PSS223061 |
| Distanza orizzontale | 70.6874 |
| Deviazione sulla distanza orizzontale | 0.0000 |
| Errore sulla distanza orizzontale | 0.0000 |

Misura

| | |
|---|---------|
| Strato | 1 |
| Distanza orizzontale | 70.6874 |
| Distanza orizzontale 1 | 70.6873 |
| Distanza orizzontale 2 | 70.6874 |
| Deviazione sulla distanza orizzontale | 0.0001 |

Dati utilizzati per la quota

Misura per quota

| | |
|--------------------------------|-----------|
| Nome della stazione | PSS223061 |
| Nome del punto osservato | CS018 |
| Altezza strumento | 1.544 |
| Dislivello | 2.938 |
| Dislivello in avanti | 2.937 |
| Dislivello indietro | -2.939 |
| Errore sul dislivello | 0.002 |
| Quota | 217.890 |

| | |
|---|--------------|
| Quota precedente | 214.951 |
| Misure in avanti | |
| Nome della stazione | PSS223061 |
| Nome del punto osservato | CS018 |
| Dislivello | 2.937 |
| Deviazione sul dislivello | 0.000 |
| Errore sul dislivello | 0.000 |
| Misura | |
| Strato | 1 |
| Altezza prisma | 1.581 |
| Angolo verticale | 97.32295c |
| Angolo verticale 1 | 97.32370c |
| Angolo verticale 2 | 97.32220c |
| Deviazione sull'angolo verticale | -0.00075c |
| Dislivello | 2.937 |
| Dislivello 1 | 2.936 |
| Dislivello 2 | 2.938 |
| Deviazione sul dislivello | 0.002 |
| Misure indietro | |
| Nome della stazione | CS018 |
| Nome del punto osservato | PSS223061 |
| Dislivello | -2.939 |
| Deviazione sul dislivello | 0.000 |
| Errore sul dislivello | 0.000 |
| Misura | |
| Strato | 1 |
| Altezza prisma | 1.544 |
| Angolo verticale | 102.67900c |
| Angolo verticale 1 | 102.68050c |
| Angolo verticale 2 | 102.67750c |
| Deviazione sull'angolo verticale | -0.00150c |
| Dislivello | -2.939 |
| Dislivello 1 | -2.941 |
| Dislivello 2 | -2.938 |
| Deviazione sul dislivello | 0.003 |
| Dati utilizzati per l'orientamento | |
| Orientamento | |
| Nome della stazione | CS018 |
| Nome del punto osservato | PSS223061 |
| Azimut | 399.71560c |
| Angolo orizzontale | 399.71725c |
| Angolo di correzione | 399.99835c |
| Misure | |
| Nome della stazione | CS018 |
| Nome del punto osservato | PSS223061 |
| Angolo orizzontale | 399.71725c |
| Deviazione sull'angolo orizzontale | 0.00000c |
| Errore sull'angolo orizzontale | 0.00000c |
| Distanza orizzontale | 70.6874 |
| Deviazione sulla distanza orizzontale | 0.0000 |
| Errore sulla distanza orizzontale | 0.0000 |
| Misura | |
| Strato | 1 |
| Angolo orizzontale | 399.71725c |
| Distanza orizzontale | 70.6874 |
| Angolo orizzontale 1 | 399.71750c |
| Distanza orizzontale 1 | 70.6873 |
| Angolo orizzontale 2 | 399.71700c |
| Distanza orizzontale 2 | 70.6874 |
| Deviazione sull'angolo orizzontale | -0.00025c |
| Deviazione sulla distanza orizzontale | 0.0001 |
| Stazione | |
| Nome della stazione | CS019 |
| E | 688768.0912 |
| N | 4793498.6772 |
| Quota | 222.456 |
| Angolo di correzione | 399.99780c |
| Dati utilizzati per la posizione | |
| Misura tacheometrica | |
| Nome della stazione | CS018 |
| Nome del punto osservato | CS019 |
| Distanza orizzontale | 187.7044 |

| | |
|---|--------------|
| Distanza orizzontale avanti | 187.7045 |
| Distanza orizzontale indietro | 187.7043 |
| Errore sulla distanza orizzontale | 0.0002 |
| Azimut | 233.48480c |
| Angolo orizzontale | 233.48645c |
| Angolo di correzione | 399.99835c |
| E | 688768.0912 |
| N | 4793498.6772 |
| E precedente | 688862.3299 |
| N precedente | 4793661.0102 |
| dE | -94.2387 |
| dN | -162.3330 |
| Misure in avanti | |
| Nome della stazione | CS018 |
| Nome del punto osservato | CS019 |
| Angolo orizzontale | 233.48645c |
| Deviazione sull'angolo orizzontale | 0.00000c |
| Errore sull'angolo orizzontale | 0.00000c |
| Distanza orizzontale | 187.7045 |
| Deviazione sulla distanza orizzontale | 0.0000 |
| Errore sulla distanza orizzontale | 0.0000 |
| Misura | |
| Strato | 1 |
| Angolo orizzontale | 233.48645c |
| Distanza orizzontale | 187.7045 |
| Angolo orizzontale 1 | 233.48650c |
| Distanza orizzontale 1 | 187.7047 |
| Angolo orizzontale 2 | 233.48640c |
| Distanza orizzontale 2 | 187.7044 |
| Deviazione sull'angolo orizzontale | -0.00005c |
| Deviazione sulla distanza orizzontale | -0.0001 |
| Misure indietro | |
| Nome della stazione | CS019 |
| Nome del punto osservato | CS018 |
| Distanza orizzontale | 187.7043 |
| Deviazione sulla distanza orizzontale | 0.0000 |
| Errore sulla distanza orizzontale | 0.0000 |
| Misura | |
| Strato | 1 |
| Distanza orizzontale | 187.7043 |
| Distanza orizzontale 1 | 187.7043 |
| Distanza orizzontale 2 | 187.7044 |
| Deviazione sulla distanza orizzontale | 0.0001 |
| Dati utilizzati per la quota | |
| Misura per quota | |
| Nome della stazione | CS018 |
| Nome del punto osservato | CS019 |
| Altezza strumento | 1.581 |
| Dislivello | 4.566 |
| Dislivello in avanti | 4.562 |
| Dislivello indietro | -4.570 |
| Errore sul dislivello | 0.008 |
| Quota | 222.456 |
| Quota precedente | 217.890 |
| Misure in avanti | |
| Nome della stazione | CS018 |
| Nome del punto osservato | CS019 |
| Dislivello | 4.562 |
| Deviazione sul dislivello | 0.000 |
| Errore sul dislivello | 0.000 |
| Misura | |
| Strato | 1 |
| Altezza prisma | 1.583 |
| Angolo verticale | 98.45230c |
| Angolo verticale 1 | 98.45420c |
| Angolo verticale 2 | 98.45040c |
| Deviazione sull'angolo verticale | -0.00190c |
| Dislivello | 4.562 |
| Dislivello 1 | 4.557 |
| Dislivello 2 | 4.568 |
| Deviazione sul dislivello | 0.011 |
| Misure indietro | |

| | |
|--|------------|
| Nome della stazione | CS019 |
| Nome del punto osservato | CS018 |
| Dislivello | -4.570 |
| Deviazione sul dislivello | 0.000 |
| Errore sul dislivello | 0.000 |
| Misura | |
| Strato | 1 |
| Altezza prisma | 1.581 |
| Angolo verticale | 101.55035c |
| Angolo verticale 1 | 101.55140c |
| Angolo verticale 2 | 101.54930c |
| Deviazione sull'angolo verticale | -0.00105c |
| Dislivello | -4.570 |
| Dislivello 1 | -4.573 |
| Dislivello 2 | -4.567 |
| Deviazione sul dislivello | 0.006 |

Dati utilizzati per l'orientamento

Orientamento

| | |
|--------------------------------|------------|
| Nome della stazione | CS019 |
| Nome del punto osservato | CS018 |
| Azimut | 33.48480c |
| Angolo orizzontale | 33.48700c |
| Angolo di correzione | 399.99780c |

Misure

| | |
|---|-----------|
| Nome della stazione | CS019 |
| Nome del punto osservato | CS018 |
| Angolo orizzontale | 33.48700c |
| Deviazione sull'angolo orizzontale | 0.00000c |
| Errore sull'angolo orizzontale | 0.00000c |
| Distanza orizzontale | 187.7043 |
| Deviazione sulla distanza orizzontale | 0.0000 |
| Errore sulla distanza orizzontale | 0.0000 |

Misura

| | |
|---|-----------|
| Strato | 1 |
| Angolo orizzontale | 33.48700c |
| Distanza orizzontale | 187.7043 |
| Angolo orizzontale 1 | 33.48700c |
| Distanza orizzontale 1 | 187.7043 |
| Angolo orizzontale 2 | 33.48700c |
| Distanza orizzontale 2 | 187.7044 |
| Deviazione sull'angolo orizzontale | 0.00000c |
| Deviazione sulla distanza orizzontale | 0.0001 |

Stazione

| | |
|----------------------------|--------------|
| Nome della stazione | PSS223062 |
| E | 688719.1611 |
| N | 4793450.9965 |
| Quota | 223.698 |
| Angolo di correzione | 399.99885c |

Dati utilizzati per la posizione

Misura tacheometrica

| | |
|---|--------------|
| Nome della stazione | CS019 |
| Nome del punto osservato | PSS223062 |
| Distanza orizzontale | 68.3198 |
| Distanza orizzontale avanti | 68.3199 |
| Distanza orizzontale indietro | 68.3198 |
| Errore sulla distanza orizzontale | 0.0000 |
| Azimut | 250.82330c |
| Angolo orizzontale | 250.82550c |
| Angolo di correzione | 399.99780c |
| E | 688719.1611 |
| N | 4793450.9965 |
| E precedente | 688768.0912 |
| N precedente | 4793498.6772 |
| dE | -48.9301 |
| dN | -47.6806 |

Misure in avanti

| | |
|---|------------|
| Nome della stazione | CS019 |
| Nome del punto osservato | PSS223062 |
| Angolo orizzontale | 250.82550c |
| Deviazione sull'angolo orizzontale | 0.00000c |
| Errore sull'angolo orizzontale | 0.00000c |
| Distanza orizzontale | 68.3199 |
| Deviazione sulla distanza orizzontale | 0.0000 |

| | |
|---|------------|
| Errore sulla distanza orizzontale | 0.0000 |
| Misura | |
| Strato | 1 |
| Angolo orizzontale | 250.82550c |
| Distanza orizzontale | 68.3199 |
| Angolo orizzontale 1 | 250.82510c |
| Distanza orizzontale 1 | 68.3199 |
| Angolo orizzontale 2 | 250.82590c |
| Distanza orizzontale 2 | 68.3198 |
| Deviazione sull'angolo orizzontale | 0.00040c |
| Deviazione sulla distanza orizzontale | 0.0000 |
| Misure indietro | |
| Nome della stazione | PSS223062 |
| Nome del punto osservato | CS019 |
| Distanza orizzontale | 68.3198 |
| Deviazione sulla distanza orizzontale | 0.0000 |
| Errore sulla distanza orizzontale | 0.0000 |
| Misura | |
| Strato | 1 |
| Distanza orizzontale | 68.3198 |
| Distanza orizzontale 1 | 68.3198 |
| Distanza orizzontale 2 | 68.3198 |
| Deviazione sulla distanza orizzontale | 0.0000 |
| Dati utilizzati per la quota | |
| Misura per quota | |
| Nome della stazione | CS019 |
| Nome del punto osservato | PSS223062 |
| Altezza strumento | 1.583 |
| Dislivello | 1.242 |
| Dislivello in avanti | 1.241 |
| Dislivello indietro | -1.243 |
| Errore sul dislivello | 0.002 |
| Quota | 223.698 |
| Quota precedente | 222.456 |
| Misure in avanti | |
| Nome della stazione | CS019 |
| Nome del punto osservato | PSS223062 |
| Dislivello | 1.241 |
| Deviazione sul dislivello | 0.000 |
| Errore sul dislivello | 0.000 |
| Misura | |
| Strato | 1 |
| Altezza prisma | 0.998 |
| Angolo verticale | 99.38885c |
| Angolo verticale 1 | 99.38990c |
| Angolo verticale 2 | 99.38780c |
| Deviazione sull'angolo verticale | -0.00105c |
| Dislivello | 1.241 |
| Dislivello 1 | 1.240 |
| Dislivello 2 | 1.242 |
| Deviazione sul dislivello | 0.002 |
| Misure indietro | |
| Nome della stazione | PSS223062 |
| Nome del punto osservato | CS019 |
| Dislivello | -1.243 |
| Deviazione sul dislivello | 0.000 |
| Errore sul dislivello | 0.000 |
| Misura | |
| Strato | 1 |
| Altezza prisma | 1.583 |
| Angolo verticale | 100.61330c |
| Angolo verticale 1 | 100.61400c |
| Angolo verticale 2 | 100.61260c |
| Deviazione sull'angolo verticale | -0.00070c |
| Dislivello | -1.243 |
| Dislivello 1 | -1.244 |
| Dislivello 2 | -1.242 |
| Deviazione sul dislivello | 0.002 |
| Dati utilizzati per l'orientamento | |
| Orientamento | |
| Nome della stazione | PSS223062 |

| | |
|--------------------------------|------------|
| Nome del punto osservato | CS019 |
| Azimut | 50.82330c |
| Angolo orizzontale | 50.82445c |
| Angolo di correzione | 399.99885c |

Misure

| | |
|---|-----------|
| Nome della stazione | PSS223062 |
| Nome del punto osservato | CS019 |
| Angolo orizzontale | 50.82445c |
| Deviazione sull'angolo orizzontale | 0.00000c |
| Errore sull'angolo orizzontale | 0.00000c |
| Distanza orizzontale | 68.3198 |
| Deviazione sulla distanza orizzontale | 0.0000 |
| Errore sulla distanza orizzontale | 0.0000 |

Misura

| | |
|---|-----------|
| Strato | 1 |
| Angolo orizzontale | 50.82445c |
| Distanza orizzontale | 68.3198 |
| Angolo orizzontale 1 | 50.82550c |
| Distanza orizzontale 1 | 68.3198 |
| Angolo orizzontale 2 | 50.82340c |
| Distanza orizzontale 2 | 68.3198 |
| Deviazione sull'angolo orizzontale | -0.00105c |
| Deviazione sulla distanza orizzontale | 0.0000 |

Stazione

| | |
|----------------------------|--------------|
| Nome della stazione | CS020 |
| E | 688658.1443 |
| N | 4793395.9027 |
| Quota | 224.303 |
| Angolo di correzione | 399.99825c |

Dati utilizzati per la posizione

Misura tacheometrica

| | |
|---|--------------|
| Nome della stazione | PSS223062 |
| Nome del punto osservato | CS020 |
| Distanza orizzontale | 82.2093 |
| Distanza orizzontale avanti | 82.2093 |
| Distanza orizzontale indietro | 82.2093 |
| Errore sulla distanza orizzontale | 0.0001 |
| Azimut | 253.24470c |
| Angolo orizzontale | 253.24585c |
| Angolo di correzione | 399.99885c |
| E | 688658.1443 |
| N | 4793395.9027 |
| E precedente | 688719.1611 |
| N precedente | 4793450.9965 |
| dE | -61.0168 |
| dN | -55.0938 |

Misure in avanti

| | |
|---|------------|
| Nome della stazione | PSS223062 |
| Nome del punto osservato | CS020 |
| Angolo orizzontale | 253.24585c |
| Deviazione sull'angolo orizzontale | 0.00000c |
| Errore sull'angolo orizzontale | 0.00000c |
| Distanza orizzontale | 82.2093 |
| Deviazione sulla distanza orizzontale | 0.0000 |
| Errore sulla distanza orizzontale | 0.0000 |

Misura

| | |
|---|------------|
| Strato | 1 |
| Angolo orizzontale | 253.24585c |
| Distanza orizzontale | 82.2093 |
| Angolo orizzontale 1 | 253.24590c |
| Distanza orizzontale 1 | 82.2093 |
| Angolo orizzontale 2 | 253.24580c |
| Distanza orizzontale 2 | 82.2093 |
| Deviazione sull'angolo orizzontale | -0.00005c |
| Deviazione sulla distanza orizzontale | 0.0000 |

Misure indietro

| | |
|---|-----------|
| Nome della stazione | CS020 |
| Nome del punto osservato | PSS223062 |
| Distanza orizzontale | 82.2093 |
| Deviazione sulla distanza orizzontale | 0.0000 |
| Errore sulla distanza orizzontale | 0.0000 |

Misura

| | |
|--------------|---|
| Strato | 1 |
|--------------|---|

| | |
|---|---------|
| Distanza orizzontale | 82.2093 |
| Distanza orizzontale 1 | 82.2093 |
| Distanza orizzontale 2 | 82.2093 |
| Deviazione sulla distanza orizzontale | 0.0000 |

Dati utilizzati per la quota

Misura per quota

| | |
|--------------------------------|-----------|
| Nome della stazione | PSS223062 |
| Nome del punto osservato | CS020 |
| Altezza strumento | 0.998 |
| Dislivello | 0.605 |
| Dislivello in avanti | 0.602 |
| Dislivello indietro | -0.607 |
| Errore sul dislivello | 0.005 |
| Quota | 224.303 |
| Quota precedente | 223.698 |

Misure in avanti

| | |
|---------------------------------|-----------|
| Nome della stazione | PSS223062 |
| Nome del punto osservato | CS020 |
| Dislivello | 0.602 |
| Deviazione sul dislivello | 0.000 |
| Errore sul dislivello | 0.000 |

Misura

| | |
|--|-----------|
| Strato | 1 |
| Altezza prisma | 1.518 |
| Angolo verticale | 99.13095c |
| Angolo verticale 1 | 99.13120c |
| Angolo verticale 2 | 99.13070c |
| Deviazione sull'angolo verticale | -0.00025c |
| Dislivello | 0.602 |
| Dislivello 1 | 0.602 |
| Dislivello 2 | 0.603 |
| Deviazione sul dislivello | 0.001 |

Misure indietro

| | |
|---------------------------------|-----------|
| Nome della stazione | CS020 |
| Nome del punto osservato | PSS223062 |
| Dislivello | -0.607 |
| Deviazione sul dislivello | 0.000 |
| Errore sul dislivello | 0.000 |

Misura

| | |
|--|------------|
| Strato | 1 |
| Altezza prisma | 0.998 |
| Angolo verticale | 100.87290c |
| Angolo verticale 1 | 100.87400c |
| Angolo verticale 2 | 100.87180c |
| Deviazione sull'angolo verticale | -0.00110c |
| Dislivello | -0.607 |
| Dislivello 1 | -0.609 |
| Dislivello 2 | -0.606 |
| Deviazione sul dislivello | 0.003 |

Dati utilizzati per l'orientamento

Orientamento

| | |
|--------------------------------|------------|
| Nome della stazione | CS020 |
| Nome del punto osservato | PSS223062 |
| Azimut | 53.24470c |
| Angolo orizzontale | 53.24645c |
| Angolo di correzione | 399.99825c |

Misure

| | |
|---|-----------|
| Nome della stazione | CS020 |
| Nome del punto osservato | PSS223062 |
| Angolo orizzontale | 53.24645c |
| Deviazione sull'angolo orizzontale | 0.00000c |
| Errore sull'angolo orizzontale | 0.00000c |
| Distanza orizzontale | 82.2093 |
| Deviazione sulla distanza orizzontale | 0.0000 |
| Errore sulla distanza orizzontale | 0.0000 |

Misura

| | |
|------------------------------|-----------|
| Strato | 1 |
| Angolo orizzontale | 53.24645c |
| Distanza orizzontale | 82.2093 |
| Angolo orizzontale 1 | 53.24640c |
| Distanza orizzontale 1 | 82.2093 |
| Angolo orizzontale 2 | 53.24650c |

| | |
|---|----------|
| Distanza orizzontale 2 | 82.2093 |
| Deviazione sull'angolo orizzontale | 0.00005c |
| Deviazione sulla distanza orizzontale | 0.0000 |

Stazione

| | |
|----------------------------|--------------|
| Nome della stazione | PSS223063 |
| E | 688518.9789 |
| N | 4793341.6572 |
| Quota | 224.291 |
| Angolo di correzione | 399.99690c |

Dati utilizzati per la posizione

Misura tacheometrica

| | |
|---|--------------|
| Nome della stazione | CS020 |
| Nome del punto osservato | PSS223063 |
| Distanza orizzontale | 149.3639 |
| Distanza orizzontale avanti | 149.3639 |
| Distanza orizzontale indietro | 149.3639 |
| Errore sulla distanza orizzontale | 0.0000 |
| Azimut | 276.33840c |
| Angolo orizzontale | 276.34015c |
| Angolo di correzione | 399.99825c |
| E | 688518.9789 |
| N | 4793341.6572 |
| E precedente | 688658.1443 |
| N precedente | 4793395.9027 |
| dE | -139.1654 |
| dN | -54.2455 |

Misure in avanti

| | |
|---|------------|
| Nome della stazione | CS020 |
| Nome del punto osservato | PSS223063 |
| Angolo orizzontale | 276.34015c |
| Deviazione sull'angolo orizzontale | 0.00000c |
| Errore sull'angolo orizzontale | 0.00000c |
| Distanza orizzontale | 149.3639 |
| Deviazione sulla distanza orizzontale | 0.0000 |
| Errore sulla distanza orizzontale | 0.0000 |

Misura

| | |
|---|------------|
| Strato | 1 |
| Angolo orizzontale | 276.34015c |
| Distanza orizzontale | 149.3639 |
| Angolo orizzontale 1 | 276.34120c |
| Distanza orizzontale 1 | 149.3639 |
| Angolo orizzontale 2 | 276.33910c |
| Distanza orizzontale 2 | 149.3639 |
| Deviazione sull'angolo orizzontale | -0.00105c |
| Deviazione sulla distanza orizzontale | 0.0000 |

Misure indietro

| | |
|---|-----------|
| Nome della stazione | PSS223063 |
| Nome del punto osservato | CS020 |
| Distanza orizzontale | 149.3639 |
| Deviazione sulla distanza orizzontale | 0.0000 |
| Errore sulla distanza orizzontale | 0.0000 |

Misura

| | |
|---|----------|
| Strato | 1 |
| Distanza orizzontale | 149.3639 |
| Distanza orizzontale 1 | 149.3639 |
| Distanza orizzontale 2 | 149.3639 |
| Deviazione sulla distanza orizzontale | 0.0000 |

Dati utilizzati per la quota

Misura per quota

| | |
|--------------------------------|-----------|
| Nome della stazione | CS020 |
| Nome del punto osservato | PSS223063 |
| Altezza strumento | 1.518 |
| Dislivello | -0.012 |
| Dislivello in avanti | -0.014 |
| Dislivello indietro | 0.010 |
| Errore sul dislivello | 0.004 |
| Quota | 224.291 |
| Quota precedente | 224.303 |

Misure in avanti

| | |
|--------------------------------|-----------|
| Nome della stazione | CS020 |
| Nome del punto osservato | PSS223063 |
| Dislivello | -0.014 |

| | |
|--|------------|
| Deviazione sul dislivello | 0.000 |
| Errore sul dislivello | 0.000 |
| Misura | |
| Strato | 1 |
| Altezza prisma | 1.356 |
| Angolo verticale | 100.07505c |
| Angolo verticale 1 | 100.07530c |
| Angolo verticale 2 | 100.07480c |
| Deviazione sull'angolo verticale | -0.00025c |
| Dislivello | -0.014 |
| Dislivello 1 | -0.015 |
| Dislivello 2 | -0.013 |
| Deviazione sul dislivello | 0.001 |

Misure indietro

| | |
|---------------------------------|-----------|
| Nome della stazione | PSS223063 |
| Nome del punto osservato | CS020 |
| Dislivello | 0.010 |
| Deviazione sul dislivello | 0.000 |
| Errore sul dislivello | 0.000 |

Misura

| | |
|--|-----------|
| Strato | 1 |
| Altezza prisma | 1.518 |
| Angolo verticale | 99.92665c |
| Angolo verticale 1 | 99.92720c |
| Angolo verticale 2 | 99.92610c |
| Deviazione sull'angolo verticale | -0.00055c |
| Dislivello | 0.010 |
| Dislivello 1 | 0.009 |
| Dislivello 2 | 0.011 |
| Deviazione sul dislivello | 0.003 |

Dati utilizzati per l'orientamento

Orientamento

| | |
|--------------------------------|------------|
| Nome della stazione | PSS223063 |
| Nome del punto osservato | CS020 |
| Azimut | 76.33840c |
| Angolo orizzontale | 76.34150c |
| Angolo di correzione | 399.99690c |

Misure

| | |
|---|-----------|
| Nome della stazione | PSS223063 |
| Nome del punto osservato | CS020 |
| Angolo orizzontale | 76.34150c |
| Deviazione sull'angolo orizzontale | 0.00000c |
| Errore sull'angolo orizzontale | 0.00000c |
| Distanza orizzontale | 149.3639 |
| Deviazione sulla distanza orizzontale | 0.0000 |
| Errore sulla distanza orizzontale | 0.0000 |

Misura

| | |
|---|-----------|
| Strato | 1 |
| Angolo orizzontale | 76.34150c |
| Distanza orizzontale | 149.3639 |
| Angolo orizzontale 1 | 76.34170c |
| Distanza orizzontale 1 | 149.3639 |
| Angolo orizzontale 2 | 76.34130c |
| Distanza orizzontale 2 | 149.3639 |
| Deviazione sull'angolo orizzontale | -0.00020c |
| Deviazione sulla distanza orizzontale | 0.0000 |

Stazione

| | |
|----------------------------|--------------|
| Nome della stazione | PSS223064 |
| E | 688344.2802 |
| N | 4793270.7038 |
| Quota | 222.052 |
| Angolo di correzione | 399.99765c |

Dati utilizzati per la posizione

Misura tacheometrica

| | |
|---|------------|
| Nome della stazione | PSS223063 |
| Nome del punto osservato | PSS223064 |
| Distanza orizzontale | 188.5578 |
| Distanza orizzontale avanti | 188.5577 |
| Distanza orizzontale indietro | 188.5578 |
| Errore sulla distanza orizzontale | 0.0001 |
| Azimut | 275.43955c |
| Angolo orizzontale | 275.44265c |

| | |
|---|--------------|
| Angolo di correzione | 399.99690c |
| E | 688344.2802 |
| N | 4793270.7038 |
| E precedente | 688518.9789 |
| N precedente | 4793341.6572 |
| dE | -174.6987 |
| dN | -70.9534 |
| Misure in avanti | |
| Nome della stazione | PSS223063 |
| Nome del punto osservato | PSS223064 |
| Angolo orizzontale | 275.44265c |
| Deviazione sull'angolo orizzontale | 0.00000c |
| Errore sull'angolo orizzontale | 0.00000c |
| Distanza orizzontale | 188.5577 |
| Deviazione sulla distanza orizzontale | 0.0000 |
| Errore sulla distanza orizzontale | 0.0000 |
| Misura | |
| Strato | 1 |
| Angolo orizzontale | 275.44265c |
| Distanza orizzontale | 188.5577 |
| Angolo orizzontale 1 | 275.44200c |
| Distanza orizzontale 1 | 188.5577 |
| Angolo orizzontale 2 | 275.44330c |
| Distanza orizzontale 2 | 188.5577 |
| Deviazione sull'angolo orizzontale | 0.00065c |
| Deviazione sulla distanza orizzontale | 0.0000 |
| Misure indietro | |
| Nome della stazione | PSS223064 |
| Nome del punto osservato | PSS223063 |
| Distanza orizzontale | 188.5578 |
| Deviazione sulla distanza orizzontale | 0.0000 |
| Errore sulla distanza orizzontale | 0.0000 |
| Misura | |
| Strato | 1 |
| Distanza orizzontale | 188.5578 |
| Distanza orizzontale 1 | 188.5578 |
| Distanza orizzontale 2 | 188.5578 |
| Deviazione sulla distanza orizzontale | 0.0000 |
| Dati utilizzati per la quota | |
| Misura per quota | |
| Nome della stazione | PSS223063 |
| Nome del punto osservato | PSS223064 |
| Altezza strumento | 1.356 |
| Dislivello | -2.239 |
| Dislivello in avanti | -2.243 |
| Dislivello indietro | 2.234 |
| Errore sul dislivello | 0.009 |
| Quota | 222.052 |
| Quota precedente | 224.291 |
| Misure in avanti | |
| Nome della stazione | PSS223063 |
| Nome del punto osservato | PSS223064 |
| Dislivello | -2.243 |
| Deviazione sul dislivello | 0.000 |
| Errore sul dislivello | 0.000 |
| Misura | |
| Strato | 1 |
| Altezza prisma | 1.535 |
| Angolo verticale | 100.69685c |
| Angolo verticale 1 | 100.69820c |
| Angolo verticale 2 | 100.69550c |
| Deviazione sull'angolo verticale | -0.00135c |
| Dislivello | -2.243 |
| Dislivello 1 | -2.247 |
| Dislivello 2 | -2.239 |
| Deviazione sul dislivello | 0.008 |
| Misure indietro | |
| Nome della stazione | PSS223064 |
| Nome del punto osservato | PSS223063 |
| Dislivello | 2.234 |
| Deviazione sul dislivello | 0.000 |
| Errore sul dislivello | 0.000 |

Misura

| | |
|--|-----------|
| Strato | 1 |
| Altezza prisma | 1.356 |
| Angolo verticale | 99.30610c |
| Angolo verticale 1 | 99.30620c |
| Angolo verticale 2 | 99.30600c |
| Deviazione sull'angolo verticale | -0.00010c |
| Dislivello | 2.234 |
| Dislivello 1 | 2.234 |
| Dislivello 2 | 2.235 |
| Deviazione sul dislivello | 0.001 |

Dati utilizzati per l'orientamento

Orientamento

| | |
|--------------------------------|------------|
| Nome della stazione | PSS223064 |
| Nome del punto osservato | PSS223063 |
| Azimut | 75.43955c |
| Angolo orizzontale | 75.44190c |
| Angolo di correzione | 399.99765c |

Misure

| | |
|---|-----------|
| Nome della stazione | PSS223064 |
| Nome del punto osservato | PSS223063 |
| Angolo orizzontale | 75.44190c |
| Deviazione sull'angolo orizzontale | 0.00000c |
| Errore sull'angolo orizzontale | 0.00000c |
| Distanza orizzontale | 188.5578 |
| Deviazione sulla distanza orizzontale | 0.0000 |
| Errore sulla distanza orizzontale | 0.0000 |

Misura

| | |
|---|-----------|
| Strato | 1 |
| Angolo orizzontale | 75.44190c |
| Distanza orizzontale | 188.5578 |
| Angolo orizzontale 1 | 75.44270c |
| Distanza orizzontale 1 | 188.5578 |
| Angolo orizzontale 2 | 75.44110c |
| Distanza orizzontale 2 | 188.5578 |
| Deviazione sull'angolo orizzontale | -0.00080c |
| Deviazione sulla distanza orizzontale | 0.0000 |

Stazione

| | |
|----------------------------|--------------|
| Nome della stazione | LSS223014 |
| E | 688227.5157 |
| N | 4793258.0903 |
| Quota | 219.184 |
| Angolo di correzione | 399.99770c |

Dati utilizzati per la posizione

Misura tacheometrica

| | |
|---|--------------|
| Nome della stazione | PSS223064 |
| Nome del punto osservato | LSS223014 |
| Distanza orizzontale | 117.4439 |
| Distanza orizzontale avanti | 117.4438 |
| Distanza orizzontale indietro | 117.4440 |
| Errore sulla distanza orizzontale | 0.0001 |
| Azimut | 293.14950c |
| Angolo orizzontale | 293.15185c |
| Angolo di correzione | 399.99765c |
| E | 688227.5157 |
| N | 4793258.0903 |
| E precedente | 688344.2802 |
| N precedente | 4793270.7038 |
| dE | -116.7646 |
| dN | -12.6135 |

Misure in avanti

| | |
|---|------------|
| Nome della stazione | PSS223064 |
| Nome del punto osservato | LSS223014 |
| Angolo orizzontale | 293.15185c |
| Deviazione sull'angolo orizzontale | 0.00000c |
| Errore sull'angolo orizzontale | 0.00000c |
| Distanza orizzontale | 117.4438 |
| Deviazione sulla distanza orizzontale | 0.0000 |
| Errore sulla distanza orizzontale | 0.0000 |

Misura

| | |
|----------------------------|------------|
| Strato | 1 |
| Angolo orizzontale | 293.15185c |
| Distanza orizzontale | 117.4438 |

| | |
|---|------------|
| Angolo orizzontale 1 | 293.15240c |
| Distanza orizzontale 1 | 117.4438 |
| Angolo orizzontale 2 | 293.15130c |
| Distanza orizzontale 2 | 117.4438 |
| Deviazione sull'angolo orizzontale | -0.00055c |
| Deviazione sulla distanza orizzontale | 0.0000 |

Misure indietro

| | |
|---|-----------|
| Nome della stazione | LSS223014 |
| Nome del punto osservato | PSS223064 |
| Distanza orizzontale | 117.4440 |
| Deviazione sulla distanza orizzontale | 0.0000 |
| Errore sulla distanza orizzontale | 0.0000 |

Misura

| | |
|---|----------|
| Strato | 1 |
| Distanza orizzontale | 117.4440 |
| Distanza orizzontale 1 | 117.4439 |
| Distanza orizzontale 2 | 117.4440 |
| Deviazione sulla distanza orizzontale | 0.0000 |

Dati utilizzati per la quota

Misura per quota

| | |
|--------------------------------|-----------|
| Nome della stazione | PSS223064 |
| Nome del punto osservato | LSS223014 |
| Altezza strumento | 1.535 |
| Dislivello | -2.868 |
| Dislivello in avanti | -2.870 |
| Dislivello indietro | 2.865 |
| Errore sul dislivello | 0.005 |
| Quota | 219.184 |
| Quota precedente | 222.052 |

Misure in avanti

| | |
|---------------------------------|-----------|
| Nome della stazione | PSS223064 |
| Nome del punto osservato | LSS223014 |
| Dislivello | -2.870 |
| Deviazione sul dislivello | 0.000 |
| Errore sul dislivello | 0.000 |

Misura

| | |
|--|------------|
| Strato | 1 |
| Altezza prisma | 1.490 |
| Angolo verticale | 101.58005c |
| Angolo verticale 1 | 101.57940c |
| Angolo verticale 2 | 101.58070c |
| Deviazione sull'angolo verticale | 0.00065c |
| Dislivello | -2.870 |
| Dislivello 1 | -2.869 |
| Dislivello 2 | -2.872 |
| Deviazione sul dislivello | -0.002 |

Misure indietro

| | |
|---------------------------------|-----------|
| Nome della stazione | LSS223014 |
| Nome del punto osservato | PSS223064 |
| Dislivello | 2.865 |
| Deviazione sul dislivello | 0.000 |
| Errore sul dislivello | 0.000 |

Misura

| | |
|--|-----------|
| Strato | 1 |
| Altezza prisma | 1.535 |
| Angolo verticale | 98.42290c |
| Angolo verticale 1 | 98.42250c |
| Angolo verticale 2 | 98.42330c |
| Deviazione sull'angolo verticale | 0.00040c |
| Dislivello | 2.865 |
| Dislivello 1 | 2.866 |
| Dislivello 2 | 2.864 |
| Deviazione sul dislivello | -0.001 |

Dati utilizzati per l'orientamento

Orientamento

| | |
|--------------------------------|------------|
| Nome della stazione | LSS223014 |
| Nome del punto osservato | PSS223064 |
| Azimut | 93.14950c |
| Angolo orizzontale | 93.15180c |
| Angolo di correzione | 399.99770c |

Misure

| | |
|---|-----------|
| Nome della stazione | LSS223014 |
| Nome del punto osservato | PSS223064 |
| Angolo orizzontale | 93.15180c |
| Deviazione sull'angolo orizzontale | 0.00000c |
| Errore sull'angolo orizzontale | 0.00000c |
| Distanza orizzontale | 117.4440 |
| Deviazione sulla distanza orizzontale | 0.0000 |
| Errore sulla distanza orizzontale | 0.0000 |

Misura

| | |
|---|-----------|
| Strato | 1 |
| Angolo orizzontale | 93.15180c |
| Distanza orizzontale | 117.4440 |
| Angolo orizzontale 1 | 93.15290c |
| Distanza orizzontale 1 | 117.4439 |
| Angolo orizzontale 2 | 93.15070c |
| Distanza orizzontale 2 | 117.4440 |
| Deviazione sull'angolo orizzontale | -0.00110c |
| Deviazione sulla distanza orizzontale | 0.0000 |

Stazione

| | |
|----------------------------|--------------|
| Nome della stazione | PSS223065 |
| E | 688182.5817 |
| N | 4793233.8515 |
| Quota | 218.115 |
| Angolo di correzione | 399.99785c |

Dati utilizzati per la posizione

Misura tacheometrica

| | |
|---|--------------|
| Nome della stazione | LSS223014 |
| Nome del punto osservato | PSS223065 |
| Distanza orizzontale | 51.0546 |
| Distanza orizzontale avanti | 51.0541 |
| Distanza orizzontale indietro | 51.0552 |
| Errore sulla distanza orizzontale | 0.0010 |
| Azimut | 268.50685c |
| Angolo orizzontale | 268.50915c |
| Angolo di correzione | 399.99770c |
| E | 688182.5817 |
| N | 4793233.8515 |
| E precedente | 688227.5157 |
| N precedente | 4793258.0903 |
| dE | -44.9339 |
| dN | -24.2388 |

Misure in avanti

| | |
|---|------------|
| Nome della stazione | LSS223014 |
| Nome del punto osservato | PSS223065 |
| Angolo orizzontale | 268.50915c |
| Deviazione sull'angolo orizzontale | 0.00000c |
| Errore sull'angolo orizzontale | 0.00000c |
| Distanza orizzontale | 51.0541 |
| Deviazione sulla distanza orizzontale | 0.0000 |
| Errore sulla distanza orizzontale | 0.0000 |

Misura

| | |
|---|------------|
| Strato | 1 |
| Angolo orizzontale | 268.50915c |
| Distanza orizzontale | 51.0541 |
| Angolo orizzontale 1 | 268.50870c |
| Distanza orizzontale 1 | 51.0541 |
| Angolo orizzontale 2 | 268.50960c |
| Distanza orizzontale 2 | 51.0541 |
| Deviazione sull'angolo orizzontale | 0.00045c |
| Deviazione sulla distanza orizzontale | 0.0000 |

Misure indietro

| | |
|---|-----------|
| Nome della stazione | PSS223065 |
| Nome del punto osservato | LSS223014 |
| Distanza orizzontale | 51.0552 |
| Deviazione sulla distanza orizzontale | 0.0000 |
| Errore sulla distanza orizzontale | 0.0000 |

Misura

| | |
|---|---------|
| Strato | 1 |
| Distanza orizzontale | 51.0552 |
| Distanza orizzontale 1 | 51.0552 |
| Distanza orizzontale 2 | 51.0551 |
| Deviazione sulla distanza orizzontale | 0.0000 |

Dati utilizzati per la quota

Misura per quota

| | |
|--------------------------------|-----------|
| Nome della stazione | LSS223014 |
| Nome del punto osservato | PSS223065 |
| Altezza strumento | 1.490 |
| Dislivello | -1.069 |
| Dislivello in avanti | -1.070 |
| Dislivello indietro | 1.068 |
| Errore sul dislivello | 0.002 |
| Quota | 218.115 |
| Quota precedente | 219.184 |

Misure in avanti

| | |
|---------------------------------|-----------|
| Nome della stazione | LSS223014 |
| Nome del punto osservato | PSS223065 |
| Dislivello | -1.070 |
| Deviazione sul dislivello | 0.000 |
| Errore sul dislivello | 0.000 |

Misura

| | |
|--|------------|
| Strato | 1 |
| Altezza prisma | 1.555 |
| Angolo verticale | 101.25250c |
| Angolo verticale 1 | 101.25330c |
| Angolo verticale 2 | 101.25170c |
| Deviazione sull'angolo verticale | -0.00080c |
| Dislivello | -1.070 |
| Dislivello 1 | -1.070 |
| Dislivello 2 | -1.069 |
| Deviazione sul dislivello | 0.001 |

Misure indietro

| | |
|---------------------------------|-----------|
| Nome della stazione | PSS223065 |
| Nome del punto osservato | LSS223014 |
| Dislivello | 1.068 |
| Deviazione sul dislivello | 0.000 |
| Errore sul dislivello | 0.000 |

Misura

| | |
|--|-----------|
| Strato | 1 |
| Altezza prisma | 1.490 |
| Angolo verticale | 98.75000c |
| Angolo verticale 1 | 98.75110c |
| Angolo verticale 2 | 98.74890c |
| Deviazione sull'angolo verticale | -0.00110c |
| Dislivello | 1.068 |
| Dislivello 1 | 1.067 |
| Dislivello 2 | 1.068 |
| Deviazione sul dislivello | 0.002 |

Dati utilizzati per l'orientamento

Orientamento

| | |
|--------------------------------|------------|
| Nome della stazione | PSS223065 |
| Nome del punto osservato | LSS223014 |
| Azimut | 68.50685c |
| Angolo orizzontale | 68.50900c |
| Angolo di correzione | 399.99785c |

Misure

| | |
|---|-----------|
| Nome della stazione | PSS223065 |
| Nome del punto osservato | LSS223014 |
| Angolo orizzontale | 68.50900c |
| Deviazione sull'angolo orizzontale | 0.00000c |
| Errore sull'angolo orizzontale | 0.00000c |
| Distanza orizzontale | 51.0552 |
| Deviazione sulla distanza orizzontale | 0.0000 |
| Errore sulla distanza orizzontale | 0.0000 |

Misura

| | |
|---|-----------|
| Strato | 1 |
| Angolo orizzontale | 68.50900c |
| Distanza orizzontale | 51.0552 |
| Angolo orizzontale 1 | 68.50900c |
| Distanza orizzontale 1 | 51.0552 |
| Angolo orizzontale 2 | 68.50900c |
| Distanza orizzontale 2 | 51.0551 |
| Deviazione sull'angolo orizzontale | 0.00000c |
| Deviazione sulla distanza orizzontale | 0.0000 |

Stazione

| | |
|----------------------------|--------------|
| Nome della stazione | PSS223066 |
| E | 687840.3509 |
| N | 4793208.8627 |
| Quota | 208.513 |
| Angolo di correzione | 399.99855c |

Dati utilizzati per la posizione

Misura tacheometrica

| | |
|---|--------------|
| Nome della stazione | PSS223065 |
| Nome del punto osservato | PSS223066 |
| Distanza orizzontale | 343.1419 |
| Distanza orizzontale avanti | 343.1412 |
| Distanza orizzontale indietro | 343.1426 |
| Errore sulla distanza orizzontale | 0.0014 |
| Azimut | 295.35980c |
| Angolo orizzontale | 295.36195c |
| Angolo di correzione | 399.99785c |
| E | 687840.3509 |
| N | 4793208.8627 |
| E precedente | 688182.5817 |
| N precedente | 4793233.8515 |
| dE | -342.2308 |
| dN | -24.9888 |

Misure in avanti

| | |
|---|------------|
| Nome della stazione | PSS223065 |
| Nome del punto osservato | PSS223066 |
| Angolo orizzontale | 295.36195c |
| Deviazione sull'angolo orizzontale | 0.00000c |
| Errore sull'angolo orizzontale | 0.00000c |
| Distanza orizzontale | 343.1412 |
| Deviazione sulla distanza orizzontale | 0.0000 |
| Errore sulla distanza orizzontale | 0.0000 |

Misura

| | |
|---|------------|
| Strato | 1 |
| Angolo orizzontale | 295.36195c |
| Distanza orizzontale | 343.1412 |
| Angolo orizzontale 1 | 295.36120c |
| Distanza orizzontale 1 | 343.1410 |
| Angolo orizzontale 2 | 295.36270c |
| Distanza orizzontale 2 | 343.1414 |
| Deviazione sull'angolo orizzontale | 0.00075c |
| Deviazione sulla distanza orizzontale | 0.0002 |

Misure indietro

| | |
|---|-----------|
| Nome della stazione | PSS223066 |
| Nome del punto osservato | PSS223065 |
| Distanza orizzontale | 343.1426 |
| Deviazione sulla distanza orizzontale | 0.0000 |
| Errore sulla distanza orizzontale | 0.0000 |

Misura

| | |
|---|----------|
| Strato | 1 |
| Distanza orizzontale | 343.1426 |
| Distanza orizzontale 1 | 343.1427 |
| Distanza orizzontale 2 | 343.1425 |
| Deviazione sulla distanza orizzontale | -0.0001 |

Dati utilizzati per la quota

Misura per quota

| | |
|--------------------------------|-----------|
| Nome della stazione | PSS223065 |
| Nome del punto osservato | PSS223066 |
| Altezza strumento | 1.555 |
| Dislivello | -9.602 |
| Dislivello in avanti | -9.627 |
| Dislivello indietro | 9.578 |
| Errore sul dislivello | 0.049 |
| Quota | 208.513 |
| Quota precedente | 218.115 |

Misure in avanti

| | |
|---------------------------------|-----------|
| Nome della stazione | PSS223065 |
| Nome del punto osservato | PSS223066 |
| Dislivello | -9.627 |
| Deviazione sul dislivello | 0.000 |
| Errore sul dislivello | 0.000 |

Misura

| | |
|----------------------|-------|
| Strato | 1 |
| Altezza prisma | 1.492 |

| | |
|--|------------|
| Angolo verticale | 101.79725c |
| Angolo verticale 1 | 101.79870c |
| Angolo verticale 2 | 101.79580c |
| Deviazione sull'angolo verticale | -0.00145c |
| Dislivello | -9.627 |
| Dislivello 1 | -9.635 |
| Dislivello 2 | -9.619 |
| Deviazione sul dislivello | 0.016 |

Misure indietro

| | |
|---------------------------------|-----------|
| Nome della stazione | PSS223066 |
| Nome del punto osservato | PSS223065 |
| Dislivello | 9.578 |
| Deviazione sul dislivello | 0.000 |
| Errore sul dislivello | 0.000 |

Misura

| | |
|--|-----------|
| Strato | 1 |
| Altezza prisma | 1.555 |
| Angolo verticale | 98.21185c |
| Angolo verticale 1 | 98.21270c |
| Angolo verticale 2 | 98.21100c |
| Deviazione sull'angolo verticale | -0.00085c |
| Dislivello | 9.578 |
| Dislivello 1 | 9.573 |
| Dislivello 2 | 9.582 |
| Deviazione sul dislivello | 0.009 |

Dati utilizzati per l'orientamento

Orientamento

| | |
|--------------------------------|------------|
| Nome della stazione | PSS223066 |
| Nome del punto osservato | PSS223065 |
| Azimut | 95.35980c |
| Angolo orizzontale | 95.36125c |
| Angolo di correzione | 399.99855c |

Misure

| | |
|---|-----------|
| Nome della stazione | PSS223066 |
| Nome del punto osservato | PSS223065 |
| Angolo orizzontale | 95.36125c |
| Deviazione sull'angolo orizzontale | 0.00000c |
| Errore sull'angolo orizzontale | 0.00000c |
| Distanza orizzontale | 343.1426 |
| Deviazione sulla distanza orizzontale | 0.0000 |
| Errore sulla distanza orizzontale | 0.0000 |

Misura

| | |
|---|-----------|
| Strato | 1 |
| Angolo orizzontale | 95.36125c |
| Distanza orizzontale | 343.1426 |
| Angolo orizzontale 1 | 95.36150c |
| Distanza orizzontale 1 | 343.1427 |
| Angolo orizzontale 2 | 95.36100c |
| Distanza orizzontale 2 | 343.1425 |
| Deviazione sull'angolo orizzontale | -0.00025c |
| Deviazione sulla distanza orizzontale | -0.0001 |

Stazione

| | |
|----------------------------|--------------|
| Nome della stazione | PSS223067 |
| E | 687633.0936 |
| N | 4793187.1550 |
| Quota | 204.903 |
| Angolo di correzione | 0.00020c |

Dati utilizzati per la posizione

Misura tacheometrica

| | |
|---|--------------|
| Nome della stazione | PSS223066 |
| Nome del punto osservato | PSS223067 |
| Distanza orizzontale | 208.3911 |
| Distanza orizzontale avanti | 208.3909 |
| Distanza orizzontale indietro | 208.3912 |
| Errore sulla distanza orizzontale | 0.0003 |
| Azimut | 293.35640c |
| Angolo orizzontale | 293.35785c |
| Angolo di correzione | 399.99855c |
| E | 687633.0936 |
| N | 4793187.1550 |
| E precedente | 687840.3509 |
| N precedente | 4793208.8627 |

| | |
|---|------------|
| dE | -207.2574 |
| dN | -21.7077 |
| Misure in avanti | |
| Nome della stazione | PSS223066 |
| Nome del punto osservato | PSS223067 |
| Angolo orizzontale | 293.35785c |
| Deviazione sull'angolo orizzontale | 0.00000c |
| Errore sull'angolo orizzontale | 0.00000c |
| Distanza orizzontale | 208.3909 |
| Deviazione sulla distanza orizzontale | 0.0000 |
| Errore sulla distanza orizzontale | 0.0000 |
| Misura | |
| Strato | 1 |
| Angolo orizzontale | 293.35785c |
| Distanza orizzontale | 208.3909 |
| Angolo orizzontale 1 | 293.35660c |
| Distanza orizzontale 1 | 208.3909 |
| Angolo orizzontale 2 | 293.35910c |
| Distanza orizzontale 2 | 208.3910 |
| Deviazione sull'angolo orizzontale | 0.00125c |
| Deviazione sulla distanza orizzontale | 0.0000 |
| Misure indietro | |
| Nome della stazione | PSS223067 |
| Nome del punto osservato | PSS223066 |
| Distanza orizzontale | 208.3912 |
| Deviazione sulla distanza orizzontale | 0.0000 |
| Errore sulla distanza orizzontale | 0.0000 |
| Misura | |
| Strato | 1 |
| Distanza orizzontale | 208.3912 |
| Distanza orizzontale 1 | 208.3912 |
| Distanza orizzontale 2 | 208.3911 |
| Deviazione sulla distanza orizzontale | 0.0000 |
| Dati utilizzati per la quota | |
| Misura per quota | |
| Nome della stazione | PSS223066 |
| Nome del punto osservato | PSS223067 |
| Altezza strumento | 1.492 |
| Dislivello | -3.610 |
| Dislivello in avanti | -3.617 |
| Dislivello indietro | 3.602 |
| Errore sul dislivello | 0.015 |
| Quota | 204.903 |
| Quota precedente | 208.513 |
| Misure in avanti | |
| Nome della stazione | PSS223066 |
| Nome del punto osservato | PSS223067 |
| Dislivello | -3.617 |
| Deviazione sul dislivello | 0.000 |
| Errore sul dislivello | 0.000 |
| Misura | |
| Strato | 1 |
| Altezza prisma | 1.511 |
| Angolo verticale | 101.09915c |
| Angolo verticale 1 | 101.09970c |
| Angolo verticale 2 | 101.09860c |
| Deviazione sull'angolo verticale | -0.00055c |
| Dislivello | -3.617 |
| Dislivello 1 | -3.619 |
| Dislivello 2 | -3.616 |
| Deviazione sul dislivello | 0.004 |
| Misure indietro | |
| Nome della stazione | PSS223067 |
| Nome del punto osservato | PSS223066 |
| Dislivello | 3.602 |
| Deviazione sul dislivello | 0.000 |
| Errore sul dislivello | 0.000 |
| Misura | |
| Strato | 1 |
| Altezza prisma | 1.492 |
| Angolo verticale | 98.90545c |
| Angolo verticale 1 | 98.90630c |

| | |
|--|-----------|
| Angolo verticale 2 | 98.90460c |
| Deviazione sull'angolo verticale | -0.00085c |
| Dislivello | 3.602 |
| Dislivello 1 | 3.599 |
| Dislivello 2 | 3.605 |
| Deviazione sul dislivello | 0.006 |

Dati utilizzati per l'orientamento

Orientamento

| | |
|--------------------------------|-----------|
| Nome della stazione | PSS223067 |
| Nome del punto osservato | PSS223066 |
| Azimut | 93.35640c |
| Angolo orizzontale | 93.35620c |
| Angolo di correzione | 0.00020c |

Misure

| | |
|---|-----------|
| Nome della stazione | PSS223067 |
| Nome del punto osservato | PSS223066 |
| Angolo orizzontale | 93.35620c |
| Deviazione sull'angolo orizzontale | 0.00000c |
| Errore sull'angolo orizzontale | 0.00000c |
| Distanza orizzontale | 208.3912 |
| Deviazione sulla distanza orizzontale | 0.0000 |
| Errore sulla distanza orizzontale | 0.0000 |

Misura

| | |
|---|-----------|
| Strato | 1 |
| Angolo orizzontale | 93.35620c |
| Distanza orizzontale | 208.3912 |
| Angolo orizzontale 1 | 93.35660c |
| Distanza orizzontale 1 | 208.3912 |
| Angolo orizzontale 2 | 93.35580c |
| Distanza orizzontale 2 | 208.3911 |
| Deviazione sull'angolo orizzontale | -0.00040c |
| Deviazione sulla distanza orizzontale | 0.0000 |

Stazione

| | |
|----------------------------|--------------|
| Nome della stazione | PSS223068 |
| E | 687315.5580 |
| N | 4793144.6037 |
| Quota | 203.485 |
| Angolo di correzione | 399.99970c |

Dati utilizzati per la posizione

Misura tacheometrica

| | |
|---|--------------|
| Nome della stazione | PSS223067 |
| Nome del punto osservato | PSS223068 |
| Distanza orizzontale | 320.3739 |
| Distanza orizzontale avanti | 320.3738 |
| Distanza orizzontale indietro | 320.3740 |
| Errore sulla distanza orizzontale | 0.0002 |
| Azimut | 291.51950c |
| Angolo orizzontale | 291.51930c |
| Angolo di correzione | 0.00020c |
| E | 687315.5580 |
| N | 4793144.6037 |
| E precedente | 687633.0936 |
| N precedente | 4793187.1550 |
| dE | -317.5356 |
| dN | -42.5513 |

Misure in avanti

| | |
|---|------------|
| Nome della stazione | PSS223067 |
| Nome del punto osservato | PSS223068 |
| Angolo orizzontale | 291.51930c |
| Deviazione sull'angolo orizzontale | 0.00000c |
| Errore sull'angolo orizzontale | 0.00000c |
| Distanza orizzontale | 320.3738 |
| Deviazione sulla distanza orizzontale | 0.0000 |
| Errore sulla distanza orizzontale | 0.0000 |

Misura

| | |
|--|------------|
| Strato | 1 |
| Angolo orizzontale | 291.51930c |
| Distanza orizzontale | 320.3738 |
| Angolo orizzontale 1 | 291.51910c |
| Distanza orizzontale 1 | 320.3738 |
| Angolo orizzontale 2 | 291.51950c |
| Distanza orizzontale 2 | 320.3738 |
| Deviazione sull'angolo orizzontale | 0.00020c |

..... Deviazione sulla distanza orizzontale 0.0000

Misure indietro

..... Nome della stazione PSS223068
 Nome del punto osservato PSS223067
 Distanza orizzontale 320.3740
 Deviazione sulla distanza orizzontale 0.0000
 Errore sulla distanza orizzontale 0.0000

Misura

..... Strato 1
 Distanza orizzontale 320.3740
 Distanza orizzontale 1 320.3740
 Distanza orizzontale 2 320.3740
 Deviazione sulla distanza orizzontale 0.0000

Dati utilizzati per la quota

Misura per quota

..... Nome della stazione PSS223067
 Nome del punto osservato PSS223068
 Altezza strumento 1.511
 Dislivello -1.419
 Dislivello in avanti -1.440
 Dislivello indietro 1.397
 Errore sul dislivello 0.044
 Quota 203.485
 Quota precedente 204.903

Misure in avanti

..... Nome della stazione PSS223067
 Nome del punto osservato PSS223068
 Dislivello -1.440
 Deviazione sul dislivello 0.000
 Errore sul dislivello 0.000

Misura

..... Strato 1
 Altezza prisma 1.524
 Angolo verticale 100.28365c
 Angolo verticale 1 100.28490c
 Angolo verticale 2 100.28240c
 Deviazione sull'angolo verticale -0.00125c
 Dislivello -1.440
 Dislivello 1 -1.447
 Dislivello 2 -1.434
 Deviazione sul dislivello 0.013

Misure indietro

..... Nome della stazione PSS223068
 Nome del punto osservato PSS223067
 Dislivello 1.397
 Deviazione sul dislivello 0.000
 Errore sul dislivello 0.000

Misura

..... Strato 1
 Altezza prisma 1.511
 Angolo verticale 99.72505c
 Angolo verticale 1 99.72620c
 Angolo verticale 2 99.72390c
 Deviazione sull'angolo verticale -0.00115c
 Dislivello 1.397
 Dislivello 1 1.391
 Dislivello 2 1.402
 Deviazione sul dislivello 0.012

Dati utilizzati per l'orientamento

Orientamento

..... Nome della stazione PSS223068
 Nome del punto osservato PSS223067
 Azimut 91.51950c
 Angolo orizzontale 91.51980c
 Angolo di correzione 399.99970c

Misure

..... Nome della stazione PSS223068
 Nome del punto osservato PSS223067
 Angolo orizzontale 91.51980c
 Deviazione sull'angolo orizzontale 0.00000c
 Errore sull'angolo orizzontale 0.00000c

| | |
|---|-----------|
| Distanza orizzontale | 320.3740 |
| Deviazione sulla distanza orizzontale | 0.0000 |
| Errore sulla distanza orizzontale | 0.0000 |
| Misura | |
| Strato | 1 |
| Angolo orizzontale | 91.51980c |
| Distanza orizzontale | 320.3740 |
| Angolo orizzontale 1 | 91.51910c |
| Distanza orizzontale 1 | 320.3740 |
| Angolo orizzontale 2 | 91.52050c |
| Distanza orizzontale 2 | 320.3740 |
| Deviazione sull'angolo orizzontale | 0.00070c |
| Deviazione sulla distanza orizzontale | 0.0000 |

Stazione

| | |
|----------------------------|--------------|
| Nome della stazione | LSS223015 |
| E | 687197.1863 |
| N | 4793153.3422 |
| Quota | 204.047 |
| Angolo di correzione | 399.99970c |

Dati utilizzati per la posizione

Misura tacheometrica

| | |
|---|--------------|
| Nome della stazione | PSS223068 |
| Nome del punto osservato | LSS223015 |
| Distanza orizzontale | 118.6938 |
| Distanza orizzontale avanti | 118.6935 |
| Distanza orizzontale indietro | 118.6941 |
| Errore sulla distanza orizzontale | 0.0005 |
| Azimut | 304.69120c |
| Angolo orizzontale | 304.69150c |
| Angolo di correzione | 399.99970c |
| E | 687197.1863 |
| N | 4793153.3422 |
| E precedente | 687315.5580 |
| N precedente | 4793144.6037 |
| dE | -118.3717 |
| dN | 8.7385 |

Misure in avanti

| | |
|---|------------|
| Nome della stazione | PSS223068 |
| Nome del punto osservato | LSS223015 |
| Angolo orizzontale | 304.69150c |
| Deviazione sull'angolo orizzontale | 0.00000c |
| Errore sull'angolo orizzontale | 0.00000c |
| Distanza orizzontale | 118.6935 |
| Deviazione sulla distanza orizzontale | 0.0000 |
| Errore sulla distanza orizzontale | 0.0000 |

Misura

| | |
|---|------------|
| Strato | 1 |
| Angolo orizzontale | 304.69150c |
| Distanza orizzontale | 118.6935 |
| Angolo orizzontale 1 | 304.69120c |
| Distanza orizzontale 1 | 118.6935 |
| Angolo orizzontale 2 | 304.69180c |
| Distanza orizzontale 2 | 118.6935 |
| Deviazione sull'angolo orizzontale | 0.00030c |
| Deviazione sulla distanza orizzontale | 0.0000 |

Misure indietro

| | |
|---|-----------|
| Nome della stazione | LSS223015 |
| Nome del punto osservato | PSS223068 |
| Distanza orizzontale | 118.6941 |
| Deviazione sulla distanza orizzontale | 0.0000 |
| Errore sulla distanza orizzontale | 0.0000 |

Misura

| | |
|---|----------|
| Strato | 1 |
| Distanza orizzontale | 118.6941 |
| Distanza orizzontale 1 | 118.6941 |
| Distanza orizzontale 2 | 118.6940 |
| Deviazione sulla distanza orizzontale | -0.0001 |

Dati utilizzati per la quota

Misura per quota

| | |
|--------------------------------|-----------|
| Nome della stazione | PSS223068 |
| Nome del punto osservato | LSS223015 |
| Altezza strumento | 1.524 |

| | |
|-----------------------------|---------|
| Dislivello | 0.563 |
| Dislivello in avanti | 0.561 |
| Dislivello indietro | -0.564 |
| Errore sul dislivello | 0.003 |
| Quota | 204.047 |
| Quota precedente | 203.485 |

Misure in avanti

| | |
|---------------------------------|-----------|
| Nome della stazione | PSS223068 |
| Nome del punto osservato | LSS223015 |
| Dislivello | 0.561 |
| Deviazione sul dislivello | 0.000 |
| Errore sul dislivello | 0.000 |

Misura

| | |
|--|-----------|
| Strato | 1 |
| Altezza prisma | 1.552 |
| Angolo verticale | 99.68410c |
| Angolo verticale 1 | 99.68530c |
| Angolo verticale 2 | 99.68290c |
| Deviazione sull'angolo verticale | -0.00120c |
| Dislivello | 0.561 |
| Dislivello 1 | 0.559 |
| Dislivello 2 | 0.563 |
| Deviazione sul dislivello | 0.004 |

Misure indietro

| | |
|---------------------------------|-----------|
| Nome della stazione | LSS223015 |
| Nome del punto osservato | PSS223068 |
| Dislivello | -0.564 |
| Deviazione sul dislivello | 0.000 |
| Errore sul dislivello | 0.000 |

Misura

| | |
|--|------------|
| Strato | 1 |
| Altezza prisma | 1.400 |
| Angolo verticale | 100.25425c |
| Angolo verticale 1 | 100.24100c |
| Angolo verticale 2 | 100.26750c |
| Deviazione sull'angolo verticale | 0.01325c |
| Dislivello | -0.564 |
| Dislivello 1 | -0.539 |
| Dislivello 2 | -0.589 |
| Deviazione sul dislivello | -0.049 |

Dati utilizzati per l'orientamento

Orientamento

| | |
|--------------------------------|------------|
| Nome della stazione | LSS223015 |
| Nome del punto osservato | PSS223068 |
| Azimut | 104.69120c |
| Angolo orizzontale | 104.69150c |
| Angolo di correzione | 399.99970c |

Misure

| | |
|---|------------|
| Nome della stazione | LSS223015 |
| Nome del punto osservato | PSS223068 |
| Angolo orizzontale | 104.69150c |
| Deviazione sull'angolo orizzontale | 0.00000c |
| Errore sull'angolo orizzontale | 0.00000c |
| Distanza orizzontale | 118.6941 |
| Deviazione sulla distanza orizzontale | 0.0000 |
| Errore sulla distanza orizzontale | 0.0000 |

Misura

| | |
|---|------------|
| Strato | 1 |
| Angolo orizzontale | 104.69150c |
| Distanza orizzontale | 118.6941 |
| Angolo orizzontale 1 | 104.69150c |
| Distanza orizzontale 1 | 118.6941 |
| Angolo orizzontale 2 | 104.69150c |
| Distanza orizzontale 2 | 118.6940 |
| Deviazione sull'angolo orizzontale | 0.00000c |
| Deviazione sulla distanza orizzontale | -0.0001 |

Stazione

| | |
|----------------------------|--------------|
| Nome della stazione | PA001 |
| E | 686989.9681 |
| N | 4793199.7488 |
| Quota | 206.445 |
| Angolo di correzione | 399.99970c |

Dati utilizzati per la posizione

Misura tacheometrica

| | |
|---|--------------|
| Nome della stazione | LSS223015 |
| Nome del punto osservato | PA001 |
| Distanza orizzontale | 212.3510 |
| Distanza orizzontale avanti | 212.3512 |
| Distanza orizzontale indietro | 212.3509 |
| Errore sulla distanza orizzontale | 0.0003 |
| Azimut | 314.02570c |
| Angolo orizzontale | 314.02600c |
| Angolo di correzione | 399.99970c |
| E | 686989.9681 |
| N | 4793199.7488 |
| E precedente | 687197.1863 |
| N precedente | 4793153.3422 |
| dE | -207.2182 |
| dN | 46.4066 |

Misure in avanti

| | |
|---|------------|
| Nome della stazione | LSS223015 |
| Nome del punto osservato | PA001 |
| Angolo orizzontale | 314.02600c |
| Deviazione sull'angolo orizzontale | 0.00000c |
| Errore sull'angolo orizzontale | 0.00000c |
| Distanza orizzontale | 212.3512 |
| Deviazione sulla distanza orizzontale | 0.0000 |
| Errore sulla distanza orizzontale | 0.0000 |

Misura

| | |
|---|------------|
| Strato | 1 |
| Angolo orizzontale | 314.02600c |
| Distanza orizzontale | 212.3512 |
| Angolo orizzontale 1 | 314.02600c |
| Distanza orizzontale 1 | 212.3506 |
| Angolo orizzontale 2 | 314.02600c |
| Distanza orizzontale 2 | 212.3517 |
| Deviazione sull'angolo orizzontale | 0.00000c |
| Deviazione sulla distanza orizzontale | 0.0006 |

Misure indietro

| | |
|---|-----------|
| Nome della stazione | PA001 |
| Nome del punto osservato | LSS223015 |
| Distanza orizzontale | 212.3509 |
| Deviazione sulla distanza orizzontale | 0.0000 |
| Errore sulla distanza orizzontale | 0.0000 |

Misura

| | |
|---|----------|
| Strato | 1 |
| Distanza orizzontale | 212.3509 |
| Distanza orizzontale 1 | 212.3515 |
| Distanza orizzontale 2 | 212.3502 |
| Deviazione sulla distanza orizzontale | -0.0007 |

Dati utilizzati per la quota

Misura per quota

| | |
|--------------------------------|-----------|
| Nome della stazione | LSS223015 |
| Nome del punto osservato | PA001 |
| Altezza strumento | 1.310 |
| Dislivello | 2.398 |
| Dislivello in avanti | 2.387 |
| Dislivello indietro | -2.409 |
| Errore sul dislivello | 0.022 |
| Quota | 206.445 |
| Quota precedente | 204.047 |

Misure in avanti

| | |
|---------------------------------|-----------|
| Nome della stazione | LSS223015 |
| Nome del punto osservato | PA001 |
| Dislivello | 2.387 |
| Deviazione sul dislivello | 0.000 |
| Errore sul dislivello | 0.000 |

Misura

| | |
|--|-----------|
| Strato | 1 |
| Altezza prisma | 1.675 |
| Angolo verticale | 99.17500c |
| Angolo verticale 1 | 99.16200c |
| Angolo verticale 2 | 99.18800c |
| Deviazione sull'angolo verticale | 0.01300c |
| Dislivello | 2.387 |

| | |
|---------------------------------|--------|
| Dislivello 1 | 2.430 |
| Dislivello 2 | 2.344 |
| Deviazione sul dislivello | -0.087 |

Misure indietro

| | |
|---------------------------------|-----------|
| Nome della stazione | PA001 |
| Nome del punto osservato | LSS223015 |
| Dislivello | -2.409 |
| Deviazione sul dislivello | 0.000 |
| Errore sul dislivello | 0.000 |

Misura

| | |
|--|------------|
| Strato | 1 |
| Altezza prisma | 1.310 |
| Angolo verticale | 100.83150c |
| Angolo verticale 1 | 100.81650c |
| Angolo verticale 2 | 100.84650c |
| Deviazione sull'angolo verticale | 0.01500c |
| Dislivello | -2.409 |
| Dislivello 1 | -2.359 |
| Dislivello 2 | -2.459 |
| Deviazione sul dislivello | -0.100 |

Dati utilizzati per l'orientamento**Orientamento**

| | |
|--------------------------------|------------|
| Nome della stazione | PA001 |
| Nome del punto osservato | LSS223015 |
| Azimut | 114.02570c |
| Angolo orizzontale | 114.02600c |
| Angolo di correzione | 399.99970c |

Misure

| | |
|---|------------|
| Nome della stazione | PA001 |
| Nome del punto osservato | LSS223015 |
| Angolo orizzontale | 114.02600c |
| Deviazione sull'angolo orizzontale | 0.00000c |
| Errore sull'angolo orizzontale | 0.00000c |
| Distanza orizzontale | 212.3509 |
| Deviazione sulla distanza orizzontale | 0.0000 |
| Errore sulla distanza orizzontale | 0.0000 |

Misura

| | |
|---|------------|
| Strato | 1 |
| Angolo orizzontale | 114.02600c |
| Distanza orizzontale | 212.3509 |
| Angolo orizzontale 1 | 114.02600c |
| Distanza orizzontale 1 | 212.3515 |
| Angolo orizzontale 2 | 114.02600c |
| Distanza orizzontale 2 | 212.3502 |
| Deviazione sull'angolo orizzontale | 0.00000c |
| Deviazione sulla distanza orizzontale | -0.0007 |

Stazione

| | |
|----------------------------|--------------|
| Nome della stazione | PSS223069 |
| E | 686775.2774 |
| N | 4793306.7802 |
| Quota | 211.552 |
| Angolo di correzione | 399.99970c |

Dati utilizzati per la posizione**Misura tacheometrica**

| | |
|---|--------------|
| Nome della stazione | PA001 |
| Nome del punto osservato | PSS223069 |
| Distanza orizzontale | 239.8913 |
| Distanza orizzontale avanti | 239.8917 |
| Distanza orizzontale indietro | 239.8909 |
| Errore sulla distanza orizzontale | 0.0008 |
| Azimut | 329.44220c |
| Angolo orizzontale | 329.44250c |
| Angolo di correzione | 399.99970c |
| E | 686775.2774 |
| N | 4793306.7802 |
| E precedente | 686989.9681 |
| N precedente | 4793199.7488 |
| dE | -214.6907 |
| dN | 107.0314 |

Misure in avanti

| | |
|--------------------------------|-----------|
| Nome della stazione | PA001 |
| Nome del punto osservato | PSS223069 |

| | |
|---|------------|
| Angolo orizzontale | 329.44250c |
| Deviazione sull'angolo orizzontale | 0.00000c |
| Errore sull'angolo orizzontale | 0.00000c |
| Distanza orizzontale | 239.8917 |
| Deviazione sulla distanza orizzontale | 0.0000 |
| Errore sulla distanza orizzontale | 0.0000 |

Misura

| | |
|---|------------|
| Strato | 1 |
| Angolo orizzontale | 329.44250c |
| Distanza orizzontale | 239.8917 |
| Angolo orizzontale 1 | 329.44250c |
| Distanza orizzontale 1 | 239.8907 |
| Angolo orizzontale 2 | 329.44250c |
| Distanza orizzontale 2 | 239.8926 |
| Deviazione sull'angolo orizzontale | 0.00000c |
| Deviazione sulla distanza orizzontale | 0.0009 |

Misure indietro

| | |
|---|-----------|
| Nome della stazione | PSS223069 |
| Nome del punto osservato | PA001 |
| Distanza orizzontale | 239.8909 |
| Deviazione sulla distanza orizzontale | 0.0000 |
| Errore sulla distanza orizzontale | 0.0000 |

Misura

| | |
|---|----------|
| Strato | 1 |
| Distanza orizzontale | 239.8909 |
| Distanza orizzontale 1 | 239.8920 |
| Distanza orizzontale 2 | 239.8897 |
| Deviazione sulla distanza orizzontale | -0.0011 |

Dati utilizzati per la quota

Misura per quota

| | |
|--------------------------------|-----------|
| Nome della stazione | PA001 |
| Nome del punto osservato | PSS223069 |
| Altezza strumento | 1.675 |
| Dislivello | 5.107 |
| Dislivello in avanti | 5.088 |
| Dislivello indietro | -5.126 |
| Errore sul dislivello | 0.038 |
| Quota | 211.552 |
| Quota precedente | 206.445 |

Misure in avanti

| | |
|---------------------------------|-----------|
| Nome della stazione | PA001 |
| Nome del punto osservato | PSS223069 |
| Dislivello | 5.088 |
| Deviazione sul dislivello | 0.000 |
| Errore sul dislivello | 0.000 |

Misura

| | |
|--|-----------|
| Strato | 1 |
| Altezza prisma | 1.550 |
| Angolo verticale | 98.68300c |
| Angolo verticale 1 | 98.67100c |
| Angolo verticale 2 | 98.69500c |
| Deviazione sull'angolo verticale | 0.01200c |
| Dislivello | 5.088 |
| Dislivello 1 | 5.134 |
| Dislivello 2 | 5.043 |
| Deviazione sul dislivello | -0.090 |

Misure indietro

| | |
|---------------------------------|-----------|
| Nome della stazione | PSS223069 |
| Nome del punto osservato | PA001 |
| Dislivello | -5.126 |
| Deviazione sul dislivello | 0.000 |
| Errore sul dislivello | 0.000 |

Misura

| | |
|--|------------|
| Strato | 1 |
| Altezza prisma | 1.675 |
| Angolo verticale | 101.32700c |
| Angolo verticale 1 | 101.31250c |
| Angolo verticale 2 | 101.34150c |
| Deviazione sull'angolo verticale | 0.01450c |
| Dislivello | -5.126 |
| Dislivello 1 | -5.071 |
| Dislivello 2 | -5.181 |

..... Deviazione sul dislivello -0.109

Dati utilizzati per l'orientamento

Orientamento

..... Nome della stazione PSS223069
 Nome del punto osservato PA001
 Azimut 129.44220c
 Angolo orizzontale 129.44250c
 Angolo di correzione 399.99970c

Misure

..... Nome della stazione PSS223069
 Nome del punto osservato PA001
 Angolo orizzontale 129.44250c
 Deviazione sull'angolo orizzontale 0.00000c
 Errore sull'angolo orizzontale 0.00000c
 Distanza orizzontale 239.8909
 Deviazione sulla distanza orizzontale 0.0000
 Errore sulla distanza orizzontale 0.0000

Misura

..... Strato 1
 Angolo orizzontale 129.44250c
 Distanza orizzontale 239.8909
 Angolo orizzontale 1 129.44250c
 Distanza orizzontale 1 239.8920
 Angolo orizzontale 2 129.44250c
 Distanza orizzontale 2 239.8897
 Deviazione sull'angolo orizzontale 0.00000c
 Deviazione sulla distanza orizzontale -0.0011

Stazione

..... Nome della stazione PA004
 E 686667.0639
 N 4793373.4206
 Quota 214.888
 Angolo di correzione 0.00170c

Dati utilizzati per la posizione

Misura tacheometrica

..... Nome della stazione PSS223069
 Nome del punto osservato PA004
 Distanza orizzontale 127.0870
 Distanza orizzontale avanti 127.0871
 Distanza orizzontale indietro 127.0870
 Errore sulla distanza orizzontale 0.0001
 Azimut 335.13970c
 Angolo orizzontale 335.14000c
 Angolo di correzione 399.99970c
 E 686667.0639
 N 4793373.4206
 E precedente 686775.2774
 N precedente 4793306.7802
 dE -108.2135
 dN 66.6404

Misure in avanti

..... Nome della stazione PSS223069
 Nome del punto osservato PA004
 Angolo orizzontale 335.14000c
 Deviazione sull'angolo orizzontale 0.00000c
 Errore sull'angolo orizzontale 0.00000c
 Distanza orizzontale 127.0871
 Deviazione sulla distanza orizzontale 0.0000
 Errore sulla distanza orizzontale 0.0000

Misura

..... Strato 1
 Angolo orizzontale 335.14000c
 Distanza orizzontale 127.0871
 Angolo orizzontale 1 335.13850c
 Distanza orizzontale 1 127.0862
 Angolo orizzontale 2 335.14150c
 Distanza orizzontale 2 127.0879
 Deviazione sull'angolo orizzontale 0.00150c
 Deviazione sulla distanza orizzontale 0.0008

Misure indietro

..... Nome della stazione PA004
 Nome del punto osservato PSS223069

| | |
|---|----------|
| Distanza orizzontale | 127.0870 |
| Deviazione sulla distanza orizzontale | 0.0000 |
| Errore sulla distanza orizzontale | 0.0000 |
| Misura | |
| Strato | 1 |
| Distanza orizzontale | 127.0870 |
| Distanza orizzontale 1 | 127.0878 |
| Distanza orizzontale 2 | 127.0862 |
| Deviazione sulla distanza orizzontale | -0.0008 |

Dati utilizzati per la quota

Misura per quota

| | |
|--------------------------------|-----------|
| Nome della stazione | PSS223069 |
| Nome del punto osservato | PA004 |
| Altezza strumento | 1.550 |
| Dislivello | 3.336 |
| Dislivello in avanti | 3.335 |
| Dislivello indietro | -3.337 |
| Errore sul dislivello | 0.002 |
| Quota | 214.888 |
| Quota precedente | 211.552 |

Misure in avanti

| | |
|---------------------------------|-----------|
| Nome della stazione | PSS223069 |
| Nome del punto osservato | PA004 |
| Dislivello | 3.335 |
| Deviazione sul dislivello | 0.000 |
| Errore sul dislivello | 0.000 |

Misura

| | |
|--|-----------|
| Strato | 1 |
| Altezza prisma | 1.595 |
| Angolo verticale | 98.30725c |
| Angolo verticale 1 | 98.29200c |
| Angolo verticale 2 | 98.32250c |
| Deviazione sull'angolo verticale | 0.01525c |
| Dislivello | 3.335 |
| Dislivello 1 | 3.365 |
| Dislivello 2 | 3.305 |
| Deviazione sul dislivello | -0.061 |

Misure indietro

| | |
|---------------------------------|-----------|
| Nome della stazione | PA004 |
| Nome del punto osservato | PSS223069 |
| Dislivello | -3.337 |
| Deviazione sul dislivello | 0.000 |
| Errore sul dislivello | 0.000 |

Misura

| | |
|--|------------|
| Strato | 1 |
| Altezza prisma | 1.550 |
| Angolo verticale | 101.69375c |
| Angolo verticale 1 | 101.67850c |
| Angolo verticale 2 | 101.70900c |
| Deviazione sull'angolo verticale | 0.01525c |
| Dislivello | -3.337 |
| Dislivello 1 | -3.307 |
| Dislivello 2 | -3.367 |
| Deviazione sul dislivello | -0.061 |

Dati utilizzati per l'orientamento

Orientamento

| | |
|--------------------------------|------------|
| Nome della stazione | PA004 |
| Nome del punto osservato | PSS223069 |
| Azimut | 135.13970c |
| Angolo orizzontale | 135.13800c |
| Angolo di correzione | 0.00170c |

Misure

| | |
|---|------------|
| Nome della stazione | PA004 |
| Nome del punto osservato | PSS223069 |
| Angolo orizzontale | 135.13800c |
| Deviazione sull'angolo orizzontale | 0.00000c |
| Errore sull'angolo orizzontale | 0.00000c |
| Distanza orizzontale | 127.0870 |
| Deviazione sulla distanza orizzontale | 0.0000 |
| Errore sulla distanza orizzontale | 0.0000 |

Misura

| | |
|--------------|---|
| Strato | 1 |
|--------------|---|

| | |
|---|------------|
| Angolo orizzontale | 135.13800c |
| Distanza orizzontale | 127.0870 |
| Angolo orizzontale 1 | 135.13900c |
| Distanza orizzontale 1 | 127.0878 |
| Angolo orizzontale 2 | 135.13700c |
| Distanza orizzontale 2 | 127.0862 |
| Deviazione sull'angolo orizzontale | -0.00100c |
| Deviazione sulla distanza orizzontale | -0.0008 |

Stazione

| | |
|----------------------------|--------------|
| Nome della stazione | PSS223070 |
| E | 686512.3157 |
| N | 4793433.0038 |
| Quota | 218.707 |
| Angolo di correzione | 0.00120c |

Dati utilizzati per la posizione

Misura tacheometrica

| | |
|---|--------------|
| Nome della stazione | PA004 |
| Nome del punto osservato | PSS223070 |
| Distanza orizzontale | 165.8227 |
| Distanza orizzontale avanti | 165.8229 |
| Distanza orizzontale indietro | 165.8225 |
| Errore sulla distanza orizzontale | 0.0003 |
| Azimut | 323.39820c |
| Angolo orizzontale | 323.39650c |
| Angolo di correzione | 0.00170c |
| E | 686512.3157 |
| N | 4793433.0038 |
| E precedente | 686667.0639 |
| N precedente | 4793373.4206 |
| dE | -154.7482 |
| dN | 59.5832 |

Misure in avanti

| | |
|---|------------|
| Nome della stazione | PA004 |
| Nome del punto osservato | PSS223070 |
| Angolo orizzontale | 323.39650c |
| Deviazione sull'angolo orizzontale | 0.00000c |
| Errore sull'angolo orizzontale | 0.00000c |
| Distanza orizzontale | 165.8229 |
| Deviazione sulla distanza orizzontale | 0.0000 |
| Errore sulla distanza orizzontale | 0.0000 |

Misura

| | |
|---|------------|
| Strato | 1 |
| Angolo orizzontale | 323.39650c |
| Distanza orizzontale | 165.8229 |
| Angolo orizzontale 1 | 323.39550c |
| Distanza orizzontale 1 | 165.8223 |
| Angolo orizzontale 2 | 323.39750c |
| Distanza orizzontale 2 | 165.8235 |
| Deviazione sull'angolo orizzontale | 0.00100c |
| Deviazione sulla distanza orizzontale | 0.0006 |

Misure indietro

| | |
|---|-----------|
| Nome della stazione | PSS223070 |
| Nome del punto osservato | PA004 |
| Distanza orizzontale | 165.8225 |
| Deviazione sulla distanza orizzontale | 0.0000 |
| Errore sulla distanza orizzontale | 0.0000 |

Misura

| | |
|---|----------|
| Strato | 1 |
| Distanza orizzontale | 165.8225 |
| Distanza orizzontale 1 | 165.8232 |
| Distanza orizzontale 2 | 165.8218 |
| Deviazione sulla distanza orizzontale | -0.0007 |

Dati utilizzati per la quota

Misura per quota

| | |
|--------------------------------|-----------|
| Nome della stazione | PA004 |
| Nome del punto osservato | PSS223070 |
| Altezza strumento | 1.595 |
| Dislivello | 3.819 |
| Dislivello in avanti | 3.810 |
| Dislivello indietro | -3.827 |
| Errore sul dislivello | 0.017 |
| Quota | 218.707 |

| | |
|---|--------------|
| Quota precedente | 214.888 |
| Misure in avanti | |
| Nome della stazione | PA004 |
| Nome del punto osservato | PSS223070 |
| Dislivello | 3.810 |
| Deviazione sul dislivello | 0.000 |
| Errore sul dislivello | 0.000 |
| Misura | |
| Strato | 1 |
| Altezza prisma | 1.150 |
| Angolo verticale | 98.70825c |
| Angolo verticale 1 | 98.69700c |
| Angolo verticale 2 | 98.71950c |
| Deviazione sull'angolo verticale | 0.01125c |
| Dislivello | 3.810 |
| Dislivello 1 | 3.839 |
| Dislivello 2 | 3.781 |
| Deviazione sul dislivello | -0.059 |
| Misure indietro | |
| Nome della stazione | PSS223070 |
| Nome del punto osservato | PA004 |
| Dislivello | -3.827 |
| Deviazione sul dislivello | 0.000 |
| Errore sul dislivello | 0.000 |
| Misura | |
| Strato | 1 |
| Altezza prisma | 1.595 |
| Angolo verticale | 101.29825c |
| Angolo verticale 1 | 101.28500c |
| Angolo verticale 2 | 101.31150c |
| Deviazione sull'angolo verticale | 0.01325c |
| Dislivello | -3.827 |
| Dislivello 1 | -3.793 |
| Dislivello 2 | -3.862 |
| Deviazione sul dislivello | -0.069 |
| Dati utilizzati per l'orientamento | |
| Orientamento | |
| Nome della stazione | PSS223070 |
| Nome del punto osservato | PA004 |
| Azimut | 123.39820c |
| Angolo orizzontale | 123.39700c |
| Angolo di correzione | 0.00120c |
| Misure | |
| Nome della stazione | PSS223070 |
| Nome del punto osservato | PA004 |
| Angolo orizzontale | 123.39700c |
| Deviazione sull'angolo orizzontale | 0.00000c |
| Errore sull'angolo orizzontale | 0.00000c |
| Distanza orizzontale | 165.8225 |
| Deviazione sulla distanza orizzontale | 0.0000 |
| Errore sulla distanza orizzontale | 0.0000 |
| Misura | |
| Strato | 1 |
| Angolo orizzontale | 123.39700c |
| Distanza orizzontale | 165.8225 |
| Angolo orizzontale 1 | 123.39600c |
| Distanza orizzontale 1 | 165.8232 |
| Angolo orizzontale 2 | 123.39800c |
| Distanza orizzontale 2 | 165.8218 |
| Deviazione sull'angolo orizzontale | 0.00100c |
| Deviazione sulla distanza orizzontale | -0.0007 |
| Stazione | |
| Nome della stazione | PSS223071 |
| E | 686466.5908 |
| N | 4793445.4089 |
| Quota | 219.324 |
| Angolo di correzione | 0.00420c |
| Dati utilizzati per la posizione | |
| Misura tacheometrica | |
| Nome della stazione | PSS223070 |
| Nome del punto osservato | PSS223071 |
| Distanza orizzontale | 47.3778 |

| | |
|---|--------------|
| Distanza orizzontale avanti | 47.3773 |
| Distanza orizzontale indietro | 47.3782 |
| Errore sulla distanza orizzontale | 0.0010 |
| Azimut | 316.86545c |
| Angolo orizzontale | 316.86425c |
| Angolo di correzione | 0.00120c |
| E | 686466.5908 |
| N | 4793445.4089 |
| E precedente | 686512.3157 |
| N precedente | 4793433.0038 |
| dE | -45.7249 |
| dN | 12.4051 |

Misure in avanti

| | |
|---|------------|
| Nome della stazione | PSS223070 |
| Nome del punto osservato | PSS223071 |
| Angolo orizzontale | 316.86425c |
| Deviazione sull'angolo orizzontale | 0.00000c |
| Errore sull'angolo orizzontale | 0.00000c |
| Distanza orizzontale | 47.3773 |
| Deviazione sulla distanza orizzontale | 0.0000 |
| Errore sulla distanza orizzontale | 0.0000 |

Misura

| | |
|---|------------|
| Strato | 1 |
| Angolo orizzontale | 316.86425c |
| Distanza orizzontale | 47.3773 |
| Angolo orizzontale 1 | 316.86300c |
| Distanza orizzontale 1 | 47.3771 |
| Angolo orizzontale 2 | 316.86550c |
| Distanza orizzontale 2 | 47.3774 |
| Deviazione sull'angolo orizzontale | 0.00125c |
| Deviazione sulla distanza orizzontale | 0.0002 |

Misure indietro

| | |
|---|-----------|
| Nome della stazione | PSS223071 |
| Nome del punto osservato | PSS223070 |
| Distanza orizzontale | 47.3782 |
| Deviazione sulla distanza orizzontale | 0.0000 |
| Errore sulla distanza orizzontale | 0.0000 |

Misura

| | |
|---|---------|
| Strato | 1 |
| Distanza orizzontale | 47.3782 |
| Distanza orizzontale 1 | 47.3785 |
| Distanza orizzontale 2 | 47.3780 |
| Deviazione sulla distanza orizzontale | -0.0002 |

Dati utilizzati per la quota

Misura per quota

| | |
|--------------------------------|-----------|
| Nome della stazione | PSS223070 |
| Nome del punto osservato | PSS223071 |
| Altezza strumento | 1.150 |
| Dislivello | 0.617 |
| Dislivello in avanti | 0.616 |
| Dislivello indietro | -0.617 |
| Errore sul dislivello | 0.001 |
| Quota | 219.324 |
| Quota precedente | 218.707 |

Misure in avanti

| | |
|---------------------------------|-----------|
| Nome della stazione | PSS223070 |
| Nome del punto osservato | PSS223071 |
| Dislivello | 0.616 |
| Deviazione sul dislivello | 0.000 |
| Errore sul dislivello | 0.000 |

Misura

| | |
|--|-----------|
| Strato | 1 |
| Altezza prisma | 1.390 |
| Angolo verticale | 98.84975c |
| Angolo verticale 1 | 98.83650c |
| Angolo verticale 2 | 98.86300c |
| Deviazione sull'angolo verticale | 0.01325c |
| Dislivello | 0.616 |
| Dislivello 1 | 0.626 |
| Dislivello 2 | 0.606 |
| Deviazione sul dislivello | -0.020 |

Misure indietro

| | |
|--|------------|
| Nome della stazione | PSS223071 |
| Nome del punto osservato | PSS223070 |
| Dislivello | -0.617 |
| Deviazione sul dislivello | 0.000 |
| Errore sul dislivello | 0.000 |
| Misura | |
| Strato | 1 |
| Altezza prisma | 1.150 |
| Angolo verticale | 101.15200c |
| Angolo verticale 1 | 101.13550c |
| Angolo verticale 2 | 101.16850c |
| Deviazione sull'angolo verticale | 0.01650c |
| Dislivello | -0.617 |
| Dislivello 1 | -0.605 |
| Dislivello 2 | -0.630 |
| Deviazione sul dislivello | -0.025 |

Dati utilizzati per l'orientamento

Orientamento

| | |
|--------------------------------|------------|
| Nome della stazione | PSS223071 |
| Nome del punto osservato | PSS223070 |
| Azimut | 116.86545c |
| Angolo orizzontale | 116.86125c |
| Angolo di correzione | 0.00420c |

Misure

| | |
|---|------------|
| Nome della stazione | PSS223071 |
| Nome del punto osservato | PSS223070 |
| Angolo orizzontale | 116.86125c |
| Deviazione sull'angolo orizzontale | 0.00000c |
| Errore sull'angolo orizzontale | 0.00000c |
| Distanza orizzontale | 47.3782 |
| Deviazione sulla distanza orizzontale | 0.0000 |
| Errore sulla distanza orizzontale | 0.0000 |

Misura

| | |
|---|------------|
| Strato | 1 |
| Angolo orizzontale | 116.86125c |
| Distanza orizzontale | 47.3782 |
| Angolo orizzontale 1 | 116.86300c |
| Distanza orizzontale 1 | 47.3785 |
| Angolo orizzontale 2 | 116.85950c |
| Distanza orizzontale 2 | 47.3780 |
| Deviazione sull'angolo orizzontale | -0.00175c |
| Deviazione sulla distanza orizzontale | -0.0002 |

Stazione

| | |
|----------------------------|--------------|
| Nome della stazione | PA005 |
| E | 686248.3795 |
| N | 4793473.8515 |
| Quota | 220.930 |
| Angolo di correzione | 0.00445c |

Dati utilizzati per la posizione

Misura tacheometrica

| | |
|---|--------------|
| Nome della stazione | PSS223071 |
| Nome del punto osservato | PA005 |
| Distanza orizzontale | 220.0572 |
| Distanza orizzontale avanti | 220.0573 |
| Distanza orizzontale indietro | 220.0572 |
| Errore sulla distanza orizzontale | 0.0001 |
| Azimut | 308.25145c |
| Angolo orizzontale | 308.24725c |
| Angolo di correzione | 0.00420c |
| E | 686248.3795 |
| N | 4793473.8515 |
| E precedente | 686466.5908 |
| N precedente | 4793445.4089 |
| dE | -218.2114 |
| dN | 28.4426 |

Misure in avanti

| | |
|---|------------|
| Nome della stazione | PSS223071 |
| Nome del punto osservato | PA005 |
| Angolo orizzontale | 308.24725c |
| Deviazione sull'angolo orizzontale | 0.00000c |
| Errore sull'angolo orizzontale | 0.00000c |
| Distanza orizzontale | 220.0573 |
| Deviazione sulla distanza orizzontale | 0.0000 |

| | |
|---|------------|
| Errore sulla distanza orizzontale | 0.0000 |
| Misura | |
| Strato | 1 |
| Angolo orizzontale | 308.24725c |
| Distanza orizzontale | 220.0573 |
| Angolo orizzontale 1 | 308.24600c |
| Distanza orizzontale 1 | 220.0569 |
| Angolo orizzontale 2 | 308.24850c |
| Distanza orizzontale 2 | 220.0576 |
| Deviazione sull'angolo orizzontale | 0.00125c |
| Deviazione sulla distanza orizzontale | 0.0004 |

Misure indietro

| | |
|---|-----------|
| Nome della stazione | PA005 |
| Nome del punto osservato | PSS223071 |
| Distanza orizzontale | 220.0572 |
| Deviazione sulla distanza orizzontale | 0.0000 |
| Errore sulla distanza orizzontale | 0.0000 |

Misura

| | |
|---|----------|
| Strato | 1 |
| Distanza orizzontale | 220.0572 |
| Distanza orizzontale 1 | 220.0575 |
| Distanza orizzontale 2 | 220.0568 |
| Deviazione sulla distanza orizzontale | -0.0004 |

Dati utilizzati per la quota

Misura per quota

| | |
|--------------------------------|-----------|
| Nome della stazione | PSS223071 |
| Nome del punto osservato | PA005 |
| Altezza strumento | 1.390 |
| Dislivello | 1.607 |
| Dislivello in avanti | 1.601 |
| Dislivello indietro | -1.612 |
| Errore sul dislivello | 0.011 |
| Quota | 220.930 |
| Quota precedente | 219.324 |

Misure in avanti

| | |
|---------------------------------|-----------|
| Nome della stazione | PSS223071 |
| Nome del punto osservato | PA005 |
| Dislivello | 1.601 |
| Deviazione sul dislivello | 0.000 |
| Errore sul dislivello | 0.000 |

Misura

| | |
|--|-----------|
| Strato | 1 |
| Altezza prisma | 1.635 |
| Angolo verticale | 99.46600c |
| Angolo verticale 1 | 99.45350c |
| Angolo verticale 2 | 99.47850c |
| Deviazione sull'angolo verticale | 0.01250c |
| Dislivello | 1.601 |
| Dislivello 1 | 1.644 |
| Dislivello 2 | 1.558 |
| Deviazione sul dislivello | -0.086 |

Misure indietro

| | |
|---------------------------------|-----------|
| Nome della stazione | PA005 |
| Nome del punto osservato | PSS223071 |
| Dislivello | -1.612 |
| Deviazione sul dislivello | 0.000 |
| Errore sul dislivello | 0.000 |

Misura

| | |
|--|------------|
| Strato | 1 |
| Altezza prisma | 1.390 |
| Angolo verticale | 100.53725c |
| Angolo verticale 1 | 100.52500c |
| Angolo verticale 2 | 100.54950c |
| Deviazione sull'angolo verticale | 0.01225c |
| Dislivello | -1.612 |
| Dislivello 1 | -1.570 |
| Dislivello 2 | -1.654 |
| Deviazione sul dislivello | -0.085 |

Dati utilizzati per l'orientamento

Orientamento

| | |
|---------------------------|-------|
| Nome della stazione | PA005 |
|---------------------------|-------|

| | |
|--------------------------------|------------|
| Nome del punto osservato | PSS223071 |
| Azimut | 108.25145c |
| Angolo orizzontale | 108.24700c |
| Angolo di correzione | 0.00445c |

Misure

| | |
|---|------------|
| Nome della stazione | PA005 |
| Nome del punto osservato | PSS223071 |
| Angolo orizzontale | 108.24700c |
| Deviazione sull'angolo orizzontale | 0.00000c |
| Errore sull'angolo orizzontale | 0.00000c |
| Distanza orizzontale | 220.0572 |
| Deviazione sulla distanza orizzontale | 0.0000 |
| Errore sulla distanza orizzontale | 0.0000 |

Misura

| | |
|---|------------|
| Strato | 1 |
| Angolo orizzontale | 108.24700c |
| Distanza orizzontale | 220.0572 |
| Angolo orizzontale 1 | 108.24600c |
| Distanza orizzontale 1 | 220.0575 |
| Angolo orizzontale 2 | 108.24800c |
| Distanza orizzontale 2 | 220.0568 |
| Deviazione sull'angolo orizzontale | 0.00100c |
| Deviazione sulla distanza orizzontale | -0.0004 |

Stazione

| | |
|----------------------------|--------------|
| Nome della stazione | PA006 |
| E | 686146.0222 |
| N | 4793484.9370 |
| Quota | 220.809 |
| Angolo di correzione | 0.00595c |

Dati utilizzati per la posizione

Misura tacheometrica

| | |
|---|--------------|
| Nome della stazione | PA005 |
| Nome del punto osservato | PA006 |
| Distanza orizzontale | 102.9558 |
| Distanza orizzontale avanti | 102.9558 |
| Distanza orizzontale indietro | 102.9558 |
| Errore sulla distanza orizzontale | 0.0000 |
| Azimut | 306.86795c |
| Angolo orizzontale | 306.86350c |
| Angolo di correzione | 0.00445c |
| E | 686146.0222 |
| N | 4793484.9370 |
| E precedente | 686248.3795 |
| N precedente | 4793473.8515 |
| dE | -102.3573 |
| dN | 11.0855 |

Misure in avanti

| | |
|---|------------|
| Nome della stazione | PA005 |
| Nome del punto osservato | PA006 |
| Angolo orizzontale | 306.86350c |
| Deviazione sull'angolo orizzontale | 0.00000c |
| Errore sull'angolo orizzontale | 0.00000c |
| Distanza orizzontale | 102.9558 |
| Deviazione sulla distanza orizzontale | 0.0000 |
| Errore sulla distanza orizzontale | 0.0000 |

Misura

| | |
|---|------------|
| Strato | 1 |
| Angolo orizzontale | 306.86350c |
| Distanza orizzontale | 102.9558 |
| Angolo orizzontale 1 | 306.86150c |
| Distanza orizzontale 1 | 102.9559 |
| Angolo orizzontale 2 | 306.86550c |
| Distanza orizzontale 2 | 102.9558 |
| Deviazione sull'angolo orizzontale | 0.00200c |
| Deviazione sulla distanza orizzontale | 0.0000 |

Misure indietro

| | |
|---|----------|
| Nome della stazione | PA006 |
| Nome del punto osservato | PA005 |
| Distanza orizzontale | 102.9558 |
| Deviazione sulla distanza orizzontale | 0.0000 |
| Errore sulla distanza orizzontale | 0.0000 |

Misura

| | |
|--------------|---|
| Strato | 1 |
|--------------|---|

| | |
|---|----------|
| Distanza orizzontale | 102.9558 |
| Distanza orizzontale 1 | 102.9558 |
| Distanza orizzontale 2 | 102.9559 |
| Deviazione sulla distanza orizzontale | 0.0000 |

Dati utilizzati per la quota

Misura per quota

| | |
|--------------------------------|---------|
| Nome della stazione | PA005 |
| Nome del punto osservato | PA006 |
| Altezza strumento | 1.635 |
| Dislivello | -0.121 |
| Dislivello in avanti | -0.123 |
| Dislivello indietro | 0.120 |
| Errore sul dislivello | 0.003 |
| Quota | 220.809 |
| Quota precedente | 220.930 |

Misure in avanti

| | |
|---------------------------------|--------|
| Nome della stazione | PA005 |
| Nome del punto osservato | PA006 |
| Dislivello | -0.123 |
| Deviazione sul dislivello | 0.000 |
| Errore sul dislivello | 0.000 |

Misura

| | |
|--|------------|
| Strato | 1 |
| Altezza prisma | 1.570 |
| Angolo verticale | 100.11600c |
| Angolo verticale 1 | 100.10300c |
| Angolo verticale 2 | 100.12900c |
| Deviazione sull'angolo verticale | 0.01300c |
| Dislivello | -0.123 |
| Dislivello 1 | -0.102 |
| Dislivello 2 | -0.144 |
| Deviazione sul dislivello | -0.042 |

Misure indietro

| | |
|---------------------------------|-------|
| Nome della stazione | PA006 |
| Nome del punto osservato | PA005 |
| Dislivello | 0.120 |
| Deviazione sul dislivello | 0.000 |
| Errore sul dislivello | 0.000 |

Misura

| | |
|--|-----------|
| Strato | 1 |
| Altezza prisma | 1.635 |
| Angolo verticale | 99.88575c |
| Angolo verticale 1 | 99.87250c |
| Angolo verticale 2 | 99.89900c |
| Deviazione sull'angolo verticale | 0.01325c |
| Dislivello | 0.120 |
| Dislivello 1 | 0.141 |
| Dislivello 2 | 0.098 |
| Deviazione sul dislivello | -0.043 |

Dati utilizzati per l'orientamento

Orientamento

| | |
|--------------------------------|------------|
| Nome della stazione | PA006 |
| Nome del punto osservato | PA005 |
| Azimut | 106.86795c |
| Angolo orizzontale | 106.86200c |
| Angolo di correzione | 0.00595c |

Misure

| | |
|---|------------|
| Nome della stazione | PA006 |
| Nome del punto osservato | PA005 |
| Angolo orizzontale | 106.86200c |
| Deviazione sull'angolo orizzontale | 0.00000c |
| Errore sull'angolo orizzontale | 0.00000c |
| Distanza orizzontale | 102.9558 |
| Deviazione sulla distanza orizzontale | 0.0000 |
| Errore sulla distanza orizzontale | 0.0000 |

Misura

| | |
|------------------------------|------------|
| Strato | 1 |
| Angolo orizzontale | 106.86200c |
| Distanza orizzontale | 102.9558 |
| Angolo orizzontale 1 | 106.86150c |
| Distanza orizzontale 1 | 102.9558 |
| Angolo orizzontale 2 | 106.86250c |

| | |
|---|----------|
| Distanza orizzontale 2 | 102.9559 |
| Deviazione sull'angolo orizzontale | 0.00050c |
| Deviazione sulla distanza orizzontale | 0.0000 |

Stazione

| | |
|----------------------------|--------------|
| Nome della stazione | LSS223016 |
| E | 686107.2700 |
| N | 4793493.1210 |
| Quota | 220.933 |
| Angolo di correzione | 0.00595c |

Dati utilizzati per la posizione

Misura tacheometrica

| | |
|---|--------------|
| Nome della stazione | PA006 |
| Nome del punto osservato | LSS223016 |
| Distanza orizzontale | 39.6069 |
| Distanza orizzontale avanti | 39.6069 |
| Distanza orizzontale indietro | 39.6069 |
| Errore sulla distanza orizzontale | 0.0000 |
| Azimut | 313.24995c |
| Angolo orizzontale | 313.24400c |
| Angolo di correzione | 0.00595c |
| E | 686107.2700 |
| N | 4793493.1210 |
| E precedente | 686146.0222 |
| N precedente | 4793484.9370 |
| dE | -38.7522 |
| dN | 8.1840 |

Misure in avanti

| | |
|---|------------|
| Nome della stazione | PA006 |
| Nome del punto osservato | LSS223016 |
| Angolo orizzontale | 313.24400c |
| Deviazione sull'angolo orizzontale | 0.00000c |
| Errore sull'angolo orizzontale | 0.00000c |
| Distanza orizzontale | 39.6069 |
| Deviazione sulla distanza orizzontale | 0.0000 |
| Errore sulla distanza orizzontale | 0.0000 |

Misura

| | |
|---|------------|
| Strato | 1 |
| Angolo orizzontale | 313.24400c |
| Distanza orizzontale | 39.6069 |
| Angolo orizzontale 1 | 313.24300c |
| Distanza orizzontale 1 | 39.6069 |
| Angolo orizzontale 2 | 313.24500c |
| Distanza orizzontale 2 | 39.6069 |
| Deviazione sull'angolo orizzontale | 0.00100c |
| Deviazione sulla distanza orizzontale | 0.0000 |

Misure indietro

| | |
|---|-----------|
| Nome della stazione | LSS223016 |
| Nome del punto osservato | PA006 |
| Distanza orizzontale | 39.6069 |
| Deviazione sulla distanza orizzontale | 0.0000 |
| Errore sulla distanza orizzontale | 0.0000 |

Misura

| | |
|---|---------|
| Strato | 1 |
| Distanza orizzontale | 39.6069 |
| Distanza orizzontale 1 | 39.6069 |
| Distanza orizzontale 2 | 39.6069 |
| Deviazione sulla distanza orizzontale | 0.0000 |

Dati utilizzati per la quota

Misura per quota

| | |
|--------------------------------|-----------|
| Nome della stazione | PA006 |
| Nome del punto osservato | LSS223016 |
| Altezza strumento | 1.570 |
| Dislivello | 0.124 |
| Dislivello in avanti | 0.124 |
| Dislivello indietro | -0.124 |
| Errore sul dislivello | 0.000 |
| Quota | 220.933 |
| Quota precedente | 220.809 |

Misure in avanti

| | |
|--------------------------------|-----------|
| Nome della stazione | PA006 |
| Nome del punto osservato | LSS223016 |
| Dislivello | 0.124 |

| | |
|--|------------|
| Deviazione sul dislivello | 0.000 |
| Errore sul dislivello | 0.000 |
| Misura | |
| Strato | 1 |
| Altezza prisma | 1.370 |
| Angolo verticale | 100.12275c |
| Angolo verticale 1 | 100.10900c |
| Angolo verticale 2 | 100.13650c |
| Deviazione sull'angolo verticale | 0.01375c |
| Dislivello | 0.124 |
| Dislivello 1 | 0.132 |
| Dislivello 2 | 0.115 |
| Deviazione sul dislivello | -0.017 |

Misure indietro

| | |
|---------------------------------|-----------|
| Nome della stazione | LSS223016 |
| Nome del punto osservato | PA006 |
| Dislivello | -0.124 |
| Deviazione sul dislivello | 0.000 |
| Errore sul dislivello | 0.000 |

Misura

| | |
|--|-----------|
| Strato | 1 |
| Altezza prisma | 1.570 |
| Angolo verticale | 99.87750c |
| Angolo verticale 1 | 99.86200c |
| Angolo verticale 2 | 99.89300c |
| Deviazione sull'angolo verticale | 0.01550c |
| Dislivello | -0.124 |
| Dislivello 1 | -0.114 |
| Dislivello 2 | -0.133 |
| Deviazione sul dislivello | -0.019 |

Dati utilizzati per l'orientamento

Orientamento

| | |
|--------------------------------|------------|
| Nome della stazione | LSS223016 |
| Nome del punto osservato | PA006 |
| Azimut | 113.24995c |
| Angolo orizzontale | 113.24400c |
| Angolo di correzione | 0.00595c |

Misure

| | |
|---|------------|
| Nome della stazione | LSS223016 |
| Nome del punto osservato | PA006 |
| Angolo orizzontale | 113.24400c |
| Deviazione sull'angolo orizzontale | 0.00000c |
| Errore sull'angolo orizzontale | 0.00000c |
| Distanza orizzontale | 39.6069 |
| Deviazione sulla distanza orizzontale | 0.0000 |
| Errore sulla distanza orizzontale | 0.0000 |

Misura

| | |
|---|------------|
| Strato | 1 |
| Angolo orizzontale | 113.24400c |
| Distanza orizzontale | 39.6069 |
| Angolo orizzontale 1 | 113.24300c |
| Distanza orizzontale 1 | 39.6069 |
| Angolo orizzontale 2 | 113.24500c |
| Distanza orizzontale 2 | 39.6069 |
| Deviazione sull'angolo orizzontale | 0.00100c |
| Deviazione sulla distanza orizzontale | 0.0000 |

Stazione

| | |
|----------------------------|--------------|
| Nome della stazione | PSS223072 |
| E | 685864.0852 |
| N | 4793516.0334 |
| Quota | 217.507 |
| Angolo di correzione | 0.00670c |

Dati utilizzati per la posizione

Misura tacheometrica

| | |
|---|------------|
| Nome della stazione | LSS223016 |
| Nome del punto osservato | PSS223072 |
| Distanza orizzontale | 244.2619 |
| Distanza orizzontale avanti | 244.2617 |
| Distanza orizzontale indietro | 244.2620 |
| Errore sulla distanza orizzontale | 0.0003 |
| Azimut | 305.98045c |
| Angolo orizzontale | 305.97450c |

| | |
|---|--------------|
| Angolo di correzione | 0.00595c |
| E | 685864.0852 |
| N | 4793516.0334 |
| E precedente | 686107.2700 |
| N precedente | 4793493.1210 |
| dE | -243.1849 |
| dN | 22.9124 |
| Misure in avanti | |
| Nome della stazione | LSS223016 |
| Nome del punto osservato | PSS223072 |
| Angolo orizzontale | 305.97450c |
| Deviazione sull'angolo orizzontale | 0.00000c |
| Errore sull'angolo orizzontale | 0.00000c |
| Distanza orizzontale | 244.2617 |
| Deviazione sulla distanza orizzontale | 0.0000 |
| Errore sulla distanza orizzontale | 0.0000 |
| Misura | |
| Strato | 1 |
| Angolo orizzontale | 305.97450c |
| Distanza orizzontale | 244.2617 |
| Angolo orizzontale 1 | 305.97350c |
| Distanza orizzontale 1 | 244.2625 |
| Angolo orizzontale 2 | 305.97550c |
| Distanza orizzontale 2 | 244.2609 |
| Deviazione sull'angolo orizzontale | 0.00100c |
| Deviazione sulla distanza orizzontale | -0.0008 |
| Misure indietro | |
| Nome della stazione | PSS223072 |
| Nome del punto osservato | LSS223016 |
| Distanza orizzontale | 244.2620 |
| Deviazione sulla distanza orizzontale | 0.0000 |
| Errore sulla distanza orizzontale | 0.0000 |
| Misura | |
| Strato | 1 |
| Distanza orizzontale | 244.2620 |
| Distanza orizzontale 1 | 244.2613 |
| Distanza orizzontale 2 | 244.2628 |
| Deviazione sulla distanza orizzontale | 0.0008 |
| Dati utilizzati per la quota | |
| Misura per quota | |
| Nome della stazione | LSS223016 |
| Nome del punto osservato | PSS223072 |
| Altezza strumento | 1.370 |
| Dislivello | -3.426 |
| Dislivello in avanti | -3.438 |
| Dislivello indietro | 3.415 |
| Errore sul dislivello | 0.023 |
| Quota | 217.507 |
| Quota precedente | 220.933 |
| Misure in avanti | |
| Nome della stazione | LSS223016 |
| Nome del punto osservato | PSS223072 |
| Dislivello | -3.438 |
| Deviazione sul dislivello | 0.000 |
| Errore sul dislivello | 0.000 |
| Misura | |
| Strato | 1 |
| Altezza prisma | 1.435 |
| Angolo verticale | 100.87900c |
| Angolo verticale 1 | 100.86400c |
| Angolo verticale 2 | 100.89400c |
| Deviazione sull'angolo verticale | 0.01500c |
| Dislivello | -3.438 |
| Dislivello 1 | -3.380 |
| Dislivello 2 | -3.495 |
| Deviazione sul dislivello | -0.115 |
| Misure indietro | |
| Nome della stazione | PSS223072 |
| Nome del punto osservato | LSS223016 |
| Dislivello | 3.415 |
| Deviazione sul dislivello | 0.000 |
| Errore sul dislivello | 0.000 |

Misura

| | |
|--|-----------|
| Strato | 1 |
| Altezza prisma | 1.370 |
| Angolo verticale | 99.12700c |
| Angolo verticale 1 | 99.11250c |
| Angolo verticale 2 | 99.14150c |
| Deviazione sull'angolo verticale | 0.01450c |
| Dislivello | 3.415 |
| Dislivello 1 | 3.470 |
| Dislivello 2 | 3.359 |
| Deviazione sul dislivello | -0.111 |

Dati utilizzati per l'orientamento

Orientamento

| | |
|--------------------------------|------------|
| Nome della stazione | PSS223072 |
| Nome del punto osservato | LSS223016 |
| Azimut | 105.98045c |
| Angolo orizzontale | 105.97375c |
| Angolo di correzione | 0.00670c |

Misure

| | |
|---|------------|
| Nome della stazione | PSS223072 |
| Nome del punto osservato | LSS223016 |
| Angolo orizzontale | 105.97375c |
| Deviazione sull'angolo orizzontale | 0.00000c |
| Errore sull'angolo orizzontale | 0.00000c |
| Distanza orizzontale | 244.2620 |
| Deviazione sulla distanza orizzontale | 0.0000 |
| Errore sulla distanza orizzontale | 0.0000 |

Misura

| | |
|---|------------|
| Strato | 1 |
| Angolo orizzontale | 105.97375c |
| Distanza orizzontale | 244.2620 |
| Angolo orizzontale 1 | 105.97350c |
| Distanza orizzontale 1 | 244.2613 |
| Angolo orizzontale 2 | 105.97400c |
| Distanza orizzontale 2 | 244.2628 |
| Deviazione sull'angolo orizzontale | 0.00025c |
| Deviazione sulla distanza orizzontale | 0.0008 |

Stazione

| | |
|----------------------------|--------------|
| Nome della stazione | PSS223073 |
| E | 685691.8577 |
| N | 4793468.8037 |
| Quota | 212.389 |
| Angolo di correzione | 0.00770c |

Dati utilizzati per la posizione

Misura tacheometrica

| | |
|---|--------------|
| Nome della stazione | PSS223072 |
| Nome del punto osservato | PSS223073 |
| Distanza orizzontale | 178.5860 |
| Distanza orizzontale avanti | 178.5858 |
| Distanza orizzontale indietro | 178.5861 |
| Errore sulla distanza orizzontale | 0.0003 |
| Azimut | 282.96095c |
| Angolo orizzontale | 282.95425c |
| Angolo di correzione | 0.00670c |
| E | 685691.8577 |
| N | 4793468.8037 |
| E precedente | 685864.0852 |
| N precedente | 4793516.0334 |
| dE | -172.2275 |
| dN | -47.2297 |

Misure in avanti

| | |
|---|------------|
| Nome della stazione | PSS223072 |
| Nome del punto osservato | PSS223073 |
| Angolo orizzontale | 282.95425c |
| Deviazione sull'angolo orizzontale | 0.00000c |
| Errore sull'angolo orizzontale | 0.00000c |
| Distanza orizzontale | 178.5858 |
| Deviazione sulla distanza orizzontale | 0.0000 |
| Errore sulla distanza orizzontale | 0.0000 |

Misura

| | |
|----------------------------|------------|
| Strato | 1 |
| Angolo orizzontale | 282.95425c |
| Distanza orizzontale | 178.5858 |

| | |
|---|------------|
| Angolo orizzontale 1 | 282.95350c |
| Distanza orizzontale 1 | 178.5869 |
| Angolo orizzontale 2 | 282.95500c |
| Distanza orizzontale 2 | 178.5847 |
| Deviazione sull'angolo orizzontale | 0.00075c |
| Deviazione sulla distanza orizzontale | -0.0011 |

Misure indietro

| | |
|---|-----------|
| Nome della stazione | PSS223073 |
| Nome del punto osservato | PSS223072 |
| Distanza orizzontale | 178.5861 |
| Deviazione sulla distanza orizzontale | 0.0000 |
| Errore sulla distanza orizzontale | 0.0000 |

Misura

| | |
|---|----------|
| Strato | 1 |
| Distanza orizzontale | 178.5861 |
| Distanza orizzontale 1 | 178.5851 |
| Distanza orizzontale 2 | 178.5871 |
| Deviazione sulla distanza orizzontale | 0.0010 |

Dati utilizzati per la quota

Misura per quota

| | |
|--------------------------------|-----------|
| Nome della stazione | PSS223072 |
| Nome del punto osservato | PSS223073 |
| Altezza strumento | 1.435 |
| Dislivello | -5.118 |
| Dislivello in avanti | -5.124 |
| Dislivello indietro | 5.112 |
| Errore sul dislivello | 0.012 |
| Quota | 212.389 |
| Quota precedente | 217.507 |

Misure in avanti

| | |
|---------------------------------|-----------|
| Nome della stazione | PSS223072 |
| Nome del punto osservato | PSS223073 |
| Dislivello | -5.124 |
| Deviazione sul dislivello | 0.000 |
| Errore sul dislivello | 0.000 |

Misura

| | |
|--|------------|
| Strato | 1 |
| Altezza prisma | 1.515 |
| Angolo verticale | 101.79750c |
| Angolo verticale 1 | 101.78350c |
| Angolo verticale 2 | 101.81150c |
| Deviazione sull'angolo verticale | 0.01400c |
| Dislivello | -5.124 |
| Dislivello 1 | -5.084 |
| Dislivello 2 | -5.163 |
| Deviazione sul dislivello | -0.079 |

Misure indietro

| | |
|---------------------------------|-----------|
| Nome della stazione | PSS223073 |
| Nome del punto osservato | PSS223072 |
| Dislivello | 5.112 |
| Deviazione sul dislivello | 0.000 |
| Errore sul dislivello | 0.000 |

Misura

| | |
|--|-----------|
| Strato | 1 |
| Altezza prisma | 1.435 |
| Angolo verticale | 98.20675c |
| Angolo verticale 1 | 98.19400c |
| Angolo verticale 2 | 98.21950c |
| Deviazione sull'angolo verticale | 0.01275c |
| Dislivello | 5.112 |
| Dislivello 1 | 5.148 |
| Dislivello 2 | 5.076 |
| Deviazione sul dislivello | -0.072 |

Dati utilizzati per l'orientamento

Orientamento

| | |
|--------------------------------|-----------|
| Nome della stazione | PSS223073 |
| Nome del punto osservato | PSS223072 |
| Azimut | 82.96095c |
| Angolo orizzontale | 82.95325c |
| Angolo di correzione | 0.00770c |

Misure

| | |
|---|-----------|
| Nome della stazione | PSS223073 |
| Nome del punto osservato | PSS223072 |
| Angolo orizzontale | 82.95325c |
| Deviazione sull'angolo orizzontale | 0.00000c |
| Errore sull'angolo orizzontale | 0.00000c |
| Distanza orizzontale | 178.5861 |
| Deviazione sulla distanza orizzontale | 0.0000 |
| Errore sulla distanza orizzontale | 0.0000 |

Misura

| | |
|---|-----------|
| Strato | 1 |
| Angolo orizzontale | 82.95325c |
| Distanza orizzontale | 178.5861 |
| Angolo orizzontale 1 | 82.95250c |
| Distanza orizzontale 1 | 178.5851 |
| Angolo orizzontale 2 | 82.95400c |
| Distanza orizzontale 2 | 178.5871 |
| Deviazione sull'angolo orizzontale | 0.00075c |
| Deviazione sulla distanza orizzontale | 0.0010 |

Stazione

| | |
|----------------------------|--------------|
| Nome della stazione | PSS223074 |
| E | 685579.8385 |
| N | 4793394.1945 |
| Quota | 208.469 |
| Angolo di correzione | 0.00795c |

Dati utilizzati per la posizione

Misura tacheometrica

| | |
|---|--------------|
| Nome della stazione | PSS223073 |
| Nome del punto osservato | PSS223074 |
| Distanza orizzontale | 134.5914 |
| Distanza orizzontale avanti | 134.5917 |
| Distanza orizzontale indietro | 134.5911 |
| Errore sulla distanza orizzontale | 0.0006 |
| Azimut | 262.59420c |
| Angolo orizzontale | 262.58650c |
| Angolo di correzione | 0.00770c |
| E | 685579.8385 |
| N | 4793394.1945 |
| E precedente | 685691.8577 |
| N precedente | 4793468.8037 |
| dE | -112.0192 |
| dN | -74.6093 |

Misure in avanti

| | |
|---|------------|
| Nome della stazione | PSS223073 |
| Nome del punto osservato | PSS223074 |
| Angolo orizzontale | 262.58650c |
| Deviazione sull'angolo orizzontale | 0.00000c |
| Errore sull'angolo orizzontale | 0.00000c |
| Distanza orizzontale | 134.5917 |
| Deviazione sulla distanza orizzontale | 0.0000 |
| Errore sulla distanza orizzontale | 0.0000 |

Misura

| | |
|---|------------|
| Strato | 1 |
| Angolo orizzontale | 262.58650c |
| Distanza orizzontale | 134.5917 |
| Angolo orizzontale 1 | 262.58550c |
| Distanza orizzontale 1 | 134.5926 |
| Angolo orizzontale 2 | 262.58750c |
| Distanza orizzontale 2 | 134.5908 |
| Deviazione sull'angolo orizzontale | 0.00100c |
| Deviazione sulla distanza orizzontale | -0.0009 |

Misure indietro

| | |
|---|-----------|
| Nome della stazione | PSS223074 |
| Nome del punto osservato | PSS223073 |
| Distanza orizzontale | 134.5911 |
| Deviazione sulla distanza orizzontale | 0.0000 |
| Errore sulla distanza orizzontale | 0.0000 |

Misura

| | |
|---|----------|
| Strato | 1 |
| Distanza orizzontale | 134.5911 |
| Distanza orizzontale 1 | 134.5902 |
| Distanza orizzontale 2 | 134.5919 |
| Deviazione sulla distanza orizzontale | 0.0008 |

Dati utilizzati per la quota

Misura per quota

| | |
|--------------------------------|-----------|
| Nome della stazione | PSS223073 |
| Nome del punto osservato | PSS223074 |
| Altezza strumento | 1.515 |
| Dislivello | -3.920 |
| Dislivello in avanti | -3.927 |
| Dislivello indietro | 3.913 |
| Errore sul dislivello | 0.014 |
| Quota | 208.469 |
| Quota precedente | 212.389 |

Misure in avanti

| | |
|---------------------------------|-----------|
| Nome della stazione | PSS223073 |
| Nome del punto osservato | PSS223074 |
| Dislivello | -3.927 |
| Deviazione sul dislivello | 0.000 |
| Errore sul dislivello | 0.000 |

Misura

| | |
|--|------------|
| Strato | 1 |
| Altezza prisma | 1.445 |
| Angolo verticale | 101.89000c |
| Angolo verticale 1 | 101.87550c |
| Angolo verticale 2 | 101.90450c |
| Deviazione sull'angolo verticale | 0.01450c |
| Dislivello | -3.927 |
| Dislivello 1 | -3.896 |
| Dislivello 2 | -3.958 |
| Deviazione sul dislivello | -0.061 |

Misure indietro

| | |
|---------------------------------|-----------|
| Nome della stazione | PSS223074 |
| Nome del punto osservato | PSS223073 |
| Dislivello | 3.913 |
| Deviazione sul dislivello | 0.000 |
| Errore sul dislivello | 0.000 |

Misura

| | |
|--|-----------|
| Strato | 1 |
| Altezza prisma | 1.515 |
| Angolo verticale | 98.11650c |
| Angolo verticale 1 | 98.10300c |
| Angolo verticale 2 | 98.13000c |
| Deviazione sull'angolo verticale | 0.01350c |
| Dislivello | 3.913 |
| Dislivello 1 | 3.942 |
| Dislivello 2 | 3.885 |
| Deviazione sul dislivello | -0.057 |

Dati utilizzati per l'orientamento

Orientamento

| | |
|--------------------------------|-----------|
| Nome della stazione | PSS223074 |
| Nome del punto osservato | PSS223073 |
| Azimut | 62.59420c |
| Angolo orizzontale | 62.58625c |
| Angolo di correzione | 0.00795c |

Misure

| | |
|---|-----------|
| Nome della stazione | PSS223074 |
| Nome del punto osservato | PSS223073 |
| Angolo orizzontale | 62.58625c |
| Deviazione sull'angolo orizzontale | 0.00000c |
| Errore sull'angolo orizzontale | 0.00000c |
| Distanza orizzontale | 134.5911 |
| Deviazione sulla distanza orizzontale | 0.0000 |
| Errore sulla distanza orizzontale | 0.0000 |

Misura

| | |
|---|-----------|
| Strato | 1 |
| Angolo orizzontale | 62.58625c |
| Distanza orizzontale | 134.5911 |
| Angolo orizzontale 1 | 62.58600c |
| Distanza orizzontale 1 | 134.5902 |
| Angolo orizzontale 2 | 62.58650c |
| Distanza orizzontale 2 | 134.5919 |
| Deviazione sull'angolo orizzontale | 0.00025c |
| Deviazione sulla distanza orizzontale | 0.0008 |

Stazione

| | |
|----------------------------|--------------|
| Nome della stazione | PSS223075 |
| E | 685430.9441 |
| N | 4793294.8795 |
| Quota | 199.421 |
| Angolo di correzione | 0.00845c |

Dati utilizzati per la posizione

Misura tacheometrica

| | |
|---|--------------|
| Nome della stazione | PSS223074 |
| Nome del punto osservato | PSS223075 |
| Distanza orizzontale | 178.9777 |
| Distanza orizzontale avanti | 178.9775 |
| Distanza orizzontale indietro | 178.9780 |
| Errore sulla distanza orizzontale | 0.0005 |
| Azimut | 262.55120c |
| Angolo orizzontale | 262.54325c |
| Angolo di correzione | 0.00795c |
| E | 685430.9441 |
| N | 4793294.8795 |
| E precedente | 685579.8385 |
| N precedente | 4793394.1945 |
| dE | -148.8945 |
| dN | -99.3150 |

Misure in avanti

| | |
|---|------------|
| Nome della stazione | PSS223074 |
| Nome del punto osservato | PSS223075 |
| Angolo orizzontale | 262.54325c |
| Deviazione sull'angolo orizzontale | 0.00000c |
| Errore sull'angolo orizzontale | 0.00000c |
| Distanza orizzontale | 178.9775 |
| Deviazione sulla distanza orizzontale | 0.0000 |
| Errore sulla distanza orizzontale | 0.0000 |

Misura

| | |
|---|------------|
| Strato | 1 |
| Angolo orizzontale | 262.54325c |
| Distanza orizzontale | 178.9775 |
| Angolo orizzontale 1 | 262.54250c |
| Distanza orizzontale 1 | 178.9793 |
| Angolo orizzontale 2 | 262.54400c |
| Distanza orizzontale 2 | 178.9757 |
| Deviazione sull'angolo orizzontale | 0.00075c |
| Deviazione sulla distanza orizzontale | -0.0018 |

Misure indietro

| | |
|---|-----------|
| Nome della stazione | PSS223075 |
| Nome del punto osservato | PSS223074 |
| Distanza orizzontale | 178.9780 |
| Deviazione sulla distanza orizzontale | 0.0000 |
| Errore sulla distanza orizzontale | 0.0000 |

Misura

| | |
|---|----------|
| Strato | 1 |
| Distanza orizzontale | 178.9780 |
| Distanza orizzontale 1 | 178.9762 |
| Distanza orizzontale 2 | 178.9798 |
| Deviazione sulla distanza orizzontale | 0.0018 |

Dati utilizzati per la quota

Misura per quota

| | |
|--------------------------------|-----------|
| Nome della stazione | PSS223074 |
| Nome del punto osservato | PSS223075 |
| Altezza strumento | 1.445 |
| Dislivello | -9.047 |
| Dislivello in avanti | -9.053 |
| Dislivello indietro | 9.042 |
| Errore sul dislivello | 0.011 |
| Quota | 199.421 |
| Quota precedente | 208.469 |

Misure in avanti

| | |
|---------------------------------|-----------|
| Nome della stazione | PSS223074 |
| Nome del punto osservato | PSS223075 |
| Dislivello | -9.053 |
| Deviazione sul dislivello | 0.000 |
| Errore sul dislivello | 0.000 |

Misura

| | |
|----------------------|-------|
| Strato | 1 |
| Altezza prisma | 1.550 |

| | |
|--|------------|
| Angolo verticale | 103.18000c |
| Angolo verticale 1 | 103.16700c |
| Angolo verticale 2 | 103.19300c |
| Deviazione sull'angolo verticale | 0.01300c |
| Dislivello | -9.053 |
| Dislivello 1 | -9.016 |
| Dislivello 2 | -9.089 |
| Deviazione sul dislivello | -0.073 |

Misure indietro

| | |
|---------------------------------|-----------|
| Nome della stazione | PSS223075 |
| Nome del punto osservato | PSS223074 |
| Dislivello | 9.042 |
| Deviazione sul dislivello | 0.000 |
| Errore sul dislivello | 0.000 |

Misura

| | |
|--|-----------|
| Strato | 1 |
| Altezza prisma | 1.445 |
| Angolo verticale | 96.82375c |
| Angolo verticale 1 | 96.81100c |
| Angolo verticale 2 | 96.83650c |
| Deviazione sull'angolo verticale | 0.01275c |
| Dislivello | 9.042 |
| Dislivello 1 | 9.078 |
| Dislivello 2 | 9.006 |
| Deviazione sul dislivello | -0.072 |

Dati utilizzati per l'orientamento

Orientamento

| | |
|--------------------------------|-----------|
| Nome della stazione | PSS223075 |
| Nome del punto osservato | PSS223074 |
| Azimut | 62.55120c |
| Angolo orizzontale | 62.54275c |
| Angolo di correzione | 0.00845c |

Misure

| | |
|---|-----------|
| Nome della stazione | PSS223075 |
| Nome del punto osservato | PSS223074 |
| Angolo orizzontale | 62.54275c |
| Deviazione sull'angolo orizzontale | 0.00000c |
| Errore sull'angolo orizzontale | 0.00000c |
| Distanza orizzontale | 178.9780 |
| Deviazione sulla distanza orizzontale | 0.0000 |
| Errore sulla distanza orizzontale | 0.0000 |

Misura

| | |
|---|-----------|
| Strato | 1 |
| Angolo orizzontale | 62.54275c |
| Distanza orizzontale | 178.9780 |
| Angolo orizzontale 1 | 62.54250c |
| Distanza orizzontale 1 | 178.9762 |
| Angolo orizzontale 2 | 62.54300c |
| Distanza orizzontale 2 | 178.9798 |
| Deviazione sull'angolo orizzontale | 0.00025c |
| Deviazione sulla distanza orizzontale | 0.0018 |

Stazione

| | |
|----------------------------|--------------|
| Nome della stazione | PA007 |
| E | 685360.2157 |
| N | 4793278.1978 |
| Quota | 196.262 |
| Angolo di correzione | 0.00895c |

Dati utilizzati per la posizione

Misura tacheometrica

| | |
|---|--------------|
| Nome della stazione | PSS223075 |
| Nome del punto osservato | PA007 |
| Distanza orizzontale | 72.6690 |
| Distanza orizzontale avanti | 72.6684 |
| Distanza orizzontale indietro | 72.6695 |
| Errore sulla distanza orizzontale | 0.0011 |
| Azimut | 285.25445c |
| Angolo orizzontale | 285.24600c |
| Angolo di correzione | 0.00845c |
| E | 685360.2157 |
| N | 4793278.1978 |
| E precedente | 685430.9441 |
| N precedente | 4793294.8795 |

| | |
|---|------------|
| dE | -70.7284 |
| dN | -16.6817 |
| Misure in avanti | |
| Nome della stazione | PSS223075 |
| Nome del punto osservato | PA007 |
| Angolo orizzontale | 285.24600c |
| Deviazione sull'angolo orizzontale | 0.00000c |
| Errore sull'angolo orizzontale | 0.00000c |
| Distanza orizzontale | 72.6684 |
| Deviazione sulla distanza orizzontale | 0.0000 |
| Errore sulla distanza orizzontale | 0.0000 |
| Misura | |
| Strato | 1 |
| Angolo orizzontale | 285.24600c |
| Distanza orizzontale | 72.6684 |
| Angolo orizzontale 1 | 285.24500c |
| Distanza orizzontale 1 | 72.6691 |
| Angolo orizzontale 2 | 285.24700c |
| Distanza orizzontale 2 | 72.6677 |
| Deviazione sull'angolo orizzontale | 0.00100c |
| Deviazione sulla distanza orizzontale | -0.0007 |
| Misure indietro | |
| Nome della stazione | PA007 |
| Nome del punto osservato | PSS223075 |
| Distanza orizzontale | 72.6695 |
| Deviazione sulla distanza orizzontale | 0.0000 |
| Errore sulla distanza orizzontale | 0.0000 |
| Misura | |
| Strato | 1 |
| Distanza orizzontale | 72.6695 |
| Distanza orizzontale 1 | 72.6688 |
| Distanza orizzontale 2 | 72.6703 |
| Deviazione sulla distanza orizzontale | 0.0007 |
| Dati utilizzati per la quota | |
| Misura per quota | |
| Nome della stazione | PSS223075 |
| Nome del punto osservato | PA007 |
| Altezza strumento | 1.550 |
| Dislivello | -3.159 |
| Dislivello in avanti | -3.161 |
| Dislivello indietro | 3.158 |
| Errore sul dislivello | 0.003 |
| Quota | 196.262 |
| Quota precedente | 199.421 |
| Misure in avanti | |
| Nome della stazione | PSS223075 |
| Nome del punto osservato | PA007 |
| Dislivello | -3.161 |
| Deviazione sul dislivello | 0.000 |
| Errore sul dislivello | 0.000 |
| Misura | |
| Strato | 1 |
| Altezza prisma | 1.530 |
| Angolo verticale | 102.78500c |
| Angolo verticale 1 | 102.77100c |
| Angolo verticale 2 | 102.79900c |
| Deviazione sull'angolo verticale | 0.01400c |
| Dislivello | -3.161 |
| Dislivello 1 | -3.145 |
| Dislivello 2 | -3.177 |
| Deviazione sul dislivello | -0.032 |
| Misure indietro | |
| Nome della stazione | PA007 |
| Nome del punto osservato | PSS223075 |
| Dislivello | 3.158 |
| Deviazione sul dislivello | 0.000 |
| Errore sul dislivello | 0.000 |
| Misura | |
| Strato | 1 |
| Altezza prisma | 1.550 |
| Angolo verticale | 97.21775c |
| Angolo verticale 1 | 97.20350c |

| | |
|--|-----------|
| Angolo verticale 2 | 97.23200c |
| Deviazione sull'angolo verticale | 0.01425c |
| Dislivello | 3.158 |
| Dislivello 1 | 3.174 |
| Dislivello 2 | 3.142 |
| Deviazione sul dislivello | -0.033 |

Dati utilizzati per l'orientamento

Orientamento

| | |
|--------------------------------|-----------|
| Nome della stazione | PA007 |
| Nome del punto osservato | PSS223075 |
| Azimut | 85.25445c |
| Angolo orizzontale | 85.24550c |
| Angolo di correzione | 0.00895c |

Misure

| | |
|---|-----------|
| Nome della stazione | PA007 |
| Nome del punto osservato | PSS223075 |
| Angolo orizzontale | 85.24550c |
| Deviazione sull'angolo orizzontale | 0.00000c |
| Errore sull'angolo orizzontale | 0.00000c |
| Distanza orizzontale | 72.6695 |
| Deviazione sulla distanza orizzontale | 0.0000 |
| Errore sulla distanza orizzontale | 0.0000 |

Misura

| | |
|---|-----------|
| Strato | 1 |
| Angolo orizzontale | 85.24550c |
| Distanza orizzontale | 72.6695 |
| Angolo orizzontale 1 | 85.24500c |
| Distanza orizzontale 1 | 72.6688 |
| Angolo orizzontale 2 | 85.24600c |
| Distanza orizzontale 2 | 72.6703 |
| Deviazione sull'angolo orizzontale | 0.00050c |
| Deviazione sulla distanza orizzontale | 0.0007 |

Stazione

| | |
|----------------------------|--------------|
| Nome della stazione | PSS223076 |
| E | 685251.2319 |
| N | 4793289.5772 |
| Quota | 196.725 |
| Angolo di correzione | 0.00920c |

Dati utilizzati per la posizione

Misura tacheometrica

| | |
|---|--------------|
| Nome della stazione | PA007 |
| Nome del punto osservato | PSS223076 |
| Distanza orizzontale | 109.5762 |
| Distanza orizzontale avanti | 109.5761 |
| Distanza orizzontale indietro | 109.5764 |
| Errore sulla distanza orizzontale | 0.0003 |
| Azimut | 306.62320c |
| Angolo orizzontale | 306.61425c |
| Angolo di correzione | 0.00895c |
| E | 685251.2319 |
| N | 4793289.5772 |
| E precedente | 685360.2157 |
| N precedente | 4793278.1978 |
| dE | -108.9837 |
| dN | 11.3794 |

Misure in avanti

| | |
|---|------------|
| Nome della stazione | PA007 |
| Nome del punto osservato | PSS223076 |
| Angolo orizzontale | 306.61425c |
| Deviazione sull'angolo orizzontale | 0.00000c |
| Errore sull'angolo orizzontale | 0.00000c |
| Distanza orizzontale | 109.5761 |
| Deviazione sulla distanza orizzontale | 0.0000 |
| Errore sulla distanza orizzontale | 0.0000 |

Misura

| | |
|--|------------|
| Strato | 1 |
| Angolo orizzontale | 306.61425c |
| Distanza orizzontale | 109.5761 |
| Angolo orizzontale 1 | 306.61300c |
| Distanza orizzontale 1 | 109.5760 |
| Angolo orizzontale 2 | 306.61550c |
| Distanza orizzontale 2 | 109.5762 |
| Deviazione sull'angolo orizzontale | 0.00125c |

..... Deviazione sulla distanza orizzontale 0.0001

Misure indietro

..... Nome della stazione PSS223076
 Nome del punto osservato PA007
 Distanza orizzontale 109.5764
 Deviazione sulla distanza orizzontale 0.0000
 Errore sulla distanza orizzontale 0.0000

Misura

..... Strato 1
 Distanza orizzontale 109.5764
 Distanza orizzontale 1 109.5765
 Distanza orizzontale 2 109.5763
 Deviazione sulla distanza orizzontale -0.0001

Dati utilizzati per la quota

Misura per quota

..... Nome della stazione PA007
 Nome del punto osservato PSS223076
 Altezza strumento 1.530
 Dislivello 0.463
 Dislivello in avanti 0.461
 Dislivello indietro -0.464
 Errore sul dislivello 0.003
 Quota 196.725
 Quota precedente 196.262

Misure in avanti

..... Nome della stazione PA007
 Nome del punto osservato PSS223076
 Dislivello 0.461
 Deviazione sul dislivello 0.000
 Errore sul dislivello 0.000

Misura

..... Strato 1
 Altezza prisma 1.520
 Angolo verticale 99.73775c
 Angolo verticale 1 99.72400c
 Angolo verticale 2 99.75150c
 Deviazione sull'angolo verticale 0.01375c
 Dislivello 0.461
 Dislivello 1 0.485
 Dislivello 2 0.438
 Deviazione sul dislivello -0.047

Misure indietro

..... Nome della stazione PSS223076
 Nome del punto osservato PA007
 Dislivello -0.464
 Deviazione sul dislivello 0.000
 Errore sul dislivello 0.000

Misura

..... Strato 1
 Altezza prisma 1.590
 Angolo verticale 100.21325c
 Angolo verticale 1 100.19700c
 Angolo verticale 2 100.22950c
 Deviazione sull'angolo verticale 0.01625c
 Dislivello -0.464
 Dislivello 1 -0.436
 Dislivello 2 -0.492
 Deviazione sul dislivello -0.056

Dati utilizzati per l'orientamento

Orientamento

..... Nome della stazione PSS223076
 Nome del punto osservato PA007
 Azimut 106.62320c
 Angolo orizzontale 106.61400c
 Angolo di correzione 0.00920c

Misure

..... Nome della stazione PSS223076
 Nome del punto osservato PA007
 Angolo orizzontale 106.61400c
 Deviazione sull'angolo orizzontale 0.00000c
 Errore sull'angolo orizzontale 0.00000c

| | |
|---|------------|
| Distanza orizzontale | 109.5764 |
| Deviazione sulla distanza orizzontale | 0.0000 |
| Errore sulla distanza orizzontale | 0.0000 |
| Misura | |
| Strato | 1 |
| Angolo orizzontale | 106.61400c |
| Distanza orizzontale | 109.5764 |
| Angolo orizzontale 1 | 106.61300c |
| Distanza orizzontale 1 | 109.5765 |
| Angolo orizzontale 2 | 106.61500c |
| Distanza orizzontale 2 | 109.5763 |
| Deviazione sull'angolo orizzontale | 0.00100c |
| Deviazione sulla distanza orizzontale | -0.0001 |

Stazione

| | |
|----------------------------|--------------|
| Nome della stazione | LSS223017 |
| E | 685130.0235 |
| N | 4793292.0497 |
| Quota | 196.423 |
| Angolo di correzione | 0.00920c |

Dati utilizzati per la posizione

Misura tacheometrica

| | |
|---|--------------|
| Nome della stazione | PSS223076 |
| Nome del punto osservato | LSS223017 |
| Distanza orizzontale | 121.2337 |
| Distanza orizzontale avanti | 121.2337 |
| Distanza orizzontale indietro | 121.2337 |
| Errore sulla distanza orizzontale | 0.0000 |
| Azimut | 301.29845c |
| Angolo orizzontale | 301.28925c |
| Angolo di correzione | 0.00920c |
| E | 685130.0235 |
| N | 4793292.0497 |
| E precedente | 685251.2319 |
| N precedente | 4793289.5772 |
| dE | -121.2085 |
| dN | 2.4725 |

Misure in avanti

| | |
|---|------------|
| Nome della stazione | PSS223076 |
| Nome del punto osservato | LSS223017 |
| Angolo orizzontale | 301.28925c |
| Deviazione sull'angolo orizzontale | 0.00000c |
| Errore sull'angolo orizzontale | 0.00000c |
| Distanza orizzontale | 121.2337 |
| Deviazione sulla distanza orizzontale | 0.0000 |
| Errore sulla distanza orizzontale | 0.0000 |

Misura

| | |
|---|------------|
| Strato | 1 |
| Angolo orizzontale | 301.28925c |
| Distanza orizzontale | 121.2337 |
| Angolo orizzontale 1 | 301.28900c |
| Distanza orizzontale 1 | 121.2338 |
| Angolo orizzontale 2 | 301.28950c |
| Distanza orizzontale 2 | 121.2336 |
| Deviazione sull'angolo orizzontale | 0.00025c |
| Deviazione sulla distanza orizzontale | -0.0001 |

Misure indietro

| | |
|---|-----------|
| Nome della stazione | LSS223017 |
| Nome del punto osservato | PSS223076 |
| Distanza orizzontale | 121.2337 |
| Deviazione sulla distanza orizzontale | 0.0000 |
| Errore sulla distanza orizzontale | 0.0000 |

Misura

| | |
|---|----------|
| Strato | 1 |
| Distanza orizzontale | 121.2337 |
| Distanza orizzontale 1 | 121.2336 |
| Distanza orizzontale 2 | 121.2338 |
| Deviazione sulla distanza orizzontale | 0.0001 |

Dati utilizzati per la quota

Misura per quota

| | |
|--------------------------------|-----------|
| Nome della stazione | PSS223076 |
| Nome del punto osservato | LSS223017 |
| Altezza strumento | 1.493 |

| | |
|-----------------------------|---------|
| Dislivello | -0.301 |
| Dislivello in avanti | -0.305 |
| Dislivello indietro | 0.298 |
| Errore sul dislivello | 0.007 |
| Quota | 196.423 |
| Quota precedente | 196.725 |

Misure in avanti

| | |
|---------------------------------|-----------|
| Nome della stazione | PSS223076 |
| Nome del punto osservato | LSS223017 |
| Dislivello | -0.305 |
| Deviazione sul dislivello | 0.000 |
| Errore sul dislivello | 0.000 |

Misura

| | |
|--|------------|
| Strato | 1 |
| Altezza prisma | 1.525 |
| Angolo verticale | 100.14325c |
| Angolo verticale 1 | 100.12900c |
| Angolo verticale 2 | 100.15750c |
| Deviazione sull'angolo verticale | 0.01425c |
| Dislivello | -0.305 |
| Dislivello 1 | -0.278 |
| Dislivello 2 | -0.332 |
| Deviazione sul dislivello | -0.054 |

Misure indietro

| | |
|---------------------------------|-----------|
| Nome della stazione | LSS223017 |
| Nome del punto osservato | PSS223076 |
| Dislivello | 0.298 |
| Deviazione sul dislivello | 0.000 |
| Errore sul dislivello | 0.000 |

Misura

| | |
|--|-----------|
| Strato | 1 |
| Altezza prisma | 1.493 |
| Angolo verticale | 99.86025c |
| Angolo verticale 1 | 99.84700c |
| Angolo verticale 2 | 99.87350c |
| Deviazione sull'angolo verticale | 0.01325c |
| Dislivello | 0.298 |
| Dislivello 1 | 0.323 |
| Dislivello 2 | 0.273 |
| Deviazione sul dislivello | -0.050 |

Dati utilizzati per l'orientamento

Orientamento

| | |
|--------------------------------|------------|
| Nome della stazione | LSS223017 |
| Nome del punto osservato | PSS223076 |
| Azimut | 101.29845c |
| Angolo orizzontale | 101.28925c |
| Angolo di correzione | 0.00920c |

Misure

| | |
|---|------------|
| Nome della stazione | LSS223017 |
| Nome del punto osservato | PSS223076 |
| Angolo orizzontale | 101.28925c |
| Deviazione sull'angolo orizzontale | 0.00000c |
| Errore sull'angolo orizzontale | 0.00000c |
| Distanza orizzontale | 121.2337 |
| Deviazione sulla distanza orizzontale | 0.0000 |
| Errore sulla distanza orizzontale | 0.0000 |

Misura

| | |
|---|------------|
| Strato | 1 |
| Angolo orizzontale | 101.28925c |
| Distanza orizzontale | 121.2337 |
| Angolo orizzontale 1 | 101.28950c |
| Distanza orizzontale 1 | 121.2336 |
| Angolo orizzontale 2 | 101.28900c |
| Distanza orizzontale 2 | 121.2338 |
| Deviazione sull'angolo orizzontale | -0.00025c |
| Deviazione sulla distanza orizzontale | 0.0001 |

Stazione

| | |
|----------------------------|--------------|
| Nome della stazione | PSS223077 |
| E | 685050.2188 |
| N | 4793308.9107 |
| Quota | 195.186 |
| Angolo di correzione | 0.00920c |

Dati utilizzati per la posizione

Misura tacheometrica

| | |
|---|--------------|
| Nome della stazione | LSS223017 |
| Nome del punto osservato | PSS223077 |
| Distanza orizzontale | 81.5664 |
| Distanza orizzontale avanti | 81.5663 |
| Distanza orizzontale indietro | 81.5664 |
| Errore sulla distanza orizzontale | 0.0001 |
| Azimut | 313.25545c |
| Angolo orizzontale | 313.24625c |
| Angolo di correzione | 0.00920c |
| E | 685050.2188 |
| N | 4793308.9107 |
| E precedente | 685130.0235 |
| N precedente | 4793292.0497 |
| dE | -79.8046 |
| dN | 16.8610 |

Misure in avanti

| | |
|---|------------|
| Nome della stazione | LSS223017 |
| Nome del punto osservato | PSS223077 |
| Angolo orizzontale | 313.24625c |
| Deviazione sull'angolo orizzontale | 0.00000c |
| Errore sull'angolo orizzontale | 0.00000c |
| Distanza orizzontale | 81.5663 |
| Deviazione sulla distanza orizzontale | 0.0000 |
| Errore sulla distanza orizzontale | 0.0000 |

Misura

| | |
|---|------------|
| Strato | 1 |
| Angolo orizzontale | 313.24625c |
| Distanza orizzontale | 81.5663 |
| Angolo orizzontale 1 | 313.24500c |
| Distanza orizzontale 1 | 81.5666 |
| Angolo orizzontale 2 | 313.24750c |
| Distanza orizzontale 2 | 81.5661 |
| Deviazione sull'angolo orizzontale | 0.00125c |
| Deviazione sulla distanza orizzontale | -0.0002 |

Misure indietro

| | |
|---|-----------|
| Nome della stazione | PSS223077 |
| Nome del punto osservato | LSS223017 |
| Distanza orizzontale | 81.5664 |
| Deviazione sulla distanza orizzontale | 0.0000 |
| Errore sulla distanza orizzontale | 0.0000 |

Misura

| | |
|---|---------|
| Strato | 1 |
| Distanza orizzontale | 81.5664 |
| Distanza orizzontale 1 | 81.5661 |
| Distanza orizzontale 2 | 81.5667 |
| Deviazione sulla distanza orizzontale | 0.0003 |

Dati utilizzati per la quota

Misura per quota

| | |
|--------------------------------|-----------|
| Nome della stazione | LSS223017 |
| Nome del punto osservato | PSS223077 |
| Altezza strumento | 1.525 |
| Dislivello | -1.238 |
| Dislivello in avanti | -1.240 |
| Dislivello indietro | 1.235 |
| Errore sul dislivello | 0.005 |
| Quota | 195.186 |
| Quota precedente | 196.423 |

Misure in avanti

| | |
|---------------------------------|-----------|
| Nome della stazione | LSS223017 |
| Nome del punto osservato | PSS223077 |
| Dislivello | -1.240 |
| Deviazione sul dislivello | 0.000 |
| Errore sul dislivello | 0.000 |

Misura

| | |
|--|------------|
| Strato | 1 |
| Altezza prisma | 1.510 |
| Angolo verticale | 100.97975c |
| Angolo verticale 1 | 100.96850c |
| Angolo verticale 2 | 100.99100c |
| Deviazione sull'angolo verticale | 0.01125c |
| Dislivello | -1.240 |

| | |
|---------------------------------|--------|
| Dislivello 1 | -1.226 |
| Dislivello 2 | -1.255 |
| Deviazione sul dislivello | -0.029 |

Misure indietro

| | |
|---------------------------------|-----------|
| Nome della stazione | PSS223077 |
| Nome del punto osservato | LSS223017 |
| Dislivello | 1.235 |
| Deviazione sul dislivello | 0.000 |
| Errore sul dislivello | 0.000 |

Misura

| | |
|--|-----------|
| Strato | 1 |
| Altezza prisma | 1.525 |
| Angolo verticale | 99.02450c |
| Angolo verticale 1 | 99.01050c |
| Angolo verticale 2 | 99.03850c |
| Deviazione sull'angolo verticale | 0.01400c |
| Dislivello | 1.235 |
| Dislivello 1 | 1.253 |
| Dislivello 2 | 1.217 |
| Deviazione sul dislivello | -0.036 |

Dati utilizzati per l'orientamento

Orientamento

| | |
|--------------------------------|------------|
| Nome della stazione | PSS223077 |
| Nome del punto osservato | LSS223017 |
| Azimut | 113.25545c |
| Angolo orizzontale | 113.24625c |
| Angolo di correzione | 0.00920c |

Misure

| | |
|---|------------|
| Nome della stazione | PSS223077 |
| Nome del punto osservato | LSS223017 |
| Angolo orizzontale | 113.24625c |
| Deviazione sull'angolo orizzontale | 0.00000c |
| Errore sull'angolo orizzontale | 0.00000c |
| Distanza orizzontale | 81.5664 |
| Deviazione sulla distanza orizzontale | 0.0000 |
| Errore sulla distanza orizzontale | 0.0000 |

Misura

| | |
|---|------------|
| Strato | 1 |
| Angolo orizzontale | 113.24625c |
| Distanza orizzontale | 81.5664 |
| Angolo orizzontale 1 | 113.24550c |
| Distanza orizzontale 1 | 81.5661 |
| Angolo orizzontale 2 | 113.24700c |
| Distanza orizzontale 2 | 81.5667 |
| Deviazione sull'angolo orizzontale | 0.00075c |
| Deviazione sulla distanza orizzontale | 0.0003 |

Stazione

| | |
|----------------------------|--------------|
| Nome della stazione | PA008 |
| E | 685004.6040 |
| N | 4793324.4907 |
| Quota | 194.339 |
| Angolo di correzione | 0.00795c |

Dati utilizzati per la posizione

Misura tacheometrica

| | |
|---|--------------|
| Nome della stazione | PSS223077 |
| Nome del punto osservato | PA008 |
| Distanza orizzontale | 48.2022 |
| Distanza orizzontale avanti | 48.2022 |
| Distanza orizzontale indietro | 48.2022 |
| Errore sulla distanza orizzontale | 0.0000 |
| Azimut | 320.95320c |
| Angolo orizzontale | 320.94400c |
| Angolo di correzione | 0.00920c |
| E | 685004.6040 |
| N | 4793324.4907 |
| E precedente | 685050.2188 |
| N precedente | 4793308.9107 |
| dE | -45.6148 |
| dN | 15.5800 |

Misure in avanti

| | |
|--------------------------------|-----------|
| Nome della stazione | PSS223077 |
| Nome del punto osservato | PA008 |

| | |
|---|------------|
| Angolo orizzontale | 320.94400c |
| Deviazione sull'angolo orizzontale | 0.00000c |
| Errore sull'angolo orizzontale | 0.00000c |
| Distanza orizzontale | 48.2022 |
| Deviazione sulla distanza orizzontale | 0.0000 |
| Errore sulla distanza orizzontale | 0.0000 |

Misura

| | |
|---|------------|
| Strato | 1 |
| Angolo orizzontale | 320.94400c |
| Distanza orizzontale | 48.2022 |
| Angolo orizzontale 1 | 320.94350c |
| Distanza orizzontale 1 | 48.2023 |
| Angolo orizzontale 2 | 320.94450c |
| Distanza orizzontale 2 | 48.2020 |
| Deviazione sull'angolo orizzontale | 0.00050c |
| Deviazione sulla distanza orizzontale | -0.0002 |

Misure indietro

| | |
|---|-----------|
| Nome della stazione | PA008 |
| Nome del punto osservato | PSS223077 |
| Distanza orizzontale | 48.2022 |
| Deviazione sulla distanza orizzontale | 0.0000 |
| Errore sulla distanza orizzontale | 0.0000 |

Misura

| | |
|---|---------|
| Strato | 1 |
| Distanza orizzontale | 48.2022 |
| Distanza orizzontale 1 | 48.2019 |
| Distanza orizzontale 2 | 48.2024 |
| Deviazione sulla distanza orizzontale | 0.0002 |

Dati utilizzati per la quota

Misura per quota

| | |
|--------------------------------|-----------|
| Nome della stazione | PSS223077 |
| Nome del punto osservato | PA008 |
| Altezza strumento | 1.510 |
| Dislivello | -0.847 |
| Dislivello in avanti | -0.847 |
| Dislivello indietro | 0.847 |
| Errore sul dislivello | 0.000 |
| Quota | 194.339 |
| Quota precedente | 195.186 |

Misure in avanti

| | |
|---------------------------------|-----------|
| Nome della stazione | PSS223077 |
| Nome del punto osservato | PA008 |
| Dislivello | -0.847 |
| Deviazione sul dislivello | 0.000 |
| Errore sul dislivello | 0.000 |

Misura

| | |
|--|------------|
| Strato | 1 |
| Altezza prisma | 1.545 |
| Angolo verticale | 101.07175c |
| Angolo verticale 1 | 101.05750c |
| Angolo verticale 2 | 101.08600c |
| Deviazione sull'angolo verticale | 0.01425c |
| Dislivello | -0.847 |
| Dislivello 1 | -0.836 |
| Dislivello 2 | -0.857 |
| Deviazione sul dislivello | -0.022 |

Misure indietro

| | |
|---------------------------------|-----------|
| Nome della stazione | PA008 |
| Nome del punto osservato | PSS223077 |
| Dislivello | 0.847 |
| Deviazione sul dislivello | 0.000 |
| Errore sul dislivello | 0.000 |

Misura

| | |
|--|-----------|
| Strato | 1 |
| Altezza prisma | 1.510 |
| Angolo verticale | 98.92825c |
| Angolo verticale 1 | 98.91050c |
| Angolo verticale 2 | 98.94600c |
| Deviazione sull'angolo verticale | 0.01775c |
| Dislivello | 0.847 |
| Dislivello 1 | 0.860 |
| Dislivello 2 | 0.833 |

..... Deviazione sul dislivello -0.027

Dati utilizzati per l'orientamento

Orientamento

..... Nome della stazione PA008
 Nome del punto osservato PSS223077
 Azimut 120.95320c
 Angolo orizzontale 120.94525c
 Angolo di correzione 0.00795c

Misure

..... Nome della stazione PA008
 Nome del punto osservato PSS223077
 Angolo orizzontale 120.94525c
 Deviazione sull'angolo orizzontale 0.00000c
 Errore sull'angolo orizzontale 0.00000c
 Distanza orizzontale 48.2022
 Deviazione sulla distanza orizzontale 0.0000
 Errore sulla distanza orizzontale 0.0000

Misura

..... Strato 1
 Angolo orizzontale 120.94525c
 Distanza orizzontale 48.2022
 Angolo orizzontale 1 120.94400c
 Distanza orizzontale 1 48.2019
 Angolo orizzontale 2 120.94650c
 Distanza orizzontale 2 48.2024
 Deviazione sull'angolo orizzontale 0.00125c
 Deviazione sulla distanza orizzontale 0.0002

Stazione

..... Nome della stazione PA009
 E 684973.1000
 N 4793341.1444
 Quota 193.688
 Angolo di correzione 0.00695c

Dati utilizzati per la posizione

Misura tacheometrica

..... Nome della stazione PA008
 Nome del punto osservato PA009
 Distanza orizzontale 35.6349
 Distanza orizzontale avanti 35.6349
 Distanza orizzontale indietro 35.6349
 Errore sulla distanza orizzontale 0.0000
 Azimut 330.95770c
 Angolo orizzontale 330.94975c
 Angolo di correzione 0.00795c
 E 684973.1000
 N 4793341.1444
 E precedente 685004.6040
 N precedente 4793324.4907
 dE -31.5040
 dN 16.6537

Misure in avanti

..... Nome della stazione PA008
 Nome del punto osservato PA009
 Angolo orizzontale 330.94975c
 Deviazione sull'angolo orizzontale 0.00000c
 Errore sull'angolo orizzontale 0.00000c
 Distanza orizzontale 35.6349
 Deviazione sulla distanza orizzontale 0.0000
 Errore sulla distanza orizzontale 0.0000

Misura

..... Strato 1
 Angolo orizzontale 330.94975c
 Distanza orizzontale 35.6349
 Angolo orizzontale 1 330.94950c
 Distanza orizzontale 1 35.6351
 Angolo orizzontale 2 330.95000c
 Distanza orizzontale 2 35.6347
 Deviazione sull'angolo orizzontale 0.00025c
 Deviazione sulla distanza orizzontale -0.0002

Misure indietro

..... Nome della stazione PA009
 Nome del punto osservato PA008

| | |
|---|---------|
| Distanza orizzontale | 35.6349 |
| Deviazione sulla distanza orizzontale | 0.0000 |
| Errore sulla distanza orizzontale | 0.0000 |

Misura

| | |
|---|---------|
| Strato | 1 |
| Distanza orizzontale | 35.6349 |
| Distanza orizzontale 1 | 35.6347 |
| Distanza orizzontale 2 | 35.6351 |
| Deviazione sulla distanza orizzontale | 0.0002 |

Dati utilizzati per la quota

Misura per quota

| | |
|--------------------------------|---------|
| Nome della stazione | PA008 |
| Nome del punto osservato | PA009 |
| Altezza strumento | 1.545 |
| Dislivello | -0.651 |
| Dislivello in avanti | -0.651 |
| Dislivello indietro | 0.650 |
| Errore sul dislivello | 0.002 |
| Quota | 193.688 |
| Quota precedente | 194.339 |

Misure in avanti

| | |
|---------------------------------|--------|
| Nome della stazione | PA008 |
| Nome del punto osservato | PA009 |
| Dislivello | -0.651 |
| Deviazione sul dislivello | 0.000 |
| Errore sul dislivello | 0.000 |

Misura

| | |
|--|------------|
| Strato | 1 |
| Altezza prisma | 1.485 |
| Angolo verticale | 101.27075c |
| Angolo verticale 1 | 101.25650c |
| Angolo verticale 2 | 101.28500c |
| Deviazione sull'angolo verticale | 0.01425c |
| Dislivello | -0.651 |
| Dislivello 1 | -0.643 |
| Dislivello 2 | -0.659 |
| Deviazione sul dislivello | -0.016 |

Misure indietro

| | |
|---------------------------------|-------|
| Nome della stazione | PA009 |
| Nome del punto osservato | PA008 |
| Dislivello | 0.650 |
| Deviazione sul dislivello | 0.000 |
| Errore sul dislivello | 0.000 |

Misura

| | |
|--|-----------|
| Strato | 1 |
| Altezza prisma | 1.545 |
| Angolo verticale | 98.73225c |
| Angolo verticale 1 | 98.71500c |
| Angolo verticale 2 | 98.74950c |
| Deviazione sull'angolo verticale | 0.01725c |
| Dislivello | 0.650 |
| Dislivello 1 | 0.659 |
| Dislivello 2 | 0.640 |
| Deviazione sul dislivello | -0.019 |

Dati utilizzati per l'orientamento

Orientamento

| | |
|--------------------------------|------------|
| Nome della stazione | PA009 |
| Nome del punto osservato | PA008 |
| Azimut | 130.95770c |
| Angolo orizzontale | 130.95075c |
| Angolo di correzione | 0.00695c |

Misure

| | |
|---|------------|
| Nome della stazione | PA009 |
| Nome del punto osservato | PA008 |
| Angolo orizzontale | 130.95075c |
| Deviazione sull'angolo orizzontale | 0.00000c |
| Errore sull'angolo orizzontale | 0.00000c |
| Distanza orizzontale | 35.6349 |
| Deviazione sulla distanza orizzontale | 0.0000 |
| Errore sulla distanza orizzontale | 0.0000 |

Misura

| | |
|--------------|---|
| Strato | 1 |
|--------------|---|

| | |
|---|------------|
| Angolo orizzontale | 130.95075c |
| Distanza orizzontale | 35.6349 |
| Angolo orizzontale 1 | 130.95000c |
| Distanza orizzontale 1 | 35.6347 |
| Angolo orizzontale 2 | 130.95150c |
| Distanza orizzontale 2 | 35.6351 |
| Deviazione sull'angolo orizzontale | 0.00075c |
| Deviazione sulla distanza orizzontale | 0.0002 |

Stazione

| | |
|----------------------------|--------------|
| Nome della stazione | PSS223078 |
| E | 684934.1696 |
| N | 4793370.5521 |
| Quota | 192.773 |
| Angolo di correzione | 0.00595c |

Dati utilizzati per la posizione

Misura tacheometrica

| | |
|---|--------------|
| Nome della stazione | PA009 |
| Nome del punto osservato | PSS223078 |
| Distanza orizzontale | 48.7892 |
| Distanza orizzontale avanti | 48.7892 |
| Distanza orizzontale indietro | 48.7892 |
| Errore sulla distanza orizzontale | 0.0000 |
| Azimut | 341.18570c |
| Angolo orizzontale | 341.17875c |
| Angolo di correzione | 0.00695c |
| E | 684934.1696 |
| N | 4793370.5521 |
| E precedente | 684973.1000 |
| N precedente | 4793341.1444 |
| dE | -38.9304 |
| dN | 29.4077 |

Misure in avanti

| | |
|---|------------|
| Nome della stazione | PA009 |
| Nome del punto osservato | PSS223078 |
| Angolo orizzontale | 341.17875c |
| Deviazione sull'angolo orizzontale | 0.00000c |
| Errore sull'angolo orizzontale | 0.00000c |
| Distanza orizzontale | 48.7892 |
| Deviazione sulla distanza orizzontale | 0.0000 |
| Errore sulla distanza orizzontale | 0.0000 |

Misura

| | |
|---|------------|
| Strato | 1 |
| Angolo orizzontale | 341.17875c |
| Distanza orizzontale | 48.7892 |
| Angolo orizzontale 1 | 341.17800c |
| Distanza orizzontale 1 | 48.7894 |
| Angolo orizzontale 2 | 341.17950c |
| Distanza orizzontale 2 | 48.7890 |
| Deviazione sull'angolo orizzontale | 0.00075c |
| Deviazione sulla distanza orizzontale | -0.0002 |

Misure indietro

| | |
|---|-----------|
| Nome della stazione | PSS223078 |
| Nome del punto osservato | PA009 |
| Distanza orizzontale | 48.7892 |
| Deviazione sulla distanza orizzontale | 0.0000 |
| Errore sulla distanza orizzontale | 0.0000 |

Misura

| | |
|---|---------|
| Strato | 1 |
| Distanza orizzontale | 48.7892 |
| Distanza orizzontale 1 | 48.7890 |
| Distanza orizzontale 2 | 48.7895 |
| Deviazione sulla distanza orizzontale | 0.0002 |

Dati utilizzati per la quota

Misura per quota

| | |
|--------------------------------|-----------|
| Nome della stazione | PA009 |
| Nome del punto osservato | PSS223078 |
| Altezza strumento | 1.485 |
| Dislivello | -0.915 |
| Dislivello in avanti | -0.915 |
| Dislivello indietro | 0.915 |
| Errore sul dislivello | 0.000 |
| Quota | 192.773 |

| | |
|---|--------------|
| Quota precedente | 193.688 |
| Misure in avanti | |
| Nome della stazione | PA009 |
| Nome del punto osservato | PSS223078 |
| Dislivello | -0.915 |
| Deviazione sul dislivello | 0.000 |
| Errore sul dislivello | 0.000 |
| Misura | |
| Strato | 1 |
| Altezza prisma | 1.530 |
| Angolo verticale | 101.13525c |
| Angolo verticale 1 | 101.12000c |
| Angolo verticale 2 | 101.15050c |
| Deviazione sull'angolo verticale | 0.01525c |
| Dislivello | -0.915 |
| Dislivello 1 | -0.903 |
| Dislivello 2 | -0.927 |
| Deviazione sul dislivello | -0.023 |
| Misure indietro | |
| Nome della stazione | PSS223078 |
| Nome del punto osservato | PA009 |
| Dislivello | 0.915 |
| Deviazione sul dislivello | 0.000 |
| Errore sul dislivello | 0.000 |
| Misura | |
| Strato | 1 |
| Altezza prisma | 1.485 |
| Angolo verticale | 98.86450c |
| Angolo verticale 1 | 98.84750c |
| Angolo verticale 2 | 98.88150c |
| Deviazione sull'angolo verticale | 0.01700c |
| Dislivello | 0.915 |
| Dislivello 1 | 0.928 |
| Dislivello 2 | 0.902 |
| Deviazione sul dislivello | -0.026 |
| Dati utilizzati per l'orientamento | |
| Orientamento | |
| Nome della stazione | PSS223078 |
| Nome del punto osservato | PA009 |
| Azimut | 141.18570c |
| Angolo orizzontale | 141.17975c |
| Angolo di correzione | 0.00595c |
| Misure | |
| Nome della stazione | PSS223078 |
| Nome del punto osservato | PA009 |
| Angolo orizzontale | 141.17975c |
| Deviazione sull'angolo orizzontale | 0.00000c |
| Errore sull'angolo orizzontale | 0.00000c |
| Distanza orizzontale | 48.7892 |
| Deviazione sulla distanza orizzontale | 0.0000 |
| Errore sulla distanza orizzontale | 0.0000 |
| Misura | |
| Strato | 1 |
| Angolo orizzontale | 141.17975c |
| Distanza orizzontale | 48.7892 |
| Angolo orizzontale 1 | 141.17850c |
| Distanza orizzontale 1 | 48.7890 |
| Angolo orizzontale 2 | 141.18100c |
| Distanza orizzontale 2 | 48.7895 |
| Deviazione sull'angolo orizzontale | 0.00125c |
| Deviazione sulla distanza orizzontale | 0.0002 |
| Stazione | |
| Nome della stazione | PA010 |
| E | 684911.0256 |
| N | 4793393.5613 |
| Quota | 192.244 |
| Angolo di correzione | 0.00520c |
| Dati utilizzati per la posizione | |
| Misura tacheometrica | |
| Nome della stazione | PSS223078 |
| Nome del punto osservato | PA010 |
| Distanza orizzontale | 32.6354 |

| | |
|---|--------------|
| Distanza orizzontale avanti | 32.6354 |
| Distanza orizzontale indietro | 32.6354 |
| Errore sulla distanza orizzontale | 0.0000 |
| Azimut | 349.81395c |
| Angolo orizzontale | 349.80800c |
| Angolo di correzione | 0.00595c |
| E | 684911.0256 |
| N | 4793393.5613 |
| E precedente | 684934.1696 |
| N precedente | 4793370.5521 |
| dE | -23.1440 |
| dN | 23.0092 |
| Misure in avanti | |
| Nome della stazione | PSS223078 |
| Nome del punto osservato | PA010 |
| Angolo orizzontale | 349.80800c |
| Deviazione sull'angolo orizzontale | 0.00000c |
| Errore sull'angolo orizzontale | 0.00000c |
| Distanza orizzontale | 32.6354 |
| Deviazione sulla distanza orizzontale | 0.0000 |
| Errore sulla distanza orizzontale | 0.0000 |
| Misura | |
| Strato | 1 |
| Angolo orizzontale | 349.80800c |
| Distanza orizzontale | 32.6354 |
| Angolo orizzontale 1 | 349.80750c |
| Distanza orizzontale 1 | 32.6355 |
| Angolo orizzontale 2 | 349.80850c |
| Distanza orizzontale 2 | 32.6353 |
| Deviazione sull'angolo orizzontale | 0.00050c |
| Deviazione sulla distanza orizzontale | -0.0001 |
| Misure indietro | |
| Nome della stazione | PA010 |
| Nome del punto osservato | PSS223078 |
| Distanza orizzontale | 32.6354 |
| Deviazione sulla distanza orizzontale | 0.0000 |
| Errore sulla distanza orizzontale | 0.0000 |
| Misura | |
| Strato | 1 |
| Distanza orizzontale | 32.6354 |
| Distanza orizzontale 1 | 32.6352 |
| Distanza orizzontale 2 | 32.6355 |
| Deviazione sulla distanza orizzontale | 0.0001 |
| Dati utilizzati per la quota | |
| Misura per quota | |
| Nome della stazione | PSS223078 |
| Nome del punto osservato | PA010 |
| Altezza strumento | 1.530 |
| Dislivello | -0.529 |
| Dislivello in avanti | -0.529 |
| Dislivello indietro | 0.529 |
| Errore sul dislivello | 0.001 |
| Quota | 192.244 |
| Quota precedente | 192.773 |
| Misure in avanti | |
| Nome della stazione | PSS223078 |
| Nome del punto osservato | PA010 |
| Dislivello | -0.529 |
| Deviazione sul dislivello | 0.000 |
| Errore sul dislivello | 0.000 |
| Misura | |
| Strato | 1 |
| Altezza prisma | 1.510 |
| Angolo verticale | 101.07100c |
| Angolo verticale 1 | 101.05750c |
| Angolo verticale 2 | 101.08450c |
| Deviazione sull'angolo verticale | 0.01350c |
| Dislivello | -0.529 |
| Dislivello 1 | -0.522 |
| Dislivello 2 | -0.536 |
| Deviazione sul dislivello | -0.014 |
| Misure indietro | |

| | |
|--|-----------|
| Nome della stazione | PA010 |
| Nome del punto osservato | PSS223078 |
| Dislivello | 0.529 |
| Deviazione sul dislivello | 0.000 |
| Errore sul dislivello | 0.000 |
| Misura | |
| Strato | 1 |
| Altezza prisma | 1.530 |
| Angolo verticale | 98.93000c |
| Angolo verticale 1 | 98.91350c |
| Angolo verticale 2 | 98.94650c |
| Deviazione sull'angolo verticale | 0.01650c |
| Dislivello | 0.529 |
| Dislivello 1 | 0.537 |
| Dislivello 2 | 0.520 |
| Deviazione sul dislivello | -0.017 |

Dati utilizzati per l'orientamento**Orientamento**

| | |
|--------------------------------|------------|
| Nome della stazione | PA010 |
| Nome del punto osservato | PSS223078 |
| Azimut | 149.81395c |
| Angolo orizzontale | 149.80875c |
| Angolo di correzione | 0.00520c |

Misure

| | |
|---|------------|
| Nome della stazione | PA010 |
| Nome del punto osservato | PSS223078 |
| Angolo orizzontale | 149.80875c |
| Deviazione sull'angolo orizzontale | 0.00000c |
| Errore sull'angolo orizzontale | 0.00000c |
| Distanza orizzontale | 32.6354 |
| Deviazione sulla distanza orizzontale | 0.0000 |
| Errore sulla distanza orizzontale | 0.0000 |

Misura

| | |
|---|------------|
| Strato | 1 |
| Angolo orizzontale | 149.80875c |
| Distanza orizzontale | 32.6354 |
| Angolo orizzontale 1 | 149.80850c |
| Distanza orizzontale 1 | 32.6352 |
| Angolo orizzontale 2 | 149.80900c |
| Distanza orizzontale 2 | 32.6355 |
| Deviazione sull'angolo orizzontale | 0.00025c |
| Deviazione sulla distanza orizzontale | 0.0001 |

Stazione

| | |
|----------------------------|--------------|
| Nome della stazione | PSS223079 |
| E | 684808.9084 |
| N | 4793511.4323 |
| Quota | 189.638 |
| Angolo di correzione | 0.00545c |

Dati utilizzati per la posizione**Misura tacheometrica**

| | |
|---|--------------|
| Nome della stazione | PA010 |
| Nome del punto osservato | PSS223079 |
| Distanza orizzontale | 155.9535 |
| Distanza orizzontale avanti | 155.9535 |
| Distanza orizzontale indietro | 155.9534 |
| Errore sulla distanza orizzontale | 0.0000 |
| Azimut | 354.55120c |
| Angolo orizzontale | 354.54600c |
| Angolo di correzione | 0.00520c |
| E | 684808.9084 |
| N | 4793511.4323 |
| E precedente | 684911.0256 |
| N precedente | 4793393.5613 |
| dE | -102.1172 |
| dN | 117.8710 |

Misure in avanti

| | |
|---|------------|
| Nome della stazione | PA010 |
| Nome del punto osservato | PSS223079 |
| Angolo orizzontale | 354.54600c |
| Deviazione sull'angolo orizzontale | 0.00000c |
| Errore sull'angolo orizzontale | 0.00000c |
| Distanza orizzontale | 155.9535 |
| Deviazione sulla distanza orizzontale | 0.0000 |

| | |
|---|------------|
| Errore sulla distanza orizzontale | 0.0000 |
| Misura | |
| Strato | 1 |
| Angolo orizzontale | 354.54600c |
| Distanza orizzontale | 155.9535 |
| Angolo orizzontale 1 | 354.54550c |
| Distanza orizzontale 1 | 155.9541 |
| Angolo orizzontale 2 | 354.54650c |
| Distanza orizzontale 2 | 155.9529 |
| Deviazione sull'angolo orizzontale | 0.00050c |
| Deviazione sulla distanza orizzontale | -0.0006 |

| | |
|---|-----------|
| Misure indietro | |
| Nome della stazione | PSS223079 |
| Nome del punto osservato | PA010 |
| Distanza orizzontale | 155.9534 |
| Deviazione sulla distanza orizzontale | 0.0000 |
| Errore sulla distanza orizzontale | 0.0000 |

| | |
|---|----------|
| Misura | |
| Strato | 1 |
| Distanza orizzontale | 155.9534 |
| Distanza orizzontale 1 | 155.9527 |
| Distanza orizzontale 2 | 155.9542 |
| Deviazione sulla distanza orizzontale | 0.0007 |

Dati utilizzati per la quota

| | |
|--------------------------------|-----------|
| Misura per quota | |
| Nome della stazione | PA010 |
| Nome del punto osservato | PSS223079 |
| Altezza strumento | 1.510 |
| Dislivello | -2.607 |
| Dislivello in avanti | -2.606 |
| Dislivello indietro | 2.607 |
| Errore sul dislivello | 0.001 |
| Quota | 189.638 |
| Quota precedente | 192.244 |

| | |
|---------------------------------|-----------|
| Misure in avanti | |
| Nome della stazione | PA010 |
| Nome del punto osservato | PSS223079 |
| Dislivello | -2.606 |
| Deviazione sul dislivello | 0.000 |
| Errore sul dislivello | 0.000 |

| | |
|--|------------|
| Misura | |
| Strato | 1 |
| Altezza prisma | 1.465 |
| Angolo verticale | 101.08225c |
| Angolo verticale 1 | 101.06800c |
| Angolo verticale 2 | 101.09650c |
| Deviazione sull'angolo verticale | 0.01425c |
| Dislivello | -2.606 |
| Dislivello 1 | -2.572 |
| Dislivello 2 | -2.641 |
| Deviazione sul dislivello | -0.070 |

| | |
|---------------------------------|-----------|
| Misure indietro | |
| Nome della stazione | PSS223079 |
| Nome del punto osservato | PA010 |
| Dislivello | 2.607 |
| Deviazione sul dislivello | 0.000 |
| Errore sul dislivello | 0.000 |

| | |
|--|-----------|
| Misura | |
| Strato | 1 |
| Altezza prisma | 1.510 |
| Angolo verticale | 98.91750c |
| Angolo verticale 1 | 98.90050c |
| Angolo verticale 2 | 98.93450c |
| Deviazione sull'angolo verticale | 0.01700c |
| Dislivello | 2.607 |
| Dislivello 1 | 2.649 |
| Dislivello 2 | 2.565 |
| Deviazione sul dislivello | -0.083 |

Dati utilizzati per l'orientamento

| | |
|---------------------------|-----------|
| Orientamento | |
| Nome della stazione | PSS223079 |

| | |
|--------------------------------|------------|
| Nome del punto osservato | PA010 |
| Azimut | 154.55120c |
| Angolo orizzontale | 154.54575c |
| Angolo di correzione | 0.00545c |

Misure

| | |
|---|------------|
| Nome della stazione | PSS223079 |
| Nome del punto osservato | PA010 |
| Angolo orizzontale | 154.54575c |
| Deviazione sull'angolo orizzontale | 0.00000c |
| Errore sull'angolo orizzontale | 0.00000c |
| Distanza orizzontale | 155.9534 |
| Deviazione sulla distanza orizzontale | 0.0000 |
| Errore sulla distanza orizzontale | 0.0000 |

Misura

| | |
|---|------------|
| Strato | 1 |
| Angolo orizzontale | 154.54575c |
| Distanza orizzontale | 155.9534 |
| Angolo orizzontale 1 | 154.54550c |
| Distanza orizzontale 1 | 155.9527 |
| Angolo orizzontale 2 | 154.54600c |
| Distanza orizzontale 2 | 155.9542 |
| Deviazione sull'angolo orizzontale | 0.00025c |
| Deviazione sulla distanza orizzontale | 0.0007 |

Stazione

| | |
|----------------------------|--------------|
| Nome della stazione | PSS223080 |
| E | 684677.4045 |
| N | 4793662.4969 |
| Quota | 192.205 |
| Angolo di correzione | 0.00545c |

Dati utilizzati per la posizione

Misura tacheometrica

| | |
|---|--------------|
| Nome della stazione | PSS223079 |
| Nome del punto osservato | PSS223080 |
| Distanza orizzontale | 200.2843 |
| Distanza orizzontale avanti | 200.2843 |
| Distanza orizzontale indietro | 200.2842 |
| Errore sulla distanza orizzontale | 0.0001 |
| Azimut | 354.39995c |
| Angolo orizzontale | 354.39450c |
| Angolo di correzione | 0.00545c |
| E | 684677.4045 |
| N | 4793662.4969 |
| E precedente | 684808.9084 |
| N precedente | 4793511.4323 |
| dE | -131.5039 |
| dN | 151.0646 |

Misure in avanti

| | |
|---|------------|
| Nome della stazione | PSS223079 |
| Nome del punto osservato | PSS223080 |
| Angolo orizzontale | 354.39450c |
| Deviazione sull'angolo orizzontale | 0.00000c |
| Errore sull'angolo orizzontale | 0.00000c |
| Distanza orizzontale | 200.2843 |
| Deviazione sulla distanza orizzontale | 0.0000 |
| Errore sulla distanza orizzontale | 0.0000 |

Misura

| | |
|---|------------|
| Strato | 1 |
| Angolo orizzontale | 354.39450c |
| Distanza orizzontale | 200.2843 |
| Angolo orizzontale 1 | 354.39400c |
| Distanza orizzontale 1 | 200.2838 |
| Angolo orizzontale 2 | 354.39500c |
| Distanza orizzontale 2 | 200.2849 |
| Deviazione sull'angolo orizzontale | 0.00050c |
| Deviazione sulla distanza orizzontale | 0.0006 |

Misure indietro

| | |
|---|-----------|
| Nome della stazione | PSS223080 |
| Nome del punto osservato | PSS223079 |
| Distanza orizzontale | 200.2842 |
| Deviazione sulla distanza orizzontale | 0.0000 |
| Errore sulla distanza orizzontale | 0.0000 |

Misura

| | |
|--------------|---|
| Strato | 1 |
|--------------|---|

| | |
|---|----------|
| Distanza orizzontale | 200.2842 |
| Distanza orizzontale 1 | 200.2849 |
| Distanza orizzontale 2 | 200.2836 |
| Deviazione sulla distanza orizzontale | -0.0007 |

Dati utilizzati per la quota

Misura per quota

| | |
|--------------------------------|-----------|
| Nome della stazione | PSS223079 |
| Nome del punto osservato | PSS223080 |
| Altezza strumento | 1.465 |
| Dislivello | 2.568 |
| Dislivello in avanti | 2.563 |
| Dislivello indietro | -2.572 |
| Errore sul dislivello | 0.009 |
| Quota | 192.205 |
| Quota precedente | 189.638 |

Misure in avanti

| | |
|---------------------------------|-----------|
| Nome della stazione | PSS223079 |
| Nome del punto osservato | PSS223080 |
| Dislivello | 2.563 |
| Deviazione sul dislivello | 0.000 |
| Errore sul dislivello | 0.000 |

Misura

| | |
|--|-----------|
| Strato | 1 |
| Altezza prisma | 1.485 |
| Angolo verticale | 99.17900c |
| Angolo verticale 1 | 99.16450c |
| Angolo verticale 2 | 99.19350c |
| Deviazione sull'angolo verticale | 0.01450c |
| Dislivello | 2.563 |
| Dislivello 1 | 2.609 |
| Dislivello 2 | 2.517 |
| Deviazione sul dislivello | -0.091 |

Misure indietro

| | |
|---------------------------------|-----------|
| Nome della stazione | PSS223080 |
| Nome del punto osservato | PSS223079 |
| Dislivello | -2.572 |
| Deviazione sul dislivello | 0.000 |
| Errore sul dislivello | 0.000 |

Misura

| | |
|--|------------|
| Strato | 1 |
| Altezza prisma | 1.465 |
| Angolo verticale | 100.82400c |
| Angolo verticale 1 | 100.80800c |
| Angolo verticale 2 | 100.84000c |
| Deviazione sull'angolo verticale | 0.01600c |
| Dislivello | -2.572 |
| Dislivello 1 | -2.522 |
| Dislivello 2 | -2.623 |
| Deviazione sul dislivello | -0.101 |

Dati utilizzati per l'orientamento

Orientamento

| | |
|--------------------------------|------------|
| Nome della stazione | PSS223080 |
| Nome del punto osservato | PSS223079 |
| Azimut | 154.39995c |
| Angolo orizzontale | 154.39450c |
| Angolo di correzione | 0.00545c |

Misure

| | |
|---|------------|
| Nome della stazione | PSS223080 |
| Nome del punto osservato | PSS223079 |
| Angolo orizzontale | 154.39450c |
| Deviazione sull'angolo orizzontale | 0.00000c |
| Errore sull'angolo orizzontale | 0.00000c |
| Distanza orizzontale | 200.2842 |
| Deviazione sulla distanza orizzontale | 0.0000 |
| Errore sulla distanza orizzontale | 0.0000 |

Misura

| | |
|------------------------------|------------|
| Strato | 1 |
| Angolo orizzontale | 154.39450c |
| Distanza orizzontale | 200.2842 |
| Angolo orizzontale 1 | 154.39400c |
| Distanza orizzontale 1 | 200.2849 |
| Angolo orizzontale 2 | 154.39500c |

| | |
|---|----------|
| Distanza orizzontale 2 | 200.2836 |
| Deviazione sull'angolo orizzontale | 0.00050c |
| Deviazione sulla distanza orizzontale | -0.0007 |

Stazione

| | |
|----------------------------|--------------|
| Nome della stazione | PA011 |
| E | 684620.5907 |
| N | 4793731.1976 |
| Quota | 195.639 |
| Angolo di correzione | 0.00545c |

Dati utilizzati per la posizione

Misura tacheometrica

| | |
|---|--------------|
| Nome della stazione | PSS223080 |
| Nome del punto osservato | PA011 |
| Distanza orizzontale | 89.1493 |
| Distanza orizzontale avanti | 89.1494 |
| Distanza orizzontale indietro | 89.1493 |
| Errore sulla distanza orizzontale | 0.0001 |
| Azimut | 356.01120c |
| Angolo orizzontale | 356.00575c |
| Angolo di correzione | 0.00545c |
| E | 684620.5907 |
| N | 4793731.1976 |
| E precedente | 684677.4045 |
| N precedente | 4793662.4969 |
| dE | -56.8138 |
| dN | 68.7007 |

Misure in avanti

| | |
|---|------------|
| Nome della stazione | PSS223080 |
| Nome del punto osservato | PA011 |
| Angolo orizzontale | 356.00575c |
| Deviazione sull'angolo orizzontale | 0.00000c |
| Errore sull'angolo orizzontale | 0.00000c |
| Distanza orizzontale | 89.1494 |
| Deviazione sulla distanza orizzontale | 0.0000 |
| Errore sulla distanza orizzontale | 0.0000 |

Misura

| | |
|---|------------|
| Strato | 1 |
| Angolo orizzontale | 356.00575c |
| Distanza orizzontale | 89.1494 |
| Angolo orizzontale 1 | 356.00550c |
| Distanza orizzontale 1 | 89.1485 |
| Angolo orizzontale 2 | 356.00600c |
| Distanza orizzontale 2 | 89.1502 |
| Deviazione sull'angolo orizzontale | 0.00025c |
| Deviazione sulla distanza orizzontale | 0.0009 |

Misure indietro

| | |
|---|-----------|
| Nome della stazione | PA011 |
| Nome del punto osservato | PSS223080 |
| Distanza orizzontale | 89.1493 |
| Deviazione sulla distanza orizzontale | 0.0000 |
| Errore sulla distanza orizzontale | 0.0000 |

Misura

| | |
|---|---------|
| Strato | 1 |
| Distanza orizzontale | 89.1493 |
| Distanza orizzontale 1 | 89.1502 |
| Distanza orizzontale 2 | 89.1484 |
| Deviazione sulla distanza orizzontale | -0.0009 |

Dati utilizzati per la quota

Misura per quota

| | |
|--------------------------------|-----------|
| Nome della stazione | PSS223080 |
| Nome del punto osservato | PA011 |
| Altezza strumento | 1.485 |
| Dislivello | 3.433 |
| Dislivello in avanti | 3.432 |
| Dislivello indietro | -3.435 |
| Errore sul dislivello | 0.003 |
| Quota | 195.639 |
| Quota precedente | 192.205 |

Misure in avanti

| | |
|--------------------------------|-----------|
| Nome della stazione | PSS223080 |
| Nome del punto osservato | PA011 |
| Dislivello | 3.432 |

| | |
|--|-----------|
| Deviazione sul dislivello | 0.000 |
| Errore sul dislivello | 0.000 |
| Misura | |
| Strato | 1 |
| Altezza prisma | 1.500 |
| Angolo verticale | 97.53975c |
| Angolo verticale 1 | 97.52400c |
| Angolo verticale 2 | 97.55550c |
| Deviazione sull'angolo verticale | 0.01575c |
| Dislivello | 3.432 |
| Dislivello 1 | 3.454 |
| Dislivello 2 | 3.410 |
| Deviazione sul dislivello | -0.044 |

Misure indietro

| | |
|---------------------------------|-----------|
| Nome della stazione | PA011 |
| Nome del punto osservato | PSS223080 |
| Dislivello | -3.435 |
| Deviazione sul dislivello | 0.000 |
| Errore sul dislivello | 0.000 |

Misura

| | |
|--|------------|
| Strato | 1 |
| Altezza prisma | 1.485 |
| Angolo verticale | 102.46225c |
| Angolo verticale 1 | 102.44550c |
| Angolo verticale 2 | 102.47900c |
| Deviazione sull'angolo verticale | 0.01675c |
| Dislivello | -3.435 |
| Dislivello 1 | -3.411 |
| Dislivello 2 | -3.458 |
| Deviazione sul dislivello | -0.047 |

Dati utilizzati per l'orientamento

Orientamento

| | |
|--------------------------------|------------|
| Nome della stazione | PA011 |
| Nome del punto osservato | PSS223080 |
| Azimut | 156.01120c |
| Angolo orizzontale | 156.00575c |
| Angolo di correzione | 0.00545c |

Misure

| | |
|---|------------|
| Nome della stazione | PA011 |
| Nome del punto osservato | PSS223080 |
| Angolo orizzontale | 156.00575c |
| Deviazione sull'angolo orizzontale | 0.00000c |
| Errore sull'angolo orizzontale | 0.00000c |
| Distanza orizzontale | 89.1493 |
| Deviazione sulla distanza orizzontale | 0.0000 |
| Errore sulla distanza orizzontale | 0.0000 |

Misura

| | |
|---|------------|
| Strato | 1 |
| Angolo orizzontale | 156.00575c |
| Distanza orizzontale | 89.1493 |
| Angolo orizzontale 1 | 156.00600c |
| Distanza orizzontale 1 | 89.1502 |
| Angolo orizzontale 2 | 156.00550c |
| Distanza orizzontale 2 | 89.1484 |
| Deviazione sull'angolo orizzontale | -0.00025c |
| Deviazione sulla distanza orizzontale | -0.0009 |

Stazione

| | |
|----------------------------|--------------|
| Nome della stazione | 29709011 |
| E | 684613.1558 |
| N | 4793758.7678 |
| Quota | 196.131 |
| Angolo di correzione | 0.00570c |

Dati utilizzati per la posizione

Misura tacheometrica

| | |
|---|------------|
| Nome della stazione | PA011 |
| Nome del punto osservato | 29709011 |
| Distanza orizzontale | 28.5551 |
| Distanza orizzontale avanti | 28.5551 |
| Distanza orizzontale indietro | 28.5551 |
| Errore sulla distanza orizzontale | 0.0000 |
| Azimut | 383.23120c |
| Angolo orizzontale | 383.22575c |

| | |
|----------------------------|--------------|
| Angolo di correzione | 0.00545c |
| E | 684613.1558 |
| N | 4793758.7678 |
| E precedente | 684620.5907 |
| N precedente | 4793731.1976 |
| dE | -7.4348 |
| dN | 27.5702 |

Misure in avanti

| | |
|---|------------|
| Nome della stazione | PA011 |
| Nome del punto osservato | 29709011 |
| Angolo orizzontale | 383.22575c |
| Deviazione sull'angolo orizzontale | 0.00000c |
| Errore sull'angolo orizzontale | 0.00000c |
| Distanza orizzontale | 28.5551 |
| Deviazione sulla distanza orizzontale | 0.0000 |
| Errore sulla distanza orizzontale | 0.0000 |

Misura

| | |
|---|------------|
| Strato | 1 |
| Angolo orizzontale | 383.22575c |
| Distanza orizzontale | 28.5551 |
| Angolo orizzontale 1 | 383.22550c |
| Distanza orizzontale 1 | 28.5550 |
| Angolo orizzontale 2 | 383.22600c |
| Distanza orizzontale 2 | 28.5552 |
| Deviazione sull'angolo orizzontale | 0.00025c |
| Deviazione sulla distanza orizzontale | 0.0001 |

Misure indietro

| | |
|---|----------|
| Nome della stazione | 29709011 |
| Nome del punto osservato | PA011 |
| Distanza orizzontale | 28.5551 |
| Deviazione sulla distanza orizzontale | 0.0000 |
| Errore sulla distanza orizzontale | 0.0000 |

Misura

| | |
|---|---------|
| Strato | 1 |
| Distanza orizzontale | 28.5551 |
| Distanza orizzontale 1 | 28.5552 |
| Distanza orizzontale 2 | 28.5550 |
| Deviazione sulla distanza orizzontale | -0.0001 |

Dati utilizzati per la quota

Misura per quota

| | |
|--------------------------------|----------|
| Nome della stazione | PA011 |
| Nome del punto osservato | 29709011 |
| Altezza strumento | 1.500 |
| Dislivello | 0.492 |
| Dislivello in avanti | 0.492 |
| Dislivello indietro | -0.492 |
| Errore sul dislivello | 0.001 |
| Quota | 196.131 |
| Quota precedente | 195.639 |

Misure in avanti

| | |
|---------------------------------|----------|
| Nome della stazione | PA011 |
| Nome del punto osservato | 29709011 |
| Dislivello | 0.492 |
| Deviazione sul dislivello | 0.000 |
| Errore sul dislivello | 0.000 |

Misura

| | |
|--|-----------|
| Strato | 1 |
| Altezza prisma | 1.480 |
| Angolo verticale | 98.94825c |
| Angolo verticale 1 | 98.93250c |
| Angolo verticale 2 | 98.96400c |
| Deviazione sull'angolo verticale | 0.01575c |
| Dislivello | 0.492 |
| Dislivello 1 | 0.499 |
| Dislivello 2 | 0.485 |
| Deviazione sul dislivello | -0.014 |

Misure indietro

| | |
|---------------------------------|----------|
| Nome della stazione | 29709011 |
| Nome del punto osservato | PA011 |
| Dislivello | -0.492 |
| Deviazione sul dislivello | 0.000 |
| Errore sul dislivello | 0.000 |

Misura

| | |
|--|------------|
| Strato | 1 |
| Altezza prisma | 1.500 |
| Angolo verticale | 101.05300c |
| Angolo verticale 1 | 101.03650c |
| Angolo verticale 2 | 101.06950c |
| Deviazione sull'angolo verticale | 0.01650c |
| Dislivello | -0.492 |
| Dislivello 1 | -0.485 |
| Dislivello 2 | -0.500 |
| Deviazione sul dislivello | -0.015 |

Dati utilizzati per l'orientamento

Orientamento

| | |
|--------------------------------|------------|
| Nome della stazione | 29709011 |
| Nome del punto osservato | PA011 |
| Azimut | 183.23120c |
| Angolo orizzontale | 183.22550c |
| Angolo di correzione | 0.00570c |

Misure

| | |
|---|------------|
| Nome della stazione | 29709011 |
| Nome del punto osservato | PA011 |
| Angolo orizzontale | 183.22550c |
| Deviazione sull'angolo orizzontale | 0.00000c |
| Errore sull'angolo orizzontale | 0.00000c |
| Distanza orizzontale | 28.5551 |
| Deviazione sulla distanza orizzontale | 0.0000 |
| Errore sulla distanza orizzontale | 0.0000 |

Misura

| | |
|---|------------|
| Strato | 1 |
| Angolo orizzontale | 183.22550c |
| Distanza orizzontale | 28.5551 |
| Angolo orizzontale 1 | 183.22500c |
| Distanza orizzontale 1 | 28.5552 |
| Angolo orizzontale 2 | 183.22600c |
| Distanza orizzontale 2 | 28.5550 |
| Deviazione sull'angolo orizzontale | 0.00050c |
| Deviazione sulla distanza orizzontale | -0.0001 |

Compensazione planimetrica della poligonale

| | |
|----------------------------|----------|
| Stazione di partenza | 29709031 |
| Ultima stazione | 29709011 |

Errori di chiusura

| | |
|-----------------------------|-----------|
| Nome della poligonale | Siena_0 |
| Errore angolare | 0.00000c |
| Errore lineare | 9544.9916 |
| Errore lineare E | 9093.0992 |
| Errore lineare N | 2902.1392 |

Compensazione angolare

Stazione

| | |
|-------------------------------------|-------------|
| Nome della stazione | 29709031 |
| Angolo orizzontale | 199.90460c |
| Angolo di correzione | 0.00000c |
| Azimut | 199.90460c |
| Angolo orizzontale compensato | -208.89854c |
| Azimut compensato | 391.00606c |

Stazione

| | |
|-------------------------------------|-------------|
| Nome della stazione | CS014 |
| Angolo orizzontale | 208.18860c |
| Angolo di correzione | 0.00000c |
| Azimut | 208.18860c |
| Angolo orizzontale compensato | -208.89854c |
| Azimut compensato | 399.29006c |

Stazione

| | |
|-------------------------------------|-------------|
| Nome della stazione | CS015 |
| Angolo orizzontale | 216.85670c |
| Angolo di correzione | 0.00000c |
| Azimut | 216.85670c |
| Angolo orizzontale compensato | -208.89854c |
| Azimut compensato | 7.95816c |

Stazione

| | |
|----------------------------|------------|
| Nome della stazione | PSS223057 |
| Angolo orizzontale | 225.59665c |
| Angolo di correzione | 0.00000c |
| Azimut | 225.59665c |

| | |
|-------------------------------------|-------------|
| Angolo orizzontale compensato | -208.89854c |
| Azimut compensato | 16.69811c |
| Stazione | |
| Nome della stazione | PSS223058 |
| Angolo orizzontale | 231.20440c |
| Angolo di correzione | 0.00000c |
| Azimut | 231.20440c |
| Angolo orizzontale compensato | -208.89854c |
| Azimut compensato | 22.30586c |
| Stazione | |
| Nome della stazione | CS016 |
| Angolo orizzontale | 238.58410c |
| Angolo di correzione | 0.00000c |
| Azimut | 238.58410c |
| Angolo orizzontale compensato | -208.89854c |
| Azimut compensato | 29.68556c |
| Stazione | |
| Nome della stazione | PSS223059 |
| Angolo orizzontale | 236.22465c |
| Angolo di correzione | 399.99950c |
| Azimut | 236.22415c |
| Angolo orizzontale compensato | -208.89854c |
| Azimut compensato | 27.32561c |
| Stazione | |
| Nome della stazione | PSS223060 |
| Angolo orizzontale | 215.32930c |
| Angolo di correzione | 399.99955c |
| Azimut | 215.32885c |
| Angolo orizzontale compensato | -208.89854c |
| Azimut compensato | 6.43031c |
| Stazione | |
| Nome della stazione | CS017 |
| Angolo orizzontale | 199.07510c |
| Angolo di correzione | 399.99870c |
| Azimut | 199.07380c |
| Angolo orizzontale compensato | -208.89854c |
| Azimut compensato | 390.17526c |
| Stazione | |
| Nome della stazione | LSS223013 |
| Angolo orizzontale | 204.73590c |
| Angolo di correzione | 399.99910c |
| Azimut | 204.73500c |
| Angolo orizzontale compensato | -208.89854c |
| Azimut compensato | 395.83646c |
| Stazione | |
| Nome della stazione | PSS223061 |
| Angolo orizzontale | 199.71700c |
| Angolo di correzione | 399.99860c |
| Azimut | 199.71560c |
| Angolo orizzontale compensato | -208.89854c |
| Azimut compensato | 390.81706c |
| Stazione | |
| Nome della stazione | CS018 |
| Angolo orizzontale | 233.48645c |
| Angolo di correzione | 399.99835c |
| Azimut | 233.48480c |
| Angolo orizzontale compensato | -208.89854c |
| Azimut compensato | 24.58626c |
| Stazione | |
| Nome della stazione | CS019 |
| Angolo orizzontale | 250.82550c |
| Angolo di correzione | 399.99780c |
| Azimut | 250.82330c |
| Angolo orizzontale compensato | -208.89854c |
| Azimut compensato | 41.92476c |
| Stazione | |
| Nome della stazione | PSS223062 |
| Angolo orizzontale | 253.24585c |
| Angolo di correzione | 399.99885c |
| Azimut | 253.24470c |
| Angolo orizzontale compensato | -208.89854c |
| Azimut compensato | 44.34616c |
| Stazione | |
| Nome della stazione | CS020 |
| Angolo orizzontale | 276.34015c |

| | |
|-------------------------------------|-------------|
| Angolo di correzione | 399.99825c |
| Azimut | 276.33840c |
| Angolo orizzontale compensato | -208.89854c |
| Azimut compensato | 67.43986c |
| Stazione | |
| Nome della stazione | PSS223063 |
| Angolo orizzontale | 275.44265c |
| Angolo di correzione | 399.99690c |
| Azimut | 275.43955c |
| Angolo orizzontale compensato | -208.89854c |
| Azimut compensato | 66.54101c |
| Stazione | |
| Nome della stazione | PSS223064 |
| Angolo orizzontale | 293.15185c |
| Angolo di correzione | 399.99765c |
| Azimut | 293.14950c |
| Angolo orizzontale compensato | -208.89854c |
| Azimut compensato | 84.25096c |
| Stazione | |
| Nome della stazione | LSS223014 |
| Angolo orizzontale | 268.50915c |
| Angolo di correzione | 399.99770c |
| Azimut | 268.50685c |
| Angolo orizzontale compensato | -208.89854c |
| Azimut compensato | 59.60831c |
| Stazione | |
| Nome della stazione | PSS223065 |
| Angolo orizzontale | 295.36195c |
| Angolo di correzione | 399.99785c |
| Azimut | 295.35980c |
| Angolo orizzontale compensato | -208.89854c |
| Azimut compensato | 86.46126c |
| Stazione | |
| Nome della stazione | PSS223066 |
| Angolo orizzontale | 293.35785c |
| Angolo di correzione | 399.99855c |
| Azimut | 293.35640c |
| Angolo orizzontale compensato | -208.89854c |
| Azimut compensato | 84.45786c |
| Stazione | |
| Nome della stazione | PSS223067 |
| Angolo orizzontale | 291.51930c |
| Angolo di correzione | 0.00020c |
| Azimut | 291.51950c |
| Angolo orizzontale compensato | -208.89854c |
| Azimut compensato | 82.62096c |
| Stazione | |
| Nome della stazione | PSS223068 |
| Angolo orizzontale | 304.69150c |
| Angolo di correzione | 399.99970c |
| Azimut | 304.69120c |
| Angolo orizzontale compensato | -208.89854c |
| Azimut compensato | 95.79266c |
| Stazione | |
| Nome della stazione | LSS223015 |
| Angolo orizzontale | 314.02600c |
| Angolo di correzione | 399.99970c |
| Azimut | 314.02570c |
| Angolo orizzontale compensato | -208.89854c |
| Azimut compensato | 105.12716c |
| Stazione | |
| Nome della stazione | PA001 |
| Angolo orizzontale | 329.44250c |
| Angolo di correzione | 399.99970c |
| Azimut | 329.44220c |
| Angolo orizzontale compensato | -208.89854c |
| Azimut compensato | 120.54366c |
| Stazione | |
| Nome della stazione | PSS223069 |
| Angolo orizzontale | 335.14000c |
| Angolo di correzione | 399.99970c |
| Azimut | 335.13970c |
| Angolo orizzontale compensato | -208.89854c |
| Azimut compensato | 126.24116c |
| Stazione | |

| | |
|-------------------------------------|-------------|
| Nome della stazione | PA004 |
| Angolo orizzontale | 323.39650c |
| Angolo di correzione | 0.00170c |
| Azimut | 323.39820c |
| Angolo orizzontale compensato | -208.89854c |
| Azimut compensato | 114.49966c |
| Stazione | |
| Nome della stazione | PSS223070 |
| Angolo orizzontale | 316.86425c |
| Angolo di correzione | 0.00120c |
| Azimut | 316.86545c |
| Angolo orizzontale compensato | -208.89854c |
| Azimut compensato | 107.96691c |
| Stazione | |
| Nome della stazione | PSS223071 |
| Angolo orizzontale | 308.24725c |
| Angolo di correzione | 0.00420c |
| Azimut | 308.25145c |
| Angolo orizzontale compensato | -208.89854c |
| Azimut compensato | 99.35291c |
| Stazione | |
| Nome della stazione | PA005 |
| Angolo orizzontale | 306.86350c |
| Angolo di correzione | 0.00445c |
| Azimut | 306.86795c |
| Angolo orizzontale compensato | -208.89854c |
| Azimut compensato | 97.96941c |
| Stazione | |
| Nome della stazione | PA006 |
| Angolo orizzontale | 313.24400c |
| Angolo di correzione | 0.00595c |
| Azimut | 313.24995c |
| Angolo orizzontale compensato | -208.89854c |
| Azimut compensato | 104.35141c |
| Stazione | |
| Nome della stazione | LSS223016 |
| Angolo orizzontale | 305.97450c |
| Angolo di correzione | 0.00595c |
| Azimut | 305.98045c |
| Angolo orizzontale compensato | -208.89854c |
| Azimut compensato | 97.08191c |
| Stazione | |
| Nome della stazione | PSS223072 |
| Angolo orizzontale | 282.95425c |
| Angolo di correzione | 0.00670c |
| Azimut | 282.96095c |
| Angolo orizzontale compensato | -208.89854c |
| Azimut compensato | 74.06241c |
| Stazione | |
| Nome della stazione | PSS223073 |
| Angolo orizzontale | 262.58650c |
| Angolo di correzione | 0.00770c |
| Azimut | 262.59420c |
| Angolo orizzontale compensato | -208.89854c |
| Azimut compensato | 53.69566c |
| Stazione | |
| Nome della stazione | PSS223074 |
| Angolo orizzontale | 262.54325c |
| Angolo di correzione | 0.00795c |
| Azimut | 262.55120c |
| Angolo orizzontale compensato | -208.89854c |
| Azimut compensato | 53.65266c |
| Stazione | |
| Nome della stazione | PSS223075 |
| Angolo orizzontale | 285.24600c |
| Angolo di correzione | 0.00845c |
| Azimut | 285.25445c |
| Angolo orizzontale compensato | -208.89854c |
| Azimut compensato | 76.35591c |
| Stazione | |
| Nome della stazione | PA007 |
| Angolo orizzontale | 306.61425c |
| Angolo di correzione | 0.00895c |
| Azimut | 306.62320c |
| Angolo orizzontale compensato | -208.89854c |

| | |
|-------------------------------------|-------------|
| Azimut compensato | 97.72466c |
| Stazione | |
| Nome della stazione | PSS223076 |
| Angolo orizzontale | 301.28925c |
| Angolo di correzione | 0.00920c |
| Azimut | 301.29845c |
| Angolo orizzontale compensato | -208.89854c |
| Azimut compensato | 92.39991c |
| Stazione | |
| Nome della stazione | LSS223017 |
| Angolo orizzontale | 313.24625c |
| Angolo di correzione | 0.00920c |
| Azimut | 313.25545c |
| Angolo orizzontale compensato | -208.89854c |
| Azimut compensato | 104.35691c |
| Stazione | |
| Nome della stazione | PSS223077 |
| Angolo orizzontale | 320.94400c |
| Angolo di correzione | 0.00920c |
| Azimut | 320.95320c |
| Angolo orizzontale compensato | -208.89854c |
| Azimut compensato | 112.05466c |
| Stazione | |
| Nome della stazione | PA008 |
| Angolo orizzontale | 330.94975c |
| Angolo di correzione | 0.00795c |
| Azimut | 330.95770c |
| Angolo orizzontale compensato | -208.89854c |
| Azimut compensato | 122.05916c |
| Stazione | |
| Nome della stazione | PA009 |
| Angolo orizzontale | 341.17875c |
| Angolo di correzione | 0.00695c |
| Azimut | 341.18570c |
| Angolo orizzontale compensato | -208.89854c |
| Azimut compensato | 132.28716c |
| Stazione | |
| Nome della stazione | PSS223078 |
| Angolo orizzontale | 349.80800c |
| Angolo di correzione | 0.00595c |
| Azimut | 349.81395c |
| Angolo orizzontale compensato | -208.89854c |
| Azimut compensato | 140.91541c |
| Stazione | |
| Nome della stazione | PA010 |
| Angolo orizzontale | 354.54600c |
| Angolo di correzione | 0.00520c |
| Azimut | 354.55120c |
| Angolo orizzontale compensato | -208.89854c |
| Azimut compensato | 145.65266c |
| Stazione | |
| Nome della stazione | PSS223079 |
| Angolo orizzontale | 354.39450c |
| Angolo di correzione | 0.00545c |
| Azimut | 354.39995c |
| Angolo orizzontale compensato | -208.89854c |
| Azimut compensato | 145.50141c |
| Stazione | |
| Nome della stazione | PSS223080 |
| Angolo orizzontale | 356.00575c |
| Angolo di correzione | 0.00545c |
| Azimut | 356.01120c |
| Angolo orizzontale compensato | -208.89854c |
| Azimut compensato | 147.11266c |
| Stazione | |
| Nome della stazione | PA011 |
| Angolo orizzontale | 383.22575c |
| Angolo di correzione | 0.00545c |
| Azimut | 383.23120c |
| Angolo orizzontale compensato | -208.89854c |
| Azimut compensato | 174.33266c |
| Stazione | |
| Nome della stazione | 29709011 |
| Angolo di correzione | 0.00570c |
| Angolo di rotazione | -208.89854c |

| | |
|-------------------------------------|--------------|
| Angolo orizzontale compensato | -208.89854c |
| Compensazione lineare | |
| Stazione | |
| Nome della stazione | 29709031 |
| Angolo di correzione | -208.89854c |
| E | 689261.2430 |
| N | 4794891.5520 |
| Azimut | 391.00606c |
| Distanza orizzontale | 101.0402 |
| Distanza orizzontale E | -14.2272 |
| Distanza orizzontale N | 100.0336 |
| Errore sulla E | 0.0013 |
| Errore sulla N | 0.0005 |
| Stazione | |
| Nome della stazione | CS014 |
| Angolo di correzione | 191.10146c |
| E | 689247.0172 |
| N | 4794991.5861 |
| Azimut | 399.29006c |
| Distanza orizzontale | 79.1499 |
| Distanza orizzontale E | -0.8826 |
| Distanza orizzontale N | 79.1450 |
| Errore sulla E | 0.0011 |
| Errore sulla N | 0.0004 |
| Stazione | |
| Nome della stazione | CS015 |
| Angolo di correzione | 191.10146c |
| E | 689246.1356 |
| N | 4795070.7315 |
| Azimut | 7.95816c |
| Distanza orizzontale | 69.8698 |
| Distanza orizzontale E | 8.7114 |
| Distanza orizzontale N | 69.3246 |
| Errore sulla E | 0.0009 |
| Errore sulla N | 0.0004 |
| Stazione | |
| Nome della stazione | PSS223057 |
| Angolo di correzione | 191.10146c |
| E | 689254.8480 |
| N | 4795140.0565 |
| Azimut | 16.69811c |
| Distanza orizzontale | 143.4583 |
| Distanza orizzontale E | 37.1982 |
| Distanza orizzontale N | 138.5517 |
| Errore sulla E | 0.0019 |
| Errore sulla N | 0.0008 |
| Stazione | |
| Nome della stazione | PSS223058 |
| Angolo di correzione | 191.10146c |
| E | 689292.0480 |
| N | 4795278.6090 |
| Azimut | 22.30586c |
| Distanza orizzontale | 65.3340 |
| Distanza orizzontale E | 22.4262 |
| Distanza orizzontale N | 61.3644 |
| Errore sulla E | 0.0009 |
| Errore sulla N | 0.0003 |
| Stazione | |
| Nome della stazione | CS016 |
| Angolo di correzione | 191.10146c |
| E | 689314.4751 |
| N | 4795339.9738 |
| Azimut | 29.68556c |
| Distanza orizzontale | 199.6280 |
| Distanza orizzontale E | 89.7496 |
| Distanza orizzontale N | 178.3153 |
| Errore sulla E | 0.0027 |
| Errore sulla N | 0.0011 |
| Stazione | |
| Nome della stazione | PSS223059 |
| Angolo di correzione | 191.10096c |
| E | 689404.2273 |
| N | 4795518.2901 |
| Azimut | 27.32561c |

| | |
|------------------------------|--------------|
| Distanza orizzontale | 251.1218 |
| Distanza orizzontale E | 104.5095 |
| Distanza orizzontale N | 228.3417 |
| Errore sulla E | 0.0033 |
| Errore sulla N | 0.0013 |
| Stazione | |
| Nome della stazione | PSS223060 |
| Angolo di correzione | 191.10101c |
| E | 689508.7401 |
| N | 4795746.6331 |
| Azimut | 6.43031c |
| Distanza orizzontale | 99.8197 |
| Distanza orizzontale E | 10.0654 |
| Distanza orizzontale N | 99.3109 |
| Errore sulla E | 0.0013 |
| Errore sulla N | 0.0005 |
| Stazione | |
| Nome della stazione | CS017 |
| Angolo di correzione | 191.10016c |
| E | 689518.8068 |
| N | 4795845.9446 |
| Azimut | 390.17526c |
| Distanza orizzontale | 83.7198 |
| Distanza orizzontale E | -12.8690 |
| Distanza orizzontale N | 82.7248 |
| Errore sulla E | 0.0011 |
| Errore sulla N | 0.0004 |
| Stazione | |
| Nome della stazione | LSS223013 |
| Angolo di correzione | 191.10056c |
| E | 689505.9389 |
| N | 4795928.6698 |
| Azimut | 395.83646c |
| Distanza orizzontale | 167.4107 |
| Distanza orizzontale E | -10.9410 |
| Distanza orizzontale N | 167.0528 |
| Errore sulla E | 0.0022 |
| Errore sulla N | 0.0009 |
| Stazione | |
| Nome della stazione | PSS223061 |
| Angolo di correzione | 191.10006c |
| E | 689495.0002 |
| N | 4796095.7235 |
| Azimut | 390.81706c |
| Distanza orizzontale | 70.6874 |
| Distanza orizzontale E | -10.1610 |
| Distanza orizzontale N | 69.9533 |
| Errore sulla E | 0.0009 |
| Errore sulla N | 0.0004 |
| Stazione | |
| Nome della stazione | CS018 |
| Angolo di correzione | 191.09981c |
| E | 689484.8401 |
| N | 4796165.6772 |
| Azimut | 24.58626c |
| Distanza orizzontale | 187.7044 |
| Distanza orizzontale E | 70.7028 |
| Distanza orizzontale N | 173.8794 |
| Errore sulla E | 0.0025 |
| Errore sulla N | 0.0010 |
| Stazione | |
| Nome della stazione | CS019 |
| Angolo di correzione | 191.09926c |
| E | 689555.5454 |
| N | 4796339.5576 |
| Azimut | 41.92476c |
| Distanza orizzontale | 68.3198 |
| Distanza orizzontale E | 41.8099 |
| Distanza orizzontale N | 54.0327 |
| Errore sulla E | 0.0009 |
| Errore sulla N | 0.0004 |
| Stazione | |
| Nome della stazione | PSS223062 |
| Angolo di correzione | 191.10031c |
| E | 689597.3562 |

| | |
|------------------------------|--------------|
| N | 4796393.5907 |
| Azimut | 44.34616c |
| Distanza orizzontale | 82.2093 |
| Distanza orizzontale E | 52.7458 |
| Distanza orizzontale N | 63.0575 |
| Errore sulla E | 0.0011 |
| Errore sulla N | 0.0004 |
| Stazione | |
| Nome della stazione | CS020 |
| Angolo di correzione | 191.09971c |
| E | 689650.1032 |
| N | 4796456.6486 |
| Azimut | 67.43986c |
| Distanza orizzontale | 149.3639 |
| Distanza orizzontale E | 130.2504 |
| Distanza orizzontale N | 73.1055 |
| Errore sulla E | 0.0020 |
| Errore sulla N | 0.0008 |
| Stazione | |
| Nome della stazione | PSS223063 |
| Angolo di correzione | 191.09836c |
| E | 689780.3555 |
| N | 4796529.7549 |
| Azimut | 66.54101c |
| Distanza orizzontale | 188.5578 |
| Distanza orizzontale E | 163.1094 |
| Distanza orizzontale N | 94.6010 |
| Errore sulla E | 0.0025 |
| Errore sulla N | 0.0010 |
| Stazione | |
| Nome della stazione | PSS223064 |
| Angolo di correzione | 191.09911c |
| E | 689943.4675 |
| N | 4796624.3569 |
| Azimut | 84.25096c |
| Distanza orizzontale | 117.4439 |
| Distanza orizzontale E | 113.8684 |
| Distanza orizzontale N | 28.7585 |
| Errore sulla E | 0.0016 |
| Errore sulla N | 0.0006 |
| Stazione | |
| Nome della stazione | LSS223014 |
| Angolo di correzione | 191.09916c |
| E | 690057.3374 |
| N | 4796653.1160 |
| Azimut | 59.60831c |
| Distanza orizzontale | 51.0546 |
| Distanza orizzontale E | 41.1187 |
| Distanza orizzontale N | 30.2627 |
| Errore sulla E | 0.0007 |
| Errore sulla N | 0.0003 |
| Stazione | |
| Nome della stazione | PSS223065 |
| Angolo di correzione | 191.09931c |
| E | 690098.4568 |
| N | 4796683.3790 |
| Azimut | 86.46126c |
| Distanza orizzontale | 343.1419 |
| Distanza orizzontale E | 335.4115 |
| Distanza orizzontale N | 72.4258 |
| Errore sulla E | 0.0046 |
| Errore sulla N | 0.0018 |
| Stazione | |
| Nome della stazione | PSS223066 |
| Angolo di correzione | 191.10001c |
| E | 690433.8728 |
| N | 4796755.8066 |
| Azimut | 84.45786c |
| Distanza orizzontale | 208.3911 |
| Distanza orizzontale E | 202.2116 |
| Distanza orizzontale N | 50.3718 |
| Errore sulla E | 0.0028 |
| Errore sulla N | 0.0011 |
| Stazione | |
| Nome della stazione | PSS223067 |

| | |
|------------------------------|--------------|
| Angolo di correzione | 191.10166c |
| E | 690636.0872 |
| N | 4796806.1795 |
| Azimut | 82.62096c |
| Distanza orizzontale | 320.3739 |
| Distanza orizzontale E | 308.5102 |
| Distanza orizzontale N | 86.3764 |
| Errore sulla E | 0.0043 |
| Errore sulla N | 0.0017 |
| Stazione | |
| Nome della stazione | PSS223068 |
| Angolo di correzione | 191.10116c |
| E | 690944.6017 |
| N | 4796892.5576 |
| Azimut | 95.79266c |
| Distanza orizzontale | 118.6938 |
| Distanza orizzontale E | 118.4347 |
| Distanza orizzontale N | 7.8386 |
| Errore sulla E | 0.0016 |
| Errore sulla N | 0.0006 |
| Stazione | |
| Nome della stazione | LSS223015 |
| Angolo di correzione | 191.10116c |
| E | 691063.0379 |
| N | 4796900.3969 |
| Azimut | 105.12716c |
| Distanza orizzontale | 212.3510 |
| Distanza orizzontale E | 211.6627 |
| Distanza orizzontale N | -17.0837 |
| Errore sulla E | 0.0028 |
| Errore sulla N | 0.0011 |
| Stazione | |
| Nome della stazione | PA001 |
| Angolo di correzione | 191.10116c |
| E | 691274.7035 |
| N | 4796883.3143 |
| Azimut | 120.54366c |
| Distanza orizzontale | 239.8913 |
| Distanza orizzontale E | 227.5088 |
| Distanza orizzontale N | -76.0761 |
| Errore sulla E | 0.0032 |
| Errore sulla N | 0.0013 |
| Stazione | |
| Nome della stazione | PSS223069 |
| Angolo di correzione | 191.10116c |
| E | 691502.2154 |
| N | 4796807.2395 |
| Azimut | 126.24116c |
| Distanza orizzontale | 127.0870 |
| Distanza orizzontale E | 116.4427 |
| Distanza orizzontale N | -50.9138 |
| Errore sulla E | 0.0017 |
| Errore sulla N | 0.0007 |
| Stazione | |
| Nome della stazione | PA004 |
| Angolo di correzione | 191.10316c |
| E | 691618.6598 |
| N | 4796756.3263 |
| Azimut | 114.49966c |
| Distanza orizzontale | 165.8227 |
| Distanza orizzontale E | 161.5402 |
| Distanza orizzontale N | -37.4421 |
| Errore sulla E | 0.0022 |
| Errore sulla N | 0.0009 |
| Stazione | |
| Nome della stazione | PSS223070 |
| Angolo di correzione | 191.10266c |
| E | 691780.2023 |
| N | 4796718.8851 |
| Azimut | 107.96691c |
| Distanza orizzontale | 47.3778 |
| Distanza orizzontale E | 47.0072 |
| Distanza orizzontale N | -5.9136 |
| Errore sulla E | 0.0006 |
| Errore sulla N | 0.0003 |

Stazione

| | |
|------------------------------|--------------|
| Nome della stazione | PSS223071 |
| Angolo di correzione | 191.10566c |
| E | 691827.2102 |
| N | 4796712.9718 |
| Azimut | 99.35291c |
| Distanza orizzontale | 220.0572 |
| Distanza orizzontale E | 220.0458 |
| Distanza orizzontale N | 2.2367 |
| Errore sulla E | 0.0029 |
| Errore sulla N | 0.0012 |

Stazione

| | |
|------------------------------|--------------|
| Nome della stazione | PA005 |
| Angolo di correzione | 191.10591c |
| E | 692047.2589 |
| N | 4796715.2097 |
| Azimut | 97.96941c |
| Distanza orizzontale | 102.9558 |
| Distanza orizzontale E | 102.9035 |
| Distanza orizzontale N | 3.2834 |
| Errore sulla E | 0.0014 |
| Errore sulla N | 0.0005 |

Stazione

| | |
|------------------------------|--------------|
| Nome della stazione | PA006 |
| Angolo di correzione | 191.10741c |
| E | 692150.1638 |
| N | 4796718.4936 |
| Azimut | 104.35141c |
| Distanza orizzontale | 39.6069 |
| Distanza orizzontale E | 39.5144 |
| Distanza orizzontale N | -2.7051 |
| Errore sulla E | 0.0005 |
| Errore sulla N | 0.0002 |

Stazione

| | |
|------------------------------|--------------|
| Nome della stazione | LSS223016 |
| Angolo di correzione | 191.10741c |
| E | 692189.6787 |
| N | 4796715.7887 |
| Azimut | 97.08191c |
| Distanza orizzontale | 244.2619 |
| Distanza orizzontale E | 244.0053 |
| Distanza orizzontale N | 11.1924 |
| Errore sulla E | 0.0033 |
| Errore sulla N | 0.0013 |

Stazione

| | |
|------------------------------|--------------|
| Nome della stazione | PSS223072 |
| Angolo di correzione | 191.10816c |
| E | 692433.6873 |
| N | 4796726.9824 |
| Azimut | 74.06241c |
| Distanza orizzontale | 178.5860 |
| Distanza orizzontale E | 163.9675 |
| Distanza orizzontale N | 70.7643 |
| Errore sulla E | 0.0024 |
| Errore sulla N | 0.0009 |

Stazione

| | |
|------------------------------|--------------|
| Nome della stazione | PSS223073 |
| Angolo di correzione | 191.10916c |
| E | 692597.6572 |
| N | 4796797.7477 |
| Azimut | 53.69566c |
| Distanza orizzontale | 134.5914 |
| Distanza orizzontale E | 100.5318 |
| Distanza orizzontale N | 89.4885 |
| Errore sulla E | 0.0018 |
| Errore sulla N | 0.0007 |

Stazione

| | |
|------------------------------|--------------|
| Nome della stazione | PSS223074 |
| Angolo di correzione | 191.10941c |
| E | 692698.1908 |
| N | 4796887.2369 |
| Azimut | 53.65266c |
| Distanza orizzontale | 178.9777 |
| Distanza orizzontale E | 133.6054 |
| Distanza orizzontale N | 119.0908 |

| | |
|------------------------------|--------------|
| Errore sulla E | 0.0024 |
| Errore sulla N | 0.0009 |
| Stazione | |
| Nome della stazione | PSS223075 |
| Angolo di correzione | 191.10991c |
| E | 692831.7986 |
| N | 4797006.3287 |
| Azimut | 76.35591c |
| Distanza orizzontale | 72.6690 |
| Distanza orizzontale E | 67.7144 |
| Distanza orizzontale N | 26.3731 |
| Errore sulla E | 0.0010 |
| Errore sulla N | 0.0004 |
| Stazione | |
| Nome della stazione | PA007 |
| Angolo di correzione | 191.11041c |
| E | 692899.5140 |
| N | 4797032.7021 |
| Azimut | 97.72466c |
| Distanza orizzontale | 109.5762 |
| Distanza orizzontale E | 109.5062 |
| Distanza orizzontale N | 3.9155 |
| Errore sulla E | 0.0015 |
| Errore sulla N | 0.0006 |
| Stazione | |
| Nome della stazione | PSS223076 |
| Angolo di correzione | 191.11066c |
| E | 693009.0217 |
| N | 4797036.6183 |
| Azimut | 92.39991c |
| Distanza orizzontale | 121.2337 |
| Distanza orizzontale E | 120.3708 |
| Distanza orizzontale N | 14.4388 |
| Errore sulla E | 0.0016 |
| Errore sulla N | 0.0006 |
| Stazione | |
| Nome della stazione | LSS223017 |
| Angolo di correzione | 191.11066c |
| E | 693129.3941 |
| N | 4797051.0577 |
| Azimut | 104.35691c |
| Distanza orizzontale | 81.5664 |
| Distanza orizzontale E | 81.3754 |
| Distanza orizzontale N | -5.5779 |
| Errore sulla E | 0.0011 |
| Errore sulla N | 0.0004 |
| Stazione | |
| Nome della stazione | PSS223077 |
| Angolo di correzione | 191.11066c |
| E | 693210.7706 |
| N | 4797045.4802 |
| Azimut | 112.05466c |
| Distanza orizzontale | 48.2022 |
| Distanza orizzontale E | 47.3406 |
| Distanza orizzontale N | -9.0728 |
| Errore sulla E | 0.0006 |
| Errore sulla N | 0.0003 |
| Stazione | |
| Nome della stazione | PA008 |
| Angolo di correzione | 191.10941c |
| E | 693258.1119 |
| N | 4797036.4076 |
| Azimut | 122.05916c |
| Distanza orizzontale | 35.6349 |
| Distanza orizzontale E | 33.5170 |
| Distanza orizzontale N | -12.1020 |
| Errore sulla E | 0.0005 |
| Errore sulla N | 0.0002 |
| Stazione | |
| Nome della stazione | PA009 |
| Angolo di correzione | 191.10841c |
| E | 693291.6293 |
| N | 4797024.3058 |
| Azimut | 132.28716c |
| Distanza orizzontale | 48.7892 |

| | |
|----------------------------------|--------------|
| Distanza orizzontale E | 42.6479 |
| Distanza orizzontale N | -23.6970 |
| Errore sulla E | 0.0006 |
| Errore sulla N | 0.0003 |
| Stazione | |
| Nome della stazione | PSS223078 |
| Angolo di correzione | 191.10741c |
| E | 693334.2778 |
| N | 4797000.6090 |
| Azimut | 140.91541c |
| Distanza orizzontale | 32.6354 |
| Distanza orizzontale E | 26.1240 |
| Distanza orizzontale N | -19.5602 |
| Errore sulla E | 0.0004 |
| Errore sulla N | 0.0002 |
| Stazione | |
| Nome della stazione | PA010 |
| Angolo di correzione | 191.10666c |
| E | 693360.4023 |
| N | 4796981.0489 |
| Azimut | 145.65266c |
| Distanza orizzontale | 155.9535 |
| Distanza orizzontale E | 117.5434 |
| Distanza orizzontale N | -102.4941 |
| Errore sulla E | 0.0021 |
| Errore sulla N | 0.0008 |
| Stazione | |
| Nome della stazione | PSS223079 |
| Angolo di correzione | 191.10691c |
| E | 693477.9478 |
| N | 4796878.5557 |
| Azimut | 145.50141c |
| Distanza orizzontale | 200.2843 |
| Distanza orizzontale E | 151.2682 |
| Distanza orizzontale N | -131.2697 |
| Errore sulla E | 0.0027 |
| Errore sulla N | 0.0011 |
| Stazione | |
| Nome della stazione | PSS223080 |
| Angolo di correzione | 191.10691c |
| E | 693629.2186 |
| N | 4796747.2871 |
| Azimut | 147.11266c |
| Distanza orizzontale | 89.1493 |
| Distanza orizzontale E | 65.8313 |
| Distanza orizzontale N | -60.1152 |
| Errore sulla E | 0.0012 |
| Errore sulla N | 0.0005 |
| Stazione | |
| Nome della stazione | PA011 |
| Angolo di correzione | 191.10691c |
| E | 693695.0511 |
| N | 4796687.1723 |
| Azimut | 174.33266c |
| Distanza orizzontale | 28.5551 |
| Distanza orizzontale E | 11.2035 |
| Distanza orizzontale N | -26.2655 |
| Errore sulla E | 0.0004 |
| Errore sulla N | 0.0002 |
| Stazione | |
| Nome della stazione | 29709011 |
| E | 693706.2550 |
| N | 4796660.9070 |
| Statistiche compensazione | |
| Nome della poligonale | Siena_0 |
| Lunghezza della poligonale | 6082.3098 |
| Rotazione della poligonale | -208.89854c |
| Errore angolare | 0.00000c |
| Errore lineare | 0.0872 |
| Errore lineare E | 0.0810 |
| Errore lineare N | 0.0322 |

Impostazione quota alle stazioni

Stazione

| | |
|---------------------------|-----------|
| Nome della stazione | 29709031 |
| Quota | 204.544 |
| Stazione | |
| Nome della stazione | CS014 |
| Quota | 187.725 |
| Stazione | |
| Nome della stazione | CS015 |
| Quota | 175.437 |
| Stazione | |
| Nome della stazione | PSS223057 |
| Quota | 165.567 |
| Stazione | |
| Nome della stazione | PSS223058 |
| Quota | 147.501 |
| Stazione | |
| Nome della stazione | CS016 |
| Quota | 139.681 |
| Stazione | |
| Nome della stazione | PSS223059 |
| Quota | 119.004 |
| Stazione | |
| Nome della stazione | PSS223060 |
| Quota | 92.559 |
| Stazione | |
| Nome della stazione | CS017 |
| Quota | 78.658 |
| Stazione | |
| Nome della stazione | LSS223013 |
| Quota | 66.222 |
| Stazione | |
| Nome della stazione | PSS223061 |
| Quota | 45.100 |
| Stazione | |
| Nome della stazione | CS018 |
| Quota | 36.727 |
| Stazione | |
| Nome della stazione | CS019 |
| Quota | 19.014 |
| Stazione | |
| Nome della stazione | PSS223062 |
| Quota | 14.540 |
| Stazione | |
| Nome della stazione | CS020 |
| Quota | 8.714 |
| Stazione | |
| Nome della stazione | PSS223063 |
| Quota | 5.449 |
| Stazione | |
| Nome della stazione | PSS223064 |
| Quota | -1.328 |
| Stazione | |
| Nome della stazione | LSS223014 |
| Quota | -1.667 |
| Stazione | |
| Nome della stazione | PSS223065 |
| Quota | -4.861 |
| Stazione | |
| Nome della stazione | PSS223066 |
| Quota | -5.133 |
| Stazione | |
| Nome della stazione | PSS223067 |
| Quota | -4.142 |
| Stazione | |
| Nome della stazione | PSS223068 |
| Quota | 0.002 |
| Stazione | |
| Nome della stazione | LSS223015 |
| Quota | 6.569 |
| Stazione | |
| Nome della stazione | PA001 |
| Quota | 24.454 |
| Stazione | |
| Nome della stazione | PSS223069 |
| Quota | 55.027 |
| Stazione | |

| | |
|---|--------------|
| Nome della stazione | PA004 |
| Quota | 73.228 |
| Stazione | |
| Nome della stazione | PSS223070 |
| Quota | 92.594 |
| Stazione | |
| Nome della stazione | PSS223071 |
| Quota | 96.973 |
| Stazione | |
| Nome della stazione | PA005 |
| Quota | 111.623 |
| Stazione | |
| Nome della stazione | PA006 |
| Quota | 117.259 |
| Stazione | |
| Nome della stazione | LSS223016 |
| Quota | 120.199 |
| Stazione | |
| Nome della stazione | PSS223072 |
| Quota | 129.905 |
| Stazione | |
| Nome della stazione | PSS223073 |
| Quota | 123.945 |
| Stazione | |
| Nome della stazione | PSS223074 |
| Quota | 112.461 |
| Stazione | |
| Nome della stazione | PSS223075 |
| Quota | 93.339 |
| Stazione | |
| Nome della stazione | PA007 |
| Quota | 90.267 |
| Stazione | |
| Nome della stazione | PSS223076 |
| Quota | 96.791 |
| Stazione | |
| Nome della stazione | LSS223017 |
| Quota | 101.605 |
| Stazione | |
| Nome della stazione | PSS223077 |
| Quota | 106.168 |
| Stazione | |
| Nome della stazione | PA008 |
| Quota | 109.587 |
| Stazione | |
| Nome della stazione | PA009 |
| Quota | 112.825 |
| Stazione | |
| Nome della stazione | PSS223078 |
| Quota | 118.125 |
| Stazione | |
| Nome della stazione | PA010 |
| Quota | 122.174 |
| Stazione | |
| Nome della stazione | PSS223079 |
| Quota | 142.382 |
| Stazione | |
| Nome della stazione | PSS223080 |
| Quota | 174.214 |
| Stazione | |
| Nome della stazione | PA011 |
| Quota | 190.839 |
| Stazione | |
| Nome della stazione | 29709011 |
| Quota | 196.027 |
| Punti di dettaglio | |
| Punto di dettaglio | |
| Nome del punto | GSS223003 |
| E | 689279.4556 |
| N | 4794762.1058 |
| Quota | 206.140 |
| Dati utilizzati per la posizione | |
| Misura tacheometrica | |
| Nome della stazione | 29709031 |

| | |
|--------------------------------|--------------|
| Nome del punto osservato | GSS223003 |
| Distanza orizzontale | 130.7211 |
| Azimut | 191.10141c |
| Angolo orizzontale | 399.99995c |
| Angolo di correzione | -208.89854c |
| E | 689279.4556 |
| N | 4794762.1058 |
| E precedente | 689261.2430 |
| N precedente | 4794891.5520 |
| dE | 18.2126 |
| dN | -129.4462 |

Misure

| | |
|---|------------|
| Nome della stazione | 29709031 |
| Nome del punto osservato | GSS223003 |
| Angolo orizzontale | 399.99995c |
| Deviazione sull'angolo orizzontale | 0.00000c |
| Errore sull'angolo orizzontale | 0.00000c |
| Distanza orizzontale | 130.7211 |
| Deviazione sulla distanza orizzontale | 0.0000 |
| Errore sulla distanza orizzontale | 0.0000 |

Misura

| | |
|---|------------|
| Strato | 1 |
| Angolo orizzontale | 399.99995c |
| Distanza orizzontale | 130.7211 |
| Angolo orizzontale 1 | 0.00000c |
| Distanza orizzontale 1 | 130.7212 |
| Angolo orizzontale 2 | 399.99990c |
| Distanza orizzontale 2 | 130.7211 |
| Deviazione sull'angolo orizzontale | -0.00005c |
| Deviazione sulla distanza orizzontale | 0.0000 |

Dati utilizzati per la quota

Misura per quota

| | |
|--------------------------------|-----------|
| Nome della stazione | 29709031 |
| Nome del punto osservato | GSS223003 |
| Dislivello | 1.595 |
| Quota | 206.140 |
| Quota precedente | 204.544 |

Misure

| | |
|---------------------------------|-----------|
| Nome della stazione | 29709031 |
| Nome del punto osservato | GSS223003 |
| Dislivello | 1.595 |
| Deviazione sul dislivello | 0.000 |
| Errore sul dislivello | 0.000 |

Misura

| | |
|--|-----------|
| Strato | 1 |
| Altezza prisma | 1.498 |
| Angolo verticale | 99.21770c |
| Angolo verticale 1 | 99.21880c |
| Angolo verticale 2 | 99.21660c |
| Deviazione sull'angolo verticale | -0.00110c |
| Dislivello | 1.595 |
| Dislivello 1 | 1.593 |
| Dislivello 2 | 1.598 |
| Deviazione sul dislivello | 0.005 |

Punto di dettaglio

| | |
|----------------------|--------------|
| Nome del punto | GSS223004 |
| E | 693731.1353 |
| N | 4796623.9608 |
| Quota | 197.469 |

Dati utilizzati per la posizione

Misura tacheometrica

| | |
|--------------------------------|--------------|
| Nome della stazione | 29709011 |
| Nome del punto osservato | GSS223004 |
| Distanza orizzontale | 44.5427 |
| Azimut | 162.26991c |
| Angolo orizzontale | 371.16275c |
| Angolo di correzione | 191.10716c |
| E | 693731.1353 |
| N | 4796623.9608 |
| E precedente | 693706.2550 |
| N precedente | 4796660.9070 |
| dE | 24.8803 |
| dN | -36.9462 |

Misure

| | |
|---|------------|
| Nome della stazione | 29709011 |
| Nome del punto osservato | GSS223004 |
| Angolo orizzontale | 371.16275c |
| Deviazione sull'angolo orizzontale | 0.00000c |
| Errore sull'angolo orizzontale | 0.00000c |
| Distanza orizzontale | 44.5427 |
| Deviazione sulla distanza orizzontale | 0.0000 |
| Errore sulla distanza orizzontale | 0.0000 |

Misura

| | |
|---|------------|
| Strato | 1 |
| Angolo orizzontale | 371.16275c |
| Distanza orizzontale | 44.5427 |
| Angolo orizzontale 1 | 371.16200c |
| Distanza orizzontale 1 | 44.5423 |
| Angolo orizzontale 2 | 371.16350c |
| Distanza orizzontale 2 | 44.5430 |
| Deviazione sull'angolo orizzontale | 0.00075c |
| Deviazione sulla distanza orizzontale | 0.0003 |

Dati utilizzati per la quota

Misura per quota

| | |
|--------------------------------|-----------|
| Nome della stazione | 29709011 |
| Nome del punto osservato | GSS223004 |
| Dislivello | 1.442 |
| Quota | 197.469 |
| Quota precedente | 196.027 |

Misure

| | |
|---------------------------------|-----------|
| Nome della stazione | 29709011 |
| Nome del punto osservato | GSS223004 |
| Dislivello | 1.442 |
| Deviazione sul dislivello | 0.000 |
| Errore sul dislivello | 0.000 |

Misura

| | |
|--|-----------|
| Strato | 1 |
| Altezza prisma | 1.480 |
| Angolo verticale | 97.93975c |
| Angolo verticale 1 | 97.92500c |
| Angolo verticale 2 | 97.95450c |
| Deviazione sull'angolo verticale | 0.01475c |
| Dislivello | 1.442 |
| Dislivello 1 | 1.452 |
| Dislivello 2 | 1.432 |
| Deviazione sul dislivello | -0.021 |

Rototraslazione

| | |
|---------------------------------|------------|
| Tipo rototraslazione | Helmert 3D |
| Numero di punti | 2 |
| Deviazione standard | 0.0000 |
| Deviazione standard quote | 0.0000 |

Punti usati per la rototraslazione

Punto

| | |
|------------------------|-------------|
| Nome del punto | 29709031 |
| E | 689261.243 |
| N | 4794891.552 |
| Quota | 204.545 |
| E precedente | 689261.243 |
| N precedente | 4794891.552 |
| Quota precedente | 204.545 |
| Errore sulla E | 0.000 |
| Errore sulla N | 0.000 |
| Errore in quota | 0.000 |

Punto

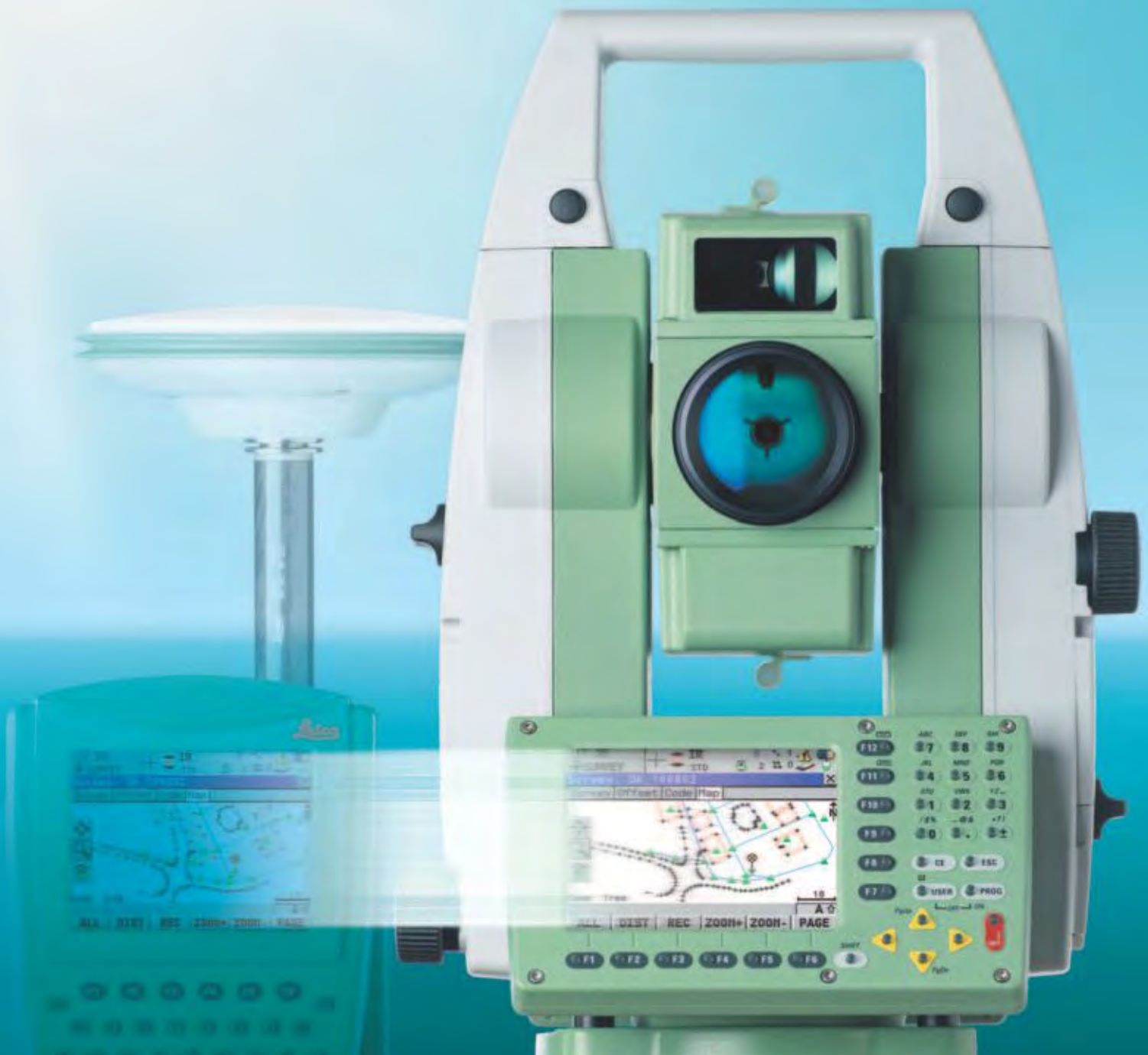
| | |
|------------------------|-------------|
| Nome del punto | 29709011 |
| E | 693706.255 |
| N | 4796660.907 |
| Quota | 196.027 |
| E precedente | 693706.255 |
| N precedente | 4796660.907 |
| Quota precedente | 196.027 |
| Errore sulla E | 0.000 |
| Errore sulla N | 0.000 |
| Errore in quota | 0.000 |

Allegato E:

**SCHEMA TECNICA DELLA
STRUMENTAZIONE UTILIZZATA**

Leica TPS1200+ Series

Stazione Totale di elevate prestazioni



- when it has to be **right**

Leica
Geosystems

Leica TPS1200+ Stazioni Totali

Dotate di nuove eccezionali caratteristiche, costruite per operare con velocità, precisione, facilità d'uso e affidabilità, le Stazioni Totali LEICA TPS1200+ eseguono anche i lavori più complessi nel modo migliore e più efficientemente di quanto mai accaduto prima. E, cosa più importante, sono perfettamente compatibili col GPS1200+.

Eccellente tecnologia di misura

Misure angolari altamente accurate e misure di distanza precise e con lunga portata, sostenute da un'eccellente posizionamento automatico e da una rapida e affidabile localizzazione del riflettore. Il vostro lavoro diviene più veloce, più preciso e più rilassato.

Facile da usare

Interfaccia intuitiva, potente gestione dei dati, programmi incorporati: il tutto facile da usare e identico per TPS e GNSS.

Ampio display grafico a colori

Agevole visualizzazione dell'intera area rilevata e accesso immediato a tutti i dati misurati. Si può vedere con esattezza il lavoro fatto e ciò che resta ancora da fare.

Totale flessibilità

Si può configurare e programmare il TPS1200+ nel modo desiderato per le proprie applicazioni, per il proprio modo di lavorare e per l'output dati richiesto.

Una serie completa

Le stazioni totali TPS1200+ coprono un'ampia gamma di modelli e di opzioni. Scegliete quella che più vi soddisfa.

Usa TPS1200+ per tutte le applicazioni

Usa le Stazioni totali TPS1200+ per il rilievo, le applicazioni industriali, il picchettamento, la topografia, il monitoraggio etc. Utilizzate in combinazione col GNSS. Approfitta della enorme produttività del System 1200.



FUNCTION
integrated

Usa insieme e nello modo GNSS e TPS. Passa facilmente da uno all'altro. Lavora più velocemente, più accuratamente e più efficientemente. Goditi tutta la libertà, la flessibilità e la potenza del System 1200.

Leica SmartStation

TPS1200+ con GNSS integrato. Tutti i TPS1200+ possono essere upgradati a SmartStation.



Leica GPS1200+

Unisce la più alta tecnologia GNSS con una potente gestione dei dati. Perfetto per tutte le applicazioni GNSS.





Leica System 1200

TPS e GNSS
Lavorare insieme
Per tutte le applicazioni
Oggi e nel futuro

Progettati e realizzati secondo gli standard più rigorosi adottando le più recenti tecnologie di misura, gli strumenti Leica System 1200 sono estremamente efficienti e affidabili e sopportano le condizioni ambientali più severe.

Un'interfaccia utente altamente intuitiva, una molteplicità di funzioni e caratteristiche, una potente gestione dati, possibilità di programmazione da parte dell'utilizzatore sono comuni ad ambedue gli strumenti TPS e GNSS del System 1200.

Gli operatori possono commutare istantaneamente fra TPS e GNSS e usare quello che ritengono più conveniente ed adatto; non è richiesto nessun addestramento aggiuntivo.

Questi nuovi strumenti TPS e GNSS, altamente tecnologici, con operazioni identiche, permettono di eseguire qualsiasi tipo di lavoro più velocemente, più accuratamente e più efficientemente di quanto mai accaduto prima.

E, cosa più importante, si riducono i costi e si incrementano i profitti.

Leica TPS1200+

Stazioni totali con le più alte prestazioni e alta precisione fanno tutto ciò che si vuole e molto di più.



Leica SmartPole

L'impostazione rapida di SmartPole permette di risparmiare tempo e di passare dal GPS al TPS ogni volta che serve.



Leica SmartWorx

Il software applicativo SmartWorx TPS/GNSS è semplice da usare ed estremamente potente.



Leica Geo Office

Tutto quello che vi occorre in un singolo pacchetto per GNSS e TPS: import, visualizzazione, conversione, controllo qualità, elaborazione, compensazione, report, export etc.



Leica TPS1200+

Prestazioni straordinarie ed eccezionali caratteristiche

EDM rapido, preciso, con lunga portata
EDM coassiale di elevata precisione con varie modalità di misura. Portata di 3 km con un solo prisma.

PinPoint R1000 La migliore tecnologia di misurazione elettronica della distanza senza prisma disponibile sul mercato, che combina portata, precisione, tempo di misurazione e dimensione dello spot laser.
Misurazione con portata superiore a 1000 m con reale precisione PinPoint.

Maniglia-Radio
Trasmette i dati istantaneamente tra il TPS1200+ e l'unità di comando a distanza. Alimentato dalla stessa batteria interna del TPS1200+.

Batteria plug-in agli Ioni di Litio
Batteria agli ioni di Litio, piccola, leggera e di lunga durata.



Bluetooth® Wireless-Technology integrato
Trasferimento dati senza fili da PDA's e telefoni mobili.

Misure angolari con alta tecnologia
Un sistema di misura angolare assoluto di alta precisione. La precisione può essere scelta da 1 a 5 secondi.

Viti micrometriche senza fine
Per una confortevole, rapida funzionalità e un puntamento preciso.

Una tastiera ben progettata
Chiara, con una disposizione logica e con tasti alfanumerici, tasti funzione e tasti definibili dall'utente. Molto facile da usare.

Touch screen
Accesso immediato a tutte le funzioni senza utilizzare la tastiera.

Piombino laser
Messa in stazione facile, rapida e precisa.



Guida Luminosa (EGL)

Un pratico aiuto per l'allineamento durante il picchettamento; aiuta il canneggiatore ad allineare il riflettore con precisione e rapidità.

Riconoscimento Automatico del Bersaglio (ATR):

Puntamento al prisma automatico e preciso. Velocizza le misure e aumenta la produttività.

PowerSearch (PS)

Un ventaglio laser rotante trova automaticamente e rapidamente il riflettore e ATR affina il puntamento. Un valido aiuto per tutti i tipi di lavoro; perfetto per rilievi con controllo remoto.

Display grafico a colori ad elevato contrasto

Il miglior display grafico a colori del mercato grazie alla perfetta luminosità ed al contrasto impeccabile.

Riflettore 360°

Non è richiesto nessun orientamento; il rilievo e il picchettamento risultano più facili e veloci.

Ampia gamma di accessori

Possono essere usati anche per il GPS1200+ e per altri sistemi Leica.

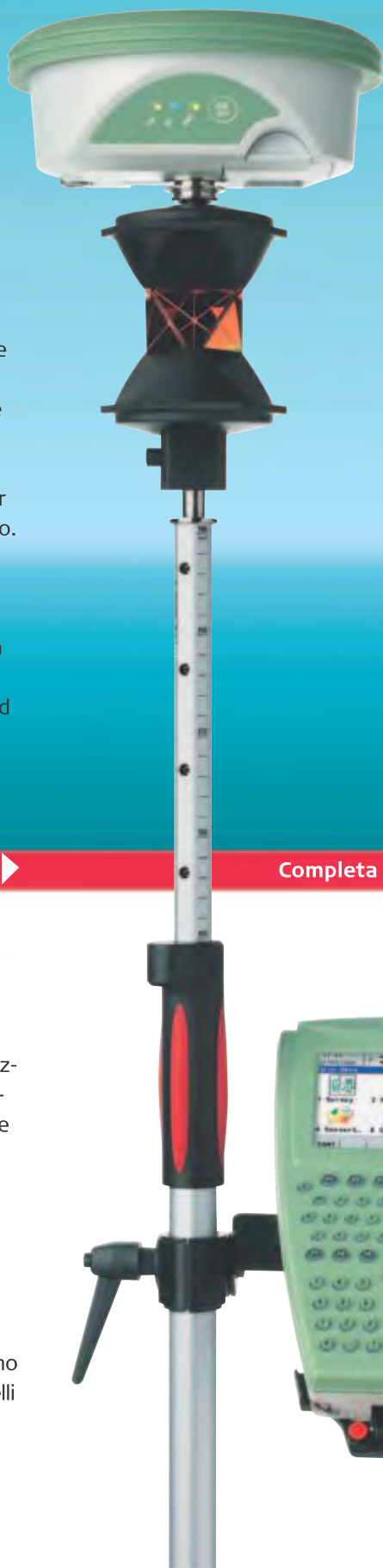


SmartPole

SmartAntenna, riflettore a 360° e RX1250 sono la dotazione ideale per utilizzare il GNSS e il TPS da una sola unità di comando.

Leica Geo Office

Pacchetto software di supporto per GNSS e TPS con utensili e componenti per: import, visualizzazione, conversione, controllo qualità, elaborazione, compensazione, produzione di report, export etc.



Schede CompactFlash

Un dispositivo di immagazzinamento dati di alta capacità e affidabilità. Ideale per il trasferimento dati.

Memoria interna

Memoria interna di alta capacità e affidabile.

Vari modelli e opzioni

Le stazioni TPS1200+ sono disponibili in diversi modelli con interessanti opzioni. Personalizzatele secondo le vostre esigenze. Paghi solo quello che ti serve!

Completa integrazione Dati

WORKING
TOGETHER

 FUNCTION
integrated

LEICA SYSTEM 1200

Unità di controllo RX1250

Controlla a distanza il TPS1200+ via radio modem e la SmartAntenna su palina tramite wireless *Bluetooth*® o cavo.

Un operatore con riflettore può eseguire da solo l'intero rilievo con GNSS e TPS.

Batteria agli Ioni di Litio

La batteria alimenta unità di controllo remoto e radio.



Leica TPS1200+

Estremamente potente e facile da usare

Il TPS 1200+ dispone di molteplici funzioni e caratteristiche nate per soddisfare le esigenze degli utenti in tutto il mondo, ma resta incredibilmente facile da usare.

L'interfaccia grafica del TPS1200+ è autoesplicativa e guida l'utilizzatore direttamente verso ciò di cui ha bisogno.

Si possono usare le impostazioni di default o, se si preferisce, si può impostare il TPS1200+ per avere le modalità operative, le visualizzazioni e i dati in uscita esattamente come si desiderano.

Usando il TPS1200+ vi accorgete che tutto è

molto facile da capire. Anche meglio, TPS1200+ e GPS1200+ sono completamente compatibili, con le stesse schede CompactFlash, stessa gestione dati, stessi display e tastiere.

In funzione del lavoro che si sta facendo, si può passare facilmente da TPS a GNSS e continuare a lavorare esattamente nello stesso modo.



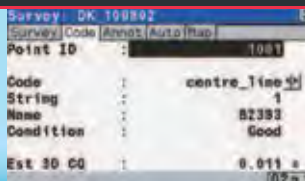
Modalità grafica



Le viste grafiche mostrano il vostro lavoro. Si possono eseguire degli zoom in per i dettagli e out per la visione dell'intero rilievo. Usando il touch screen o la tastiera si può accedere ai dati relativi ai punti e agli oggetti.

Con le viste grafiche è possibile controllare rapidamente sul campo la completezza e la correttezza del lavoro.

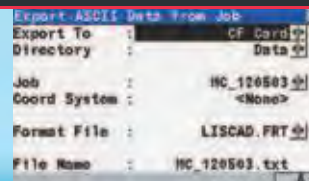
Codifica e pianificazione del lavoro



Definizione di punti, linee e aree per realizzare un disegno al procedere del rilievo. E' possibile verificare in tempo reale il lavoro eseguito. Associazione di codici, attributi e informazioni necessarie per l'input in pacchetti software cartografici.

System 1200 possiede molteplici funzionalità ed è incredibilmente versatile.

Esportazione dati in ogni formato



I dati possono essere esportati direttamente dal TPS1200+ o tramite Leica GeoOffice, in vari formati standard oppure nei formati definiti dall'utilizzatore per un input diretto in qualsiasi software per l'elaborazione in ufficio, CAD o software cartografico.

System 1200 si interfaccia facilmente ad ogni pacchetto software esterno.



Icone di stato

Indicazione delle impostazioni correnti dello strumento, dello stato della batteria e delle modalità di misura.

Tastiera QWERTY

Il comando remoto è dotato di una tastiera standard QWERTY che consente l'inserimento rapido e semplice dei dati alfanumerici e delle informazioni.

Tasto impostazioni rapide

Per la selezione rapida di funzionalità quali PinPoint, ATR, LOCK e tracciamento EDM.

Tasti funzione definibili

Abbinamento di comandi, funzioni e visualizzazioni ai tasti per un accesso immediato.

Menu utente configurabile

È possibile impostare il proprio menu utente in base alle modalità d'uso della

propria squadra, per visualizzare solo quello che serve, e nascondere il resto.

Menu di programma

Accesso diretto a tutti i programmi applicativi caricati, come Rilievi, Messa in stazione, Tracciamento e tutti gli altri programmi applicativi opzionali.

Ampio display grafico a colori

LCD VGA 1/4 ad alta risoluzione, facile da leggere in qualsiasi condizione di visibilità. Display e tastiera si illuminano, per lavorare anche al buio.

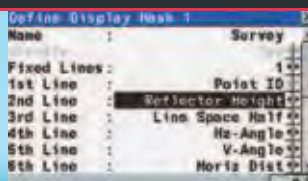
Seconda tastiera + display

Se necessario, il TPS1200+ può essere dotato di una seconda tastiera con relativo display, per utilizzo sul secondo lato dello strumento.

Touchscreen

Il touchscreen consente un accesso immediato senza ricorso alla tastiera. È possibile visualizzare dati e informazioni relativi a punti e oggetti e richiamare le funzioni direttamente dallo schermo. Si può utilizzare il touchscreen e/o la tastiera, secondo le proprie preferenze.

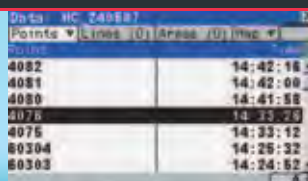
Visualizzazioni definibili dall'utente



Con TPS1200+ è possibile definire diverse maschere di visualizzazione in modo che lo strumento mostri esattamente cosa desidera l'operatore e la sua squadra durante il rilievo sul campo. Impostate il display in funzione del lavoro che state facendo e delle informazioni richieste.

TPS1200+ si adatta perfettamente alle vostre esigenze.

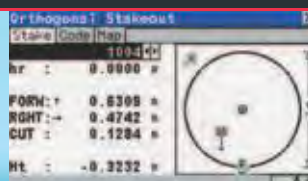
Gestione dati



Il potente database è in grado di gestire dati, file, lavori, controlli di qualità etc. È possibile visualizzare, editare, cancellare e fare ricerche con o senza filtri selettivi. Le coordinate dei punti ripetutamente misurati sono mediate considerando solo i punti che rientrano nelle tolleranze specificate.

L'esecuzione del rilievo risulta molto più facile e più affidabile con System 1200.

Programmi applicativi



Il GPS1200 è fornito con molti utili programmi come Rilievo, Picchettamento, COGO etc. Altri programmi come RoadRunner, Linea di riferimento e Picchettamento DTM sono opzionali. È possibile per l'utente scrivere i propri programmi per applicazioni speciali nel linguaggio Geo C++.

La maggior parte dei programmi sono disponibili sia sul TPS che sul GNSS.

WORKING TOGETHER



LEICA SYSTEM 1200

Leica TPS1200+

Tecnologia della misura di alta precisione Funzioni che riducono il tempo di misura

Misure di angolo e distanza (Modalità IR)



La più alta precisione La più lunga portata

Il sistema di misura angolare, continuo ad alta precisione del TPS1200+ fornisce letture istantanee dei cerchi orizzontale e verticale, con correzione automatica di errori di «fuori livellamento» mediante il compensatore biassiale centrale. Il distanziometro coassiale utilizza un laser rosso visibile con diverse modalità di misura con prisma, nastro riflettente o senza prisma. La portata è ottima (3 km con 1 prisma) e la precisione eccezionale (1 mm + 1.5 ppm) per tutti i modelli TPS1200+. La risoluzione è di 0.1 mm.

- Misure angolari veloci, continue, di alta precisione
- Scelta della precisione da 1 a 5 secondi
- Nessuna inizializzazione
- Compensatore biassiale
- EDM con modalità standard, veloce e tracciamento
- Lunga portata, misure veloci e alta precisione
- Affidabilità totale

EDM senza prisma (Mod. RL) con puntatore



Misura a distanze elevate con la più elevata precisione

Il laser di puntamento (Pin Point) è il sistema ideale per misurare spigoli di muri, oggetti inaccessibili, pareti di roccia, tetti e pareti interne dei fabbricati; in generale tutto ciò su cui è impossibile piazzare un prisma. Il laser di puntamento, costituito da un fascio stretto, marca con precisione il punto con un puntino rosso. Le misure sono prese istantaneamente e direttamente. Mediante il laser di puntamento, si possono misurare anche distanze lunghe con l'ausilio dei prismi.

- Optional per tutti i TPS1200+
- Due le versioni: portata standard per l'R400 (oltre 400 m) e portata extra per l'R1000 (oltre 1000 m)
- Piccolo spot laser marca i punti con precisione
- Misurazione standard e modalità tracking
- Accuratezza 2mm+2ppm
- TPS1200+ motorizzato con PinPoint – lo strumento perfetto per le scansioni di facciate

Automatic Target Recognition (ATR / LOCK)



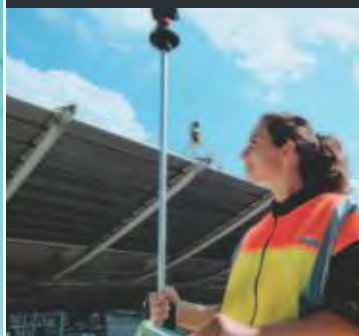
Misurazione dei punti veloce e accurata

Con l'ATR si deve solo puntare grossolanamente il punto e battere la misura; il TPS1200+ collima accuratamente il centro del prisma e misura in modo automatico. Con la modalità INSEG, il TPS1200+ rimane agganciato al riflettore e lo segue ogni volta che si muove. Le misure possono essere effettuate in ogni momento e con delle routine basate sulla traiettoria il SW riesce a mantenere l'aggancio anche in presenza di ostacoli. Se lunghe interruzioni dovessero causare la completa perdita dell'inseguimento, si può utilizzare PowerSearch.

- Optional per TPS1200+ motorizzati
- Attivazione automatica o al tocco di un tasto
- Misurazioni molto più veloci e precise
- Elevata accuratezza
- Lavori con prismi standard (non c'è bisogno di prismi attivi)

Lavora con facilità, velocità e comfort Aumenta la produttività e i profitti

PowerSearch (PS)



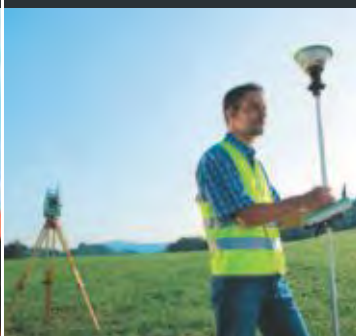
Trova automaticamente il riflettore

PowerSearch è in grado di trovare i riflettori in pochi secondi indipendentemente da dove sono. Quando PowerSearch è attivo, il TPS1200+ ruota ed emette un ventaglio laser verticale. Non appena il fascio colpisce un prisma il TPS1200+ interrompe la rotazione, entra in azione l'ATR raffina il puntamento del bersaglio – il tutto avviene automaticamente.

Power Search è utile per il primo aggancio o per ritrovare il prisma se l'ATR lo perde. Power Search è ancora più utile se si opera con il controllo remoto.

- Optional per TPS1200+ motorizzati e dotati di ATR
- Si attiva al tocco di un tasto o automaticamente (se configurato)
- Si utilizzano prismi standard (non c'è bisogno di prismi attivi)
- Si risparmia tempo a si incrementa la produttività
- Fortemente raccomandato per controlli a distanza veloci ed efficienti

Unità di controllo remoto (RX1250)



Misurare dal riflettore

L'unità di controllo remoto RX1250 comanda sia il TPS1200+ via Radio-Modem e RadioHandle sia la SmartAntenna GNSS con il wireless *Bluetooth*® o via cavo dalla canna del riflettore. L'unità ha lo stesso display del TPS1200+, touch screen, schermo a colori opzionale e tastiera alfanumerica QWERTY completa. I due strumenti si comandano allo stesso modo. È possibile avviare misurazioni, inserire codici, usare routine e programmi, raccogliere dati dal GNSS e dal TPS.

- Optional per tutti i TPS1200+
- Ottimizzato con ATR, PowerSearch e riflettori a 360°
- Leggero, robusto e affidabile
- Comunicazione radio affidabile grazie al RadioHandle e al wireless *Bluetooth*®
- Sistema di rilievo one-man
- Non servono cavi
- Maggiore efficienza e produttività

SmartStation (ATX1230+ GNSS)



TPS e GNSS perfettamente integrati

TPS1200+ con ATX1230+ GNSS SmartAntenna combinati in un unico semplice strumento. Elimina il bisogno di punti di controllo, poligonali o intersezioni. Si staziona la SmartStation e si lascia che l'RTK fissi la posizione al centimetro, si misura e si traccia con il TPS1200+. La Stazione Totale controlla tutte le misurazioni, display e dati sia per il GNSS sia per il TPS. Una volta che la SmartStation è posizionata, si usa la SmartAntenna sulla palina con il controller e il sensore come un rover RTK.

- TPS e GNSS integrati in un unico strumento
- Si fissa la posizione con l'RTK e si rileva con il TPS
- Non c'è bisogno di punti di controllo, poligonali e intersezioni
- Incremento di produttività e profitti
- Tutti i TPS1200+ possono essere upgradati a SmartStation

WORKING
TOGETHER



LEICA SYSTEM 1200

Leica TPS1200+

Specifiche tecniche e caratteristiche del sistema



Modelli e opzioni

| | TC | TCR | TCRM | TCA | TCP | TCRA | TCRP |
|--|----|-----|------|-----|-----|------|------|
| Misura angolare | • | • | • | • | • | • | • |
| Misura di distanza (Modalità IR) | • | • | • | • | • | • | • |
| Mis. dist. senza riflettore -PinPoint- (Modalità RL) | | • | • | | | • | • |
| Motorizzato | | | • | • | • | • | • |
| Riconoscim. Automatico Bersaglio (ATR) | | | | • | • | • | • |
| PowerSearch (PS) | | | | | • | | • |
| Guida Luminosa (EGL) | ◦ | ◦ | ◦ | • | • | • | • |
| Unità Controllo Remoto (RX1220) | ◦ | ◦ | ◦ | ◦ | ◦ | ◦ | ◦ |
| Guida Laser GUS74 | | | | ◦ | | ◦ | |
| SmartStation (ATX1230+ GNSS) | ◦ | ◦ | ◦ | ◦ | ◦ | ◦ | ◦ |

• = Standard ◦ = Optional

Misura Angolare

| | | Tipo 1201+ | Tipo 1202+ | Tipo 1203+ | Tipo 1205+ |
|------------------------------------|--------------------------------|--|-----------------|-----------------|-----------------|
| Precisione (dev. std. ISO 17123-3) | Hz, V | 1" (0.3 mgon) | 2" (0.6 mgon) | 3" (1 mgon) | 5" (1.5 mgon) |
| | Risoluzione display | 0.1" (0.1 mgon) | 0.1" (0.1 mgon) | 0.1" (0.1 mgon) | 0.1" (0.1 mgon) |
| Metodo | assoluto, continuo, diametrico | | | | |
| Compensatore | Campo di funzionamento: | 4' (0.07 gon) | 4' (0.07 gon) | 4' (0.07 gon) | 4' (0.07 gon) |
| | Precisione impostazione: | 0.5" (0.2 mgon) | 0.5" (0.2 mgon) | 1.0" (0.3 mgon) | 1.5" (0.5 mgon) |
| | Metodo: | compensatore doppio asse centralizzato | | | |

Misura di distanza (Modalità IR)

| | | |
|---|--|-----------------------------------|
| Portata (condizioni atmosferiche medie) | Prisma circolare (GPR1): | 3000 m |
| | Riflettore 360° (GRZ4): | 1500 m |
| | Mini prisma (GMP101): | 1200 m |
| | Nastro Riflettente (60 mm x 60 mm): | 250 m |
| | Più piccola distanza misurabile: | 1.5 m |
| Precisione / Tempo di misura (deviazione standard ISO 17123-4) | Modo standard: | 1 mm + 1.5 ppm / tipica. 2.4 s |
| | Modo veloce: | 3 mm + 1.5 ppm / tipica. 0.8 s |
| | Modo tracciamento: | 3 mm + 1.5 ppm / tipica. < 0.15 s |
| | Risoluzione display: | 0.1 mm |
| Metodo | Sistema analizzatore (coassiale, laser rosso visibile) | |

Misura di distanza senza riflettore (RL) con puntatore laser (PinPoint) R400/R1000

| | | |
|---|--|---|
| Portata (condizioni atmosferiche medie) | Puntatore R400: | 400 m / 200 m (Scheda Grigio kodak: riflless. 90% / riflless. 18%) |
| | Puntatore R1000: | 1000 m / 500 m (Scheda Grigio kodak: riflless. 90% / riflless. 18%) |
| | Più piccola distanza misurabile: | 1.5 m |
| | Lunga portata con prisma sferico (GPR1): | 1000 m - 7500 m |
| Precisione / Tempo di misura (deviazione standard ISO 17123-4) (oggetto in ombra, cielo nuvoloso) | senza riflettore < 500 m: | 2 mm + 2 ppm / typ. 3 - 6 s, max. 12 s |
| | senza riflettore > 500 m | 4 mm + 2 ppm / typ. 3 - 6 s, max. 12 s |
| | Lunga portata: | 5 mm + 2 ppm / typ. 2.5 s, max. 12 s |
| Dimensione raggio laser | A 30 m: | ca. 7 mm x 10 mm |
| | A 50 m: | ca. 8 mm x 20 mm |
| Metodo | Puntatore R400/R1000: Sistema analizzatore (coassiale, laser rosso visibile) | |

Motorizzato

| | | |
|------------------|------------------------|---------|
| Massima velocità | Velocità di rotazione: | 45° / s |
|------------------|------------------------|---------|

Riconoscimento Automatico del Bersaglio (ATR)

| | | |
|--|---|--|
| Portata modo ATR / modo LOCK (condizioni atmosferiche medie) | Prisma sferico (GPR1): Riflettore 360° (GRZ4, GRZ122): Mini prisma (GMP101): Nastro Riflettente (60 mm x 60 mm): Più piccola distanza misurabile: | 1000 m / 800 m 600 m / 500 m 500 m / 400 m 55 m (175 ft) 1.5 m / 5 m |
| Precisione / Misura (deviazione standard ISO 17123-3) | Precisione dell'angolo ATR Hz, V: Precisione posizionamento: Tempo di misura: | 1" (0.3 mgon) ± 1 mm 3 - 4 s |
| Massima velocità (modo LOCK) | Tangenziale (modo standard): Radiale (modo LOCK): | 5 m / s a 20 m, 25 m / s a 100 m 4 m / s |
| Metodo | Elab. digitale dell'immagine (raggio laser) | |

PowerSearch (PS)

| | | |
|---|---|--------------------------------|
| Portata (condizioni atmosferiche medie) | Prisma sferico (GPR1): Riflettore 360° (GRZ4, GRZ122): Mini prisma (GMP101): Più piccola distanza: | 300 m 300 m 100 m 5 m |
| Tempo di ricerca | Tempo di ricerca tipico: | < 10 s |
| Massima velocità | Velocità di rotazione: | 45° / s |
| Metodo | Elab. digitale del segnale (ventaglio laser rotante) | |

Guida Luminosa (EGL)

| | | |
|---|-------------------------------|--------------|
| Portata (condizioni atmosferiche medie) | Campo di funzionamento: | 5 m - 150 m |
| Precisione | Precisione di posizionamento: | 5 cm a 100 m |

Dati Generali

| | |
|----------------------------|---|
| Telescopio | |
| Ingrandimenti: | 30 x |
| Apertura obbiettivo: | 40 mm |
| Campo di vista: | 1°30' (1.66 gon) / 2.7 m a 100 m |
| Messa a fuoco: | da 1.7 m all'infinito |
| Tastiera e Display | |
| Display: | 1/4 VGA (320*240 pixel), LCD grafico a colori, illuminazione, touchscreen |
| Tastiera: | 34 tasti (12 tasti funzione, 12 tasti alfanumerici), illuminazione |
| Visualizz. Angoli: | 360° ' ", 360° decimali, 400 gon, 6400 mil, V% |
| Visualizz. Distanza: | metri, int. ft, int. ft/inch, US ft, Us ft/inch |
| Posizione: | faccia I standard / faccia II opzionale |
| Memorizzazione dati | |
| Memoria interna: | 256 MB (opzionale) |
| Scheda di memoria: | Scheda CompactFlash (256 MB) |
| Numero record dati: | 1750 / MB |
| Interfaccia: | RS232, tecnologia wireless <i>Bluetooth®</i> (opzionale) |
| Livella sferica | |
| Sensibilità: | 6' / 2 mm |

| | |
|--------------------------------------|-----------------------------|
| Piombino Laser | |
| Precisione di centramento: | 1.5 mm a 1.5 m |
| Diametro raggio laser: | 2.5 mm a 1.5 m |
| Viti senza fine micrometriche | |
| Numero di viti: | 1 orizzontale / 1 verticale |
| Batteria (GEB221) | |
| Tipo: | ioni di Litio |
| Voltaggio: | 7.4 V |
| Capacità: | 4.4 Ah |
| Durata: | tipica 5 - 8 h |
| Pesi | |
| Stazione totale: | 4.8 - 5.5 kg |
| Batteria (GEB221): | 0.2 kg |
| Tricuspidi (GDF121): | 0.8 kg |
| Specifiche ambientali | |
| Campo di temperatura operativo: | da -20 °C a +50 °C |
| Campo di temp. stoccaggio | da -40 °C a +70 °C |
| Polvere /acqua (IEC 60529): | IP54 |
| Umidità: | 95% senza condensazione |

Unità di Controllo Remoto (RX1250T/Tc)

| | | |
|------------------------------|---|--|
| Comunicazione | via radio modem | |
| Unità di Controllo | Display: | 1/4 VGA (320 x 240 pixel), LCD grafico, illuminazione |
| | Tastiera: | 62 tasti (12 tasti funzione, 40 tasti alfanumerici), illuminazione |
| | Interfaccia: | RS232 |
| Batteria (GEB211) | Tipo: | ioni di Litio |
| | Voltaggio: | 7.4 V |
| | Capacità: | 2.2 Ah |
| | Durata: | RX1250T: tipic. 9 h / RX1250Tc: tipic. 8 h |
| Pesi | Unità di controllo RX1250T/Tc: | 0.8 kg |
| | Batteria (GEB211): | 0.1 kg |
| | Adattatore per palina: | 0.25 kg |
| Specifiche ambientali | Campo di temperatura operativo: | RX1250T da -30 °C a +65 °C / RX1250Tc da -30 °C a +50 °C |
| | Campo di temp. di immagazzinamento: | da -40 °C a +80 °C |
| | Protezione da acqua, polvere e sabbia (IEC 60529, MIL-STD-810F) | IP67 Resistente all'acqua per immersione temporanea fino a 1 m, resistente alla polvere |

Gli strumenti topografici Leica Geosystems offrono la soluzione giusta per ogni compito di misurazione, dall'esecuzione del rilievo di un lotto di terra o di un cantiere, a quello di una facciata o di interni, per creare progetti del costruito o per effettuare misurazioni di alta precisione per la costruzione di ponti e gallerie.

Gli strumenti e il software della System 1200 Series sono stati studiati per soddisfare le esigenze quotidiane della moderna topografia. Sono dotati di interfacce funzionali, facili da leggere e da utilizzare. La struttura lineare dei menu, la serie di funzioni chiaramente definita e l'elevata tecnologia sono perfettamente in linea con le applicazioni GNSS e TPS del settore. Che si scelga di utilizzare i vantaggi di una tecnologia o di entrambe, l'eccezionale flessibilità degli strumenti Leica Geosystems garantisce sempre la massima affidabilità e produttività dei rilievi.

When it has to be right.

Illustrazioni, descrizioni e specifiche tecniche non sono vincolanti e possono cambiare.
Stampato in Svizzera – Copyright Leica Geosystems AG, Heerbrugg, Svizzera, 2009.
739580it – V.09 – RDV



Gestione Totale della Qualità – il nostro impegno per la totale soddisfazione del cliente.

Per maggiori informazioni sul nostro programma TQM rivolgersi al rivenditore di zona.

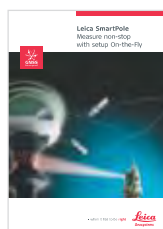
Distanziometro (Prisma), ATR e PowerSearch:
LED classe 1 conforme a IEC 60825-1 e EN 60825-1

Piombo laser:
Laser classe 2 conforme a IEC 60825-1 e EN 60825-1

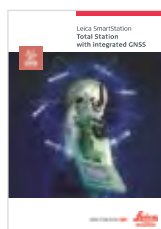
Distanziometro (No-Prisma):
Laser classe 3R conforme a IEC 60825-1 e EN 60825-1



Il marchio e il logo Bluetooth® sono di proprietà di Bluetooth SIG, Inc. e l'uso di questi marchi da parte di Leica Geosystems AG è permesso da licenza. Altri marchi e nomi sono dei rispettivi proprietari.



Leica SmartPole
Brochure del prodotto



Leica SmartStation
Brochure del prodotto



Leica GPS1200+
Brochure del prodotto



Leica System1200 Software
Brochure del prodotto



Leica GRX1200+
Brochure del prodotto

CONTRATTO APPLICATIVO: Esecuzione di rilievi topografici relativi alla progettazione definitiva dell'intervento E78 Tratto Siena - Bettolle (A1). Adeguamento a 4 corsie del tratto Siena - Ruffolo (Lotto 0)

COD. FI 81

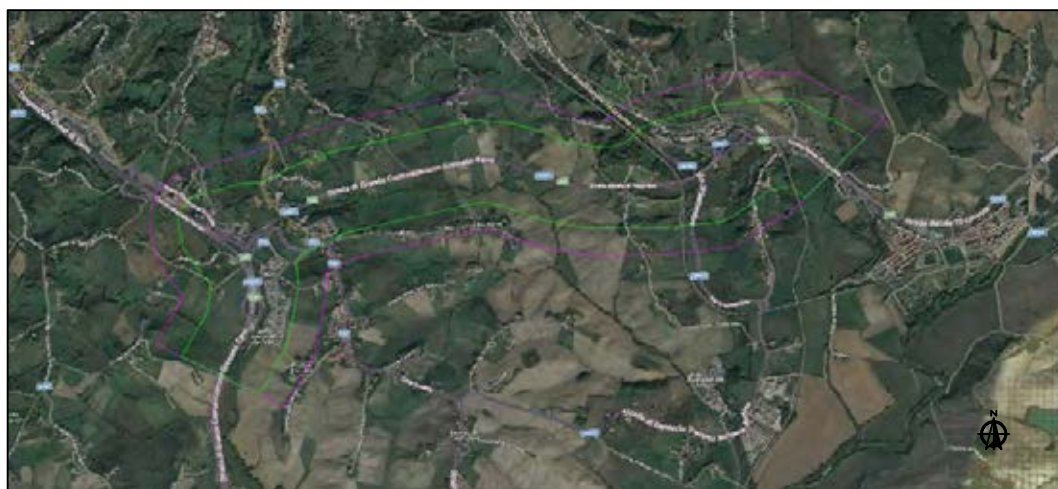
Class. Amm. FI_1641_LO_C5

CIG DERIVATO: 7654027EE1

RELAZIONE TECNICA :

CARTOGRAFIA

INQUADRAMENTO GENERALE



| EM. | DATA | DESCRIZIONE | REDATTO | CONTR. | APPROV. | DATA DEL RILIEVO: |
|---------------------------|------------|-------------|---------------------|-----------|---------|------------------------|
| 0 | 14/03/2019 | Emissione | BOT | MRT | PAL | 12/03/2019 |
| | | | | | | SCALA |
| | | | | | | |
| | | | | | | |
| IDENTIFICAZIONE ELABORATO | | OPERA | RIF. COMMESSA | REVISIONE | TAVOLA | RIF. COMMITTENTE |
| | | S S 2 2 3 | D 2 0 2 S 6 0 8 Y 1 | 0 | 1 Di 1 | Ing. Gianfranco FUSANI |



RTI S.I.N.A. S.p.a. - IMPRESA ROSSI LUIGI S.r.l.

Sede Legale:

Viale Isonzo, 14/1 - 20135 Milano (MI)

C.F. / P.I. : 00847450152



VISTO DELLA COMMITTENTE

INDICE

| | |
|---|----|
| 1. RESTITUZIONE | 2 |
| 2. RICOGNIZIONE | 5 |
| 3. EDITING GRAFICO PER LA PRODUZIONE DELLA CARTOGRAFIA | 8 |
| 4. PARAMETRI DI TRASFORMAZIONE NEL SISTEMA LOCALE DI COORDINATE RETTILINEE | 12 |

1. RESTITUZIONE

La cartografia del servizio in oggetto è stata realizzata alle scale nominali 1:1000 nel formato digitale tridimensionale.

Sono stati utilizzati i fotogrammi provenienti dal volo descritto nella relazione del piano di volo in formato nativo Tagged Image Format File (TIFF), nonché i relativi dati necessari per l'orientamento interno ed esterno di ciascun fotogramma in relazione alla fonte d'acquisizione immagini, alle registrazioni GPS+INS e successivi post-processing (TA). Per ottenere un migliore ambiente di visualizzazione sono state prodotte, partendo dai fotogrammi originali, le coppie epipolari che garantiscono un movimento fluido nell'esplorazione del modello stereoscopico annullando eventuali problemi di parallasse.

Per la fase di restituzione verrà utilizzato il software Micromap della Geoin Srl.

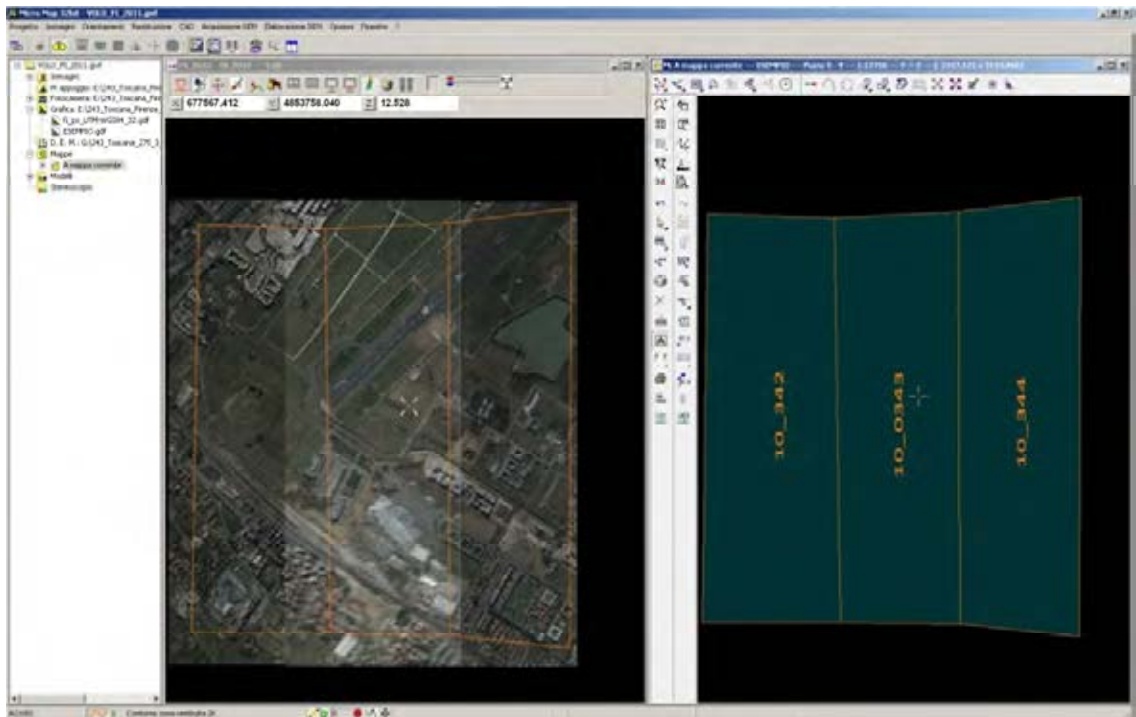
L'operatore ha iniziato la vettorializzazione di tutto quanto risulti visibile ed interpretabile. Aspetto fondamentale per l'esecuzione di tutti i processi dove entra in gioco la componente altimetrica, è l'allineamento della percezione stereoscopica da parte di tutti i restituitisti impiegati nel processo di produzione.

A tale scopo è stato utilizzato il seguente metodo :

Sono stati fatti leggere i PAF a campione a tutti i restituitisti del gruppo di lavoro per verificare quali siano quelli con letture più omogenee e correggere eventuali scostamenti per uniformare gli altri operatori alla media delle letture proposte. Tale operazione ha permesso di comprimere i tempi di esecuzione della fase di restituzione grafica ottenendo un miglior prodotto qualitativamente omogeneo.

Ogni elemento è stato codificato con una libreria interna direttamente derivata dai layer previsti dal capitolato Anas. Questo ha permesso la completezza d'uso delle codifiche previste senza interpretazioni anomale. Le primitive concorrono alla preparazione del tappeto delle aree per la copertura topologica del suolo. Ogni elemento è stato acquisito nelle tre dimensioni (x,y e quota). Sono stati introdotti i semi per la popolazione delle aree che contribuiranno alla completa copertura topologica della zona da cartografare. Oltre ai semi, univoci per ogni area, sono stati introdotti tanti altri semi volti alla popolazione degli attributi previsti per ogni classe (multicentroide) che non concorrono alla formazione dell'area, ma ne definiscono ulteriori caratteristiche previste dalle specifiche suddette. I criteri di acquisizione delle polilinee e i rispettivi parametri di snap sono stati fissati in modo da garantire le tolleranze richieste. Durante la fase di restituzione sono state adottate le seguenti specifiche:

- utilizzo delle funzioni di snap 2D e 3D con inserimento automatico del vertice di intersezione, per ottenere la perfetta congruenza plano-altimetrica di quanto restituito
- imposizione di tolleranze di cattura non superiori al σ di acquisizione alla scala della carta per evitare false congruenze
- impiego della sovrapposizione del modello stereoscopico, per controllare la correttezza altimetrica di quanto restituito e ridurre il rischio di omissioni
- restituzione dell'edificato in forma poligonale alla quota di gronda con sgrondatura logica allo strumento e inserimento di un punto quota a terra per l'attribuzione altimetrica al suolo del perimetro dell'edificio nel caso di dislivelli tra i vertici inferiori a 1σ altimetrico.




restituzione degli oggetti in modalità arco - nodo con inserimento di centroidi per la successiva costruzione delle entità poligonali; come per l'edificato gli oggetti che nella realtà sono già poligonali sono stati acquisiti già nella forma geometrica corretta.

Durante la fase di restituzione hanno assunto particolare criticità le situazioni di lacune stereoscopiche, come ad esempio quelle determinate dalla occlusione dovuta alla deformazione prospettica dei fabbricati o copertura totale o parziale da parte di consistente vegetazione. Il restituitista segnala le criticità o zone di dubbia interpretazione che saranno evidenziate con una linea o con un poligono, per permettere la loro definizione nella successiva fase di ricognizione.

RTI SINA – Impresa ROSSI LUIGI

Contratto Applicativo: E78 Tratto Siena - Bettolle (A1). Adeguamento a 4 corsie del Tratto Siena - Ruffolo (Lotto 0) - Esecuzione di rilievi topografici relativi alla progettazione definitiva.


- Per la fase di restituzione è stato utilizzato il software **Micromap** della Geoin Srl avente le seguenti caratteristiche tecniche :



Specifiche tecniche del software fotogrammetrico

Modulo Base

- Visualizzazione delle immagini (in monocopia)
- Import ed export tra i formati TIFF, ECW, BMP e JPEG2000



Modulo Orientamenti


- Definizione del file della fotocamera
- Impostazione del file dei punti d'appoggio
- Orientamento interno (operazione non necessaria nel caso di fotocamera digitale)
- Orientamento esterno vertice di piramide
- Orientamento esterno direct linear transformation DLT
- Orientamento relativo ed assoluto (attivabile solo se è presente anche il modulo stereoscopico per scheda stereo-ready)
- Stampa dei protocolli di orientamento

Modulo stereovisione con anaglifi

- Visione stereoscopica di immagini non orientate con la possibilità di correggere la parallasse tramite correlazione d'immagini
- Visionare immagini orientate in modalità coordinate oggetto (correzione automatica della parallasse).

Modulo stereovisione per schede grafiche stereo-ready

- Visione stereoscopica di immagini non orientate
- Visione di stereo modelli già orientati in modalità coordinate oggetto



Modulo CAD Visualizzazione

- Importazione di disegni dai formati DCT, DGN, DXF, SHP
- Visualizzazione di più disegni e immagini geo-referenziate
- Zoom, pan
- Selezione di elementi e visualizzazione delle loro informazioni geometriche


Modulo CAD versione Base

- Export dei disegni nei formati DCT, DXF, DGN, SHP
- Creazione di nuovi elementi in modalità puntuale o stream
- Cancellazione di elementi
- Modifica di entità (sposta vertice, inserisce vertice, cancella vertice, sposta lato)
- Creazione di elementi paralleli
- Trasla e copia di entità
- Funzione trim ed estendi
- Stampa del disegno

Modulo CAD versione Professional

- Funzione spline
- Vestizione degli elementi
- Creazione e modifica della simbologia
- Interpolazione di curve di livello
- Ricostruzione di aree
- Operazioni topologiche sulle aree
- Digitalizzazione semi-automatica di mappe raster bi-level

Modulo CAD versione Data Base



- Collegamento mediante ODBC ad una base dati relazionale.
- Possibilità di creare e modificare le tabelle
- Aggiungo di tabelle a layers geografici
- Possibilità di definire nelle tabelle dei campi quali area, perimetro, volume che il sistema riempirà automaticamente
- Possibilità di riempire la tabella in fase di terminazione dell'acquisizione geometrica
- Modifica in qualunque momento dei dati associati ad un elemento geometrico
- Query spaziali ed alfanumeriche
- Join
- Visualizzazione dei dati associati agli elementi selezionati
- Visualizzazione degli elementi individuati in base agli attributi

Modulo acquisizione Modello Numerico

- Definizione della regione da acquisire, indicando il perimetro eventuale aree di esclusione ed il passo di scansione

- Acquisizione automatica in base ad una serie di parametri impostati dall'operatore
- Acquisizione manuale dell'intero modello o solo dei punti non acquisiti in automatico
- Visualizzazione del dem sovrapposto al modello stereoscopico
- Visualizzazione assonometrica dei dati acquisiti ed interazione con lo stereomodello
- Conversione del modello acquisito in formato nod o in formato vettoriale

Modulo ortoproiezione

- Effettuare l'ortoproiezioni di immagini orientate e corredate di dtm
- Effettuare il raddrizzamento di immagini georeferenziate
- Mosaicare le immagini ortogonizzate o raddrizzate. Possibilità di equalizzazione automatica della radiometria
- Correzioni radiometriche e funzione gradiente per rendere meno evidenti i passaggi tra due fotogrammi in corrispondenza della zona di giunzione
- Funzione di ritocco per mettere delle "toppe" sull'ortofoto prelevando il particolare dall'immagine in cui appare migliore
- Taglio con possibilità di ruotare l'immagine finale
- Reasterizzazione di ortomagini con sovrapposti elementi vettoriali

Modulo elaborazione DTM

- Creazione del tin a partire da file vettoriale tridimensionale o da file ASCII di punti
- Ricampionamento a passo regolare
- Unione, taglio e sfoltimento di modelli numerici
- Generazione di curve di livello
- Calcolo di profili
- Quotatura di disegni bidimensionali
- Calcolo di volumi e superfici
- Export in formato DXF come punti o come mesh
- Produzione di mappe tematiche (altezze pendenze, esposizioni)
- Proiezioni di immagini georeferenziate sul modello numerico.

Modulo Triangolazione Aerea

- Misura coordinate lastra in modalità semiautomatica
- Compensazione a modelli indipendenti
- Compensazione a stelle proiettive
- Presentazione risultati con facilitazioni per la ricerca degli errori
- Dati di orientamento per ogni fotogramma

2. RICOGNIZIONE

Le minute di restituzione sono state plottate alla scala adeguata. Ogni strato informativo è stato evidenziato con spessori, campiture e colori diversi per

RTI SINA – Impresa ROSSI LUIGI

Contratto Applicativo: E78 Tratto Siena - Bettolle (A1). Adeguamento a 4 corsie del Tratto Siena - Ruffolo (Lotto 0) - Esecuzione di rilievi topografici relativi alla progettazione definitiva.

ottimizzare e focalizzare le operazioni di ricognizione sul terreno. Con segno grafico distinguibile e non coprente, è stato riportato manualmente e con la massima cura per l'aspetto qualitativo:

- i risultati grafici del rilievo diretto sul terreno, a mezzo di operazioni topografiche ordinarie, di precisione adeguata alla scala richiesta, di tutte le zone contornate come incerte in fase di restituzione, dei punti incerti e degli errori o carenze di restituzione;
- l'identificazione degli edifici, delle colture e delle essenze principali;
- la classificazione delle strade;
- la toponomastica.

La ricognizione sul terreno, a piedi per la scala 1:1000, è stata eseguita su tutta l'area restituita, allo scopo di correggere gli errori interpretativi della restituzione. Gli elementi incerti sono stati integrati metricamente e qualitativamente. L'operazione è stata completata dalla raccolta ed integrazione della toponomastica da cartografie esistenti presso enti pubblici (Comuni, Province, Regioni) o da altre fonti disponibili inclusa la raccolta in loco. I valori numerici delle misure e delle coordinate dei punti battuti delle operazioni di rilievo vengono registrate su file in modo che l'inserimento dei nuovi elementi nei file di restituzione avvenga in forma numerica, senza decadimento dell'originale precisione.



Figura. Esempio di minuta di restituzione con integrazioni di ricognizione

Inoltre ogni ricognitore è stato dotato di:

- rotella metrica da 10 m.;
- distanziometro laser manuale DISTO di Leica Geosystem; dotato delle più moderne funzioni, consente all'utilizzatore un impiego efficiente e preciso. Dispone inoltre di elementi innovativi come l'autoscatto e la misura continua massima (Tracking) che facilita notevolmente le operazioni di misura.
- Strumentazione GPS di ultima generazione
- Stazione totale.

Quelle parti di territorio che in fase di restituzione non state rappresentate o in maniera non ottimale (problemi derivanti da prospettiva sfavorevole, vegetazione, assenza di informazioni desumibili dai dati catastali o da altra fonte, porticati ecc.), o segnalate come incerte, sono state integrate in campagna con le

RTI SINA – Impresa ROSSI LUIGI

Contratto Applicativo: E78 Tratto Siena - Bettolle (A1). Adeguamento a 4 corsie del Tratto Siena - Ruffolo (Lotto 0) - Esecuzione di rilievi topografici relativi alla progettazione definitiva.

modalità più idonee per la loro rappresentazione e riporto nella cartografia. Sarà comunque conservata tutta la documentazione prodotta per la realizzazione delle integrazioni eseguite.

Sono state utilizzate anche fonti informative già esistenti e fruibili (banche date Regionali, Comunali, Google street view e similari) con l'accortezza di inserire nella Cartografia solo le informazioni che sono esistenti sul terreno alla data del rilievo di ricognizione.

Il ricognitore ha integrato la minuta di restituzione con tutte le informazioni richieste dalle specifiche, non identificabili dalla riprese aerea come: impianti di rilevanza territoriale (metanodotti, elettrodotti, oleodotti ecc.) . Le altre integrazioni informative hanno interessato invece i seguenti aspetti:

- Verifiche della classificazione della rete viaria, aree di parcheggio, sedi stradali ecc.;
- Verifica della classificazione della rete idrica;
- Verifica della classificazione di aree verdi, boschi, aree antropizzate ecc..

3. EDITING GRAFICO PER LA PRODUZIONE DELLA CARTOGRAFIA

La strutturazione del Servizio, oggetto del presente Appalto, richiede una attività di normalizzazione ed armonizzazione per rendere i dati compatibili e rispondenti alle specifiche tecniche di Anas, garantendo così un corretto continuo territoriale e di fornire al progettista una cartografia adatta agli scopi della progettazione. La metodologia proposta per la formazione della cartografia è stata composta da una serie di procedure organizzate in fasi operative che hanno consentito di convertire le informazioni provenienti dalla fase di restituzione e ricognizione, in

RTI SINA – Impresa ROSSI LUIGI

Contratto Applicativo: E78 Tratto Siena - Bettolle (A1). Adeguamento a 4 corsie del Tratto Siena - Ruffolo (Lotto 0) - Esecuzione di rilievi topografici relativi alla progettazione definitiva.

una struttura, sulla quale si è proceduto all'esecuzione di verifiche preventive del tipo: qualità e consistenza dei dati prodotti, reiterazione delle diverse fasi, replicabilità su tutto il territorio di interesse, facilità di controllo dei risultati nelle diverse fasi di lavoro.

Il formato di fornitura è il DXF e la cartografia è stata consegnata in Scala 3D non vestita e in Scala 2D con vestizione nel sistema riferimento richiesto da Anas nonché in coordinate Rettilinee. I dati cartografici provenienti dalla restituzione sono stati elaborati ed organizzati in modo da produrre un file cartografico che faccia riferimento alle specifiche del Capitolato Speciale d'Appalto.

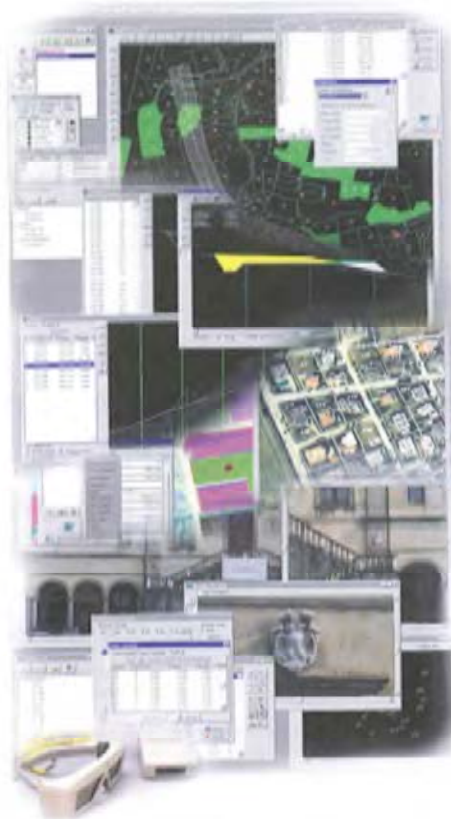
I file sono stati organizzati gerarchicamente in Layer come da Specifiche Anas ed in particolare hanno riguardato:

- viabilità, mobilità e trasporti
- immobili ed antropizzazioni
- idrografia
- orografia
- vegetazione
- orografia e quote altimetriche
- reti tecnologiche
- aree di pertinenza

La modellizzazione del file cartografico è avvenuta con l'ausilio di appositi software (**GCARTO della Geosoft**).

GCARTO

La nuova generazione del software per il territorio



Finalmente puoi avere un unico ambiente per tutte le applicazioni del territorio :

- Produzione di cartografia
- Gestione raster - vector
- Modelli digitali del terreno
- Sistemi informativi territoriali
- Progettazione stradale
- Ortofoto
- Fotogrammetria digitale

Tutto questo è *GCARTO*, l'ambiente integrato per la cartografia, il GIS e la progettazione stradale prodotto da Geosoft.

Le più importanti aziende italiane hanno scelto *GCARTO* per produrre la cartografia, forse anche quella che usi anche tu.

Perché non adottare lo stesso software anche per utilizzarla e gestirla?

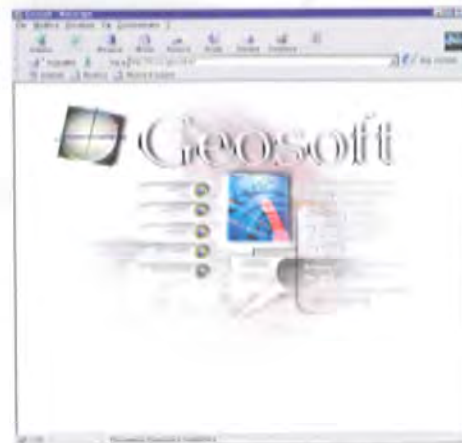
GCARTO non è un semplice CAD, ma un pacchetto modulare di soluzioni adattabile su misura alle tue esigenze.

Non ti obbliga a programmare per interfacciarti con il mondo esterno, perché è dotato di più di 15 filtri di import/export accuratamente studiati.

La varietà dei moduli a disposizione di permette di affrontare qualsiasi tipo di problema.

Contattaci per vedere con quale facilità e velocità *GCARTO* è in grado di lavorare sui tuoi progetti!

 **Geosoft**
Mapping, GIS and Digital Photogrammetry systems
Viale Lino Zanussi 8/d - 33170 Pordenone (Italy)
tel. (0434) 571581 - fax (0434) 573708



www.geosoft.it

RTI SINA – Impresa ROSSI LUIGI

Contratto Applicativo: E78 Tratto Siena - Bettolle (A1). Adeguamento a 4 corsie del Tratto Siena - Ruffolo (Lotto 0) - Esecuzione di rilievi topografici relativi alla progettazione definitiva.

Infatti , tale software viene utilizzato per la creazione e l'uso di mappe, compilazione di dati geografici, analisi di mappe, condivisione di informazioni geografiche e gestione delle informazioni geografiche in una base di dati. Inoltre permette la gestione della terza dimensione senza perdita dei dati acquisiti con le precedenti fasi e permette la ricostruzione dei volumi degli edifici e di tutti gli elementi che si sviluppano in verticale ottenendo in questo modo una modellazione completa degli oggetti acquisiti.

In particolare per la Cartografia richiesta in scala 1:1000, si è proceduto allo sfoltimento d'alcuni oggetti come ad esempio: curve di livello, punti quota, elementi puntuali simbolici, per rendere la cartografia prodotta congruente con una cartografia alla scala richiesta. Tutte queste operazioni sono state eseguite in modo automatico; attraverso procedure presenti all'interno del software . Si è proceduto a scalare i testi delle quote e della toponomastica per renderli congruenti alla scala 1:1000. Per quanto riguarda la simbologia e le vestizioni, il software ci permette impostando la scala d'uscita di scalare automaticamente i simboli.

Al termine delle operazioni di controllo d'integrazione si è proceduto alla conversione dei codici secondo le Specifiche Tecniche, aggiungendo dei layer che ritenevamo indispensabili per una corretta compilazione della carta a scala 1:1000 (vedere allegato - Tabella Layer), ed alla preparazione dei files 3d e 2d di consegna. Nei files Autocad abbiamo convertito i codici invisibili e di chiusura aree evidenziandoli con un segno “-“ davanti al layer. Quindi abbiamo trasformato i nostri files 3d in formato Autocad. Si è proceduto infine alla generazione di un file totale della cartografia scala 1:1000 2d e 3d.

RTI SINA – Impresa ROSSI LUIGI

Contratto Applicativo: E78 Tratto Siena - Bettolle (A1). Adeguamento a 4 corsie del Tratto Siena - Ruffolo (Lotto 0) - Esecuzione di rilievi topografici relativi alla progettazione definitiva.

4. PARAMETRI DI TRASFORMAZIONE NEL SISTEMA LOCALE DI COORDINATE RETTILINEE

Il sistema locale creato per il progetto FI 81 – E78 Tratto Siena - Bettolle (A1). Adeguamento a 4 corsie del Tratto Siena - Ruffolo (Lotto 0) è stato realizzato utilizzando i parametri di seguito elencati:

- Sistema geodetico ETRF 2000:
 - Meridiano centrale : 11° 20' 54.8333”
 - Fattore di scala sul meridiano centrale: 1. 000043325
 - Falsa origine Est: 690500.0
 - Falsa origine Nord: 4796700

- Area geografica di validità del sistema:
 - Latitudine: da 43°10' a 43°16'
 - Longitudine: da 11°18' a 11° 24'

Accordo Quadro DG 41/16
per Rilievi Topografici e Misurazioni



CONTRATTO APPLICATIVO: Esecuzione di rilievi topografici relativi alla progettazione definitiva dell'intervento E78 Tratto Siena - Bettolle (A1). Adeguamento a 4 corsie del tratto Siena - Ruffolo (Lotto 0)

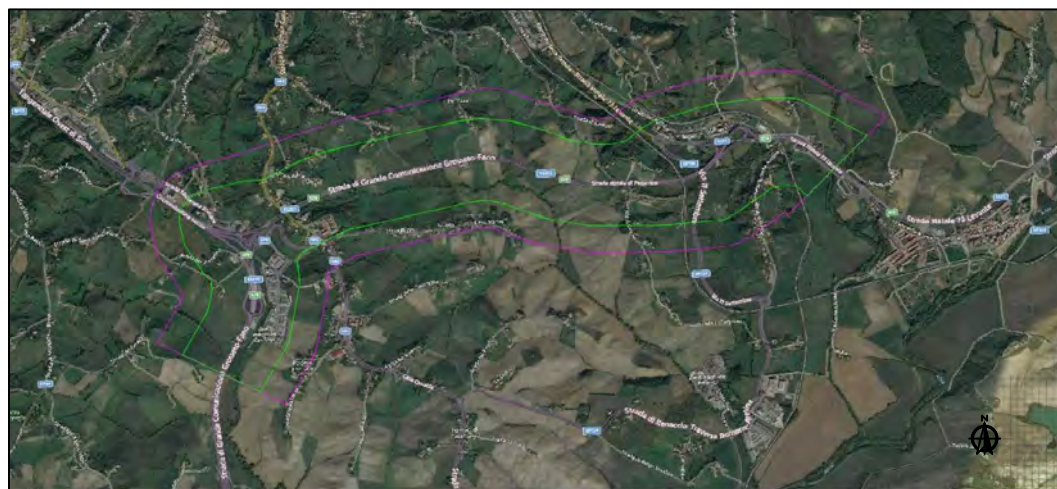
COD. FI 81

Class. Amm. FI_1641_LO_C5

CIG DERIVATO: 7654027EE1

RELAZIONE TECNICA : RETE DI RAFFITTIMENTO

INQUADRAMENTO GENERALE



| EM. | DATA | DESCRIZIONE | REDATTO | CONTR. | APPROV. | DATA DEL RILIEVO: |
|---------------------------|------------|-------------|---------------|-----------|---------|------------------------|
| 0 | 14/03/2019 | Emissione | BOT | MRT | PAL | 12/03/2019 |
| | | | | | | SCALA |
| | | | | | | |
| | | | | | | |
| | | | | | | |
| IDENTIFICAZIONE ELABORATO | | OPERA | RIF. COMMESSA | REVISIONE | TAVOLA | RIF. COMMITTENTE |
| | | SS223 | D202S608Y1 | 0 | 1 DI 1 | Ing. Gianfranco FUSANI |



RTI S.I.N.A. S.p.a. - IMPRESA ROSSI LUIGI S.r.l.

Sede Legale:

Viale Isonzo, 14/1 - 20135 Milano (MI)

C.F. / P.I. : 00847450152



VISTO DELLA COMMITTENTE

INDICE

| | |
|--|-----|
| 1. PREMESSA..... | 2 |
| 2. INQUADRAMENTO CARTOGRAFICO DELL'AREA DI INTERVENTO | 3 |
| 3. METODOLOGIE OPERATIVE SULL'ESECUZIONE DEI RILIEVI..... | 5 |
| 4. ATTREZZATURA UTILIZZATA | 13 |
| 5. COMPENSAZIONE DELLE MISURE..... | 15 |
| 6. ISTITUZIONE DI UN SISTEMA DI COORDINATE RETTILINEE | 19 |
| Allegato A: Monografie dei vertici di rete IGM..... | 193 |
| Allegato B: Monografie dei vertici di rete istituiti | 40 |
| Allegato C: Rapporto della compensazione della rete..... | 46 |
| Allegato D: Rapporto del calcolo delle baseline della rete e delle coordinate dei vertici | 56 |
| Allegato E: Scheda tecnica della strumentazione utilizzata..... | 261 |

1. PREMESSA

La presente relazione ha per oggetto la descrizione delle attività svolte per la preparazione e l'esecuzione dei rilievi topografici di rete e successiva elaborazione della stessa.

In allegato alla presente relazione sono stati redatti per la zona di rilievo i seguenti elaborati:

- Monografie dei vertici di rete IGM (Allegato A);
- Monografie dei vertici di rete istituiti (Allegato B)
- Compensazione di rete (Allegato C);
- Calcolo delle baseline di rete e delle coordinate dei vertici (Allegato D);
- Scheda tecnica strumentazione utilizzata (Allegato E).

Le fasi di attuazione del lavoro si sono articolate come di seguito specificato:

- Reperimento degli elementi geodetici dell'Istituto Geografico Militare;
- Istituzione di vertici di nuova determinazione;
- Esecuzione delle misure di rete con utilizzo del sistema satellitare GPS in modalità statico-rapida;
- Compensazione di rete con calcolo delle baseline e delle coordinate dei vertici.

2. INQUADRAMENTO CARTOGRAFICO DELL'AREA DI INTERVENTO

L'area interessata dal rilievo presenta un'estensione prevalente in direzione Est-Ovest ed è compresa nelle seguenti tavole cartografiche IGM e CTR:

Fogli IGM a scala 1/100.000

- Siena n° 120
- Castelfiorentino n° 113

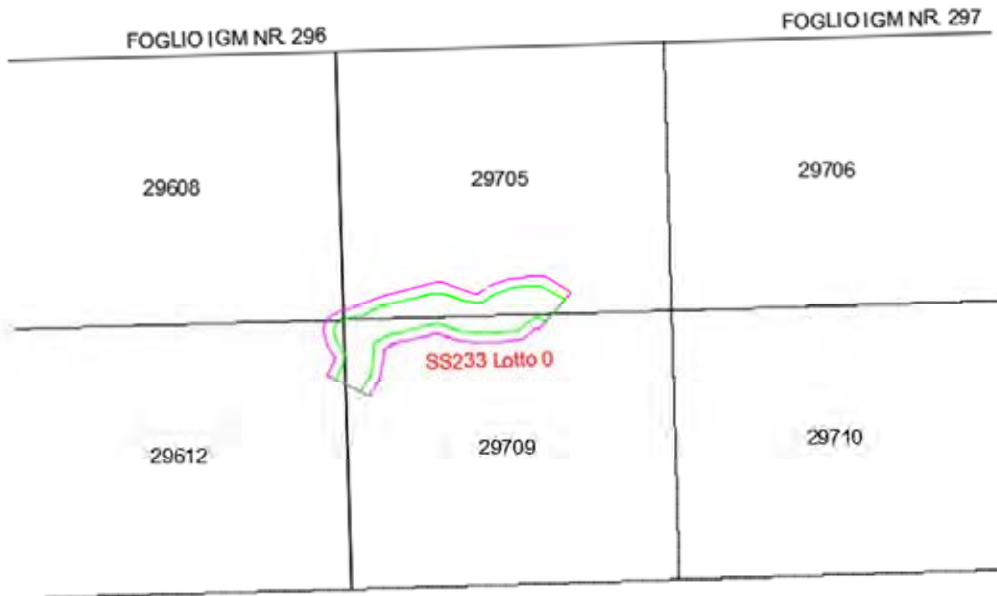
Fogli IGM a scala 1/50.000

- Siena n° 296
- Asciano n° 297

Sezioni CTR a scala 1/10.000

- 296080
- 296120
- 297050
- 297060
- 297090
- 297100

RELAZIONE TECNICA - Rete di Raffittimento: Relazione di calcolo e compensazione

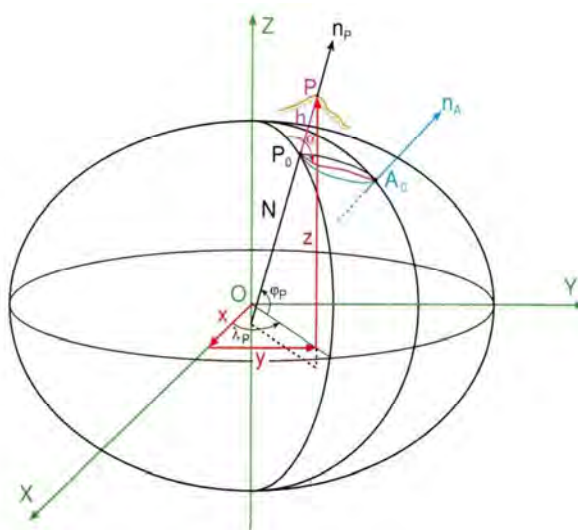


3. METODOLOGIE OPERATIVE SULL'ESECUZIONE DEI RILIEVI

La fase di rilievo sul terreno è stata effettuata con strumentazione GPS che utilizza come sistema di inquadramento, il sistema WGS84 (ellissoide biassiale, geocentrico, gravitazionale ed equipotenziale con origine nel centro di massa convenzionale della Terra) avente i seguenti parametri geodetici:

PARAMETRI DELL'ELLISSOIDE WGS84

| Parametro | Simbolo | Valore | Precisione |
|-----------------------------|----------|--|--|
| semiasse maggiore | a | 6 378 137 m | ± 2 m |
| costante gravitazionale | GM | $3\,986\,005 \times 10^8 \text{ m}^3 \text{ s}^{-2}$ | $\pm 0.6 \times 10^8 \text{ m}^3 \text{ s}^{-2}$ |
| coefficiente gravitazionale | C_{20} | $-484.16685 \times 10^{-6}$ | $\pm 1.30 \times 10^{-9}$ |
| velocità angolare | ω | $7\,292\,115 \times 10^{-11} \text{ rad s}^{-1}$ | $\pm 0.1500 \times 10^{-11} \text{ rad s}^{-1}$ |



Realizzazione italiana del WGS84 globale è la rete geodetica IGM95 dell'Istituto Geografico Militare inquadrata nel sistema europeo ETRS 89, aggiornata a ETRS 2000, per mezzo dei vertici EUREF ricadenti sul territorio nazionale; essa risulta inoltre collegata alle reti classiche di triangolazione e livellazione. La rete IGM95 è composta ad oggi da 2000 punti distribuiti sul territorio nazionale con interdistanza di 20 km, e da altri 3000 punti con interdistanza 5 km, costituenti il raffittimento regionale, presenti attualmente solo su alcune regioni.



In fase preliminare di progetto, al fine di inquadrare il rilievo da effettuarsi nel sistema UTM Fuso 32, sono stati selezionati n. 4 vertici della rete nazionale GPS IGM95 e precisamente i vertici denominati 113701 - 120603 - 120604 - 120901, come da grafico sottostante:

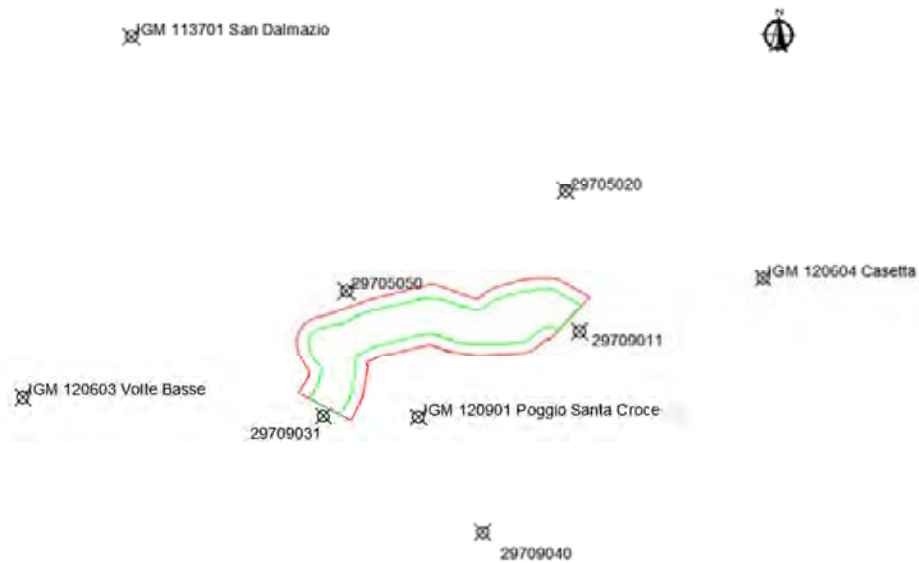


Figura 1 – Planimetria preliminare della rete di inquadramento

In fase di sopralluogo non sono state riscontrate difformità per nessuno dei vertici IGM previsti in progetto.

Tale condizione ha fatto sì che i vertici della rete nazionale GPS IGM 95 impiegati in fase di rilievo sul campo sono risultati essere 113701 - 120603 - 120604 - 120901 come riportato di seguito:



Figura 2 - Planimetria di progetto della rete di inquadramento

Si riportano in Allegato A le monografie dei suddetti vertici IGM.

La rete di raffittimento istituita si compone quindi di n. 9 vertici, 4 dei quali coincidenti con i vertici della rete nazionale IGM95, e quindi noti nel sistema ETRF2000, e 5 di nuova istituzione (29709011 - 29705020 - 29709031 - 29709040 - 29705050).

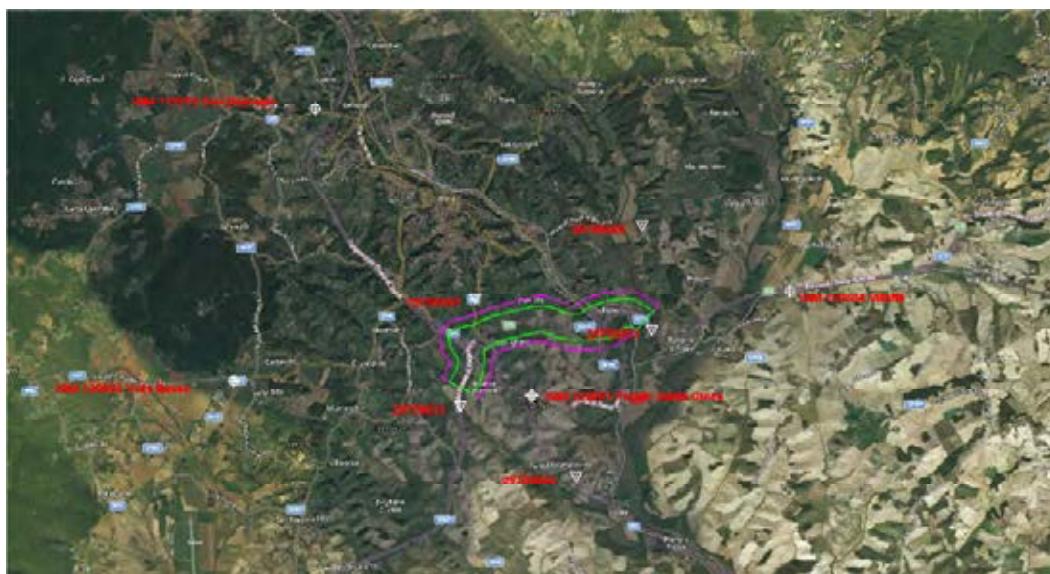


Figura 3 - Planimetria di progetto della rete di raffittimento

Tutti i vertici della rete sono stati materializzati su strutture stabili utilizzando chiodi topografici in materiale inossidabile infissi tramite resina bicomponente e risultano pertanto autocentranti sia in planimetria che in quota.



Figura 4 - Vertice materializzato

Per ogni vertice materializzato è stata redatta una scheda monografica, che riportiamo in Allegato B, contenente tutte le informazioni utili alla futura individuazione del punto ed al suo utilizzo per rilievi o tracciamenti successivi.

Per l'esecuzione dei rilievi si è fatto riferimento alla "Norme Tecniche per l'esecuzione di indagini topografiche" IT.04.01 Rev. 0 del 06/06/2003 emanate dall'A.N.A.S. S.p.A. ed in particolare per la rete di raffittimento, determinata con utilizzo del sistema satellitare GPS, sono state adottate le seguenti procedure:

- a) Il numero minimo di strumenti (con ricevitori satellitari a doppia frequenza) sia pari a due;
- b) Utilizzo del metodo "statico-rapido";
- c) Le misure devono costituire poligoni chiusi aventi un numero massimo di lati pari a 8;
- d) All'interno di tali poligoni è previsto lo stazionamento su tutti i punti della rete IGM95;
- e) Il numero minimo di satelliti, il cui segnale è contemporaneamente ricevuto dalle stazioni durante le misure, è pari a quattro;
- f) L'elevazione minima di tali satelliti sull'orizzontale deve essere non inferiore a 15 gradi sessagesimali;
- g) Durante le operazioni di misura il valore medio del rapporto segnale/rumore deve essere superiore ai minimi valori stabiliti dalle specifiche tecniche relative alla strumentazione in uso;
- h) L'intervallo di acquisizione dei dati satellitari è pari a 10 secondi nel caso di metodo "statico-rapido";

- i) La contemporaneità delle osservazioni deve essere non inferiore a 15 minuti per lati di lunghezza inferiore a 15 km;

Per quanto riguarda la trasformazione delle quote da WGS84 a geoidiche è stata utilizzata la rototraslazione conforme a sette parametri, tramite il programma di calcolo ConveRgo V. 2.04.



Dalle coordinate compensate WGS84, attraverso i grigliati IGM nella versione GK2, si ottengono le coordinate piane nel sistema Gauss - Boaga e le quote ortometriche dei vertici che compongono la rete.

Attraverso lo stesso programma si ottengono gli altri tipi di coordinate richieste, come le cartografiche piane UTM 32 - ETFR 2000, le geografiche ETFR 2000.

4. ATTREZZATURA UTILIZZATA

Sono stati utilizzati due tipi di strumentazione GPS:

- Nr. 2 Sistemi GPS GEOMAX ZENITH 25
- Nr. 2 Sistemi GPS LEICA VIVA GS15

Di seguito si riportano le principali caratteristiche tecniche della strumentazione GPS, GeoMax Zenith 25, utilizzata in campagna:

| | | |
|----------------|--------------------------|---|
| Specifiche | Canali | 120, doppia frequenza |
| | GPS | L1, L2, L2C |
| | GLONASS | L1, L2 |
| | Frequenza Posizionamento | 5Hz, 20Hz |
| | Temp. Operativa | da - 30°C a 60°C |
| Precisione | Statico orizzontale | 5 mm ± 0.5 ppm (RMS) |
| | Statico verticale | 10 mm ± 0.5 ppm (RMS) |
| | Cinematico orizzontale | 10 mm ± 1 ppm (RMS) |
| | Cinematico verticale | 20 mm ± 1 ppm (RMS) |
| Connettori I/O | Modulo GSM/GPRS | 800, 900, 1800, 1900 MHz |
| | Modulo UHF | 1000 mW ricetrasmittente, 406 MHz to 480 MHz |
| | Bluetooth | Classe II |
| | Connettore TNC | Antenna UHF |
| | Porta Lemo | USB, seriale e alimentazione |

Di seguito si riportano le principali caratteristiche tecniche della strumentazione GPS, Leica VIVA GS15, utilizzata in campagna:

| | | |
|----------------|--------------------------|---|
| Specifiche | Canali | 555, doppia frequenza |
| | GPS | L1, L2, L2C, L5 |
| | GLONASS | L1, L2, L3 |
| | Frequenza Posizionamento | 5Hz, 20Hz |
| | Temp. Operativa | da - 40°C a 65°C |
| Precisione | Statico orizzontale | 3 mm ± 0.1 ppm (RMS) |
| | Statico verticale | 3.5 mm ± 0.4 ppm (RMS) |
| | Cinematico orizzontale | 8 mm ± 0.5 ppm (RMS) |
| | Cinematico verticale | 15 mm ± 0.5 ppm (RMS) |
| Connettori I/O | Modulo GSM/GPRS | 800, 900, 1800, 1900 MHz |
| | Modulo UHF | 1000 mW ricetrasmittente, 403 MHz to 470 MHz |
| | Bluetooth | Classe II |
| | Connettore TNC | Antenna UHF |
| | Porta Lemo | USB, seriale |

5. COMPENSAZIONE DELLE MISURE

Di seguito l'inquadratura geografica della rete di raffittimento con evidenziati i vertici IGM, i vertici materializzati e le baseline di progetto.



La rete è stata realizzata misurando con apparati GPS 26 baseline indipendenti con stazionamenti di durata non inferiore a 30 minuti, come si evince da Tabella 1, con non meno di tre basi per ogni vertice, e struttura tale da realizzare sempre poligoni chiusi con un massimo di quattro lati.

Si è proseguito quindi al calcolo di compensazione, eseguito mediante il software Trimble Business Center V. 3.50, ottenuto fissando i quattro punti noti. I risultati ottenuti sono da considerarsi positivi:

- media dei semiassi maggiori delle ellissi d'errore planimetriche assolute a livello di confidenza del 95% pari a 0.023 m;

- media degli e.q.m. verticali assoluti a livello di confidenza del 95% pari a 0.023 m;

L'output completo del calcolo è riportato in Allegato C.

| Tabella 1: Tempi di occupazione sessioni | | | | | | |
|--|---------|-------------|------------|-------------------------|-------------------|--------------------------------|
| ID vettore | ID Base | Da ID punto | A ID punto | Satelliti (GPS+GLONASS) | Lunghezza vettore | Tempi di occupazione (min.sec) |
| PV88 | B88 | 29709040 | 29709031 | 14 | 3143.55 | 31.24 |
| PV86 | B86 | 29709040 | 29709011 | 15 | 3822.033 | 30.55 |
| PV114 | B114 | 29709011 | 29705050 | 13 | 4155.819 | 31.39 |
| PV82 | B82 | IGM 120604 | 29709011 | 14 | 3334.78 | 31.49 |
| PV73 | B73 | IGM 120603 | 29709031 | 11 | 5293.04 | 30.09 |
| PV77 | B77 | IGM 120604 | 29709040 | 12 | 6558.764 | 33.27 |
| PV103 | B103 | 29705050 | 29709031 | 10 | 2526.917 | 31.10 |
| PV63 | B63 | IGM 113701 | 29709031 | 11 | 7670.488 | 31.10 |
| PV108 | B108 | 29705050 | 29705020 | 12 | 4226.806 | 34.23 |
| PV104 | B104 | IGM 113701 | 29705050 | 10 | 5756.522 | 32.01 |
| PV69 | B69 | IGM 120901 | 29709040 | 15 | 2114.996 | 31.31 |
| PV112 | B112 | IGM 120604 | 29705050 | 15 | 7307.502 | 32.03 |
| PV83 | B83 | IGM 120901 | 29709011 | 14 | 3192.576 | 32.21 |
| PV89 | B89 | IGM 120901 | 29709031 | 14 | 1669.688 | 31.21 |
| PV116 | B116 | IGM 120901 | 29705050 | 14 | 2627.205 | 31.39 |
| PV80 | B80 | IGM 120604 | 29705020 | 14 | 3768.864 | 32.05 |
| PV97 | B97 | IGM 120603 | 29709040 | 13 | 8248.774 | 30.23 |
| PV79 | B79 | IGM 113701 | 29705020 | 13 | 8057.364 | 32.36 |
| PV74 | B74 | IGM 113701 | IGM 120603 | 11 | 6605.877 | 30.16 |

Nelle tabelle che seguono riportiamo le coordinate e gli e.q.m. ottenuti.

| Coordinate Cartesiane ETRF 2000 | | | | | | |
|---------------------------------|-------------|------------|-------------|----------------|----------------|----------------|
| ID Punto | X (m) | Y (m) | Z (m) | σ_X (m) | σ_Y (m) | σ_Z (m) |
| 29705020 | 4556373.739 | 917582.435 | 4353603.451 | 0.028 | 0.027 | 0.028 |
| 29705050 | 4558253.986 | 913966.297 | 4352483.679 | 0.014 | 0.014 | 0.014 |
| 29709011 | 4557962.822 | 918056.911 | 4351810.624 | 0.019 | 0.018 | 0.019 |
| 29709031 | 4559958.604 | 913874.932 | 4350620.593 | 0.016 | 0.015 | 0.016 |
| 29709040 | 4560592.797 | 916698.467 | 4349392.842 | 0.020 | 0.018 | 0.020 |
| IGM 113701 | 4556011.662 | 909843.644 | 4355817.357 | 0 | 0 | 0 |
| IGM 120603 | 4560518.043 | 908637.247 | 4351140.387 | 0 | 0 | 0 |
| IGM 120604 | 4556795.738 | 921126.223 | 4352391.849 | 0 | 0 | 0 |
| IGM 120901 | 4559543.085 | 915485.132 | 4350770.934 | 0 | 0 | 0 |

| Coordinate Geografiche ETRF 2000 | | | | |
|----------------------------------|----------------------------|-----------------------------|---------|----------------|
| ID Punto | Latitudine (Sessagesimali) | Longitudine (Sessagesimali) | H (m) | σ_H (m) |
| 29705020 | N43°19'11.24659" | E11°23'10.24706" | 271.595 | 0.029 |
| 29705050 | N43°18'19.70769" | E11°20'16.49543" | 326.388 | 0.015 |
| 29709011 | N43°17'52.26978" | E11°23'16.96443" | 243.57 | 0.019 |
| 29709031 | N43°16'59.03106" | E11°19'57.65906" | 252.205 | 0.017 |
| 29709040 | N43°16'03.91404" | E11°21'54.88991" | 267.815 | 0.021 |
| IGM 113701 | N43°20'45.15280" | E11°17'36.60730" | 425.803 | 0 |
| IGM 120603 | N43°17'21.90520" | E11°16'04.98690" | 260.831 | 0 |
| IGM 120604 | N43°18'17.90780" | E11°25'40.68670" | 251.438 | 0 |
| IGM 120901 | N43°17'04.59240" | E11°21'11.30510" | 289.248 | 0 |

I valori statistici di tutti i punti sono riportati nelle seguenti tabelle.

| Componenti dell'ellisse d'errore (liv. 95%) | | |
|---|-----------------------|---------------------|
| ID Punto | Asse Semimaggiore (m) | Asse Semiminore (m) |
| 29705020 | 0.034 | 0.034 |
| 29705050 | 0.017 | 0.017 |
| 29709011 | 0.023 | 0.023 |
| 29709031 | 0.019 | 0.019 |
| 29709040 | 0.023 | 0.023 |
| Media | 0.023 | 0.023 |

| Errori Relativi (95%) | | | | | | | | |
|-----------------------|---------|-------------|------------|----------------------|------------------------|-----------|-------------------|-----------------------|
| ID vettore | ID Base | Da ID punto | A ID punto | Precisione or. (95%) | Precisione vert. (95%) | Satelliti | Lunghezza vettore | Distanza Ellissoidale |
| PV88 | B88 | 29709040 | 29709031 | 0.004 | 0.007 | 14 | 3143.55 | 3143.383 |
| PV86 | B86 | 29709040 | 29709011 | 0.005 | 0.007 | 15 | 3822.033 | 3821.803 |
| PV114 | B114 | 29709011 | 29705050 | 0.006 | 0.01 | 13 | 4155.819 | 4154.809 |
| PV82 | B82 | IGM 120604 | 29709011 | 0.005 | 0.01 | 14 | 3334.78 | 3334.642 |
| PV73 | B73 | IGM 120603 | 29709031 | 0.006 | 0.01 | 11 | 5293.04 | 5292.82 |
| PV77 | B77 | IGM 120604 | 29709040 | 0.007 | 0.011 | 12 | 6558.764 | 6558.477 |
| PV103 | B103 | 29705050 | 29709031 | 0.005 | 0.008 | 10 | 2526.917 | 2525.713 |
| PV63 | B63 | IGM 113701 | 29709031 | 0.007 | 0.011 | 11 | 7670.488 | 7668.116 |
| PV108 | B108 | 29705050 | 29705020 | 0.006 | 0.009 | 12 | 4226.806 | 4226.254 |
| PV104 | B104 | IGM 113701 | 29705050 | 0.008 | 0.011 | 10 | 5756.522 | 5755.324 |
| PV69 | B69 | IGM 120901 | 29709040 | 0.004 | 0.005 | 15 | 2114.996 | 2114.795 |
| PV112 | B112 | IGM 120604 | 29705050 | 0.007 | 0.011 | 15 | 7307.502 | 7306.789 |
| PV83 | B83 | IGM 120901 | 29709011 | 0.005 | 0.009 | 14 | 3192.576 | 3192.116 |
| PV89 | B89 | IGM 120901 | 29709031 | 0.003 | 0.005 | 14 | 1669.688 | 1669.206 |
| PV116 | B116 | IGM 120901 | 29705050 | 0.005 | 0.008 | 14 | 2627.205 | 2626.815 |
| PV80 | B80 | IGM 120604 | 29705020 | 0.005 | 0.01 | 14 | 3768.864 | 3768.656 |
| PV97 | B97 | IGM 120603 | 29709040 | 0.008 | 0.009 | 13 | 8248.774 | 8248.43 |
| PV79 | B79 | IGM 113701 | 29705020 | 0.008 | 0.01 | 13 | 8057.364 | 8055.45 |
| PV74 | B74 | IGM 113701 | IGM 120603 | 0.007 | 0.012 | 11 | 6605.877 | 6603.459 |

6. ISTITUZIONE DI UN SISTEMA DI COORDINATE RETTILINEE

La zona interessata presenta un'estensione prevalente in direzione Est-Ovest, per cui è opportuna la scelta di una rappresentazione UTM, con meridiano centrale posizionato in corrispondenza di un punto scelto in funzione dell'andamento altimetrico della zona stessa.

L'analisi del profilo altimetrico evidenzia una forte asimmetria rispetto al baricentro geometrico con andamento delle quote crescente da Sud a Nord da valori minimi di quota ellissoidica pari a circa 230 m in corrispondenza del fino a valori massimi di circa 322 m.



Poiché il sistema nativo della rete di raffittimento è costituito dall'ellissoide GRS80 con orientamento geocentrico (sistema definito dal GNSS), anche le coordinate rettilinee (isometriche) saranno calcolate nel sistema GRS80.

In considerazione dei valori di latitudine medi della rete di inquadramento, il raggio della sfera locale adottato per la trasformazione sarà pari a 6378137 m.

La quota ellissoidica media da utilizzare nella trasformazione per tenere conto della deformazione d'altezza sarà pari a 192.00 m (come da media dei due CSO).

Il meridiano centrale della rappresentazione sarà posto in posizione asimmetrica per minimizzare le deformazioni totali risultanti dalla combinazione di deformazione cartografica e deformazione d'altezza; i valori selezionati sono:

- latitudine baricentro “pesato”: $43^{\circ} 13' 47.6481''$ (sessagesimali);
- longitudine baricentro “pesato”: $11^{\circ} 20' 54.8333''$ (sessagesimali);

Per un univoco riconoscimento delle coordinate rettilinee (isometriche) saranno utilizzati i seguenti valori di falsa origine:

Falsa Est: 690500 m

Falsa Nord: 4796700 m

L'ampiezza in gradi della zona di calcolo sarà limitata ai seguenti valori di coordinate geografiche ETRF2000:

- Longitudine:
 $11^{\circ}18'$ (sessagesimali) - $11^{\circ} 24'$ (sessagesimali)
- Latitudine:

43°10' (sessagesimali) – 43° 16' (sessagesimali)

Il coefficiente di contrazione “c”, applicato sul meridiano centrale della rappresentazione sarà pari a 1.000043325.

Con i parametri su definiti sono state calcolate le coordinate rettilinee (isometriche) dei vertici di raffittimento a partire dalle relative coordinate geografiche ETRF2000.

Segue in formato tabellare l’elenco delle coordinate dei vertici di rilievo nei vari sistemi di interesse.

RELAZIONE TECNICA - Rete di Raffittimento: Relazione di calcolo e compensazione

| COORDINATE DEFINITE - RETE DI RAFFITTIMENTO SS 233 – E78 – Siena Lotto 0 | | | | | | | | | | |
|--|-----------------------|------------------|---------|-------------|------------|------------------------|-------------|---------|-------------|-------------|
| N° Vertice | ETRF 2000 GEOGRAFICHE | | | UTM Fuso 32 | | GAUSS-BOAGA fuso Ovest | | | Rettilinee | |
| | Lat. | Long. | Q. ell. | Nord | Est | Nord | Est | Q. ort. | Nord | Est |
| 29705020 | N43°19'11.24659" | E11°23'10.24706" | 271.595 | 4799093.018 | 693485.252 | 4799107.786 | 1693515.873 | 224.099 | 4799008.102 | 693551.3361 |
| 29705050 | N43°18'19.70769" | E11°20'16.49543" | 326.388 | 4797392.287 | 689616.098 | 4797407.010 | 1689646.609 | 278.795 | 4797416.870 | 689635.9138 |
| 29709011 | N43°17'52.26978" | E11°23'16.96443" | 243.57 | 4796660.907 | 693706.255 | 4796675.674 | 1693736.922 | 196.027 | 4796570.781 | 693703.8542 |
| 29709031 | N43°16'59.03106" | E11°19'57.65906" | 252.205 | 4794891.552 | 689261.243 | 4794906.295 | 1689291.794 | 204.545 | 4794927.095 | 689210.894 |
| 29709040 | N43°16'03.91404" | E11°21'54.88991" | 267.815 | 4793265.505 | 691951.555 | 4793280.266 | 1691982.225 | 220.158 | 4793226.089 | 691854.4358 |
| IGM 113701 | N43°20'45.15280" | E11°17'36.60730" | 425.803 | 4801779.353 | 685890.540 | 4801794.140 | 1685920.903 | 425.803 | 4801907.042 | 686035.2011 |
| IGM 120603 | N43°17'21.90520" | E11°16'04.98690" | 260.831 | 4795452.787 | 683998.088 | 4795467.538 | 1684028.484 | 260.831 | 4795636.060 | 683965.5155 |
| IGM 120604 | N43°18'17.90780" | E11°25'40.68670" | 251.438 | 4797545.236 | 696921.711 | 4797560.039 | 1696952.479 | 251.438 | 4797364.328 | 696942.8212 |
| IGM 120901 | N43°17'04.59240" | E11°21'11.30510" | 289.248 | 4795109.677 | 690916.255 | 4795124.427 | 1690946.857 | 289.248 | 4795098.614 | 690871.3812 |